

Adopted Levels, Gammas

Type	Author	History	Citation	Literature Cutoff Date
Full Evaluation	Ashok K. Jain and Anwesha Ghosh, Balraj Singh		NDS 107, 1075 (2006)	15-Apr-2006

$Q(\beta^-) = -4.81 \times 10^{-3} \text{ 4}$ ;  $S(n) = 9.87 \times 10^3 \text{ 4}$ ;  $S(p) = 2.71 \times 10^3 \text{ 3}$ ;  $Q(\alpha) = 3.03 \times 10^3 \text{ 4}$     [2012Wa38](#)

Note: Current evaluation has used the following Q record.

$Q(\beta^-) = -4810 \text{ 40}$ ;  $S(n) = 9870 \text{ 40}$ ;  $S(p) = 2710 \text{ 30}$ ;  $Q(\alpha) = 3030 \text{ 40}$     [2003Au03](#)

Analysis of rotational bands in  $^{165}\text{Lu}$ : [2004Ma21](#), [2004Ka66](#), [1999Li39](#).

Triaxial structures in  $^{165}\text{Lu}$  (theory): [2006Ta11](#).

[Additional information 1.](#)

 $^{165}\text{Lu}$  Levels

$Q(\text{transition}) =$  Transition quadrupole moment.

Nomenclature for quasi-particle orbitals used in band assignments:

a:  $\pi 1/2[411]$ ,  $\alpha = +1/2$ .

b:  $\pi 1/2[411]$ ,  $\alpha = -1/2$ .

c:  $\pi 7/2[404]$ ,  $\alpha = +1/2$ .

d:  $\pi 7/2[404]$ ,  $\alpha = -1/2$ .

e:  $\pi 9/2[514]$ ,  $\alpha = +1/2$ .

f:  $\pi 9/2[514]$ ,  $\alpha = -1/2$ .

g:  $\pi 7/2[523]$ ,  $\alpha = +1/2$ .

h:  $\pi 7/2[523]$ ,  $\alpha = -1/2$ .

k:  $\pi 5/2[402]$ ,  $\alpha = +1/2$ .

l:  $\pi 5/2[402]$ ,  $\alpha = -1/2$ .

A:  $\nu 5/2[642]$ ,  $\alpha = +1/2$ .

B:  $\nu 5/2[642]$ ,  $\alpha = -1/2$ .

C:  $\nu 3/2[651]$ ,  $\alpha = +1/2$ .

D:  $\nu 3/2[651]$ ,  $\alpha = -1/2$ .

E:  $\nu 5/2[523]$ ,  $\alpha = +1/2$ .

F:  $\nu 5/2[523]$ ,  $\alpha = -1/2$ .

G:  $\nu 3/2[521]$ ,  $\alpha = +1/2$ .

H:  $\nu 3/2[521]$ ,  $\alpha = -1/2$ .

Cross Reference (XREF) Flags

<b>A</b>	$^{165}\text{Hf}$ $\varepsilon$ decay (76 s)	<b>D</b>	$^{139}\text{La}(^{30}\text{Si}, 4n\gamma)$
<b>B</b>	$^{124}\text{Sn}(^{45}\text{Sc}, 4n\gamma)$	<b>E</b>	$^{150}\text{Sm}(^{19}\text{F}, 4n\gamma)$
<b>C</b>	$^{138}\text{Ba}(^{31}\text{P}, 4n\gamma)$	<b>F</b>	$^{153}\text{Eu}(^{16}\text{O}, 4n\gamma)$

$E(\text{level})^\dagger$	$J^\pi^\ddagger$	$T_{1/2}^\#$	XREF	Comments
0.0 <sup>e</sup>	1/2 <sup>+</sup>	10.74 min 10		$\% \varepsilon + \% \beta^+ = 100$ $\mu = -0.0245 \text{ 3}$ ( <a href="#">1998Ge13</a> ) $\langle r^2 \rangle^{1/2} = 5.284 \text{ fm 6}$ ( <a href="#">2004An14</a> evaluation). $\Delta \langle r^2 \rangle (^{170}\text{Lu} - ^{165}\text{Lu}) = -0.561 \text{ fm}^2$ (Laser spectroscopy, <a href="#">1998Ge13</a> ). The systematic uncertainty is $\approx 10\%$ . $J^\pi$ : spin from collinear laser spectroscopy of the hyperfine structure ( <a href="#">1998Ge13</a> ). Earlier atomic beam magnetic resonance data of <a href="#">1974Ek03</a> (see also <a href="#">1976Ek02</a> ) also gave spin of 1/2 for a 12-min activity of $^{165}\text{Lu}$ . Parity is from agreement of the experimental $\mu$ with calculated value of $-0.03$ ( <a href="#">1998Ge13</a> ) for the $\pi 1/2[411]$ orbital. <a href="#">1998Ge13</a> found no evidence of a higher-spin isomer such as 7/2 <sup>+</sup> . $\mu$ : Collinear laser spectroscopy of the hyperfine structure ( <a href="#">1998Ge13</a> ). See also <a href="#">2005St24</a>

Continued on next page (footnotes at end of table)

**Adopted Levels, Gammas (continued)**

$^{165}\text{Lu}$ Levels (continued)				
E(level) <sup>†</sup>	J <sup>π</sup> <sup>‡</sup>	T <sub>1/2</sub> <sup>#</sup>	XREF	Comments
compilation. T <sub>1/2</sub> : from <a href="#">1982Ra19</a> . Others: 11.8 min 5 ( <a href="#">1973Me25</a> ), 12 min ( <a href="#">1974Ek03</a> ), 12.0 min 4 ( <a href="#">1978Bu13</a> ).				
0.0+x <sup>d</sup>	(3/2 <sup>+</sup> )		ABCDEF	Additional information 2. E(level): x ≈ 20 keV, from evaluators' estimate based on the trend of energy separation of 3/2 and 1/2 states for the 1/2[411] bands in odd-A Lu nuclides ( <sup>163</sup> Lu, <sup>167</sup> Lu to <sup>179</sup> Lu).
5.33+x <sup>h</sup> 19	(5/2 <sup>+</sup> )		A CDEF	
23.43+x <sup>b</sup> 19	(7/2 <sup>+</sup> )		ABCDEF	
54.75+x 21	(7/2 <sup>-</sup> )		D	J <sup>π</sup> : probable bandhead of 7/2[523] band from systematic trend of bandhead energies for odd-A Lu nuclides.
141.39+x <sup>g</sup> 17	(7/2 <sup>+</sup> )		A CDEF	XREF: A(?).
147.70+x <sup>e</sup> 12	(5/2 <sup>+</sup> )		CDEF	
182.46+x <sup>c</sup> 20	(9/2 <sup>+</sup> )		A CDEF	XREF: A(?).
195.39+x <sup>d</sup> 10	(7/2 <sup>+</sup> )	133 ps 12	CDEF	
203.4+x 4			A	J <sup>π</sup> : (3/2 to 7/2) from possible β feeding from (5/2 <sup>-</sup> ).
234.95+x <sup>&amp;</sup> 18	(9/2 <sup>-</sup> )		AB D F	XREF: A(?).
305.52+x <sup>h</sup> 16	(9/2 <sup>+</sup> )		CDEF	
335.45+x <sup>a</sup> 21	(11/2 <sup>-</sup> )		B D F	
345.4+x <sup>f</sup> 4	(5/2 <sup>-</sup> )		D F	
366.58+x <sup>b</sup> 20	(11/2 <sup>+</sup> )	15.7 ps 15	CDEF	
432.70+x <sup>e</sup> 14	(9/2 <sup>+</sup> )		CDEF	
466.49+x <sup>f</sup> 14	(9/2 <sup>-</sup> )	58.7 ps 35	D F	
494.72+x <sup>&amp;</sup> 20	(13/2 <sup>-</sup> )	13.0 ps 6	B D F	
499.22+x <sup>g</sup> 16	(11/2 <sup>+</sup> )		CDEF	
519.60+x <sup>d</sup> 13	(11/2 <sup>+</sup> )	14.9 ps 7	CDEF	
574.13+x <sup>c</sup> 20	(13/2 <sup>+</sup> )	6.70 ps 24	CDEF	
662.61+x <sup>a</sup> 21	(15/2 <sup>-</sup> )	6.65 ps 35	B D F	
694.78+x <sup>f</sup> 16	(13/2 <sup>-</sup> )	33.3 ps 14	D F	
711.20+x <sup>h</sup> 18	(13/2 <sup>+</sup> )		CDEF	
802.23+x <sup>b</sup> 20	(15/2 <sup>+</sup> )	3.66 ps 16	CDEF	
821.14+x <sup>e</sup> 17	(13/2 <sup>+</sup> )		CDEF	
893.46+x <sup>&amp;</sup> 21	(17/2 <sup>-</sup> )	2.91 ps 12	B D F	
943.34+x <sup>d</sup> 16	(15/2 <sup>+</sup> )	1.84 ps 17	CDEF	
955.32+x <sup>g</sup> 18	(15/2 <sup>+</sup> )		CDEF	
976.1+x 7			A	
1030.18+x <sup>f</sup> 19	(17/2 <sup>-</sup> )	7.77 ps 17	D F	
1048.83+x <sup>c</sup> 20	(17/2 <sup>+</sup> )	2.17 ps 8	CDEF	
1099.95+x <sup>a</sup> 22	(19/2 <sup>-</sup> )	1.70 ps 6	B D F	
1197.30+x <sup>h</sup> 19	(17/2 <sup>+</sup> )		CDEF	
1292.01+x <sup>e</sup> 18	(17/2 <sup>+</sup> )		CDEF	
1310.65+x <sup>b</sup> 20	(19/2 <sup>+</sup> )		CDEF	
1386.75+x <sup>&amp;</sup> 22	(21/2 <sup>-</sup> )	1.25 ps 18	B D F	
1445.45+x <sup>d</sup> 18	(19/2 <sup>+</sup> )	2.16 ps 10	CDEF	
1462.28+x <sup>f</sup> 21	(21/2 <sup>-</sup> )	2.8 ps 7	D F	
1478.40+x <sup>g</sup> 20	(19/2 <sup>+</sup> )		CDEF	
1587.07+x <sup>c</sup> 20	(21/2 <sup>+</sup> )	1.10 ps 8	CDEF	
1618.75+x <sup>a</sup> 23	(23/2 <sup>-</sup> )	0.98 ps 7	B D F	
1740.04+x <sup>h</sup> 19	(21/2 <sup>+</sup> )		CDEF	

Continued on next page (footnotes at end of table)

**Adopted Levels, Gammas (continued)** $^{165}\text{Lu}$  Levels (continued)

E(level) <sup>†</sup>	J <sup>π</sup> <sup>‡</sup>	XREF	E(level) <sup>†</sup>	J <sup>π</sup> <sup>‡</sup>	T <sub>1/2</sub> <sup>#</sup>	XREF
1769.6+x <sup>q</sup> 7	(19/2 <sup>-</sup> )	D	3754.1+x <sup>h</sup> 6	(37/2 <sup>+</sup> )		D
1818.57+x <sup>e</sup> 21	(21/2 <sup>+</sup> )	CDEF	3764.2+x <sup>r</sup> 4	(37/2 <sup>+</sup> )		CDE
1871.63+x <sup>b</sup> 20	(23/2 <sup>+</sup> )	CDEF	3824.1+x <sup>p</sup> 4	(37/2 <sup>-</sup> )		D
1945.33+x <sup>&amp;</sup> 23	(25/2 <sup>-</sup> )	B D F	3853.7+x <sup>f</sup> 6	(37/2 <sup>-</sup> )		D F
1978.68+x <sup>f</sup> 23	(25/2 <sup>-</sup> )	D F	3863.9+x <sup>s</sup> 8	(35/2 <sup>+</sup> )		D
1990.16+x <sup>d</sup> 19	(23/2 <sup>+</sup> )	CDEF	3970.2+x <sup>b</sup> 3	(39/2 <sup>+</sup> )		CDE
2048.1+x <sup>g</sup> 3	(23/2 <sup>+</sup> )	CDEF	3981.10+x <sup>i</sup> 25	(39/2 <sup>+</sup> )		CDE
2155.7+x <sup>q</sup> 5	(23/2 <sup>-</sup> )	D	4010.3+x <sup>&amp;</sup> 3	(41/2 <sup>-</sup> )		B D F
2166.73+x <sup>c</sup> 20	(25/2 <sup>+</sup> )	CDEF	4034.6+x <sup>d</sup> 7	(39/2 <sup>+</sup> )		D
2196.30+x <sup>a</sup> 23	(27/2 <sup>-</sup> )	B D F	4117.1+x <sup>o</sup> 5	(39/2 <sup>-</sup> )		D
2294.41+x <sup>h</sup> 20	(25/2 <sup>+</sup> )	CDEF	4185.0+x <sup>q</sup> 8	(39/2 <sup>-</sup> )		D
2348.77+x <sup>e</sup> 22	(25/2 <sup>+</sup> )	CDEF	4269.9+x <sup>j</sup> 3	(41/2 <sup>+</sup> )		CDE
2409.4+x <sup>r</sup> 5	(25/2 <sup>+</sup> )	D	4290.5+x <sup>c</sup> 5	(41/2 <sup>+</sup> )		D
2458.63+x <sup>b</sup> 20	(27/2 <sup>+</sup> )	CDEF	4322.3+x <sup>a</sup> 3	(43/2 <sup>-</sup> )		B D F
2535.23+x <sup>&amp;</sup> 24	(29/2 <sup>-</sup> )	B D F	4346.6+x <sup>r</sup> 5	(41/2 <sup>+</sup> )		CDE
2538.63+x <sup>d</sup> 21	(27/2 <sup>+</sup> )	CDEF	4373.4+x <sup>h</sup> 7	(41/2 <sup>+</sup> )		D
2545.0+x <sup>i</sup> 3	(27/2 <sup>+</sup> )	D	4402.6+x <sup>s</sup> 7	(39/2 <sup>+</sup> )		D
2564.38+x <sup>f</sup> 25	(29/2 <sup>-</sup> )	D F	4453.6+x <sup>p</sup> 5	(41/2 <sup>-</sup> )		D
2585.7+x <sup>q</sup> 6	(27/2 <sup>-</sup> )	D	4490.7+x <sup>f</sup> 7	(41/2 <sup>-</sup> )		D
2612.2+x <sup>g</sup> 4	(27/2 <sup>+</sup> )	CDE	4575.3+x <sup>n</sup> 7	(41/2 <sup>-</sup> )		D
2730.25+x <sup>c</sup> 20	(29/2 <sup>+</sup> )	CDEF	4579.3+x <sup>i</sup> 3	(43/2 <sup>+</sup> )		CDE
2753.45+x <sup>h</sup> 23	(29/2 <sup>+</sup> )	CDEF	4613.9+x <sup>b</sup> 4	(43/2 <sup>+</sup> )		CDE
2765.4+x <sup>j</sup> 4	(29/2 <sup>+</sup> )	D	4645.2+x <sup>&amp;</sup> 3	(45/2 <sup>-</sup> )		B D
2789.38+x <sup>a</sup> 24	(31/2 <sup>-</sup> )	B D F	4686.6+x <sup>d</sup> 7	(43/2 <sup>+</sup> )		D
2794.4+x <sup>r</sup> 4	(29/2 <sup>+</sup> )	CDE	4773.5+x <sup>o</sup> 6	(43/2 <sup>-</sup> )		D
2947.5+x <sup>o</sup> 4	(31/2 <sup>-</sup> )	D	4787.5+x <sup>t</sup> 12	(41/2 <sup>+</sup> )		D
2956.70+x <sup>b</sup> 20	(31/2 <sup>+</sup> )	CDE	4800.4+x <sup>q</sup> 8	(43/2 <sup>-</sup> )		D
2968.4+x <sup>i</sup> 3	(31/2 <sup>+</sup> )	D	4888.6+x <sup>j</sup> 3	(45/2 <sup>+</sup> )		CDE
2999.6+x <sup>d</sup> 4	(31/2 <sup>+</sup> )	D	4960.5+x <sup>c</sup> 5	(45/2 <sup>+</sup> )		D
3038.95+x <sup>&amp;</sup> 24	(33/2 <sup>-</sup> )	B D F	4987.9+x <sup>r</sup> 7	(45/2 <sup>+</sup> )		D
3043.3+x <sup>g</sup> 9	(31/2 <sup>+</sup> )	D	4996.5+x <sup>a</sup> 3	(47/2 <sup>-</sup> )	>0.19 <sup>@</sup> ps	B D
3067.2+x <sup>q</sup> 7	(31/2 <sup>-</sup> )	D	5000.7+x <sup>s</sup> 7	(43/2 <sup>+</sup> )		D
3180.45+x <sup>c</sup> 21	(33/2 <sup>+</sup> )	CDE	5068.2+x <sup>h</sup> 8	(45/2 <sup>+</sup> )		D
3195.3+x <sup>f</sup> 4	(33/2 <sup>-</sup> )	D F	5115.7+x <sup>p</sup> 6	(45/2 <sup>-</sup> )		D
3201.8+x <sup>j</sup> 3	(33/2 <sup>+</sup> )	CDE	5145.2+x <sup>f</sup> 9	(45/2 <sup>-</sup> )		D
3222.5+x <sup>p</sup> 4	(33/2 <sup>-</sup> )	D	5174.2+x <sup>n</sup> 7	(45/2 <sup>-</sup> )		D
3224.2+x <sup>h</sup> 5	(33/2 <sup>+</sup> )	D	5220.7+x <sup>i</sup> 4	(47/2 <sup>+</sup> )		CDE
3239.7+x <sup>r</sup> 4	(33/2 <sup>+</sup> )	CDE	5325.9+x <sup>b</sup> 6	(47/2 <sup>+</sup> )		CDE
3248.59+x <sup>a</sup> 25	(35/2 <sup>-</sup> )	B D F	5363.9+x <sup>&amp;</sup> 3	(49/2 <sup>-</sup> )		B D
3417.32+x <sup>b</sup> 22	(35/2 <sup>+</sup> )	CDE	5393.6+x 7	(47/2 <sup>+</sup> )		D
3436.61+x <sup>i</sup> 24	(35/2 <sup>+</sup> )	CDE	5435.6+x <sup>d</sup> 10	(47/2 <sup>+</sup> )		D
3471.6+x <sup>d</sup> 6	(35/2 <sup>+</sup> )	D	5446.7+x <sup>q</sup> 8	(47/2 <sup>-</sup> )		D
3475.30+x <sup>&amp;</sup> 25	(37/2 <sup>-</sup> )	B D F	5448.8+x <sup>t</sup> 9	(45/2 <sup>+</sup> )		D
3485.1+x <sup>o</sup> 4	(35/2 <sup>-</sup> )	D	5475.8+x <sup>o</sup> 6	(47/2 <sup>-</sup> )		D
3602.3+x <sup>q</sup> 8	(35/2 <sup>-</sup> )	D	5539.5+x <sup>j</sup> 4	(49/2 <sup>+</sup> )		CDE
3682.55+x <sup>o</sup> 23	(37/2 <sup>+</sup> )	CDE	5655.8+x <sup>s</sup> 8	(47/2 <sup>+</sup> )		D
3705.3+x <sup>c</sup> 3	(37/2 <sup>+</sup> )	CDE	5684.7+x <sup>r</sup> 8	(49/2 <sup>+</sup> )		CDE
3735.3+x <sup>j</sup> 3	(39/2 <sup>-</sup> )	B D F	5695.5+x <sup>c</sup> 7	(49/2 <sup>+</sup> )		D

Continued on next page (footnotes at end of table)

**Adopted Levels, Gammas (continued)** $^{165}\text{Lu}$  Levels (continued)

E(level) <sup>†</sup>	J <sup>π</sup> <sup>‡</sup>	T <sub>1/2</sub> <sup>#</sup>	XREF	E(level) <sup>†</sup>	J <sup>π</sup> <sup>‡</sup>	XREF
5740.6+x <sup>a</sup> 4	(51/2 <sup>-</sup> )	>0.13 <sup>@</sup> ps	B D	7760.3+x <sup>b</sup> 12	(59/2 <sup>+</sup> )	D
5786.5+x <sup>p</sup> 8	(49/2 <sup>-</sup> )		D	7788.7+x <sup>o</sup> 12	(59/2 <sup>-</sup> )	D
5823.2+x <sup>h</sup> 10	(49/2 <sup>+</sup> )		D	7837.4+x <sup>j</sup> 6	(61/2 <sup>+</sup> )	CDE
5825.4+x <sup>n</sup> 7	(49/2 <sup>-</sup> )		D	7841.6+x <sup>d</sup> 15	(59/2 <sup>+</sup> )	D
5845.2+x <sup>f</sup> 12	(49/2 <sup>-</sup> )		D	7864.3+x <sup>&amp;</sup> 6	(61/2 <sup>-</sup> )	B D
5861.0+x <sup>m</sup> 12	(49/2 <sup>-</sup> )		D	7952.7+x <sup>s</sup> 13	(59/2 <sup>+</sup> )	D
5899.8+x <sup>i</sup> 5	(51/2 <sup>+</sup> )		CDE	8093.9+x <sup>r</sup> 13	(61/2 <sup>+</sup> )	CDE
6080.9+x <sup>k</sup> 7	(51/2 <sup>+</sup> )		D	8114.5+x <sup>l</sup> 11	(61/2 <sup>+</sup> )	D
6101.7+x <sup>b</sup> 7	(51/2 <sup>+</sup> )		CDE	8128.0+x <sup>p</sup> 10	(61/2 <sup>-</sup> )	D
6138.1+x <sup>q</sup> 8	(51/2 <sup>-</sup> )		D	8212.5+x <sup>c</sup> 16	(61/2 <sup>+</sup> )	D
6147.1+x <sup>&amp;</sup> 4	(53/2 <sup>-</sup> )	0.13 <sup>@</sup> ps 2	B D	8227.1+x <sup>n</sup> 13	(61/2 <sup>-</sup> )	D
6154.8+x <sup>t</sup> 9	(49/2 <sup>+</sup> )		D	8257.4+x <sup>h</sup> 17	(61/2 <sup>+</sup> )	D
6178.7+x <sup>o</sup> 7	(51/2 <sup>-</sup> )		D	8269.6+x <sup>a</sup> 6	(63/2 <sup>-</sup> )	B D
6188.6+x <sup>d</sup> 10	(51/2 <sup>+</sup> )		D	8312.3+x <sup>f</sup> 18	(61/2 <sup>-</sup> )	D
6236.2+x <sup>j</sup> 5	(53/2 <sup>+</sup> )		CDE	8330.8+x <sup>i</sup> 7	(63/2 <sup>+</sup> )	CDE
6367.2+x <sup>s</sup> 9	(51/2 <sup>+</sup> )		D	8336.8+x <sup>m</sup> 18	(61/2 <sup>-</sup> )	D
6434.9+x <sup>r</sup> 9	(53/2 <sup>+</sup> )		CDE	8551.9+x <sup>t</sup> 15	(61/2 <sup>+</sup> )	D
6448.5+x <sup>l</sup> 8	(53/2 <sup>+</sup> )		D	8557.0+x <sup>q</sup> 13	(63/2 <sup>-</sup> )	D
6507.6+x <sup>p</sup> 9	(53/2 <sup>-</sup> )		D	8584.9+x <sup>k</sup> 11	(63/2 <sup>+</sup> )	D
6511.5+x <sup>c</sup> 11	(53/2 <sup>+</sup> )		D	8660.4+x <sup>b</sup> 14	(63/2 <sup>+</sup> )	D
6539.2+x <sup>a</sup> 4	(55/2 <sup>-</sup> )		B D	8692.0+x <sup>o</sup> 15	(63/2 <sup>-</sup> )	D
6552.5+x <sup>n</sup> 8	(53/2 <sup>-</sup> )		D	8733.6+x <sup>d</sup> 17	(63/2 <sup>+</sup> )	D
6608.7+x <sup>f</sup> 14	(53/2 <sup>-</sup> )		D	8754.7+x <sup>j</sup> 8	(65/2 <sup>+</sup> )	CDE
6612.7+x <sup>h</sup> 13	(53/2 <sup>+</sup> )		D	8795.3+x <sup>&amp;</sup> 8	(65/2 <sup>-</sup> )	B D
6632.2+x <sup>i</sup> 5	(55/2 <sup>+</sup> )		CDE	8824.9+x <sup>s</sup> 15	(63/2 <sup>+</sup> )	D
6642.3+x <sup>m</sup> 14	(53/2 <sup>-</sup> )		D	9002.8+x <sup>r</sup> 15	(65/2 <sup>+</sup> )	CDE
6841.9+x <sup>k</sup> 8	(55/2 <sup>+</sup> )		D	9028.0+x <sup>p</sup> 11	(65/2 <sup>-</sup> )	D
6886.7+x <sup>q</sup> 9	(55/2 <sup>-</sup> )		D	9067.5+x <sup>l</sup> 13	(65/2 <sup>+</sup> )	D
6903.6+x <sup>t</sup> 10	(53/2 <sup>+</sup> )		D	9133.5+x <sup>c</sup> 18	(65/2 <sup>+</sup> )	D
6907.6+x <sup>b</sup> 9	(55/2 <sup>+</sup> )		D	9156.0+x <sup>n</sup> 15	(65/2 <sup>-</sup> )	D
6947.3+x <sup>o</sup> 9	(55/2 <sup>-</sup> )		D	9160.2+x <sup>h</sup> 19	(65/2 <sup>+</sup> )	D
6982.4+x <sup>&amp;</sup> 5	(57/2 <sup>-</sup> )		B D	9199.0+x <sup>a</sup> 8	(67/2 <sup>-</sup> )	B D
6994.6+x <sup>d</sup> 13	(55/2 <sup>+</sup> )		D	9242.6+x <sup>f</sup> 20	(65/2 <sup>-</sup> )	D
6998.0+x <sup>j</sup> 6	(57/2 <sup>+</sup> )		CDE	9265.1+x <sup>m</sup> 20	(65/2 <sup>-</sup> )	D
7132.9+x <sup>s</sup> 10	(55/2 <sup>+</sup> )		D	9308.7+x <sup>i</sup> 9	(67/2 <sup>+</sup> )	CDE
7238.2+x <sup>r</sup> 10	(57/2 <sup>+</sup> )		D	9456.6+x <sup>t</sup> 17	(65/2 <sup>+</sup> )	D
7240.5+x <sup>l</sup> 9	(57/2 <sup>+</sup> )		CDE	9475.3+x <sup>q</sup> 15	(67/2 <sup>-</sup> )	D
7288.1+x <sup>p</sup> 9	(57/2 <sup>-</sup> )		D	9544.9+x <sup>k</sup> 14	(67/2 <sup>+</sup> )	D
7338.5+x <sup>c</sup> 13	(57/2 <sup>+</sup> )		D	9607.1+x <sup>b</sup> 16	(67/2 <sup>+</sup> )	D
7354.9+x <sup>n</sup> 10	(57/2 <sup>-</sup> )		D	9643.2+x <sup>o</sup> 17	(67/2 <sup>-</sup> )	D
7383.6+x <sup>a</sup> 5	(59/2 <sup>-</sup> )		B D	9671.6+x <sup>d</sup> 19	(67/2 <sup>+</sup> )	D
7417.6+x <sup>h</sup> 15	(57/2 <sup>+</sup> )		D	9742.6+x <sup>j</sup> 9	(69/2 <sup>+</sup> )	D
7431.3+x <sup>f</sup> 16	(57/2 <sup>-</sup> )		D	9751.5+x <sup>s</sup> 17	(67/2 <sup>+</sup> )	D
7439.1+x <sup>i</sup> 6	(59/2 <sup>+</sup> )		CDE	9781.3+x <sup>&amp;</sup> 10	(69/2 <sup>-</sup> )	B D
7467.1+x <sup>m</sup> 16	(57/2 <sup>-</sup> )		D	9965.8+x <sup>r</sup> 17	(69/2 <sup>+</sup> )	CDE
7677.9+x <sup>k</sup> 10	(59/2 <sup>+</sup> )		D	9991.2+x <sup>p</sup> 14	(69/2 <sup>-</sup> )	D
7693.9+x <sup>q</sup> 10	(59/2 <sup>-</sup> )		D	10072.5+x <sup>l</sup> 16	(69/2 <sup>+</sup> )	D
7702.3+x <sup>t</sup> 13	(57/2 <sup>+</sup> )		D	10107.5+x <sup>c</sup> 19	(69/2 <sup>+</sup> )	D

Continued on next page (footnotes at end of table)

**Adopted Levels, Gammas (continued)** $^{165}\text{Lu}$  Levels (continued)

E(level) <sup>†</sup>	J <sup>π</sup> <sup>‡</sup>	XREF
10129.5+x <sup>n</sup> 17	(69/2 <sup>-</sup> )	D
10175.4+x <sup>a</sup> 10	(71/2 <sup>-</sup> )	D
10207.7+x <sup>f</sup> 22	(69/2 <sup>-</sup> )	D
10367.1+x <sup>i</sup> 10	(71/2 <sup>+</sup> )	D
10414.1+x <sup>t</sup> 19	(69/2 <sup>+</sup> )	D
10449.1+x <sup>q</sup> 17	(71/2 <sup>-</sup> )	D
10546.9+x <sup>k</sup> 16	(71/2 <sup>+</sup> )	D
10594.0+x <sup>b</sup> 18	(71/2 <sup>+</sup> )	D
10645.1+x <sup>o</sup> 19	(71/2 <sup>-</sup> )	D
10646.6+x <sup>d</sup> 21	(71/2 <sup>+</sup> )	D
10732.6+x <sup>s</sup> 19	(71/2 <sup>+</sup> )	D
10793.8+x <sup>j</sup> 12	(73/2 <sup>+</sup> )	D
10827.3+x <sup>&amp;</sup> 13	(73/2 <sup>-</sup> )	D
10985.1+x <sup>r</sup> 19	(73/2 <sup>+</sup> )	D
11017.5+x <sup>p</sup> 16	(73/2 <sup>-</sup> )	D
11142.3+x <sup>n</sup> 19	(73/2 <sup>-</sup> )	D
11194.1+x <sup>f</sup> 23	(73/2 <sup>-</sup> )	D
11202.0+x <sup>a</sup> 11	(75/2 <sup>-</sup> )	D
11425.2+x <sup>t</sup> 21	(73/2 <sup>+</sup> )	D
11477.3+x <sup>q</sup> 19	(75/2 <sup>-</sup> )	D
11496.8+x <sup>i</sup> 13	(75/2 <sup>+</sup> )	D
11582.9+x <sup>k</sup> 18	(75/2 <sup>+</sup> )	D
11612.2+x <sup>b</sup> 20	(75/2 <sup>+</sup> )	D
11656.6+x <sup>d</sup> 22	(75/2 <sup>+</sup> )	D
11684.1+x <sup>o</sup> 20	(75/2 <sup>-</sup> )	D
11767.7+x <sup>s</sup> 21	(75/2 <sup>+</sup> )	D
11899.2+x <sup>j</sup> 15	(77/2 <sup>+</sup> )	D
11936.2+x <sup>&amp;</sup> 15	(77/2 <sup>-</sup> )	D
12061.4+x <sup>r</sup> 21	(77/2 <sup>+</sup> )	D
12105.5+x <sup>p</sup> 18	(77/2 <sup>-</sup> )	D
12190.1+x <sup>n</sup> 21	(77/2 <sup>-</sup> )	D
12215.8+x <sup>f</sup> 24	(77/2 <sup>-</sup> )	D
12278.0+x <sup>a</sup> 14	(79/2 <sup>-</sup> )	D
12484.3+x <sup>t</sup> 22	(77/2 <sup>+</sup> )	D
12558.9+x <sup>q</sup> 21	(79/2 <sup>-</sup> )	D
12643.9+x <sup>k</sup> 20	(79/2 <sup>+</sup> )	D
12649.9+x <sup>b</sup> 22	(79/2 <sup>+</sup> )	D
12678.8+x <sup>i</sup> 15	(79/2 <sup>+</sup> )	D
12720.6+x <sup>d</sup> 24	(79/2 <sup>+</sup> )	D
12857.3+x <sup>s</sup> 22	(79/2 <sup>+</sup> )	D
13041.4+x <sup>j</sup> 17	(81/2 <sup>+</sup> )	D
13102.7+x <sup>&amp;</sup> 17	(81/2 <sup>-</sup> )	D
13194.8+x <sup>r</sup> 22	(81/2 <sup>+</sup> )	D
13245.2+x <sup>p</sup> 20	(81/2 <sup>-</sup> )	D
13399.7+x <sup>a</sup> 16	(83/2 <sup>-</sup> )	D
13591.8+x <sup>t</sup> 24	(81/2 <sup>+</sup> )	D
13686.6+x <sup>q</sup> 22	(83/2 <sup>-</sup> )	D
13714.9+x <sup>b</sup> 23	(83/2 <sup>+</sup> )	D

Continued on next page (footnotes at end of table)

**Adopted Levels, Gammas (continued)** $^{165}\text{Lu}$  Levels (continued)

E(level) <sup>†</sup>	J <sup>π‡</sup>	XREF	Comments
13829.6+x <sup>d</sup> 25	(83/2 <sup>+</sup> )	D	
14008.3+x <sup>s</sup> 24	(83/2 <sup>+</sup> )	D	
14199.9+x <sup>j</sup> 19	(85/2 <sup>+</sup> )	D	
14384.1+x <sup>r</sup> 24	(85/2 <sup>+</sup> )	D	
14558.5+x <sup>a</sup> 18	(87/2 <sup>-</sup> )	D	
14849.1+x <sup>q</sup> 24	(87/2 <sup>-</sup> )	D	
15208.1+x <sup>s</sup> 25	(87/2 <sup>+</sup> )	D	
15623.4+x <sup>r</sup> 25	(89/2 <sup>+</sup> )	D	
15745.5+x <sup>a</sup> 20	(91/2 <sup>-</sup> )	D	
16462+x <sup>s</sup> 3	(91/2 <sup>+</sup> )	D	
y <sup>u</sup>	J	D	Additional information 3.
624.5+y <sup>u</sup> 8	J+2	D	
1308.3+y <sup>u</sup> 12	J+4	D	
2049.0+y <sup>u</sup> 14	J+6	D	
2847.3+y <sup>u</sup> 16	J+8	D	
3703.3+y <sup>u</sup> 18	J+10	D	
4618.9+y <sup>u</sup> 20	J+12	D	
5594.2+y <sup>u</sup> 22	J+14	D	
6631.2+y <sup>u</sup> 23	J+16	D	
z <sup>v</sup>	J1	D	Additional information 4.
712.2+z <sup>v</sup> 8	J1+2	D	
1482.4+z <sup>v</sup> 12	J1+4	D	
2311.3+z <sup>v</sup> 14	J1+6	D	
3197.1+z <sup>v</sup> 16	J1+8	D	
4140.8+z <sup>v</sup> 18	J1+10	D	
5143.3+z <sup>v</sup> 20	J1+12	D	
6206.3+z <sup>v</sup> 22	J1+14	D	

<sup>†</sup> From least-squares fit to Eγ's.<sup>‡</sup> The assignments for the excited states are from 2004Sc14, based primarily on γγ(θ) data in (HI,xnγ) reactions, rotational band structures, and model predictions. Since firm assignments for bandheads are lacking, the evaluators have placed all the assignments in parentheses.# For excited states, the values are from differential decay curve method in recoil-distance measurements (DDCM,2005An04) in  $^{139}\text{La}(^{30}\text{Si},4n\gamma)$  reaction, unless otherwise stated.@ From DSAM (1988Fr22) in  $^{124}\text{Sn}(^{45}\text{Sc},4n\gamma)$  reaction.

&amp; Band(A): 9/2[514], α=+1/2. Changes to 9/2[514]⊗[AB] at ħω=0.25 MeV and spin range of 29/2 to 31/2, and 9/2[514]⊗[ABCD] at higher frequencies. A=11.8.

<sup>a</sup> Band(a): 9/2[514], α=-1/2. See comment for the α=+1/2 signature partner of this band. A=11.9.<sup>b</sup> Band(B): 7/2[404], α=-1/2. From low to high spins, configuration changes to 7/2[404]⊗[AB], then to 7/2[404]⊗[ABCD], and finally to 7/2[404]⊗[ABCDEF]. A=16.2.<sup>c</sup> Band(b): 7/2[404], α=+1/2. See comment for the α=-1/2 signature partner of this band. A=15.4.<sup>d</sup> Band(C): 1/2[411], α=-1/2. At higher spins, configuration=1/2[411]⊗[AB], and then 1/2[411]⊗[ABCD].<sup>e</sup> Band(c): 1/2[411], α=+1/2. A=18.2, a=0.62 for both signatures combined.<sup>f</sup> Band(D): 1/2[541], α=+1/2. From low to high spins, configuration changes to 1/2[541]⊗[AB], then to 1/2[541]⊗[ABCD] and finally to 1/2[541]⊗[ABCDEF]. A=13.4, a=3.5.<sup>g</sup> Band(E): 5/2[402], α=-1/2.<sup>h</sup> Band(e): 5/2[402], α=+1/2. From low to high spins, configuration changes to 5/2[402]⊗[AB], and then to 5/2[402]⊗[ABCD].

Continued on next page (footnotes at end of table)

**Adopted Levels, Gammas (continued)** $^{165}\text{Lu}$  Levels (continued)

A=17.6.

- <sup>i</sup> Band(F):  $9/2[514] \otimes [\text{AE}]$ ,  $\alpha = -1/2$ . At higher spins, the configuration changes to  $9/2[514] \otimes [\text{AEBC}]$ . The upbend at  $\hbar\omega \approx 0.56$  MeV near spin 59/2 may be due to the alignment of proton pair fg or gh, with the resulting configuration= $9/2[514] \otimes [\text{AEBC}(\text{fg and/or gh})]$ .
- <sup>j</sup> Band(f):  $9/2[514] \otimes [\text{AE}]$ ,  $\alpha = +1/2$ . See comment for  $\alpha = -1/2$  signature partner of this band.
- <sup>k</sup> Band(G):  $9/2[514] \otimes [\text{AHBC}]$ ,  $\alpha = -1/2$ . At higher frequencies, the configuration is probably  $9/2[514] \otimes [\text{AHBCEF}]$ .
- <sup>l</sup> Band(g):  $9/2[514] \otimes [\text{AHBC}]$ ,  $\alpha = +1/2$ . See comment for the  $\alpha = -1/2$  signature partner of this band.
- <sup>m</sup> Band(H): band #1,  $\alpha = +1/2$ . This band probably decays into the  $1/2[541]$  band.
- <sup>n</sup> Band(I): Band #2,  $\alpha = +1/2$ . See comment for band #3. Configuration for band #2 changes from  $7/2[4040] \otimes [\text{AE}]$  at high spins to  $9/2[514] \otimes [\text{BC}]$  at low spins.
- <sup>o</sup> Band(i): Band #3,  $\alpha = -1/2$ . Bands #2 to #5 form pairs of signature partners above 45/2 spin. At lower spins the bands seem to form different pairs, where band #4 interchanges character with band #2 and bands #3 and #4 seem to be signature partners. From low to high spins, configuration for band #3 is  $9/2[514]$ ,  $9/2[514] \otimes [\text{BC}]$ , and finally to  $9/2[514] \otimes [\text{BCEF}]$ .
- <sup>p</sup> Band(J): Band #4,  $\alpha = +1/2$ . See comment for band #3. Configuration for band #4 changes from  $9/2[514] \otimes [\text{BC}]$  at high spins to  $7/2[404] \otimes [\text{AE}]$  at low spins.
- <sup>q</sup> Band(j): band #5,  $\alpha = -1/2$ . See comment for band #3. The configuration changes from unfavored  $1/2[541]$  or from  $7/2[404] + \text{octupole vibration}$  at low spin to  $7/2[404] \otimes [\text{AE}]$  at high spins.
- <sup>r</sup> Band(K): Zero-phonon wobbling-mode (Triaxial) SD-1 band ([2004Sc14,2003Sc02,1995Sc39](#)).  $Q(\text{transition}) = 6.0 + 12-2$ ,  $6.4 + 19-7$  ([2002Sc47](#)).  $1/2[660]$  band,  $\alpha = +1/2$ . Percent feeding=1.3 ([2003Sc02](#)).
- <sup>s</sup> Band(L): One-phonon wobbling mode (Triaxial) SD-2 band ([2004Sc14,2003Sc02](#)). Percent feeding=0.4.
- <sup>t</sup> Band(M): Two-phonon wobbling mode (Triaxial) SD-3 band ([2004Sc14,2003Sc02](#)). Percent feeding=0.1.
- <sup>u</sup> Band(N): Triaxial SD-4 band ([2004Sc14](#)).
- <sup>v</sup> Band(O): Triaxial SD-5 band ([2004Sc14](#)).

## Adopted Levels, Gammas (continued)

$\gamma(^{165}\text{Lu})$									
$E_i(\text{level})$	$J_i^\pi$	$E_\gamma^\dagger$	$I_\gamma^\ddagger$	$E_f$	$J_f^\pi$	Mult.#	$\delta^@$	$\alpha^a$	Comments
141.39+x	(7/2 <sup>+</sup> )	136.10 12	100	5.33+x	(5/2 <sup>+</sup> )	D+Q			
147.70+x	(5/2 <sup>+</sup> )	147.67 14	100	0.0+x	(3/2 <sup>+</sup> )	D			
182.46+x	(9/2 <sup>+</sup> )	159.2 1	100	23.43+x	(7/2 <sup>+</sup> )	D+Q			
195.39+x	(7/2 <sup>+</sup> )	48.0		147.70+x	(5/2 <sup>+</sup> )				$E_\gamma$ : from $^{139}\text{La}(^{30}\text{Si},4n\gamma)$ only, intensity not known.
		195.4 1	100 4	0.0+x	(3/2 <sup>+</sup> )	E2		0.303	$\alpha(K)=0.179$ 6; $\alpha(L)=0.095$ 3; $\alpha(M)=0.0230$ 7; $\alpha(N+..)=0.00640$ 20 B(E2)(W.u.)=213 23
203.4+x		180.0 3	100	23.43+x	(7/2 <sup>+</sup> )				
234.95+x	(9/2 <sup>-</sup> )	93.6 1		141.39+x	(7/2 <sup>+</sup> )				
		180.2 1	91 8	54.75+x	(7/2 <sup>-</sup> )	D			$E_\gamma$ : this 180.2 $\gamma$ must be different from 180.0 $\gamma$ from 203.3+x level populated in $\varepsilon$ decay, since No 211.5 $\gamma$ is seen in $\varepsilon$ decay.
		211.5 1	100 8	23.43+x	(7/2 <sup>+</sup> )	D			
305.52+x	(9/2 <sup>+</sup> )	164.28 12	100 3	141.39+x	(7/2 <sup>+</sup> )	D+Q			
		300.12 15	39 2	5.33+x	(5/2 <sup>+</sup> )	Q			
335.45+x	(11/2 <sup>-</sup> )	100.4 2	100 11	234.95+x	(9/2 <sup>-</sup> )	D+Q			
		152.6 6	21 7	182.46+x	(9/2 <sup>+</sup> )	D			
345.4+x	(5/2 <sup>-</sup> )	345.5 5	100	0.0+x	(3/2 <sup>+</sup> )				
366.58+x	(11/2 <sup>+</sup> )	184.3 1	79 5	182.46+x	(9/2 <sup>+</sup> )	(M1+E2)	+0.47 7	0.614 14	$\alpha(K)=0.495$ 16; $\alpha(L)=0.092$ 2; $\alpha(M)=0.0210$ 5; $\alpha(N+..)=0.00590$ 12 B(M1)(W.u.)=0.062 9; B(E2)(W.u.)=190 60 $\alpha(K)=0.0378$ 12; $\alpha(L)=0.0108$ 4; $\alpha(M)=0.00257$ 8; $\alpha(N+..)=0.00076$ 2 B(E2)(W.u.)=61 7
		343.0 1	100 2	23.43+x	(7/2 <sup>+</sup> )	E2		0.0520	
432.70+x	(9/2 <sup>+</sup> )	237.39 16	100 5	195.39+x	(7/2 <sup>+</sup> )	D			
		284.96 17	98 5	147.70+x	(5/2 <sup>+</sup> )				
466.49+x	(9/2 <sup>-</sup> )	121.1 5	10 3	345.4+x	(5/2 <sup>-</sup> )	[E2]		1.65	$\alpha(K)=0.647$ 20; $\alpha(L)=0.761$ 23; $\alpha(M)=0.187$ 6; $\alpha(N+..)=0.0513$ 16 B(E2)(W.u.)=530 180
		271.1 1	100 10	195.39+x	(7/2 <sup>+</sup> )	(E1)		0.0266	$\alpha(K)=0.0223$ 7; $\alpha(L)=0.00334$ 10; $\alpha(M)=0.00074$ 2; $\alpha(N+..)=0.00022$ 1 B(E1)(W.u.)=0.000149 23
494.72+x	(13/2 <sup>-</sup> )	159.4 1	100 9	335.45+x	(11/2 <sup>-</sup> )	(M1)		1.00	$\alpha(K)=0.84$ 3; $\alpha(L)=0.129$ 4; $\alpha(M)=0.0288$ 9; $\alpha(N+..)=0.00791$ 24 B(M1)(W.u.)=0.148 19
		259.8 1	74 6	234.95+x	(9/2 <sup>-</sup> )	(E2)		0.120	$\alpha(K)=0.0806$ 25; $\alpha(L)=0.0303$ 9; $\alpha(M)=0.00728$ 22; $\alpha(N+..)=0.00212$ 7 B(E2)(W.u.)=179 21
499.22+x	(11/2 <sup>+</sup> )	193.80 12	100 3	305.52+x	(9/2 <sup>+</sup> )	D			
		357.56 16	58 2	141.39+x	(7/2 <sup>+</sup> )	Q			$I_\gamma$ : from ( $^{31}\text{P},4n\gamma$ ). $I_\gamma(193.8)/I_\gamma(357.6)=4.2$ 2 in ( $^{19}\text{F},4n\gamma$ ) is discrepant. The relative intensity of the 193.8 $\gamma$ seems to be too large by a factor of about 3 in ( $^{19}\text{F},4n\gamma$ ).



## Adopted Levels, Gammas (continued)

$\gamma(^{165}\text{Lu})$ (continued)									
$E_i(\text{level})$	$J_i^\pi$	$E_\gamma^\dagger$	$I_\gamma^\ddagger$	$E_f$	$J_f^\pi$	Mult.#	$\delta^@$	$\alpha^a$	Comments
519.60+x	(11/2 <sup>+</sup> )	214.1 1	14.9 7	305.52+x	(9/2 <sup>+</sup> )	(M1+E2)		0.33 11	$\alpha(\text{K})=0.25$ 12; $\alpha(\text{L})=0.061$ 5; $\alpha(\text{M})=0.0142$ 16; $\alpha(\text{N}+..)=0.0041$ 4
		324.2 1	100.0 16	195.39+x	(7/2 <sup>+</sup> )	E2		0.0613	$\alpha(\text{K})=0.0439$ 14; $\alpha(\text{L})=0.0133$ 4; $\alpha(\text{M})=0.00315$ 10; $\alpha(\text{N}+..)=0.00093$ 3 B(E2)(W.u.)=157 9
574.13+x	(13/2 <sup>+</sup> )	207.6 1	47 4	366.58+x	(11/2 <sup>+</sup> )	(M1+E2)	+0.57 10	0.422 15	$\alpha(\text{K})=0.339$ 16; $\alpha(\text{L})=0.0644$ 8; $\alpha(\text{M})=0.0147$ 3; $\alpha(\text{N}+..)=0.00426$ 7 B(M1)(W.u.)=0.076 11; B(E2)(W.u.)=280 80
		391.7 1	100.0 14	182.46+x	(9/2 <sup>+</sup> )	E2		0.0357	$\alpha(\text{K})=0.0267$ 8; $\alpha(\text{L})=0.00687$ 21; $\alpha(\text{M})=0.00162$ 5; $\alpha(\text{N}+..)=0.00047$ 2 B(E2)(W.u.)=100 6
662.61+x	(15/2 <sup>-</sup> )	168.2 1	100 8	494.72+x	(13/2 <sup>-</sup> )	(M1+E2)	+0.16 3	0.86	$\alpha(\text{K})=0.711$ 5; $\alpha(\text{L})=0.113$ 1; $\alpha(\text{M})=0.0253$ 2; $\alpha(\text{N}+..)=0.00700$ 5 B(M1)(W.u.)=0.28 4; B(E2)(W.u.)=120 50
		327.0 1	74 7	335.45+x	(11/2 <sup>-</sup> )	(E2)		0.0596	$E_\gamma$ : level-energy difference=167.9. $\alpha(\text{K})=0.0429$ 13; $\alpha(\text{L})=0.0128$ 4; $\alpha(\text{M})=0.00305$ 10; $\alpha(\text{N}+..)=0.00090$ 3 B(E2)(W.u.)=98 14
694.78+x	(13/2 <sup>-</sup> )	175.1 5	17 4	519.60+x	(11/2 <sup>+</sup> )	(E1)		0.0813	$\alpha(\text{K})=0.0678$ 21; $\alpha(\text{L})=0.0105$ 4; $\alpha(\text{M})=0.00235$ 7; $\alpha(\text{N}+..)=0.00063$ 2 B(E1)(W.u.)=0.00010 4
		228.3 1	100 8	466.49+x	(9/2 <sup>-</sup> )	(E2)		0.182	$\alpha(\text{K})=0.116$ 4; $\alpha(\text{L})=0.0504$ 16; $\alpha(\text{M})=0.0122$ 4; $\alpha(\text{N}+..)=0.00348$ 11 B(E2)(W.u.)=400 60
711.20+x	(13/2 <sup>+</sup> )	191.6 8	23 7	519.60+x	(11/2 <sup>+</sup> )	D+Q	+0.25 6		
		212.2 3	100 15	499.22+x	(11/2 <sup>+</sup> )				
		344.8 5	37 10	366.58+x	(11/2 <sup>+</sup> )				
		405.6 5	70 17	305.52+x	(9/2 <sup>+</sup> )	Q			
802.23+x	(15/2 <sup>+</sup> )	228.18 14	29 3	574.13+x	(13/2 <sup>+</sup> )	(M1+E2)		0.28 10	$\alpha(\text{K})=0.21$ 10; $\alpha(\text{L})=0.0487$ 17; $\alpha(\text{M})=0.0114$ 8; $\alpha(\text{N}+..)=0.00331$ 17
		435.6 1	100.0 12	366.58+x	(11/2 <sup>+</sup> )	(E2)		0.0267	$\alpha(\text{K})=0.0204$ 7; $\alpha(\text{L})=0.00485$ 15; $\alpha(\text{M})=0.00114$ 4; $\alpha(\text{N}+..)=0.00033$ 1 B(E2)(W.u.)=131 8
821.14+x	(13/2 <sup>+</sup> )	301.5 5	49.6 17	519.60+x	(11/2 <sup>+</sup> )	D(+Q)	+0.07 7		
		388.46 14	100.0 25	432.70+x	(9/2 <sup>+</sup> )	Q			
893.46+x	(17/2 <sup>-</sup> )	230.7 1	100 10	662.61+x	(15/2 <sup>-</sup> )	(M1+E2)	+0.25 3	0.347	$\alpha(\text{K})=0.288$ 3; $\alpha(\text{L})=0.0458$ ; $\alpha(\text{M})=0.0103$ ; $\alpha(\text{N}+..)=0.00307$ B(M1)(W.u.)=0.25 4; B(E2)(W.u.)=140 40
		398.6 1	91 9	494.72+x	(13/2 <sup>-</sup> )	E2		0.0340	$\alpha(\text{K})=0.0255$ 8; $\alpha(\text{L})=0.00648$ 20; $\alpha(\text{M})=0.00153$ 5; $\alpha(\text{N}+..)=0.00045$ 1 B(E2)(W.u.)=143 19
943.34+x	(15/2 <sup>+</sup> )	231.88 20	17 5	711.20+x	(13/2 <sup>+</sup> )	(M1+E2)		0.26 9	$\alpha(\text{K})=0.20$ 10; $\alpha(\text{L})=0.0461$ 12; $\alpha(\text{M})=0.0107$ 7; $\alpha(\text{N}+..)=0.00314$ 13
		423.70 12	100.0 14	519.60+x	(11/2 <sup>+</sup> )	E2		0.0288	$\alpha(\text{K})=0.0218$ 7; $\alpha(\text{L})=0.00531$ 16; $\alpha(\text{M})=0.00124$ 4;

## Adopted Levels, Gammas (continued)

$\gamma(^{165}\text{Lu})$ (continued)									Comments
$E_i(\text{level})$	$J_i^\pi$	$E_\gamma^\dagger$	$I_\gamma^\ddagger$	$E_f$	$J_f^\pi$	Mult. <sup>#</sup>	$\delta^@$	$\alpha^a$	
943.34+x	(15/2 <sup>+</sup> )	444.10 15	34.5 9	499.22+x	(11/2 <sup>+</sup> )	E2		0.0254	$\alpha(\text{N}+..)=0.00036$ 1 B(E2)(W.u.)=260 30 $\alpha(\text{K})=0.0194$ 6; $\alpha(\text{L})=0.00456$ 14; $\alpha(\text{M})=0.00107$ 4; $\alpha(\text{N}+..)=0.00031$ 1 B(E2)(W.u.)=72 8
955.32+x	(15/2 <sup>+</sup> )	244.33 15 436.3 4 455.88 18	82 11 47 13 100 3	711.20+x (13/2 <sup>+</sup> ) 519.60+x (11/2 <sup>+</sup> ) 499.22+x (11/2 <sup>+</sup> )		(Q) Q			
976.1+x		772.7 5	100	203.4+x					
1030.18+x	(17/2 <sup>-</sup> )	335.4 1	100	694.78+x	(13/2 <sup>-</sup> )	E2		0.0555	$\alpha(\text{K})=0.0401$ 12; $\alpha(\text{L})=0.0117$ 4; $\alpha(\text{M})=0.00279$ 9; $\alpha(\text{N}+..)=0.00082$ 3 B(E2)(W.u.)=302 7
1048.83+x	(17/2 <sup>+</sup> )	246.69 13	22.9 22	802.23+x	(15/2 <sup>+</sup> )	(M1+E2)	+0.38 13	0.279 13	$\alpha(\text{K})=0.230$ 13; $\alpha(\text{L})=0.0378$ 1; $\alpha(\text{M})=0.0086$ ; $\alpha(\text{N}+..)=0.00257$ B(M1)(W.u.)=0.103 15; B(E2)(W.u.)=120 70
		474.7 1	100.0 10	574.13+x	(13/2 <sup>+</sup> )	E2		0.0213	$\alpha(\text{K})=0.0165$ 5; $\alpha(\text{L})=0.00370$ 11; $\alpha(\text{M})=0.00086$ 3; $\alpha(\text{N}+..)=0.00025$ 1 B(E2)(W.u.)=153 7
1099.95+x	(19/2 <sup>-</sup> )	206.4 1	71 7	893.46+x	(17/2 <sup>-</sup> )	(M1+E2)	+0.16 3	0.482	$\alpha(\text{K})=0.401$ 3; $\alpha(\text{L})=0.0627$ 1; $\alpha(\text{M})=0.0141$ 1; $\alpha(\text{N}+..)=0.00409$ 1 B(M1)(W.u.)=0.49 7; B(E2)(W.u.)=140 60
		437.6 1	100 10	662.61+x	(15/2 <sup>-</sup> )	E2		0.0265	$\alpha(\text{K})=0.0202$ 6; $\alpha(\text{L})=0.00480$ 15; $\alpha(\text{M})=0.00112$ 4; $\alpha(\text{N}+..)=0.00033$ 1 B(E2)(W.u.)=187 24
1197.30+x	(17/2 <sup>+</sup> )	241.82 15 486.10 15	53.0 24 100.0 22	955.32+x (15/2 <sup>+</sup> ) 711.20+x (13/2 <sup>+</sup> )		(Q)			
1292.01+x	(17/2 <sup>+</sup> )	348.32 20 470.89 15	27.8 11 100.0 22	943.34+x (15/2 <sup>+</sup> ) 821.14+x (13/2 <sup>+</sup> )		D(+Q) Q	+0.06 6		
1310.65+x	(19/2 <sup>+</sup> )	262.00 14 508.4 1	16.3 17 100.0 9	1048.83+x (17/2 <sup>+</sup> ) 802.23+x (15/2 <sup>+</sup> )		D Q			
1386.75+x	(21/2 <sup>-</sup> )	287.0 1	77 8	1099.95+x	(19/2 <sup>-</sup> )	(M1+E2)	+0.20 3	0.193	$\alpha(\text{K})=0.161$ 1; $\alpha(\text{L})=0.0248$ 1; $\alpha(\text{M})=0.00558$ 1; $\alpha(\text{N}+..)=0.00171$ B(M1)(W.u.)=0.28 6; B(E2)(W.u.)=66 23
		493.1 1	100 10	893.46+x	(17/2 <sup>-</sup> )	E2		0.0193	$\alpha(\text{K})=0.0150$ 5; $\alpha(\text{L})=0.00328$ 10; $\alpha(\text{M})=0.00076$ 2; $\alpha(\text{N}+..)=0.00022$ 1 B(E2)(W.u.)=150 30
1445.45+x	(19/2 <sup>+</sup> )	502.1 1	100	943.34+x	(15/2 <sup>+</sup> )	E2		0.0186	$\alpha(\text{K})=0.0144$ 5; $\alpha(\text{L})=0.00312$ 10 B(E2)(W.u.)=150 7
1462.28+x	(21/2 <sup>-</sup> )	432.1 1	100	1030.18+x	(17/2 <sup>-</sup> )	E2		0.0272	$\alpha(\text{K})=0.0207$ 7; $\alpha(\text{L})=0.00496$ 15; $\alpha(\text{M})=0.00116$ 4; $\alpha(\text{N}+..)=0.00034$ 1 B(E2)(W.u.)=240 60
1478.40+x	(19/2 <sup>+</sup> )	281.10 16 523.49 18	53 3 100 4	1197.30+x (17/2 <sup>+</sup> ) 955.32+x (15/2 <sup>+</sup> )		Q			
1587.07+x	(21/2 <sup>+</sup> )	276.52 13	23.0 10	1310.65+x	(19/2 <sup>+</sup> )	(M1+E2)	+0.26 7	0.211 5	$\alpha(\text{K})=0.176$ 4; $\alpha(\text{L})=0.0275$ 1; $\alpha(\text{M})=0.00619$ 2;

## Adopted Levels, Gammas (continued)

$\gamma(^{165}\text{Lu})$ (continued)									
$E_i(\text{level})$	$J_i^\pi$	$E_\gamma^\dagger$	$I_\gamma^\ddagger$	$E_f$	$J_f^\pi$	Mult. <sup>#</sup>	$\delta^@$	$\alpha^a$	Comments
1587.07+x	(21/2 <sup>+</sup> )	538.2 1	100.0 9	1048.83+x	(17/2 <sup>+</sup> )	E2		0.0156	$\alpha(\text{N}+..)=0.00189$ 1 B(M1)(W.u.)=0.158 15; B(E2)(W.u.)=70 40 $\alpha(\text{K})=0.0123$ 4; $\alpha(\text{L})=0.00253$ 8 B(E2)(W.u.)=164 13
1618.75+x	(23/2 <sup>-</sup> )	232.1 1	43 3	1386.75+x	(21/2 <sup>-</sup> )	(M1+E2)	+0.11 3	0.351	$\alpha(\text{K})=0.293$ 1; $\alpha(\text{L})=0.0450$ ; $\alpha(\text{M})=0.0101$ ; $\alpha(\text{N}+..)=0.00302$ B(M1)(W.u.)=0.40 6; B(E2)(W.u.)=43 24
		518.8 1	100 8	1099.95+x	(19/2 <sup>-</sup> )	E2		0.0171	$\alpha(\text{K})=0.0133$ 4; $\alpha(\text{L})=0.00282$ 9 B(E2)(W.u.)=190 30
1740.04+x	(21/2 <sup>+</sup> )	262.05 18	39 6	1478.40+x	(19/2 <sup>+</sup> )	Q			
		448.6 3	13.7 23	1292.01+x	(17/2 <sup>+</sup> )				
		542.58 16	100.0 23	1197.30+x	(17/2 <sup>+</sup> )	Q			
1769.6+x	(19/2 <sup>-</sup> )	720.7 8	100	1048.83+x	(17/2 <sup>+</sup> )	D			
1818.57+x	(21/2 <sup>+</sup> )	373.0 8	25 7	1445.45+x	(19/2 <sup>+</sup> )				
		526.14 17	100 25	1292.01+x	(17/2 <sup>+</sup> )	Q			
1871.63+x	(23/2 <sup>+</sup> )	284.49 15	14.0 18	1587.07+x	(21/2 <sup>+</sup> )	D			
		561.0 1	100.0 11	1310.65+x	(19/2 <sup>+</sup> )	Q			
1945.33+x	(25/2 <sup>-</sup> )	326.6 1	74 8	1618.75+x	(23/2 <sup>-</sup> )	D+Q	+0.09 5		
		558.5 1	100 10	1386.75+x	(21/2 <sup>-</sup> )	Q			
1978.68+x	(25/2 <sup>-</sup> )	516.4 1	100	1462.28+x	(21/2 <sup>-</sup> )	Q			
1990.16+x	(23/2 <sup>+</sup> )	544.7 1	100	1445.45+x	(19/2 <sup>+</sup> )	Q			
2048.1+x	(23/2 <sup>+</sup> )	308.2 8	31 10	1740.04+x	(21/2 <sup>+</sup> )				
		569.75 18	100.0 25	1478.40+x	(19/2 <sup>+</sup> )				
2155.7+x	(23/2 <sup>-</sup> )	386.0 8	21 6	1769.6+x	(19/2 <sup>-</sup> )	Q			
		568.9 5	100 26	1587.07+x	(21/2 <sup>+</sup> )	D			
2166.73+x	(25/2 <sup>+</sup> )	295.04 14	17.3 4	1871.63+x	(23/2 <sup>+</sup> )	D+Q	+0.40 12		$I_\gamma$ : from ( $^{31}\text{P}, 4n\gamma$ ). $I_\gamma(295.0)/I_\gamma(579.7)=0.97$ in ( $^{19}\text{F}, 4n\gamma$ ) is discrepant. This branching ratio is 0.18 6 in ( $^{16}\text{O}, 4n\gamma$ ). It seems that the relative intensity of the 579.7 $\gamma$ is too low by a factor of about 5.
2196.30+x	(27/2 <sup>-</sup> )	579.7 1	100.0 11	1587.07+x	(21/2 <sup>+</sup> )	Q			
		251.0 1	24 3	1945.33+x	(25/2 <sup>-</sup> )	D(+Q)	+0.01 3		
		577.6 1	100 8	1618.75+x	(23/2 <sup>-</sup> )	Q			
2294.41+x	(25/2 <sup>+</sup> )	246.3 8	13 4	2048.1+x	(23/2 <sup>+</sup> )				
		475.01 24	29.5 13	1818.57+x	(21/2 <sup>+</sup> )	Q			$E_\gamma$ : poor fit; level-energy difference=475.85.
		554.59 15	100 3	1740.04+x	(21/2 <sup>+</sup> )	Q			
2348.77+x	(25/2 <sup>+</sup> )	530.23 20	100 3	1818.57+x	(21/2 <sup>+</sup> )	Q			
		608.84 20	85 8	1740.04+x	(21/2 <sup>+</sup> )	Q			
2409.4+x	(25/2 <sup>+</sup> )	590.7 5	100	1818.57+x	(21/2 <sup>+</sup> )	Q			
2458.63+x	(27/2 <sup>+</sup> )	291.80 14	21.8 5	2166.73+x	(25/2 <sup>+</sup> )	D+Q	+0.44 12		
		587.0 1	100.0 15	1871.63+x	(23/2 <sup>+</sup> )	Q			
2535.23+x	(29/2 <sup>-</sup> )	338.9 1	57 6	2196.30+x	(27/2 <sup>-</sup> )	D+Q	+0.18 3		
		589.8 1	100 7	1945.33+x	(25/2 <sup>-</sup> )	Q			
2538.63+x	(27/2 <sup>+</sup> )	548.45 15	100	1990.16+x	(23/2 <sup>+</sup> )	Q			
2545.0+x	(27/2 <sup>+</sup> )	554.8 3	100	1990.16+x	(23/2 <sup>+</sup> )	Q			

Adopted Levels, Gammas (continued)

$\gamma(^{165}\text{Lu})$  (continued)

$E_i(\text{level})$	$J_i^\pi$	$E_\gamma^\dagger$	$I_\gamma^\ddagger$	$E_f$	$J_f^\pi$	Mult.#	$\delta^@$	Comments
2564.38+x	(29/2 <sup>-</sup> )	585.7 1	100	1978.68+x	(25/2 <sup>-</sup> )	Q		
2585.7+x	(27/2 <sup>-</sup> )	418.3 8	36 11	2166.73+x	(25/2 <sup>+</sup> )	D		
		430.3 5	100 25	2155.7+x	(23/2 <sup>-</sup> )	Q		
2612.2+x	(27/2 <sup>+</sup> )	317.7 8	52 17	2294.41+x	(25/2 <sup>+</sup> )			
		564.03 23	100 25	2048.1+x	(23/2 <sup>+</sup> )	Q		
2730.25+x	(29/2 <sup>+</sup> )	271.40 14	43.7 7	2458.63+x	(27/2 <sup>+</sup> )	D		
		435.82 16	28 3	2294.41+x	(25/2 <sup>+</sup> )			
		563.6 1	100.0 17	2166.73+x	(25/2 <sup>+</sup> )	Q		
2753.45+x	(29/2 <sup>+</sup> )	404.85 20	42.8 18	2348.77+x	(25/2 <sup>+</sup> )			
		458.97 15	100.0 22	2294.41+x	(25/2 <sup>+</sup> )	Q		
		587.7 10	21 3	2166.73+x	(25/2 <sup>+</sup> )			
2765.4+x	(29/2 <sup>+</sup> )	220.2 8	38 10	2545.0+x	(27/2 <sup>+</sup> )			
		598.2 5	100 24	2166.73+x	(25/2 <sup>+</sup> )	Q		
2789.38+x	(31/2 <sup>-</sup> )	254.1 1	37 4	2535.23+x	(29/2 <sup>-</sup> )	D+Q	+0.18 4	
		593.2 1	100	2196.30+x	(27/2 <sup>-</sup> )	Q		
2794.4+x	(29/2 <sup>+</sup> )	384.8 8	57 17	2409.4+x	(25/2 <sup>+</sup> )			
		445.3 5	100 25	2348.77+x	(25/2 <sup>+</sup> )	Q		
2947.5+x	(31/2 <sup>-</sup> )	751.2 3	100	2196.30+x	(27/2 <sup>-</sup> )	Q		
2956.70+x	(31/2 <sup>+</sup> )	226.52 14	100.0 20	2730.25+x	(29/2 <sup>+</sup> )	D		
		418.06 14	57 10	2538.63+x	(27/2 <sup>+</sup> )	Q		
		498.27 18	73 6	2458.63+x	(27/2 <sup>+</sup> )	Q		
2968.4+x	(31/2 <sup>+</sup> )	203.1 5	50 12	2765.4+x	(29/2 <sup>+</sup> )	D		
		423.4 5	55 13	2545.0+x	(27/2 <sup>+</sup> )	Q		
		429.7 5	30 8	2538.63+x	(27/2 <sup>+</sup> )			
		509.8 3	100 15	2458.63+x	(27/2 <sup>+</sup> )			
2999.6+x	(31/2 <sup>+</sup> )	269.4 8	45 13	2730.25+x	(29/2 <sup>+</sup> )	D		
		455.0 8	32 11	2545.0+x	(27/2 <sup>+</sup> )	Q		
		461.0 8	50 16	2538.63+x	(27/2 <sup>+</sup> )	Q		
		540.9 5	100 26	2458.63+x	(27/2 <sup>+</sup> )	Q		
3038.95+x	(33/2 <sup>-</sup> )	249.7 1	100 8	2789.38+x	(31/2 <sup>-</sup> )	D+Q	+0.09 3	
		503.7 1	80 6	2535.23+x	(29/2 <sup>-</sup> )	Q		
3043.3+x	(31/2 <sup>+</sup> )	431.1 <sup>b</sup> 8	100	2612.2+x	(27/2 <sup>+</sup> )			
3067.2+x	(31/2 <sup>-</sup> )	481.5 5	100	2585.7+x	(27/2 <sup>-</sup> )	Q		
3180.45+x	(33/2 <sup>+</sup> )	224.33 16	42 7	2956.70+x	(31/2 <sup>+</sup> )			E <sub>γ</sub> : poor fit; level-energy difference=223.75.
		450.08 13	100.0 18	2730.25+x	(29/2 <sup>+</sup> )	Q		
3195.3+x	(33/2 <sup>-</sup> )	630.9 3	100	2564.38+x	(29/2 <sup>-</sup> )	Q		
3201.8+x	(33/2 <sup>+</sup> )	244.1 5	100 24	2956.70+x	(31/2 <sup>+</sup> )	D		
		435.7 5	73 18	2765.4+x	(29/2 <sup>+</sup> )			
		470.6 8	10 2	2730.25+x	(29/2 <sup>+</sup> )	Q		
3222.5+x	(33/2 <sup>-</sup> )	275.0 8	1.1 3	2947.5+x	(31/2 <sup>-</sup> )	D		
		658.1 8	2.5 8	2564.38+x	(29/2 <sup>-</sup> )			
		687.3 5	100 25	2535.23+x	(29/2 <sup>-</sup> )	Q		
3224.2+x	(33/2 <sup>+</sup> )	471.0 5	100	2753.45+x	(29/2 <sup>+</sup> )	Q		

Adopted Levels, Gammas (continued)

$\gamma(^{165}\text{Lu})$  (continued)

$E_i(\text{level})$	$J_i^\pi$	$E_\gamma^\dagger$	$I_\gamma^\ddagger$	$E_f$	$J_f^\pi$	Mult.#	$\delta^\oplus$	Comments
3239.7+x	(33/2 <sup>+</sup> )	445.28 24	100 5	2794.4+x	(29/2 <sup>+</sup> )	Q		
		486.4 4	60 9	2753.45+x	(29/2 <sup>+</sup> )	Q		
3248.59+x	(35/2 <sup>-</sup> )	209.7 1	100 8	3038.95+x	(33/2 <sup>-</sup> )	D+Q	+0.07 3	
		301.1 8	1.9 6	2947.5+x	(31/2 <sup>-</sup> )	Q		
		459.1 1	44 3	2789.38+x	(31/2 <sup>-</sup> )	Q		
3417.32+x	(35/2 <sup>+</sup> )	214.1 3	11 8	3201.8+x	(33/2 <sup>+</sup> )	D		E <sub>γ</sub> : poor fit; level-energy difference=215.5.
		237.23 14	100 9	3180.45+x	(33/2 <sup>+</sup> )	D		
		449.0 5	66 17	2968.4+x	(31/2 <sup>+</sup> )	Q		
		460.51 15	100 9	2956.70+x	(31/2 <sup>+</sup> )	Q		
3436.61+x	(35/2 <sup>+</sup> )	235.6 3	100 15	3201.8+x	(33/2 <sup>+</sup> )	D		
		468.2 5	58 14	2968.4+x	(31/2 <sup>+</sup> )	Q		
		479.83 17	68.0 17	2956.70+x	(31/2 <sup>+</sup> )	Q		
3471.6+x	(35/2 <sup>+</sup> )	472.0 5	100	2999.6+x	(31/2 <sup>+</sup> )	Q		
3475.30+x	(37/2 <sup>-</sup> )	226.8 1	100 9	3248.59+x	(35/2 <sup>-</sup> )	D+Q	+0.09 2	
		436.4 1	40 3	3038.95+x	(33/2 <sup>-</sup> )	Q		
3485.1+x	(35/2 <sup>-</sup> )	262.6 5	43 11	3222.5+x	(33/2 <sup>-</sup> )			
		537.6 8	20 6	2947.5+x	(31/2 <sup>-</sup> )			
		695.7 3	100 25	2789.38+x	(31/2 <sup>-</sup> )	Q		
3602.3+x	(35/2 <sup>-</sup> )	535.1 5	100	3067.2+x	(31/2 <sup>-</sup> )	Q		
3682.55+x	(37/2 <sup>+</sup> )	265.33 14	60.4 14	3417.32+x	(35/2 <sup>+</sup> )	D		
		502.04 16	100.0 25	3180.45+x	(33/2 <sup>+</sup> )	Q		
3705.3+x	(37/2 <sup>+</sup> )	268.63 20	100	3436.61+x	(35/2 <sup>+</sup> )	D		
3735.3+x	(39/2 <sup>-</sup> )	260.0 1	100 7	3475.30+x	(37/2 <sup>-</sup> )			
		486.6 1	53 4	3248.59+x	(35/2 <sup>-</sup> )	Q		
3754.1+x	(37/2 <sup>+</sup> )	530.1 5	100	3224.2+x	(33/2 <sup>+</sup> )	Q		
3764.2+x	(37/2 <sup>+</sup> )	524.44 20	100	3239.7+x	(33/2 <sup>+</sup> )	Q		
3824.1+x	(37/2 <sup>-</sup> )	339.0 5	100 25	3485.1+x	(35/2 <sup>-</sup> )	D		
		601.6 5	100 25	3222.5+x	(33/2 <sup>-</sup> )	Q		
		628.8 8	42 13	3195.3+x	(33/2 <sup>-</sup> )	Q		
3853.7+x	(37/2 <sup>-</sup> )	658.4 5	100	3195.3+x	(33/2 <sup>-</sup> )	Q		
3863.9+x	(35/2 <sup>+</sup> )	624.4		3239.7+x	(33/2 <sup>+</sup> )			
3970.2+x	(39/2 <sup>+</sup> )	287.6 5	44 3	3682.55+x	(37/2 <sup>+</sup> )	D		
		552.9 3	100 3	3417.32+x	(35/2 <sup>+</sup> )	Q		
3981.10+x	(39/2 <sup>+</sup> )	275.2 5	22.7 17	3705.3+x	(37/2 <sup>+</sup> )	D		
		544.65 15	100.0 24	3436.61+x	(35/2 <sup>+</sup> )	Q		
		562.5 4	15.4 21	3417.32+x	(35/2 <sup>+</sup> )			E <sub>γ</sub> : poor fit; level-energy difference=563.8.
4010.3+x	(41/2 <sup>-</sup> )	275.0 1	100 9	3735.3+x	(39/2 <sup>-</sup> )	D+Q	+0.06 2	
		535.1 1	94 9	3475.30+x	(37/2 <sup>-</sup> )	Q		
4034.6+x	(39/2 <sup>+</sup> )	563.0 5	100	3471.6+x	(35/2 <sup>+</sup> )	Q		
4117.1+x	(39/2 <sup>-</sup> )	292.9 8	52 16	3824.1+x	(37/2 <sup>-</sup> )	D		
		632.0 5	100 24	3485.1+x	(35/2 <sup>-</sup> )	Q		
4185.0+x	(39/2 <sup>-</sup> )	582.7 5	100	3602.3+x	(35/2 <sup>-</sup> )	Q		
4269.9+x	(41/2 <sup>+</sup> )	288.46 15	74 3	3981.10+x	(39/2 <sup>+</sup> )	D		

Adopted Levels, Gammas (continued)

$\gamma(^{165}\text{Lu})$ (continued)								
$E_i(\text{level})$	$J_i^\pi$	$E_\gamma^\dagger$	$I_\gamma^\ddagger$	$E_f$	$J_f^\pi$	Mult.#	$\delta^@$	Comments
4269.9+x	(41/2 <sup>+</sup> )	299.8 5 564.8 8	80 15 10 3	3970.2+x 3705.3+x	(39/2 <sup>+</sup> ) (37/2 <sup>+</sup> )	D		
		587.46 21	100 5	3682.55+x	(37/2 <sup>+</sup> )			
4290.5+x	(41/2 <sup>+</sup> )	309.4 8 608.0 5	26 8 100 26	3981.10+x 3682.55+x	(39/2 <sup>+</sup> ) (37/2 <sup>+</sup> )	Q		
4322.3+x	(43/2 <sup>-</sup> )	312.0 1 586.8 1	100 8 81 7	4010.3+x 3735.3+x	(41/2 <sup>-</sup> ) (39/2 <sup>-</sup> )	D+Q Q	+0.19 3	
4346.6+x	(41/2 <sup>+</sup> )	582.36 18 592.7 8	100 25 25 7	3764.2+x 3754.1+x	(37/2 <sup>+</sup> ) (37/2 <sup>+</sup> )	Q		
4373.4+x	(41/2 <sup>+</sup> )	608.8 8 619.4 5	34 11 100 25	3764.2+x 3754.1+x	(37/2 <sup>+</sup> ) (37/2 <sup>+</sup> )	Q		
4402.6+x	(39/2 <sup>+</sup> )	538.9 8 638.2 8	100 29 41 12	3863.9+x 3764.2+x	(35/2 <sup>+</sup> ) (37/2 <sup>+</sup> )			
4453.6+x	(41/2 <sup>-</sup> )	336.6 8 629.6 5	27 8 100 26	4117.1+x 3824.1+x	(39/2 <sup>-</sup> ) (37/2 <sup>-</sup> )	Q		
4490.7+x	(41/2 <sup>-</sup> )	637.1 5	100	3853.7+x	(37/2 <sup>-</sup> )	Q		
4575.3+x	(41/2 <sup>-</sup> )	840.0 <sup>b</sup> 8	100	3735.3+x	(39/2 <sup>-</sup> )			
4579.3+x	(43/2 <sup>+</sup> )	309.08 20 598.55 15	44 4 100.0 24	4269.9+x 3981.10+x	(41/2 <sup>+</sup> ) (39/2 <sup>+</sup> )	D Q		
		609.3 5	49 3	3970.2+x	(39/2 <sup>+</sup> )	Q		
4613.9+x	(43/2 <sup>+</sup> )	643.7 3	100	3970.2+x	(39/2 <sup>+</sup> )	Q		
4645.2+x	(45/2 <sup>-</sup> )	322.7 1 635.2 1	84 7 100 8	4322.3+x 4010.3+x	(43/2 <sup>-</sup> ) (41/2 <sup>-</sup> )	D Q		
4686.6+x	(43/2 <sup>+</sup> )	652.0 5	100	4034.6+x	(39/2 <sup>+</sup> )	Q		
4773.5+x	(43/2 <sup>-</sup> )	320.1 8 656.3 5	37 11 100 24	4453.6+x 4117.1+x	(41/2 <sup>-</sup> ) (39/2 <sup>-</sup> )	D Q		
4800.4+x	(43/2 <sup>-</sup> )	615.4 5	100	4185.0+x	(39/2 <sup>-</sup> )	Q		
4888.6+x	(45/2 <sup>+</sup> )	309.36 15 618.51 15	100 15 100 15	4579.3+x 4269.9+x	(43/2 <sup>+</sup> ) (41/2 <sup>+</sup> )	D Q		
4960.5+x	(45/2 <sup>+</sup> )	346.6 8 670.0 5 690.5 8	60 17 100 26 43 13	4613.9+x 4290.5+x 4269.9+x	(43/2 <sup>+</sup> ) (41/2 <sup>+</sup> ) (41/2 <sup>+</sup> )	D Q		
4987.9+x	(45/2 <sup>+</sup> )	641.3 5	100	4346.6+x	(41/2 <sup>+</sup> )	Q		
4996.5+x	(47/2 <sup>-</sup> )	351.2 3 674.1 1	67 10 100 8	4645.2+x 4322.3+x	(45/2 <sup>-</sup> ) (43/2 <sup>-</sup> )	D Q		
5000.7+x	(43/2 <sup>+</sup> )	598.0 8 654.1 8	100 30 27 8	4402.6+x 4346.6+x	(39/2 <sup>+</sup> ) (41/2 <sup>+</sup> )			B(E2)(W.u.)<240
5068.2+x	(45/2 <sup>+</sup> )	694.8 5	100	4373.4+x	(41/2 <sup>+</sup> )	Q		
5115.7+x	(45/2 <sup>-</sup> )	625.0 8 662.0 5	35 10 100 26	4490.7+x 4453.6+x	(41/2 <sup>-</sup> ) (41/2 <sup>-</sup> )	Q		
5145.2+x	(45/2 <sup>-</sup> )	654.5 5	100	4490.7+x	(41/2 <sup>-</sup> )	Q		
5174.2+x	(45/2 <sup>-</sup> )	598.8 5	100	4575.3+x	(41/2 <sup>-</sup> )			
5220.7+x	(47/2 <sup>+</sup> )	331.9 3	88 13	4888.6+x	(45/2 <sup>+</sup> )	D		

B(E2)(W.u.)<240

## Adopted Levels, Gammas (continued)

$\gamma(^{165}\text{Lu})$ (continued)								
$E_i(\text{level})$	$J_i^\pi$	$E_\gamma^\dagger$	$I_\gamma^\ddagger$	$E_f$	$J_f^\pi$	Mult.#	$\delta^@$	Comments
5220.7+x	(47/2 <sup>+</sup> )	641.4 3	100 15	4579.3+x	(43/2 <sup>+</sup> )	Q		
5325.9+x	(47/2 <sup>+</sup> )	712.0 5	100	4613.9+x	(43/2 <sup>+</sup> )	Q		
5363.9+x	(49/2 <sup>-</sup> )	367.2 3	46 7	4996.5+x	(47/2 <sup>-</sup> )	D		
		718.7 1	100 8	4645.2+x	(45/2 <sup>-</sup> )	Q		
5393.6+x	(47/2 <sup>+</sup> )	707.0 5	100	4686.6+x	(43/2 <sup>+</sup> )	Q		
5435.6+x	(47/2 <sup>+</sup> )	749.0 8	100	4686.6+x	(43/2 <sup>+</sup> )	Q		
5446.7+x	(47/2 <sup>-</sup> )	331.0 <sup>b</sup> 8	25 8	5115.7+x	(45/2 <sup>-</sup> )			
		646.3 5	100 25	4800.4+x	(43/2 <sup>-</sup> )	Q		
5448.8+x	(45/2 <sup>+</sup> )	661.3 8	100	4787.5+x	(41/2 <sup>+</sup> )			
		1102.2 <sup>b</sup>		4346.6+x	(41/2 <sup>+</sup> )			
5475.8+x	(47/2 <sup>-</sup> )	702.31 5	100	4773.5+x	(43/2 <sup>-</sup> )	Q		
5539.5+x	(49/2 <sup>+</sup> )	318.6 3	84 12	5220.7+x	(47/2 <sup>+</sup> )	D		
		651.1 3	100 15	4888.6+x	(45/2 <sup>+</sup> )	Q		
5655.8+x	(47/2 <sup>+</sup> )	655.1 8	100 29	5000.7+x	(43/2 <sup>+</sup> )			
		667.9 8	27 8	4987.9+x	(45/2 <sup>+</sup> )	(E2+M1) <sup>&amp;</sup>	+3.1 <sup>&amp;</sup> 4	
5684.7+x	(49/2 <sup>+</sup> )	696.8 5	100	4987.9+x	(45/2 <sup>+</sup> )	Q		
5695.5+x	(49/2 <sup>+</sup> )	735.0 5	100	4960.5+x	(45/2 <sup>+</sup> )	Q		
5740.6+x	(51/2 <sup>-</sup> )	377.0 5	51 13	5363.9+x	(49/2 <sup>-</sup> )	D		
		743.9 3	100 15	4996.5+x	(47/2 <sup>-</sup> )	Q		B(E2)(W.u.)<240
5786.5+x	(49/2 <sup>-</sup> )	339.8 8	38 12	5446.7+x	(47/2 <sup>-</sup> )			
		670.8 8	100 31	5115.7+x	(45/2 <sup>-</sup> )	Q		
5823.2+x	(49/2 <sup>+</sup> )	755.0 5	100 27	5068.2+x	(45/2 <sup>+</sup> )	Q		
5825.4+x	(49/2 <sup>-</sup> )	349.5 8	42 12	5475.8+x	(47/2 <sup>-</sup> )			
		651.2 5	100 24	5174.2+x	(45/2 <sup>-</sup> )			
5845.2+x	(49/2 <sup>-</sup> )	700.0 8	100	5145.2+x	(45/2 <sup>-</sup> )	Q		
5861.0+x	(49/2 <sup>-</sup> )	715.8 <sup>b</sup> 8	100	5145.2+x	(45/2 <sup>-</sup> )			
5899.8+x	(51/2 <sup>+</sup> )	360.1 5	92 23	5539.5+x	(49/2 <sup>+</sup> )	(D)		
		679.2 5	100 26	5220.7+x	(47/2 <sup>+</sup> )	Q		
6080.9+x	(51/2 <sup>+</sup> )	687.2 8	36 11	5393.6+x	(47/2 <sup>+</sup> )			
		755.0 5	100 24	5325.9+x	(47/2 <sup>+</sup> )	Q		
6101.7+x	(51/2 <sup>+</sup> )	708.1 8	14 5	5393.6+x	(47/2 <sup>+</sup> )			
		775.8 5	100 26	5325.9+x	(47/2 <sup>+</sup> )	Q		
6138.1+x	(51/2 <sup>-</sup> )	351.5 8	32 10	5786.5+x	(49/2 <sup>-</sup> )			
		691.4 5	100 3	5446.7+x	(47/2 <sup>-</sup> )	Q		
6147.1+x	(53/2 <sup>-</sup> )	406.0 5	46 12	5740.6+x	(51/2 <sup>-</sup> )	D		
		783.3 3	100 15	5363.9+x	(49/2 <sup>-</sup> )	Q		B(E2)(W.u.)=180 +40-30
6154.8+x	(49/2 <sup>+</sup> )	706.0 8	100	5448.8+x	(45/2 <sup>+</sup> )			
		1166.9 <sup>b</sup>		4987.9+x	(45/2 <sup>+</sup> )			
6178.7+x	(51/2 <sup>-</sup> )	352.8 8	29 10	5825.4+x	(49/2 <sup>-</sup> )			
		703.0 5	100 24	5475.8+x	(47/2 <sup>-</sup> )	Q		
6188.6+x	(51/2 <sup>+</sup> )	753.0 8	100 31	5435.6+x	(47/2 <sup>+</sup> )	Q		
		795.0 8	69 23	5393.6+x	(47/2 <sup>+</sup> )	Q		

**Adopted Levels, Gammas (continued)**

$\gamma(^{165}\text{Lu})$ (continued)							
$E_i(\text{level})$	$J_i^\pi$	$E_\gamma^\dagger$	$I_\gamma^\ddagger$	$E_f$	$J_f^\pi$	Mult.#	$\delta^@$
6236.2+x	(53/2 <sup>+</sup> )	336.0 5 696.7 3	72 18 100 15	5899.8+x 5539.5+x	(51/2 <sup>+</sup> ) (49/2 <sup>+</sup> )	D Q	
6367.2+x	(51/2 <sup>+</sup> )	682.5 8 711.4 8	6 2 100 31	5684.7+x 5655.8+x	(49/2 <sup>+</sup> ) (47/2 <sup>+</sup> )	(E2+M1)& Q	+3.1& 4
6434.9+x	(53/2 <sup>+</sup> )	750.2 5	100	5684.7+x	(49/2 <sup>+</sup> )	Q	
6448.5+x	(53/2 <sup>+</sup> )	367.6 8 753.0 8	86 24 100 29	6080.9+x 5695.5+x	(51/2 <sup>+</sup> ) (49/2 <sup>+</sup> )	Q	
6507.6+x	(53/2 <sup>-</sup> )	369.4 8 721.2 5	44 13 100 26	6138.1+x 5786.5+x	(51/2 <sup>-</sup> ) (49/2 <sup>-</sup> )	Q	
6511.5+x	(53/2 <sup>+</sup> )	816.0 8	100	5695.5+x	(49/2 <sup>+</sup> )	Q	
6539.2+x	(55/2 <sup>-</sup> )	391.8 5 798.7 3	41 25 100 15	6147.1+x 5740.6+x	(53/2 <sup>-</sup> ) (51/2 <sup>-</sup> )	D Q	
6552.5+x	(53/2 <sup>-</sup> )	373.5 8 727.3 8	24 10 100 29	6178.7+x 5825.4+x	(51/2 <sup>-</sup> ) (49/2 <sup>-</sup> )	Q	
6608.7+x	(53/2 <sup>-</sup> )	763.5 8	100	5845.2+x	(49/2 <sup>-</sup> )	Q	
6612.7+x	(53/2 <sup>+</sup> )	789.5 8	100	5823.2+x	(49/2 <sup>+</sup> )	Q	
6632.2+x	(55/2 <sup>+</sup> )	395.8 5 732.9 5	94 23 100 25	6236.2+x 5899.8+x	(53/2 <sup>+</sup> ) (51/2 <sup>+</sup> )	D Q	
6642.3+x	(53/2 <sup>-</sup> )	781.3 8	100	5861.0+x	(49/2 <sup>-</sup> )		
6841.9+x	(55/2 <sup>+</sup> )	393.4 8 761.0 8	63 21 100 30	6448.5+x 6080.9+x	(53/2 <sup>+</sup> ) (51/2 <sup>+</sup> )	Q	
6886.7+x	(55/2 <sup>-</sup> )	378.9 8 748.6 5	38 11 100 25	6507.6+x 6138.1+x	(53/2 <sup>-</sup> ) (51/2 <sup>-</sup> )	Q	
6903.6+x	(53/2 <sup>+</sup> )	748.8 8 1218.9 <sup>b</sup>	100	6154.8+x 5684.7+x	(49/2 <sup>+</sup> ) (49/2 <sup>+</sup> )		
6907.6+x	(55/2 <sup>+</sup> )	805.9 8 826.7 8	100 31 8 4	6101.7+x 6080.9+x	(51/2 <sup>+</sup> ) (51/2 <sup>+</sup> )	Q	
6947.3+x	(55/2 <sup>-</sup> )	394.8 8 768.6 8	25 8 100 33	6552.5+x 6178.7+x	(53/2 <sup>-</sup> ) (51/2 <sup>-</sup> )	Q	
6982.4+x	(57/2 <sup>-</sup> )	442.9 5 835.4 3	27 6 100 15	6539.2+x 6147.1+x	(55/2 <sup>-</sup> ) (53/2 <sup>-</sup> )	D Q	
6994.6+x	(55/2 <sup>+</sup> )	806.0 8	100	6188.6+x	(51/2 <sup>+</sup> )	Q	
6998.0+x	(57/2 <sup>+</sup> )	365.9 5 761.4 5	42 11 100 25	6632.2+x 6236.2+x	(55/2 <sup>+</sup> ) (53/2 <sup>+</sup> )	D Q	
7132.9+x	(55/2 <sup>+</sup> )	697.9 8 765.7 8	21 6 100 29	6434.9+x 6367.2+x	(53/2 <sup>+</sup> ) (51/2 <sup>+</sup> )	Q	
7238.2+x	(57/2 <sup>+</sup> )	803.3 5	100	6434.9+x	(53/2 <sup>+</sup> )	Q	
7240.5+x	(57/2 <sup>+</sup> )	398.6 8 792.0 8	95 30 100 32	6841.9+x 6448.5+x	(55/2 <sup>+</sup> ) (53/2 <sup>+</sup> )	Q	
7288.1+x	(57/2 <sup>-</sup> )	401.4 8 780.4 5	34 10 100 24	6886.7+x 6507.6+x	(55/2 <sup>-</sup> ) (53/2 <sup>-</sup> )	Q	
7338.5+x	(57/2 <sup>+</sup> )	827.0 8	100	6511.5+x	(53/2 <sup>+</sup> )	Q	



Adopted Levels, Gammas (continued)

$\gamma(^{165}\text{Lu})$  (continued)

$E_i(\text{level})$	$J_i^\pi$	$E_\gamma^\dagger$	$I_\gamma^\ddagger$	$E_f$	$J_f^\pi$	Mult. <sup>#</sup>	$E_i(\text{level})$	$J_i^\pi$	$E_\gamma^\dagger$	$I_\gamma^\ddagger$	$E_f$	$J_f^\pi$	Mult. <sup>#</sup>
7354.9+x	(57/2 <sup>-</sup> )	407.5 <sup>b</sup> 8	21 7	6947.3+x	(55/2 <sup>-</sup> )		8795.3+x	(65/2 <sup>-</sup> )	931.0 5	100	7864.3+x	(61/2 <sup>-</sup> )	Q
		802.5 8	100 29	6552.5+x	(53/2 <sup>-</sup> )		8824.9+x	(63/2 <sup>+</sup> )	872.1 8	100	7952.7+x	(59/2 <sup>+</sup> )	Q
7383.6+x	(59/2 <sup>-</sup> )	401.2 5	35 9	6982.4+x	(57/2 <sup>-</sup> )		9002.8+x	(65/2 <sup>+</sup> )	908.9 8	100	8093.9+x	(61/2 <sup>+</sup> )	Q
		844.5 3	100 15	6539.2+x	(55/2 <sup>-</sup> )	Q	9028.0+x	(65/2 <sup>-</sup> )	900.1 5	100	8128.0+x	(61/2 <sup>-</sup> )	Q
7417.6+x	(57/2 <sup>+</sup> )	804.9 8	100	6612.7+x	(53/2 <sup>+</sup> )		9067.5+x	(65/2 <sup>+</sup> )	953.0 8	100	8114.5+x	(61/2 <sup>+</sup> )	
7431.3+x	(57/2 <sup>-</sup> )	822.6 8	100	6608.7+x	(53/2 <sup>-</sup> )	Q	9133.5+x	(65/2 <sup>+</sup> )	921.0 8	100	8212.5+x	(61/2 <sup>+</sup> )	
7439.1+x	(59/2 <sup>+</sup> )	442.0 8	27 7	6998.0+x	(57/2 <sup>+</sup> )		9156.0+x	(65/2 <sup>-</sup> )	928.9 8	100	8227.1+x	(61/2 <sup>-</sup> )	
		806.9 5	100 25	6632.2+x	(55/2 <sup>+</sup> )	Q	9160.2+x	(65/2 <sup>+</sup> )	902.8 8	100	8257.4+x	(61/2 <sup>+</sup> )	
7467.1+x	(57/2 <sup>-</sup> )	824.8 8	100	6642.3+x	(53/2 <sup>-</sup> )	Q	9199.0+x	(67/2 <sup>-</sup> )	929.4 5	100	8269.6+x	(63/2 <sup>-</sup> )	Q
7677.9+x	(59/2 <sup>+</sup> )	437.4 8	72 20	7240.5+x	(57/2 <sup>+</sup> )		9242.6+x	(65/2 <sup>-</sup> )	930.2 8	100	8312.3+x	(61/2 <sup>-</sup> )	
		836.0 8	100 32	6841.9+x	(55/2 <sup>+</sup> )	Q	9265.1+x	(65/2 <sup>-</sup> )	928.3 8	100	8336.8+x	(61/2 <sup>-</sup> )	
7693.9+x	(59/2 <sup>-</sup> )	405.9 8	28 9	7288.1+x	(57/2 <sup>-</sup> )		9308.7+x	(67/2 <sup>+</sup> )	977.9 5	100	8330.8+x	(63/2 <sup>+</sup> )	
		807.3 5	100 25	6886.7+x	(55/2 <sup>-</sup> )	Q	9456.6+x	(65/2 <sup>+</sup> )	904.7 8	100	8551.9+x	(61/2 <sup>+</sup> )	
7702.3+x	(57/2 <sup>+</sup> )	798.7 8	100	6903.6+x	(53/2 <sup>+</sup> )		9475.3+x	(67/2 <sup>-</sup> )	918.2 8	100	8557.0+x	(63/2 <sup>-</sup> )	
7760.3+x	(59/2 <sup>+</sup> )	852.7 8	100	6907.6+x	(55/2 <sup>+</sup> )		9544.9+x	(67/2 <sup>+</sup> )	960.0 8	100	8584.9+x	(63/2 <sup>+</sup> )	Q
7788.7+x	(59/2 <sup>-</sup> )	841.4 8	100	6947.3+x	(55/2 <sup>-</sup> )	Q	9607.1+x	(67/2 <sup>+</sup> )	946.7 8	100	8660.4+x	(63/2 <sup>+</sup> )	
7837.4+x	(61/2 <sup>+</sup> )	398.6 5	51 12	7439.1+x	(59/2 <sup>+</sup> )	D	9643.2+x	(67/2 <sup>-</sup> )	951.2 8	100	8692.0+x	(63/2 <sup>-</sup> )	Q
		839.50 5	100 25	6998.0+x	(57/2 <sup>+</sup> )	Q	9671.6+x	(67/2 <sup>+</sup> )	938.0 8	100	8733.6+x	(63/2 <sup>+</sup> )	
7841.6+x	(59/2 <sup>+</sup> )	847.0 8	100	6994.6+x	(55/2 <sup>+</sup> )	Q	9742.6+x	(69/2 <sup>+</sup> )	987.9 5	100	8754.7+x	(65/2 <sup>+</sup> )	Q
7864.3+x	(61/2 <sup>-</sup> )	881.6 5	100	6982.4+x	(57/2 <sup>-</sup> )	Q	9751.5+x	(67/2 <sup>+</sup> )	926.6 8	100	8824.9+x	(63/2 <sup>+</sup> )	Q
7952.7+x	(59/2 <sup>+</sup> )	819.9 8	100	7132.9+x	(55/2 <sup>+</sup> )	Q	9781.3+x	(69/2 <sup>-</sup> )	986.0 5	100	8795.3+x	(65/2 <sup>-</sup> )	Q
8093.9+x	(61/2 <sup>+</sup> )	855.7 8	100	7238.2+x	(57/2 <sup>+</sup> )	Q	9965.8+x	(69/2 <sup>+</sup> )	963.0 8	100	9002.8+x	(65/2 <sup>+</sup> )	Q
8114.5+x	(61/2 <sup>+</sup> )	436.6 8	24 8	7677.9+x	(59/2 <sup>+</sup> )		9991.2+x	(69/2 <sup>-</sup> )	963.1 8	100	9028.0+x	(65/2 <sup>-</sup> )	
		874.0 8	100 32	7240.5+x	(57/2 <sup>+</sup> )	Q	10072.5+x	(69/2 <sup>+</sup> )	1005.0 8	100	9067.5+x	(65/2 <sup>+</sup> )	
8128.0+x	(61/2 <sup>-</sup> )	434.0 8	16 5	7693.9+x	(59/2 <sup>-</sup> )		10107.5+x	(69/2 <sup>+</sup> )	974.0 8	100	9133.5+x	(65/2 <sup>+</sup> )	
		839.9 5	100 26	7288.1+x	(57/2 <sup>-</sup> )	Q	10129.5+x	(69/2 <sup>-</sup> )	973.5 8	100	9156.0+x	(65/2 <sup>-</sup> )	
8212.5+x	(61/2 <sup>+</sup> )	874.0 8	100	7338.5+x	(57/2 <sup>+</sup> )	Q	10175.4+x	(71/2 <sup>-</sup> )	976.4 5	100	9199.0+x	(67/2 <sup>-</sup> )	Q
8227.1+x	(61/2 <sup>-</sup> )	872.2 8	100	7354.9+x	(57/2 <sup>-</sup> )		10207.7+x	(69/2 <sup>-</sup> )	965.1 8	100	9242.6+x	(65/2 <sup>-</sup> )	
8257.4+x	(61/2 <sup>+</sup> )	839.8 8	100	7417.6+x	(57/2 <sup>+</sup> )		10367.1+x	(71/2 <sup>+</sup> )	1058.4 5	100	9308.7+x	(67/2 <sup>+</sup> )	
8269.6+x	(63/2 <sup>-</sup> )	405.0 5	34 9	7864.3+x	(61/2 <sup>-</sup> )	D	10414.1+x	(69/2 <sup>+</sup> )	957.5 8	100	9456.6+x	(65/2 <sup>+</sup> )	
		886.2 5	100 25	7383.6+x	(59/2 <sup>-</sup> )	Q	10449.1+x	(71/2 <sup>-</sup> )	973.9 8	100	9475.3+x	(67/2 <sup>-</sup> )	
8312.3+x	(61/2 <sup>-</sup> )	881.0 8	100	7431.3+x	(57/2 <sup>-</sup> )	Q	10546.9+x	(71/2 <sup>+</sup> )	1002.0 8	100	9544.9+x	(67/2 <sup>+</sup> )	Q
8330.8+x	(63/2 <sup>+</sup> )	493.2 8	52 16	7837.4+x	(61/2 <sup>+</sup> )		10594.0+x	(71/2 <sup>+</sup> )	986.9 8	100	9607.1+x	(67/2 <sup>+</sup> )	
		891.7 5	100 33	7439.1+x	(59/2 <sup>+</sup> )	Q	10645.1+x	(71/2 <sup>-</sup> )	1001.9 8	100	9643.2+x	(67/2 <sup>-</sup> )	
8336.8+x	(61/2 <sup>-</sup> )	869.7 8	100	7467.1+x	(57/2 <sup>-</sup> )		10646.6+x	(71/2 <sup>+</sup> )	975.0 8	100	9671.6+x	(67/2 <sup>+</sup> )	
8551.9+x	(61/2 <sup>+</sup> )	849.6 8	100	7702.3+x	(57/2 <sup>+</sup> )		10732.6+x	(71/2 <sup>+</sup> )	981.1 8	100	9751.5+x	(67/2 <sup>+</sup> )	Q
8557.0+x	(63/2 <sup>-</sup> )	863.1 8	100	7693.9+x	(59/2 <sup>-</sup> )		10793.8+x	(73/2 <sup>+</sup> )	1051.2 8	100	9742.6+x	(69/2 <sup>+</sup> )	
8584.9+x	(63/2 <sup>+</sup> )	470.4 8	17 5	8114.5+x	(61/2 <sup>+</sup> )		10827.3+x	(73/2 <sup>-</sup> )	1046.0 8	100	9781.3+x	(69/2 <sup>-</sup> )	
		907.0 8	100 30	7677.9+x	(59/2 <sup>+</sup> )	Q	10985.1+x	(73/2 <sup>+</sup> )	1019.3 8	100	9965.8+x	(69/2 <sup>+</sup> )	
8660.4+x	(63/2 <sup>+</sup> )	900.1 8	100	7760.3+x	(59/2 <sup>+</sup> )	Q	11017.5+x	(73/2 <sup>-</sup> )	1026.3 8	100	9991.2+x	(69/2 <sup>-</sup> )	
8692.0+x	(63/2 <sup>-</sup> )	903.2 8	100	7788.7+x	(59/2 <sup>-</sup> )	Q	11142.3+x	(73/2 <sup>-</sup> )	1012.8 8	100	10129.5+x	(69/2 <sup>-</sup> )	
8733.6+x	(63/2 <sup>+</sup> )	892.0 8	100	7841.6+x	(59/2 <sup>+</sup> )	Q	11194.1+x	(73/2 <sup>-</sup> )	986.4 8	100	10207.7+x	(69/2 <sup>-</sup> )	
8754.7+x	(65/2 <sup>+</sup> )	917.2 5	100	7837.4+x	(61/2 <sup>+</sup> )	Q	11202.0+x	(75/2 <sup>-</sup> )	1026.6 5	100	10175.4+x	(71/2 <sup>-</sup> )	Q

## Adopted Levels, Gammas (continued)

 $\gamma(^{165}\text{Lu})$  (continued)

$E_i(\text{level})$	$J_i^\pi$	$E_\gamma^\dagger$	$I_\gamma^\ddagger$	$E_f$	$J_f^\pi$	Mult. <sup>#</sup>	$E_i(\text{level})$	$J_i^\pi$	$E_\gamma^\dagger$	$I_\gamma^\ddagger$	$E_f$	$J_f^\pi$
11425.2+x	(73/2 <sup>+</sup> )	1011.1 8	100	10414.1+x	(69/2 <sup>+</sup> )		13686.6+x	(83/2 <sup>-</sup> )	1127.7 8	100	12558.9+x	(79/2 <sup>-</sup> )
11477.3+x	(75/2 <sup>-</sup> )	1028.1 8	100	10449.1+x	(71/2 <sup>-</sup> )		13714.9+x	(83/2 <sup>+</sup> )	1065.0 8	100	12649.9+x	(79/2 <sup>+</sup> )
11496.8+x	(75/2 <sup>+</sup> )	1129.7 8	100	10367.1+x	(71/2 <sup>+</sup> )		13829.6+x	(83/2 <sup>+</sup> )	1109.0 8	100	12720.6+x	(79/2 <sup>+</sup> )
11582.9+x	(75/2 <sup>+</sup> )	1036.0 8	100	10546.9+x	(71/2 <sup>+</sup> )	Q	14008.3+x	(83/2 <sup>+</sup> )	1151.0 8	100	12857.3+x	(79/2 <sup>+</sup> )
11612.2+x	(75/2 <sup>+</sup> )	1018.2 8	100	10594.0+x	(71/2 <sup>+</sup> )		14199.9+x	(85/2 <sup>+</sup> )	1158.5 8	100	13041.4+x	(81/2 <sup>+</sup> )
11656.6+x	(75/2 <sup>+</sup> )	1010.0 8	100	10646.6+x	(71/2 <sup>+</sup> )		14384.1+x	(85/2 <sup>+</sup> )	1189.3 8	100	13194.8+x	(81/2 <sup>+</sup> )
11684.1+x	(75/2 <sup>-</sup> )	1039.0 8	100	10645.1+x	(71/2 <sup>-</sup> )		14558.5+x	(87/2 <sup>-</sup> )	1158.8 8	100	13399.7+x	(83/2 <sup>-</sup> )
11767.7+x	(75/2 <sup>+</sup> )	1035.1 8	100	10732.6+x	(71/2 <sup>+</sup> )		14849.1+x	(87/2 <sup>-</sup> )	1162.5 8	100	13686.6+x	(83/2 <sup>-</sup> )
11899.2+x	(77/2 <sup>+</sup> )	1105.4 8	100	10793.8+x	(73/2 <sup>+</sup> )		15208.1+x	(87/2 <sup>+</sup> )	1199.8 8	100	14008.3+x	(83/2 <sup>+</sup> )
11936.2+x	(77/2 <sup>-</sup> )	1108.9 8	100	10827.3+x	(73/2 <sup>-</sup> )		15623.4+x	(89/2 <sup>+</sup> )	1239.3 8	100	14384.1+x	(85/2 <sup>+</sup> )
12061.4+x	(77/2 <sup>+</sup> )	1076.3 8	100	10985.1+x	(73/2 <sup>+</sup> )		15745.5+x	(91/2 <sup>-</sup> )	1187.0 <sup>b</sup> 8	100	14558.5+x	(87/2 <sup>-</sup> )
12105.5+x	(77/2 <sup>-</sup> )	1088.0 8	100	11017.5+x	(73/2 <sup>-</sup> )		16462+x	(91/2 <sup>+</sup> )	1253.7 <sup>b</sup> 8	100	15208.1+x	(87/2 <sup>+</sup> )
12190.1+x	(77/2 <sup>-</sup> )	1047.8 8	100	11142.3+x	(73/2 <sup>-</sup> )		624.5+y	J+2	624.5 8	100	y	J
12215.8+x	(77/2 <sup>-</sup> )	1021.7 8	100	11194.1+x	(73/2 <sup>-</sup> )		1308.3+y	J+4	683.8 8	100	624.5+y	J+2
12278.0+x	(79/2 <sup>-</sup> )	1076.0 8	100	11202.0+x	(75/2 <sup>-</sup> )	Q	2049.0+y	J+6	740.7 8	100	1308.3+y	J+4
12484.3+x	(77/2 <sup>+</sup> )	1059.1 8	100	11425.2+x	(73/2 <sup>+</sup> )		2847.3+y	J+8	798.3 8	100	2049.0+y	J+6
12558.9+x	(79/2 <sup>-</sup> )	1081.6 8	100	11477.3+x	(75/2 <sup>-</sup> )		3703.3+y	J+10	856.0 8	100	2847.3+y	J+8
12643.9+x	(79/2 <sup>+</sup> )	1061.0 8	100	11582.9+x	(75/2 <sup>+</sup> )		4618.9+y	J+12	915.6 8	100	3703.3+y	J+10
12649.9+x	(79/2 <sup>+</sup> )	1037.7 8	100	11612.2+x	(75/2 <sup>+</sup> )		5594.2+y	J+14	975.3 8	100	4618.9+y	J+12
12678.8+x	(79/2 <sup>+</sup> )	1182.0 8	100	11496.8+x	(75/2 <sup>+</sup> )		6631.2+y	J+16	1037.0 8	100	5594.2+y	J+14
12720.6+x	(79/2 <sup>+</sup> )	1064.0 8	100	11656.6+x	(75/2 <sup>+</sup> )		712.2+z	J1+2	712.2 8	100	z	J1
12857.3+x	(79/2 <sup>+</sup> )	1089.6 8	100	11767.7+x	(75/2 <sup>+</sup> )		1482.4+z	J1+4	770.2 8	100	712.2+z	J1+2
13041.4+x	(81/2 <sup>+</sup> )	1142.2 8	100	11899.2+x	(77/2 <sup>+</sup> )		2311.3+z	J1+6	828.9 8	100	1482.4+z	J1+4
13102.7+x	(81/2 <sup>-</sup> )	1166.5 8	100	11936.2+x	(77/2 <sup>-</sup> )		3197.1+z	J1+8	885.8 8	100	2311.3+z	J1+6
13194.8+x	(81/2 <sup>+</sup> )	1133.4 8	100	12061.4+x	(77/2 <sup>+</sup> )		4140.8+z	J1+10	943.7 8	100	3197.1+z	J1+8
13245.2+x	(81/2 <sup>-</sup> )	1139.7 8	100	12105.5+x	(77/2 <sup>-</sup> )		5143.3+z	J1+12	1002.5 8	100	4140.8+z	J1+10
13399.7+x	(83/2 <sup>-</sup> )	1121.7 8	100	12278.0+x	(79/2 <sup>-</sup> )	Q	6206.3+z	J1+14	1063.0 8	100	5143.3+z	J1+12
13591.8+x	(81/2 <sup>+</sup> )	1107.4 8	100	12484.3+x	(77/2 <sup>+</sup> )							

<sup>†</sup> From (<sup>31</sup>P,4n $\gamma$ ) or (<sup>19</sup>F,4n $\gamma$ ) for positive-parity states and from (<sup>16</sup>O,4n $\gamma$ ) for negative-parity states. Uncertainty of 0.5 or 1 keV is assigned for gamma rays from (<sup>45</sup>Sc,4n $\gamma$ ) only. For SD bands, many values are from <sup>139</sup>La(<sup>30</sup>Si,4n $\gamma$ ).

<sup>‡</sup> Weighted average of all available data. Large uncertainty implies that the values available from (<sup>31</sup>P,4n $\gamma$ ) and (<sup>19</sup>F,4n $\gamma$ ) have a fairly large deviation.

<sup>#</sup> From DCO ratios in heavy-ion reactions such as As (<sup>30</sup>Si,4n $\gamma$ ) and (<sup>16</sup>O,4n $\gamma$ ), mult=Q corresponds to  $\Delta J=2$ , stretched quadrupole (most likely E2) transition and mult=D corresponds to  $\Delta J=1$ , dipole (small quadrupole admixture is possible). The mult=E2 is from DCO ratio and application of RUL for levels of known lifetimes.

@ From (<sup>45</sup>Sc,4n $\gamma$ ) for negative-parity states and from from (<sup>16</sup>O,4n $\gamma$ ) for positive-parity states.

& From DCO. The other solution with dominant M1 component is excluded in analogy with <sup>163</sup>Lu transitions in SD bands.

<sup>a</sup> Total theoretical internal conversion coefficients, calculated using the BrIcc code (2008Ki07) with Frozen orbital approximation based on  $\gamma$ -ray energies, assigned multipolarities, and mixing ratios, unless otherwise specified.

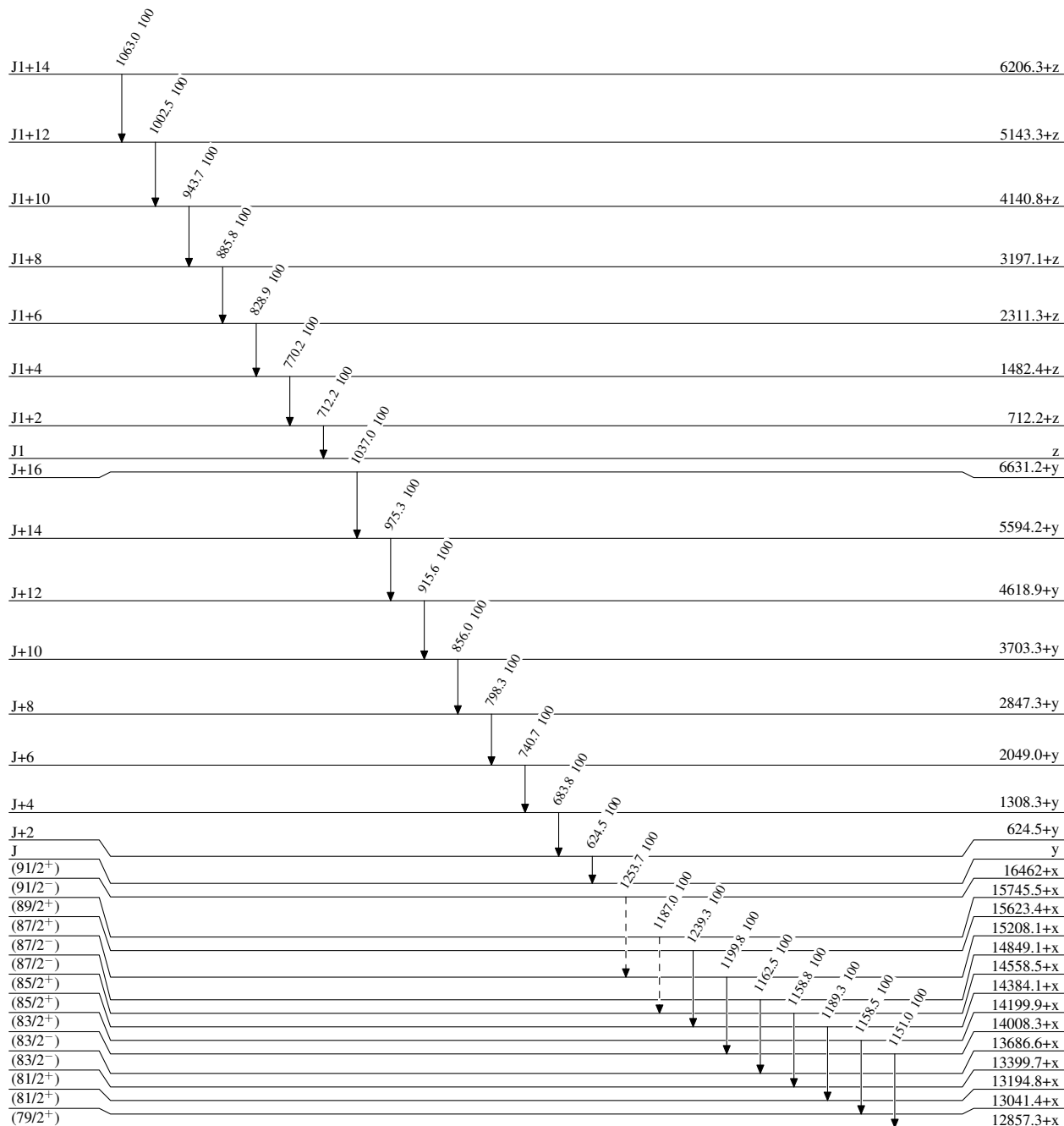
<sup>b</sup> Placement of transition in the level scheme is uncertain.

# Adopted Levels, Gammas

Legend

## Level Scheme

Intensities: Relative photon branching from each level

-----►  $\gamma$  Decay (Uncertain)

1/2<sup>+</sup>

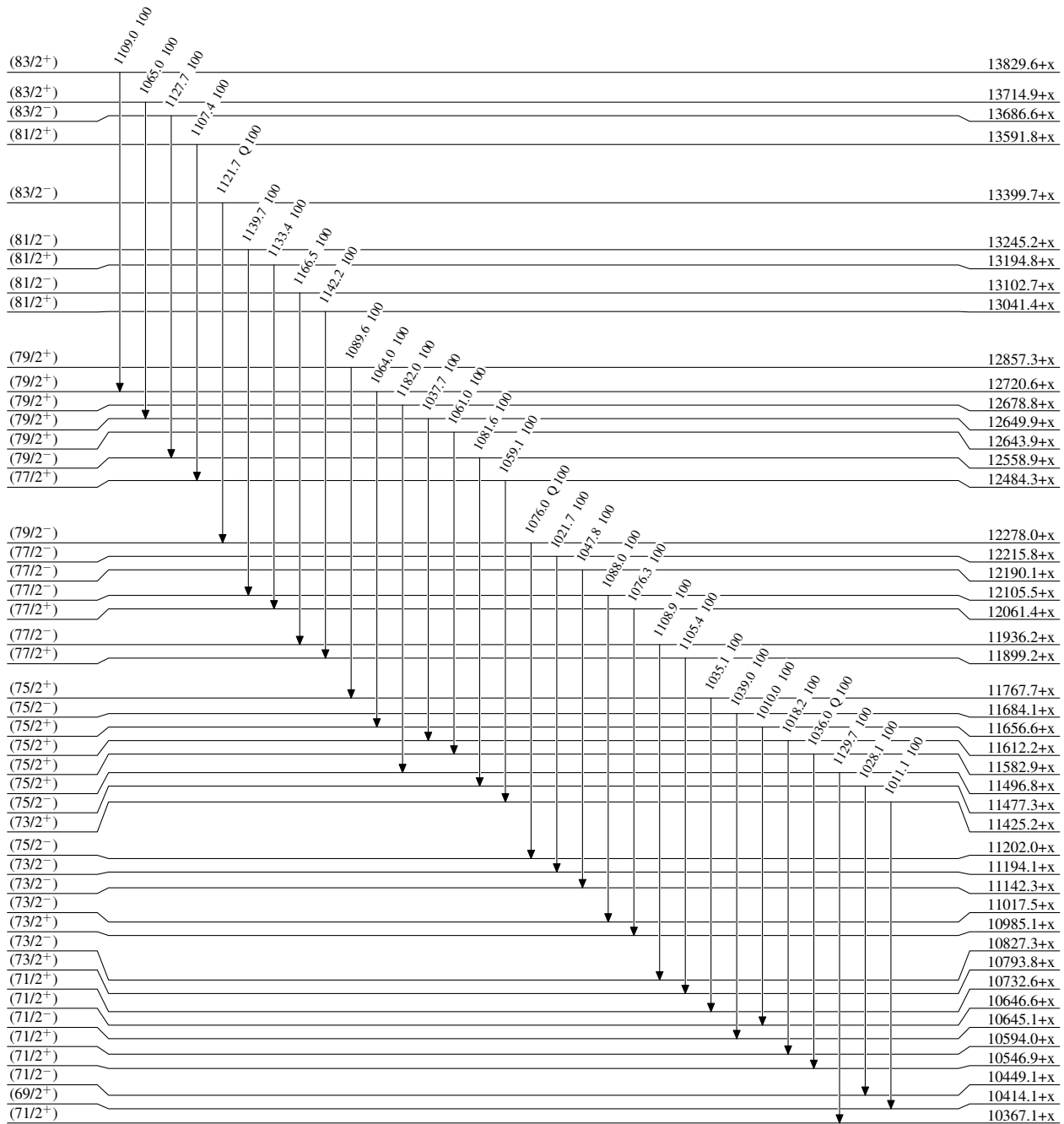
0.0

10.74 min 10

 $^{165}_{71}\text{Lu}_{94}$

**Adopted Levels, Gammas****Level Scheme (continued)**

Intensities: Relative photon branching from each level

1/2<sup>+</sup>

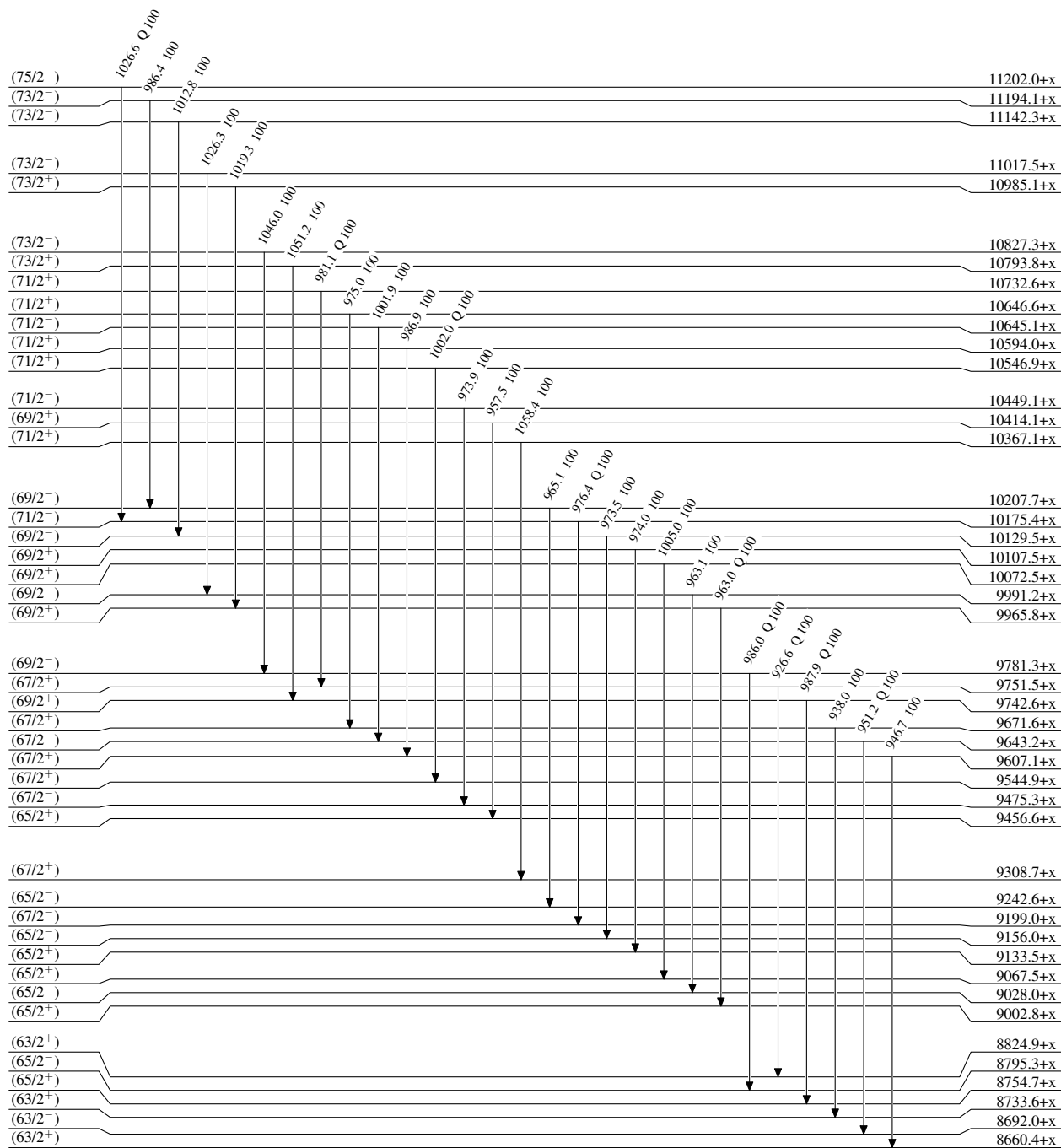
0.0

10.74 min 10

 $^{165}_{71}\text{Lu}_{94}$

**Adopted Levels, Gammas****Level Scheme (continued)**

Intensities: Relative photon branching from each level

1/2<sup>+</sup>

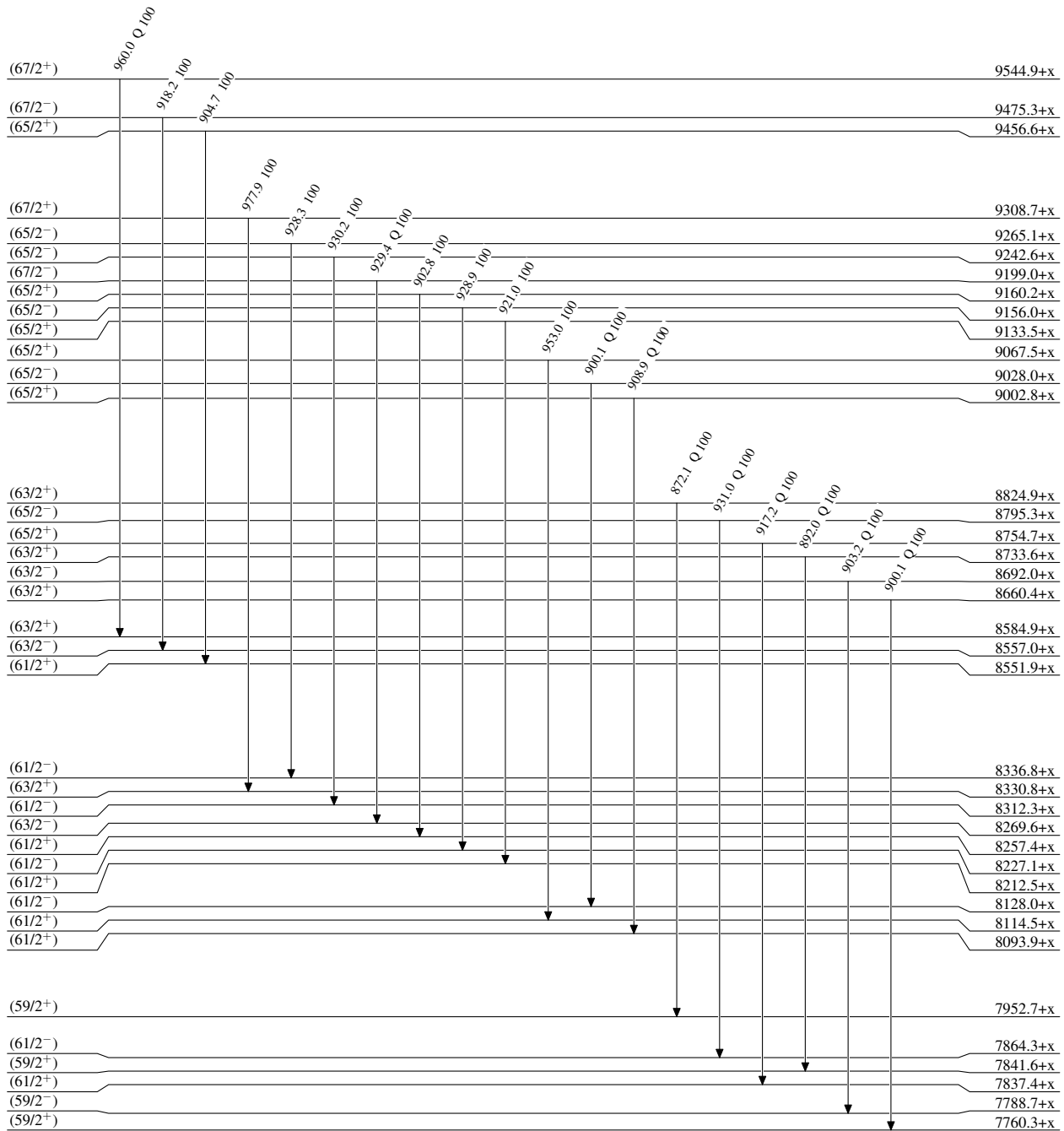
0.0

10.74 min 10

 $^{165}_{71}\text{Lu}_{94}$

**Adopted Levels, Gammas****Level Scheme (continued)**

Intensities: Relative photon branching from each level

1/2<sup>+</sup>

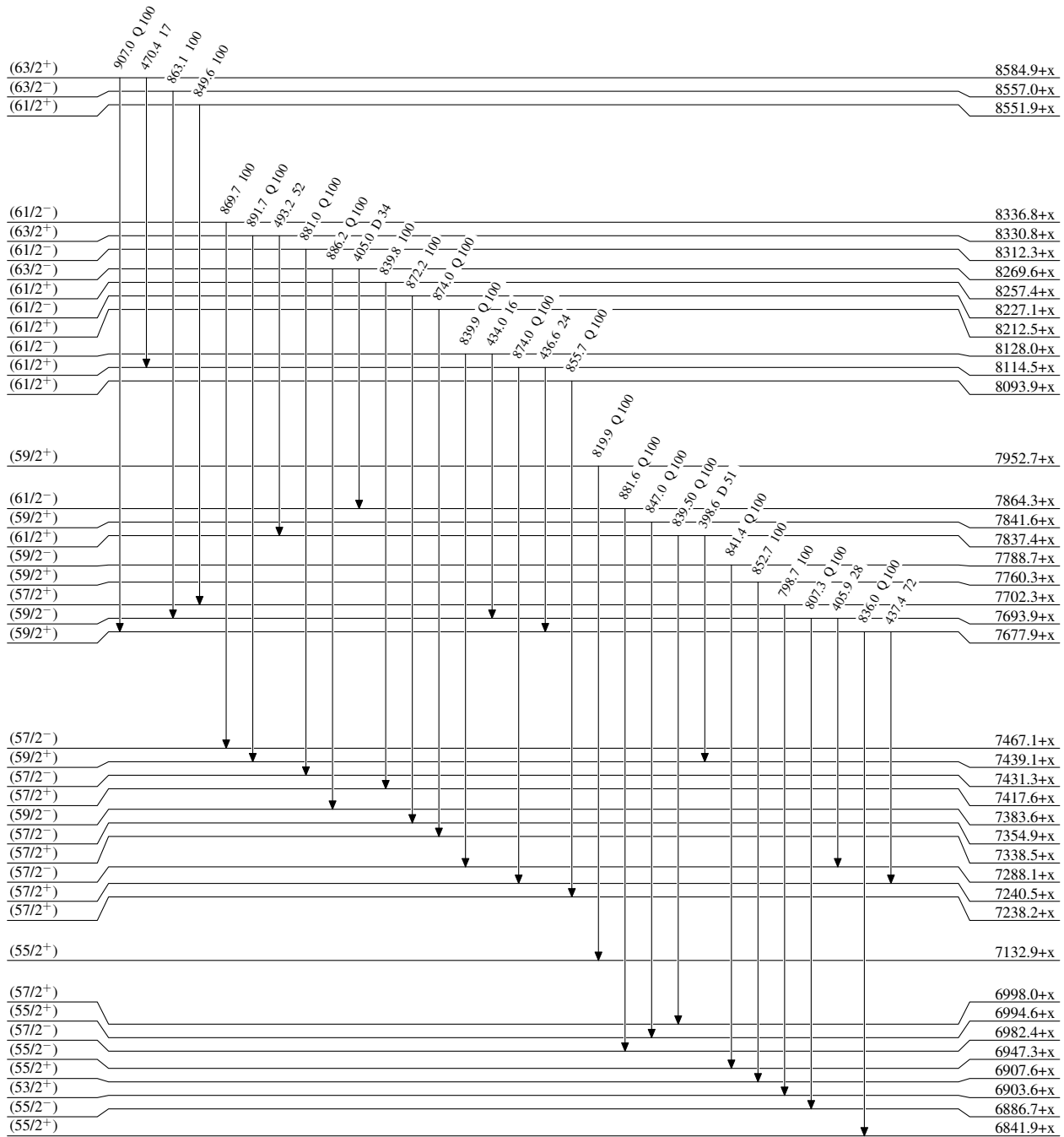
0.0

10.74 min 10

 $^{165}_{71}\text{Lu}_{94}$

**Adopted Levels, Gammas****Level Scheme (continued)**

Intensities: Relative photon branching from each level

1/2<sup>+</sup>

0.0

10.74 min 10

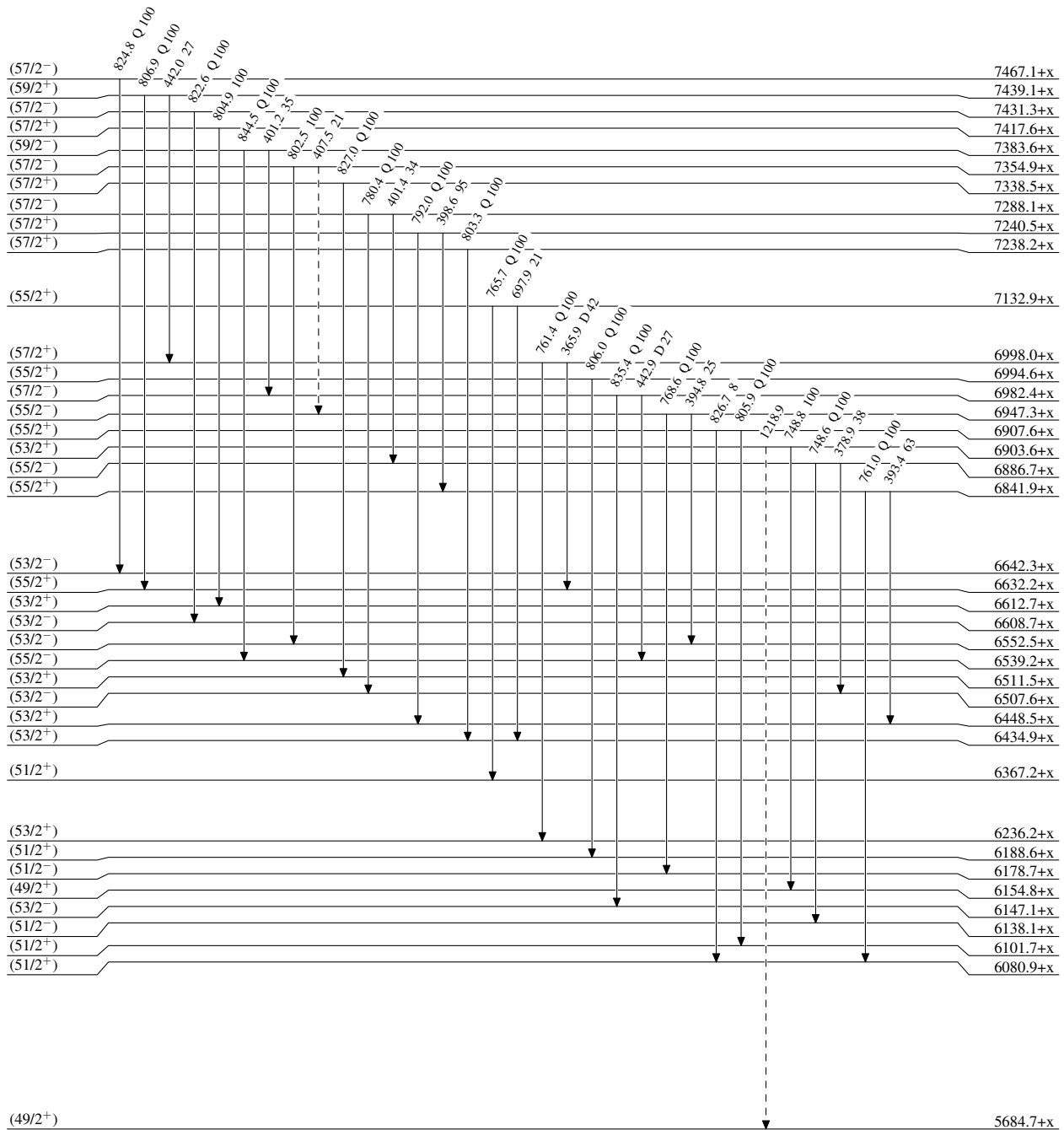
 $^{165}_{71}\text{Lu}_{94}$

# Adopted Levels, Gammas

Legend

## Level Scheme (continued)

Intensities: Relative photon branching from each level

-----►  $\gamma$  Decay (Uncertain)


0.13 ps 2

1/2<sup>+</sup>

0.0

10.74 min 10

 $^{165}_{71}\text{Lu}_{94}$

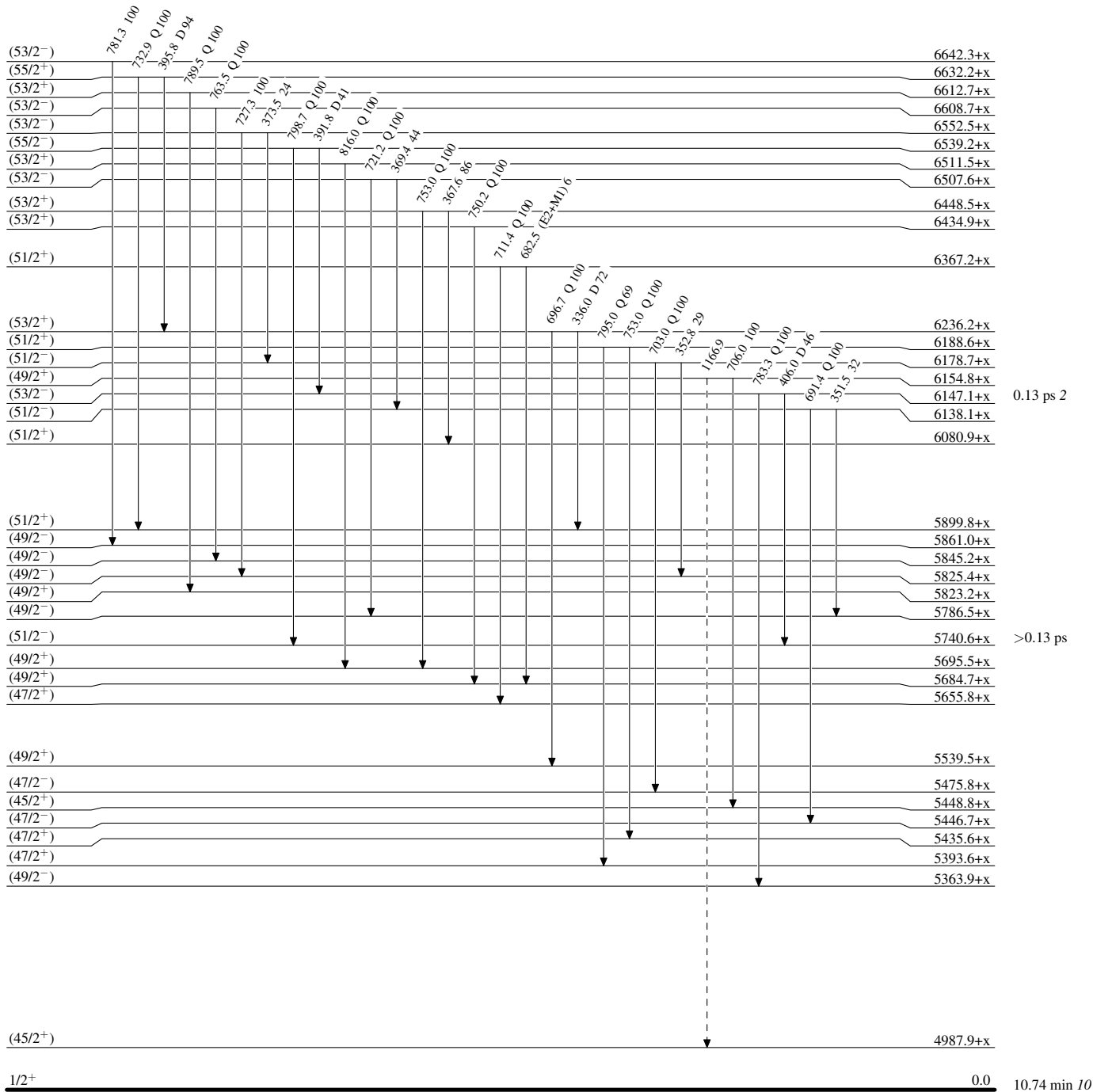


# Adopted Levels, Gammas

Legend

## Level Scheme (continued)

Intensities: Relative photon branching from each level

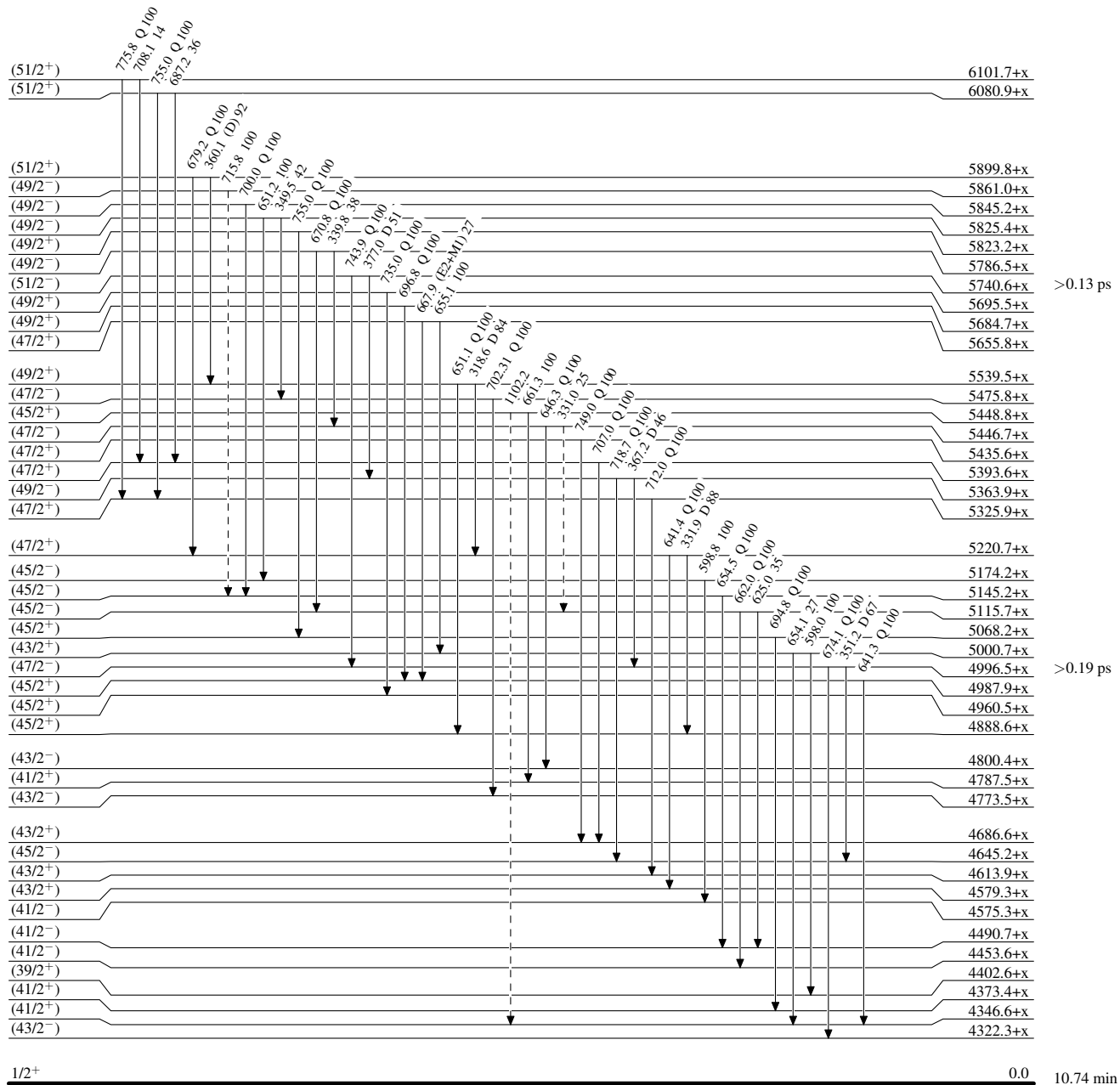
-----►  $\gamma$  Decay (Uncertain)


# Adopted Levels, Gammas

Legend

## Level Scheme (continued)

Intensities: Relative photon branching from each level

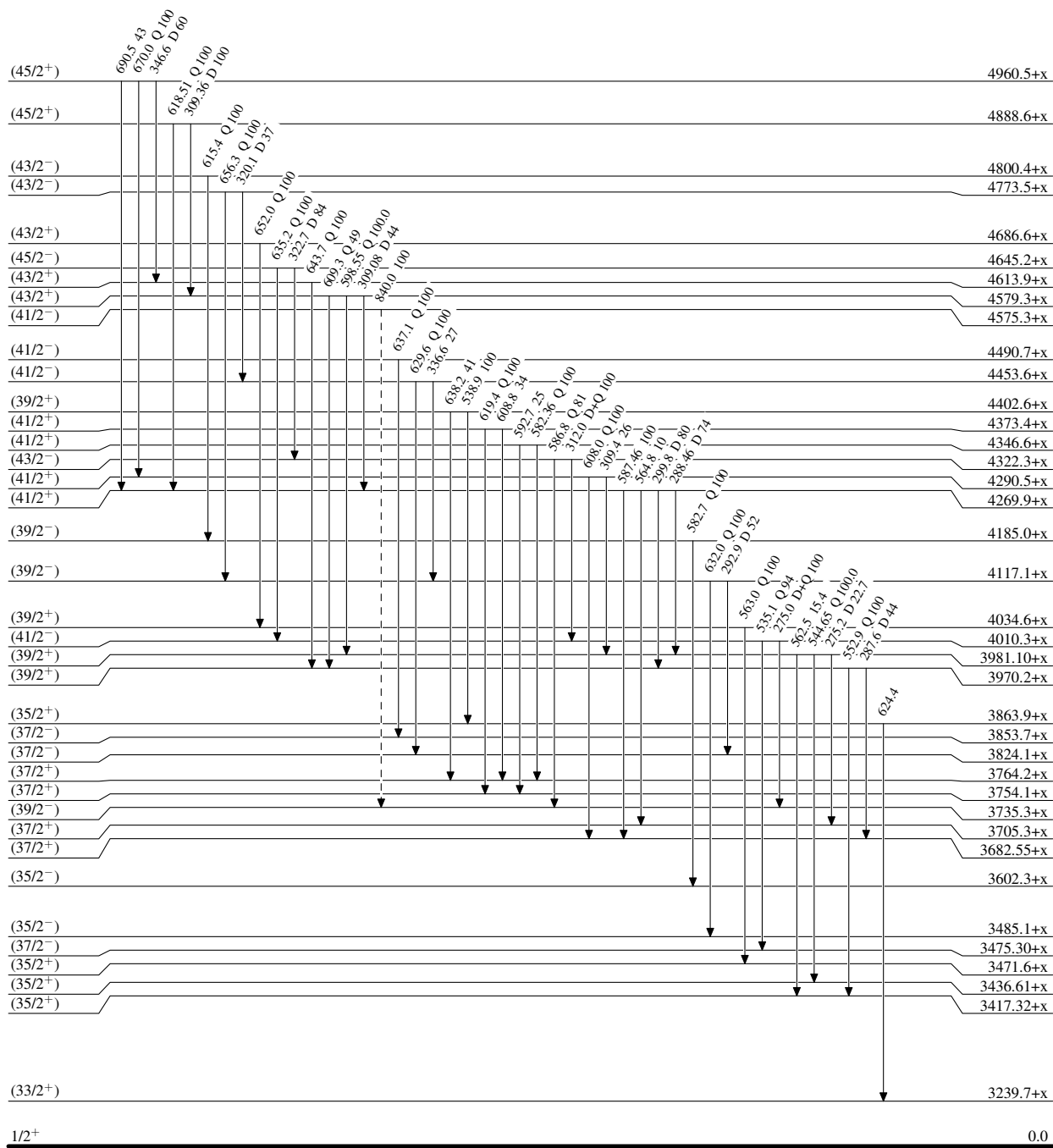
-----►  $\gamma$  Decay (Uncertain)


## Adopted Levels, Gammas

Legend

## Level Scheme (continued)

Intensities: Relative photon branching from each level

-----►  $\gamma$  Decay (Uncertain)1/2<sup>+</sup>

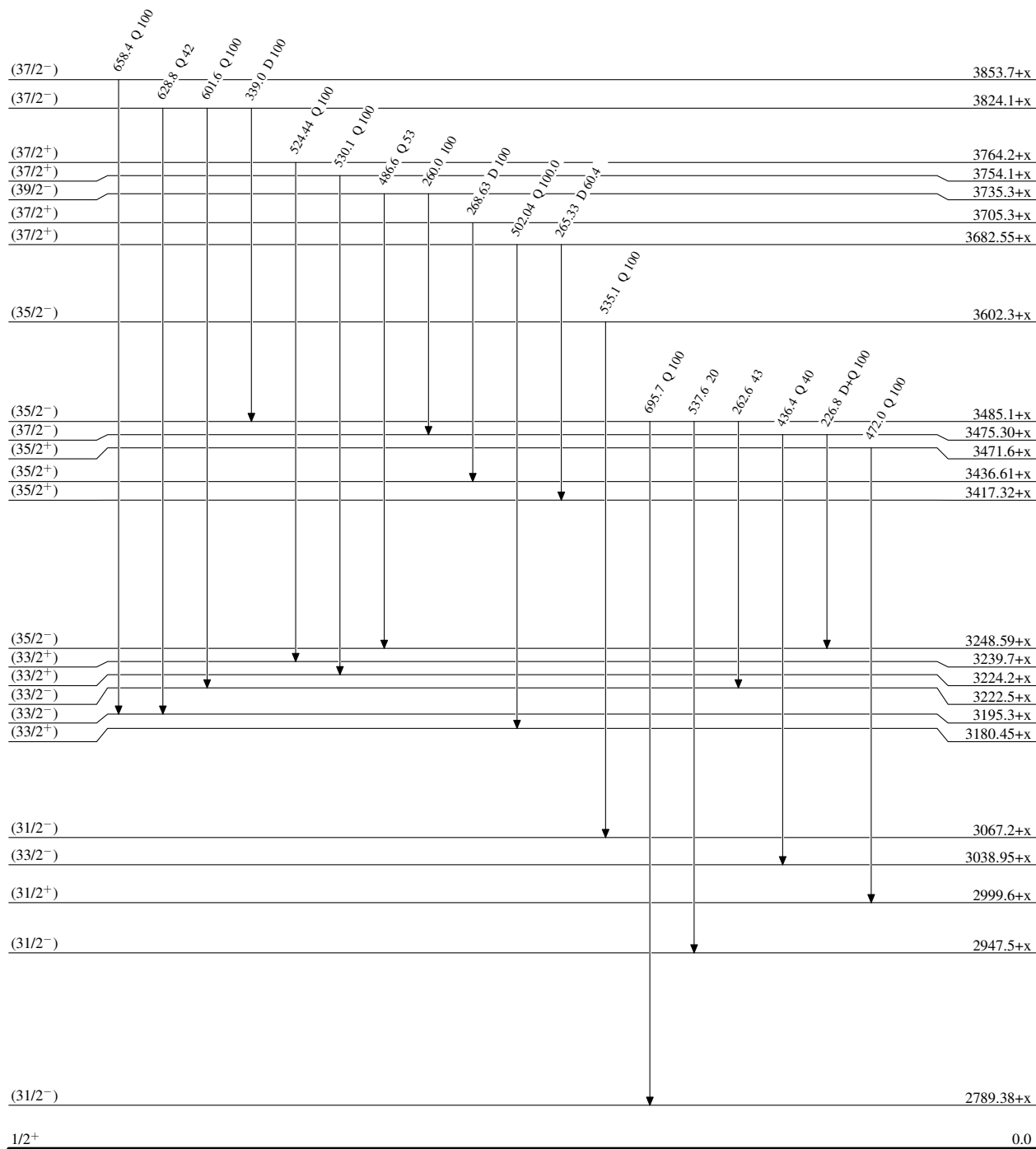
0.0

10.74 min 10

# Adopted Levels, Gammas

## Level Scheme (continued)

Intensities: Relative photon branching from each level

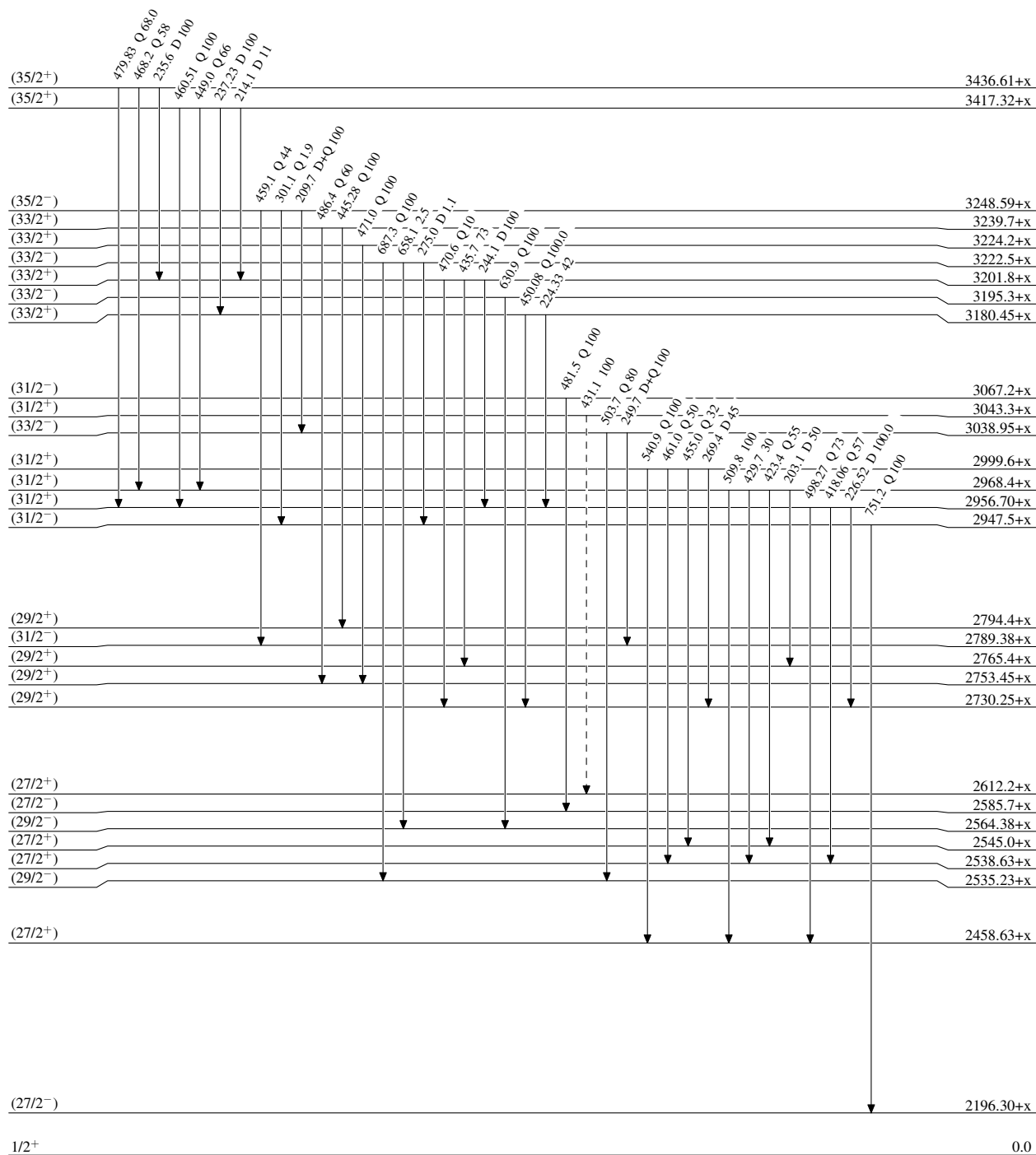


# Adopted Levels, Gammas

Legend

## Level Scheme (continued)

Intensities: Relative photon branching from each level

-----►  $\gamma$  Decay (Uncertain)

1/2<sup>+</sup>

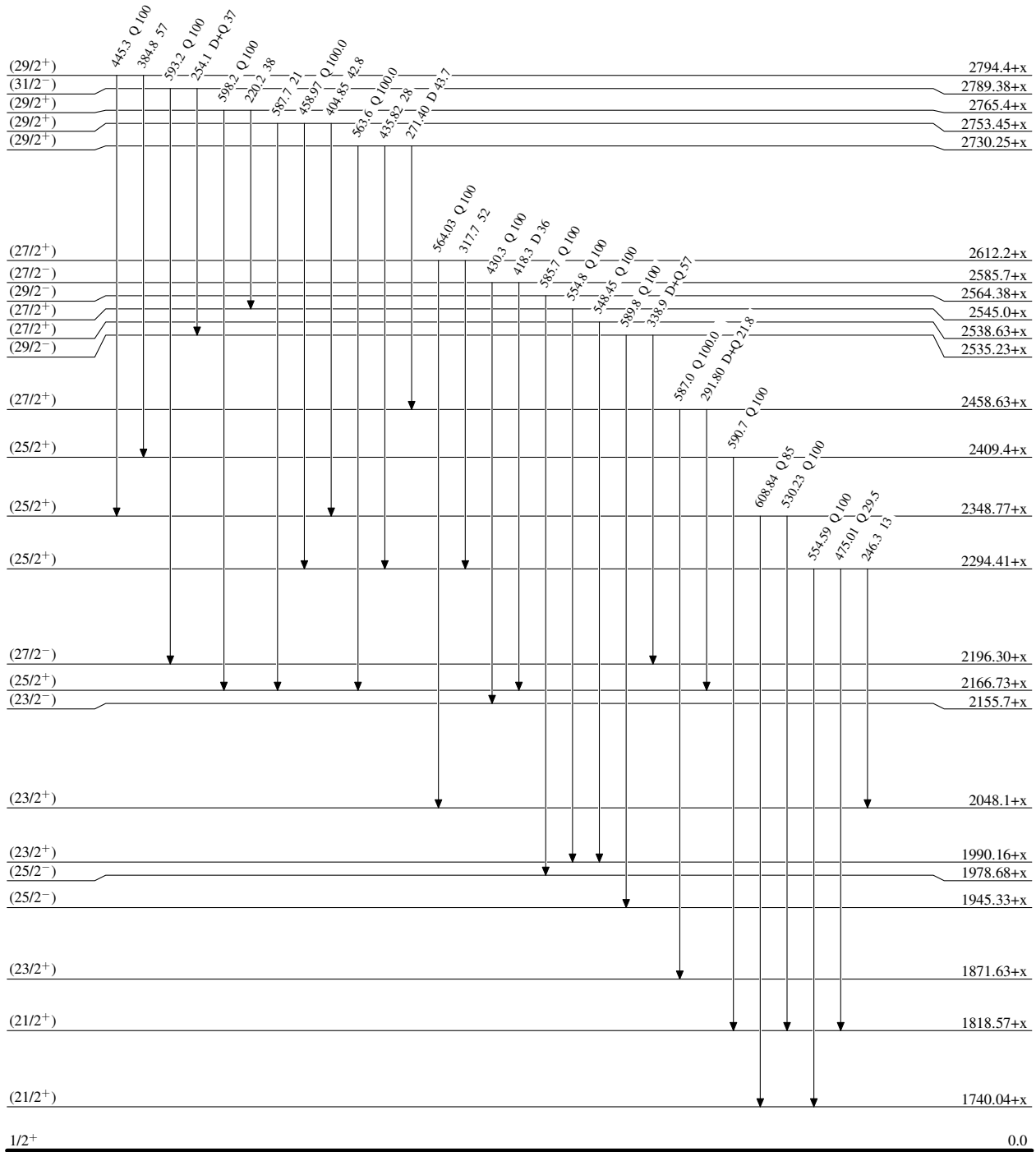
0.0

10.74 min 10

 $^{165}_{71}\text{Lu}_{94}$

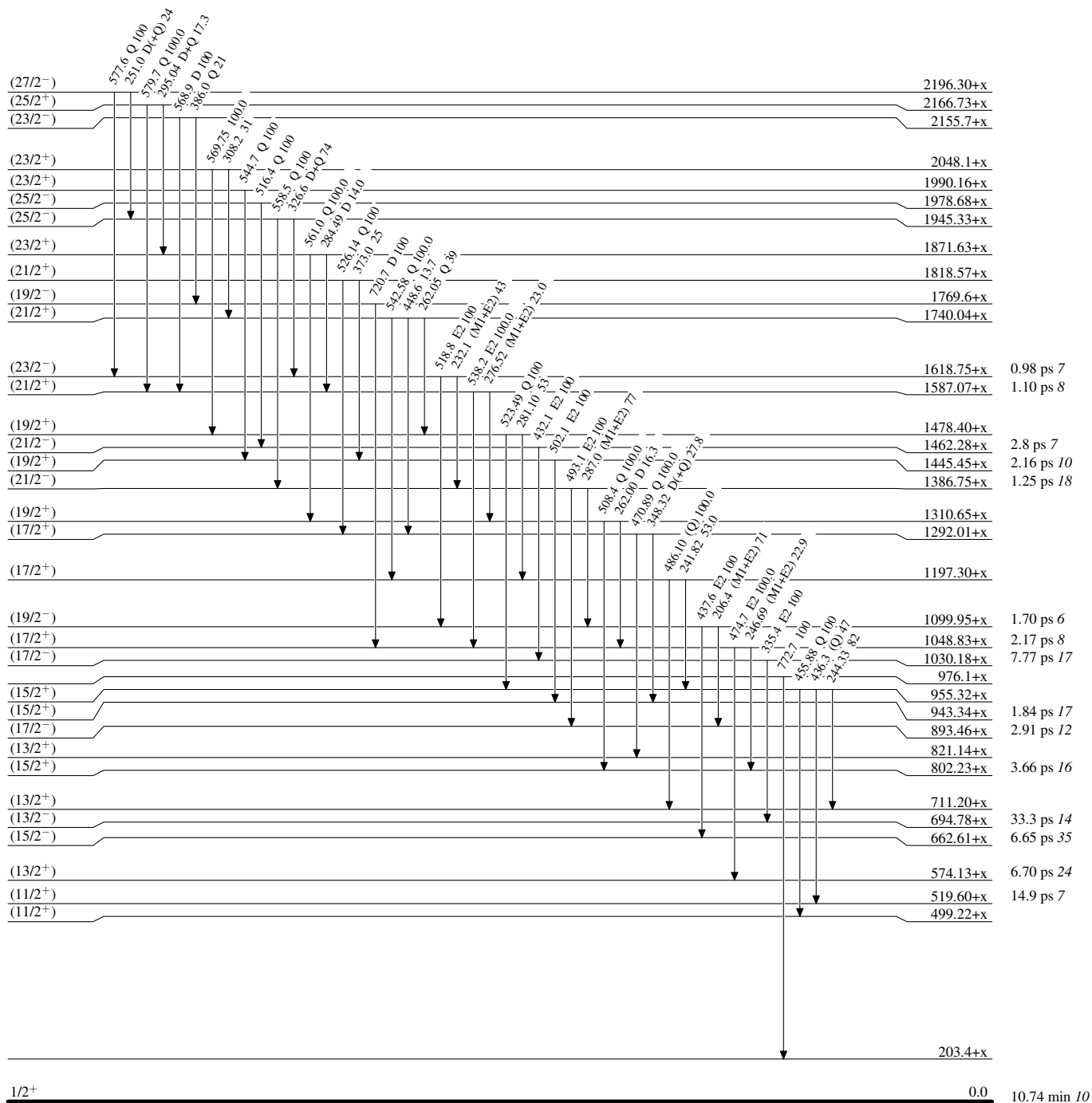
**Adopted Levels, Gammas****Level Scheme (continued)**

Intensities: Relative photon branching from each level



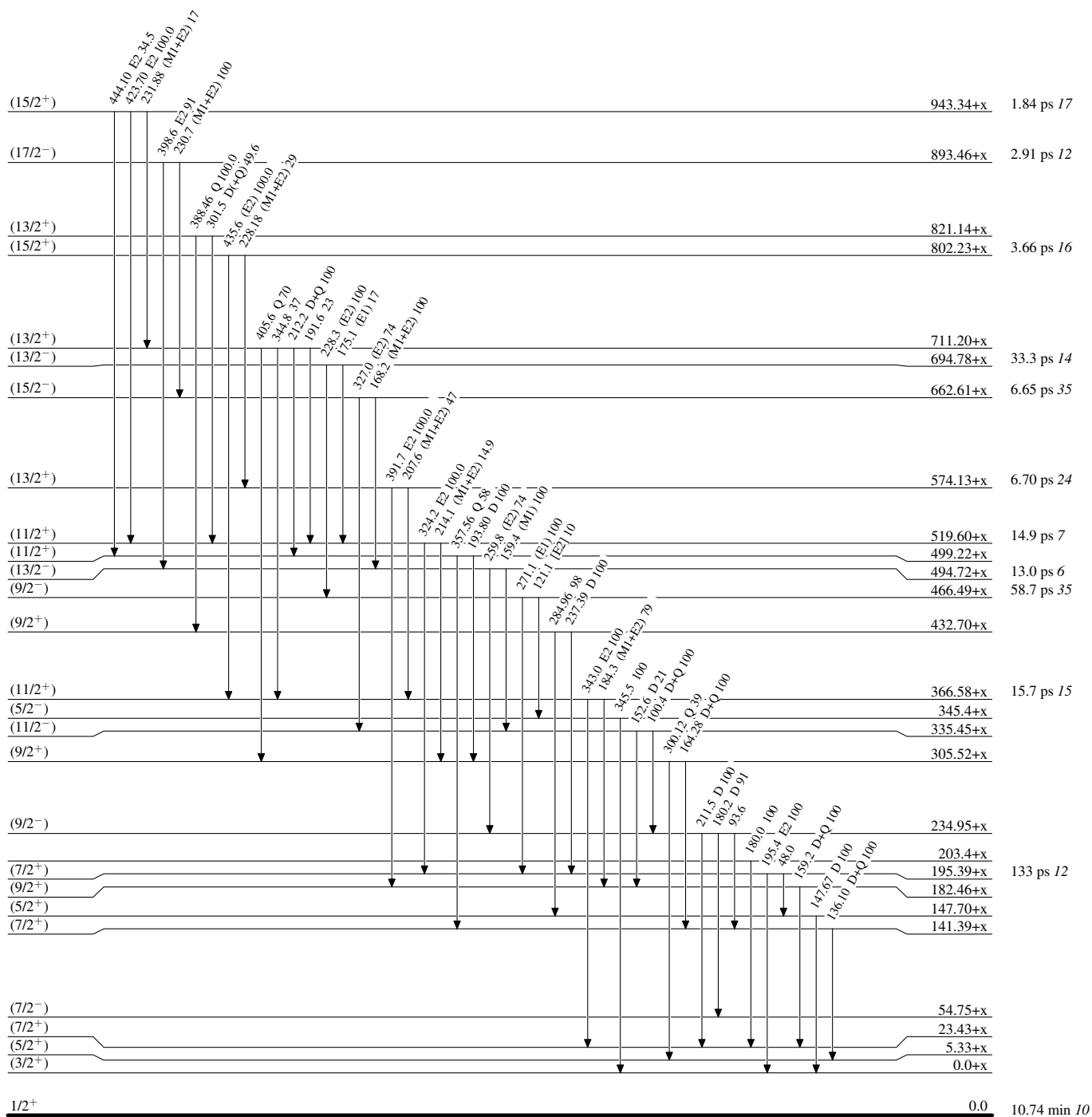
**Adopted Levels, Gammas****Level Scheme (continued)**

Intensities: Relative photon branching from each level

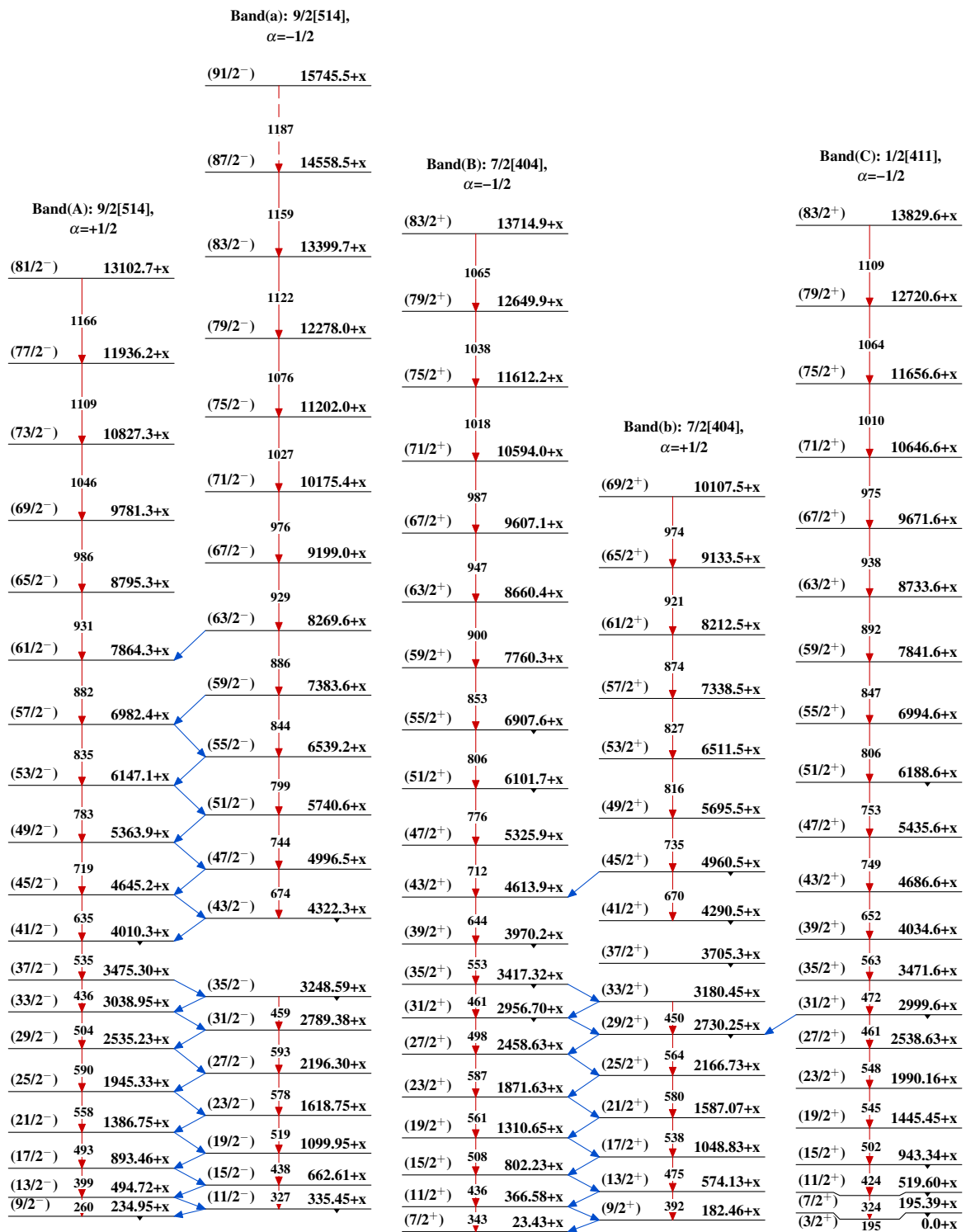


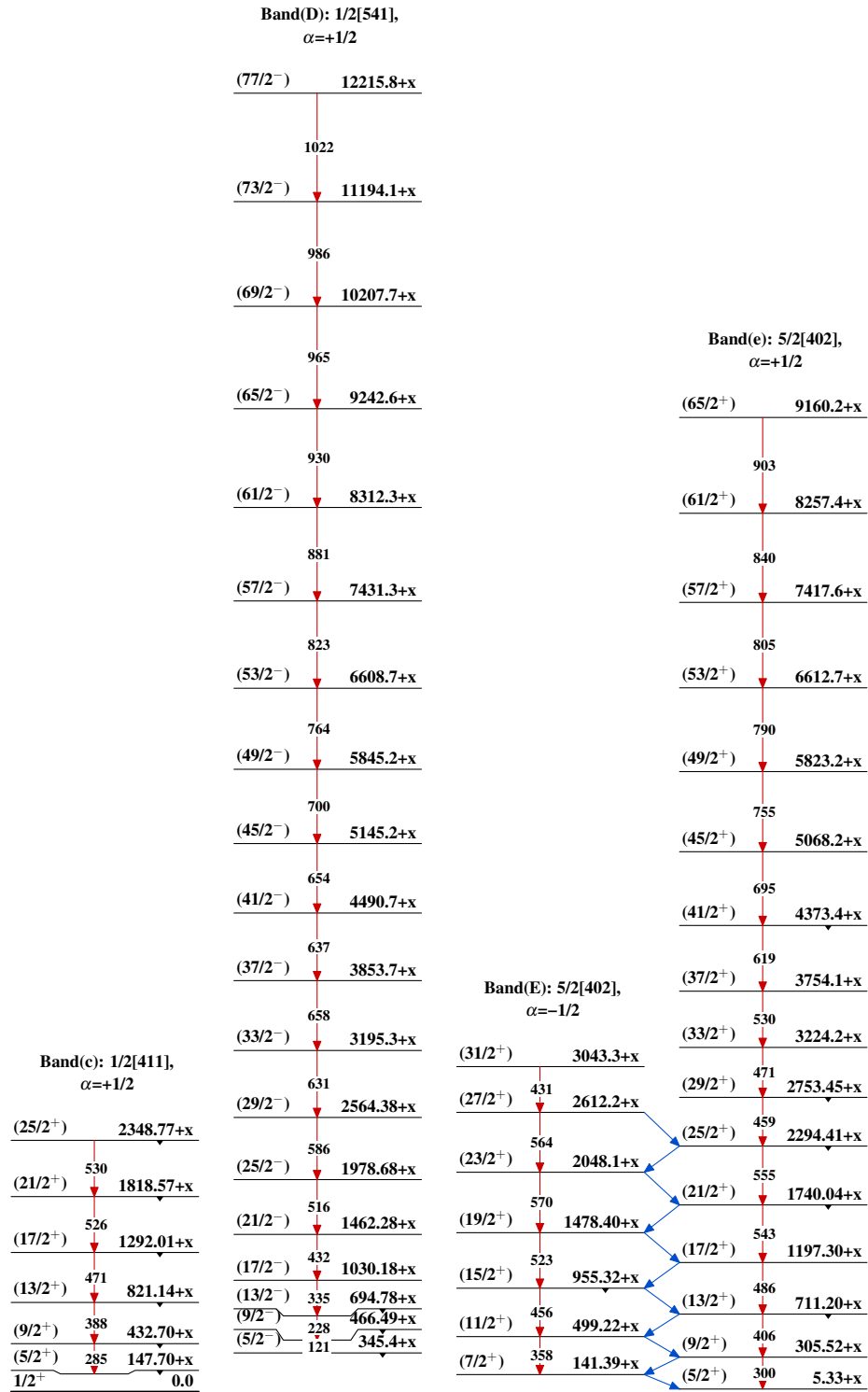
**Adopted Levels, Gammas****Level Scheme (continued)**

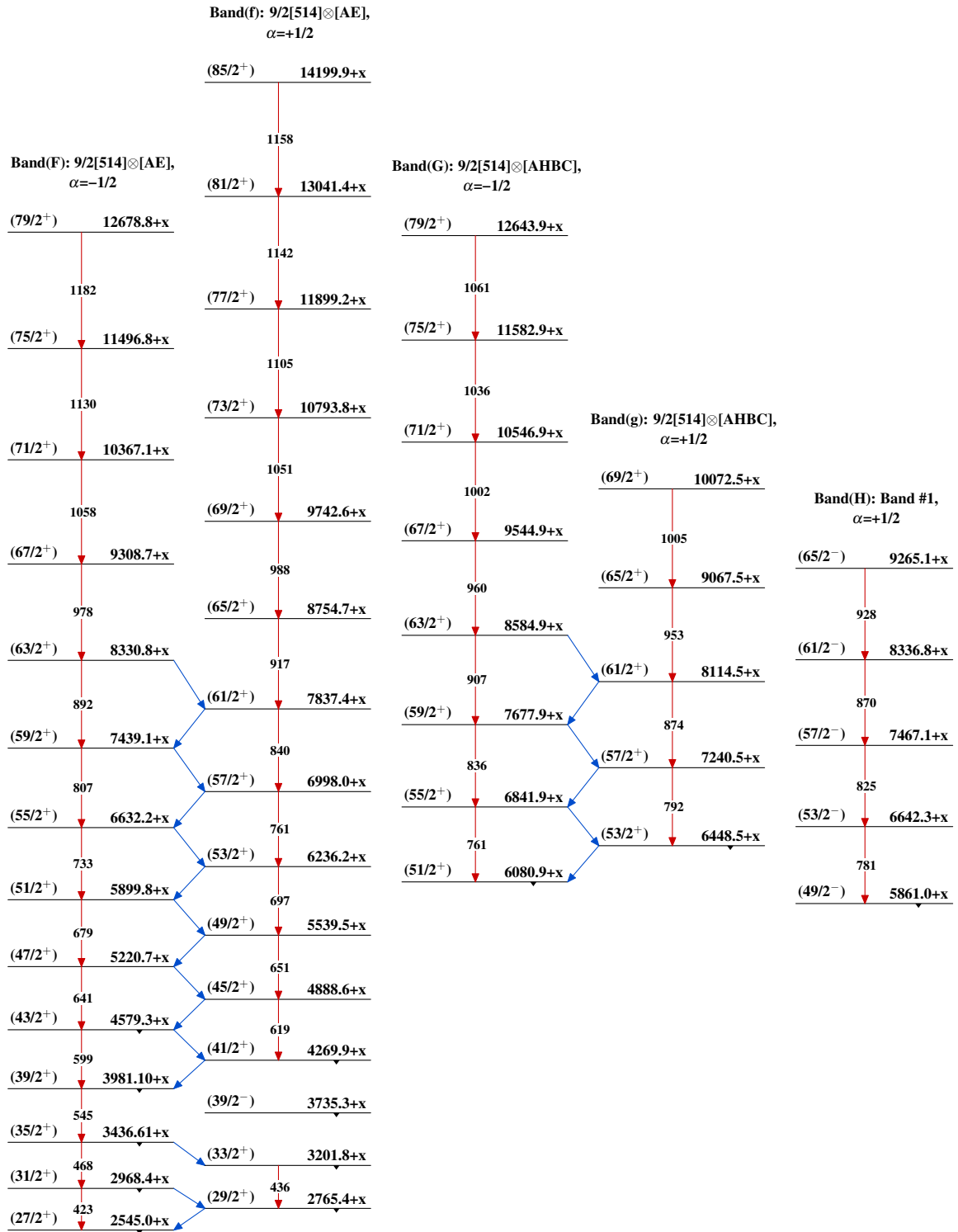
Intensities: Relative photon branching from each level

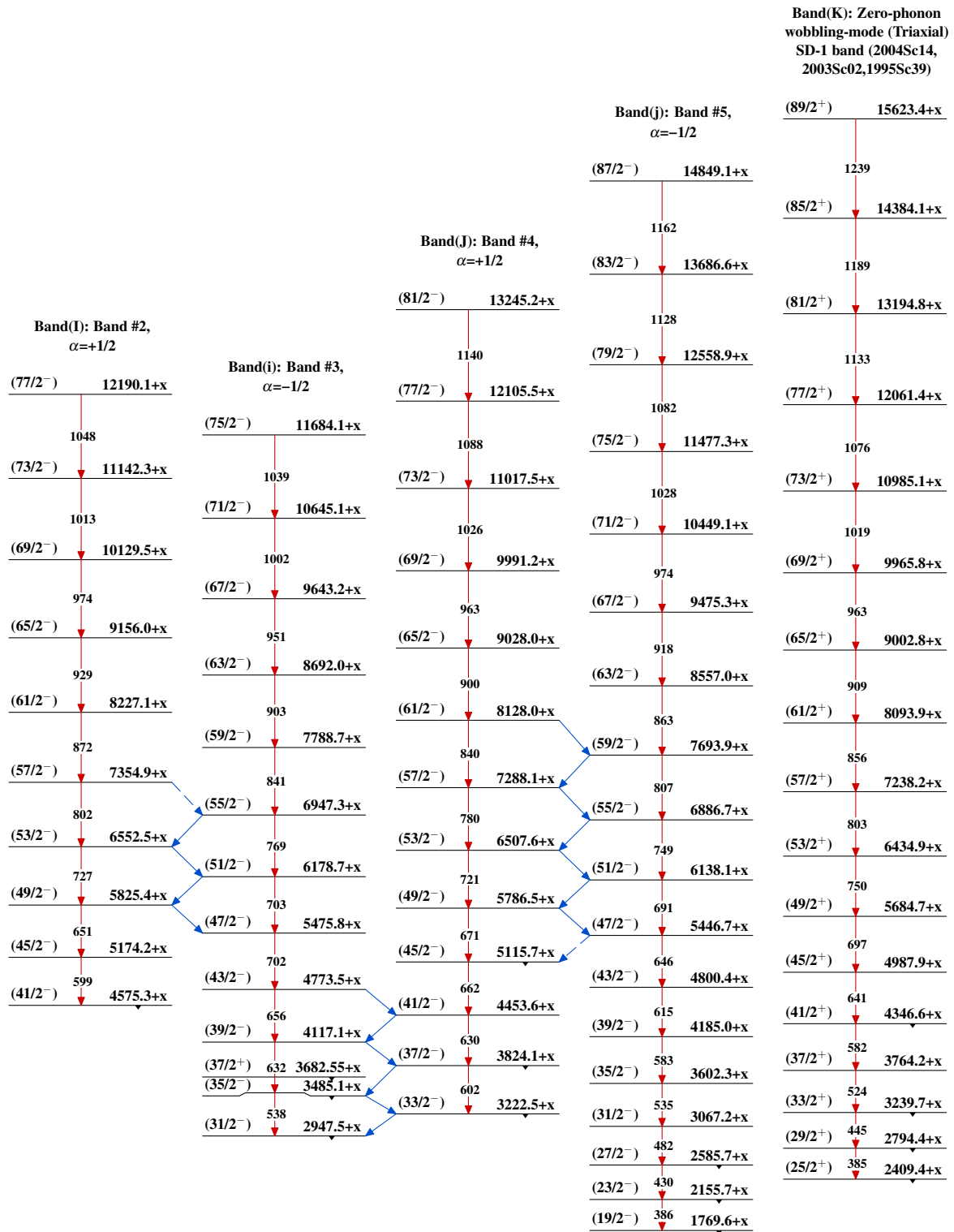




Adopted Levels, Gammas

**Adopted Levels, Gammas (continued)**

Adopted Levels, Gammas (continued)

Adopted Levels, Gammas (continued)

Adopted Levels, Gammas (continued)

**Band(L): One-phonon  
wobbling mode (Triaxial)  
SD-2 band (2004Sc14,  
2003Sc02)**

(91/2 <sup>+</sup> )	16462+x
↓ 1254	
(87/2 <sup>+</sup> )	15208.1+x
↓ 1200	
(83/2 <sup>+</sup> )	14008.3+x
↓ 1151	
(79/2 <sup>+</sup> )	12857.3+x
↓ 1090	
(75/2 <sup>+</sup> )	11767.7+x
↓ 1035	
(71/2 <sup>+</sup> )	10732.6+x
↓ 981	
(67/2 <sup>+</sup> )	9751.5+x
↓ 927	
(63/2 <sup>+</sup> )	8824.9+x
↓ 872	
(59/2 <sup>+</sup> )	7952.7+x
↓ 820	
(55/2 <sup>+</sup> )	7132.9+x
↓ 766	
(51/2 <sup>+</sup> )	6367.2+x
↓ 711	
(47/2 <sup>+</sup> )	5655.8+x
↓ 655	
(43/2 <sup>+</sup> )	5000.7+x
↓ 598	
(39/2 <sup>+</sup> )	4402.6+x
↓ 539	
(35/2 <sup>+</sup> )	3863.9+x

**Band(M): Two-phonon  
wobbling mode (Triaxial)  
SD-3 band (2004Sc14,  
2003Sc02)**

(81/2 <sup>+</sup> )	13591.8+x
↓ 1107	
(77/2 <sup>+</sup> )	12484.3+x
↓ 1059	
(73/2 <sup>+</sup> )	11425.2+x
↓ 1011	
(69/2 <sup>+</sup> )	10414.1+x
↓ 958	
(65/2 <sup>+</sup> )	9456.6+x
↓ 905	
(61/2 <sup>+</sup> )	8551.9+x
↓ 850	
(57/2 <sup>+</sup> )	7702.3+x
↓ 799	
(53/2 <sup>+</sup> )	6903.6+x
↓ 749	
(49/2 <sup>+</sup> )	6154.8+x
↓ 706	
(45/2 <sup>+</sup> )	5448.8+x
↓ 661	
(41/2 <sup>+</sup> )	4787.5+x

**Band(N): Triaxial SD-4  
band (2004Sc14)**

J+16	6631.2+y
↓ 1037	
J+14	5594.2+y
↓ 975	
J+12	4618.9+y
↓ 916	
J+10	3703.3+y
↓ 856	
J+8	2847.3+y
↓ 798	
J+6	2049.0+y
↓ 741	
J+4	1308.3+y
↓ 684	
J+2	624.5+y
↓ 624	
J	y

**Band(O): Triaxial SD-5  
band (2004Sc14)**

J1+14	6206.3+z
↓ 1063	
J1+12	5143.3+z
↓ 1002	
J1+10	4140.8+z
↓ 944	
J1+8	3197.1+z
↓ 886	
J1+6	2311.3+z
↓ 829	
J1+4	1482.4+z
↓ 770	
J1+2	712.2+z
↓ 712	
J1	z

$^{165}\text{Hf}$   $\varepsilon$  decay (76 s) [1989Hi04](#)

Type	Author	History	Citation	Literature Cutoff Date
Full Evaluation	Ashok K. Jain and Anwesha Ghosh, Balraj Singh		NDS 107, 1075 (2006)	15-Apr-2006

Parent:  $^{165}\text{Hf}$ :  $E=0.0$ ;  $J^\pi=(5/2^-)$ ;  $T_{1/2}=76$  s 4;  $Q(\varepsilon)=4810$  40;  $\% \varepsilon + \% \beta^+$  decay=100.0

[1989Hi04](#): Measured  $\gamma$ ,  $\gamma\gamma$ , K x ray,  $T_{1/2}$ .

[1981Br30](#), [1981LiZM](#): Measured  $\gamma$ , K x ray,  $T_{1/2}$ .

[1992HeZV](#): Measured  $T_{1/2}(^{165}\text{Hf isotope})=77$  s 4.

The level scheme is based on 772.7-180.0 coincidence and low-lying level structure shown in Adopted Levels.

 $^{165}\text{Lu}$  Levels

E(level)	$J^\pi$ <sup>†</sup>	Comments
0+x <sup>†</sup>	(3/2 <sup>+</sup> )	E(level): x $\approx$ 20 keV; see 'Adopted Levels' for comments.
5.4+x <sup>†</sup>	(5/2 <sup>+</sup> )	
23.2+x <sup>†</sup>	(7/2 <sup>+</sup> )	
141.2+x?	(7/2 <sup>+</sup> )	
181.8+x?	(9/2 <sup>+</sup> )	
203.2+x 3		$J^\pi$ : 7/2[523] proposed by <a href="#">1989Hi04</a> is suspect In view of another low-lying (7/2 <sup>-</sup> ) At 54.8+x reported In $^{139}\text{La}(^{30}\text{Si}, 4n\gamma)$ .
234.2+x?	(9/2 <sup>-</sup> )	
975.9+x		

<sup>†</sup> From 'Adopted Levels'.

 $\gamma(^{165}\text{Lu})$ 

$I_\gamma/100$  decays cannot be calculated since the decay scheme is not well established.

$E_\gamma$	$I_\gamma$	$E_i(\text{level})$	$J^\pi_i$	$E_f$	$J^\pi_f$	Comments
<sup>x</sup> 83.5 <sup>†</sup>						
135.8 <sup>†‡</sup>		141.2+x?	(7/2 <sup>+</sup> )	5.4+x	(5/2 <sup>+</sup> )	
158.6 <sup>†‡</sup>		181.8+x?	(9/2 <sup>+</sup> )	23.2+x	(7/2 <sup>+</sup> )	
180.0 3	100	203.2+x		23.2+x	(7/2 <sup>+</sup> )	
211 <sup>†‡</sup>	<7	234.2+x?	(9/2 <sup>-</sup> )	23.2+x	(7/2 <sup>+</sup> )	$I_\gamma$ : from <a href="#">1989Hi04</a> . $I_\gamma \approx 10$ ( <a href="#">1981Br30</a> ).
772.7 5	1.4 2	975.9+x		203.2+x		

<sup>†</sup> Tentative gamma ray from [1981Br30](#) only.

<sup>‡</sup> Placement of transition in the level scheme is uncertain.

<sup>x</sup>  $\gamma$  ray not placed in level scheme.

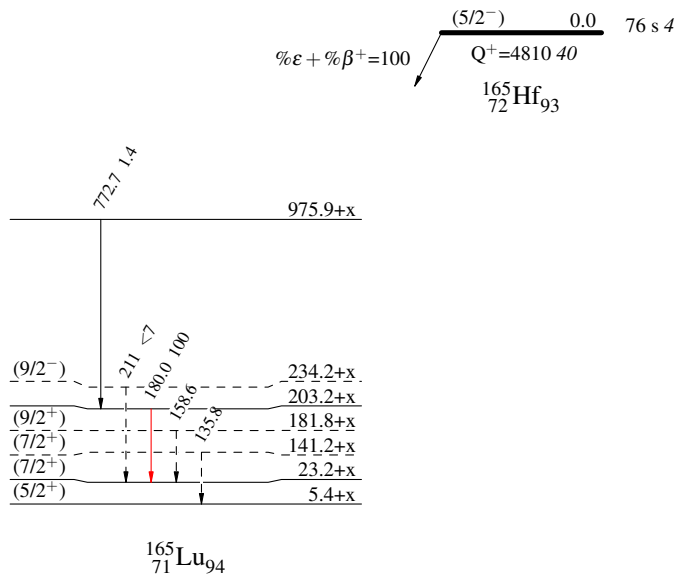
$^{165}\text{Hf}$   $\varepsilon$  decay (76 s)    1989Hi04

## Decay Scheme

 Intensities: Relative  $I_\gamma$ 

## Legend

- ▶  $I_\gamma < 2\% \times I_\gamma^{\max}$
- ▶  $I_\gamma < 10\% \times I_\gamma^{\max}$
- ▶  $I_\gamma > 10\% \times I_\gamma^{\max}$
- - - - -▶  $\gamma$  Decay (Uncertain)



$^{124}\text{Sn}(^{45}\text{Sc},4n\gamma)$  1988Fr22

Type	Author	History	Citation	Literature Cutoff Date
Full Evaluation	Ashok K. Jain and Anwesha Ghosh, Balraj Singh		NDS 107, 1075 (2006)	15-Apr-2006

1988Fr22 (also 1986Fr14): E=203 MeV. Measured:  $\gamma$ ,  $\gamma\gamma$ ,  $\gamma\gamma(\theta)$ , deduced B(E2) and transition quadrupole moment ratios from DSA measurements.

The level scheme, for only the 9/2[514] band, is from 1988Fr22. In accordance with 1995Sc39, the lowest (9/2<sup>-</sup>) level in 1988Fr22 is shown here at 234.5+x, decaying by a 211.3 $\gamma$  (from 1995Sc39) to a 23.2+x level.

 $^{165}\text{Lu}$  Levels

E(level)	J <sup><math>\pi</math></sup> <sup>†</sup>	T <sub>1/2</sub> <sup>‡</sup>	Comments
23.2+x	(7/2 <sup>+</sup> )		E(level): from Adopted Levels. E(level): x $\approx$ 20 keV; see 'Adopted Levels' for comments.
234.5+x <sup>#</sup>	9/2 <sup>-</sup>		
334.9+x <sup>@</sup>	11/2 <sup>-</sup>		
494.2+x <sup>#</sup>	13/2 <sup>-</sup>		
662.1+x <sup>@</sup>	15/2 <sup>-</sup>		
892.9+x <sup>#</sup>	17/2 <sup>-</sup>		
1099.2+x <sup>@</sup>	19/2 <sup>-</sup>		
1386.4+x <sup>#</sup>	21/2 <sup>-</sup>		
1618.3+x <sup>@</sup>	23/2 <sup>-</sup>		
1945.1+x <sup>#</sup>	25/2 <sup>-</sup>		
2196.3+x <sup>@</sup>	27/2 <sup>-</sup>		
2535.5+x <sup>#</sup>	29/2 <sup>-</sup>		
2789.7+x <sup>@</sup>	31/2 <sup>-</sup>		
3039.3+x <sup>#</sup>	33/2 <sup>-</sup>		
3249.3+x <sup>@</sup>	35/2 <sup>-</sup>		
3476.4+x <sup>#</sup>	37/2 <sup>-</sup>		
3736.2+x <sup>@</sup>	39/2 <sup>-</sup>		
4011.4+x <sup>#</sup>	41/2 <sup>-</sup>		
4324.0+x <sup>@</sup>	43/2 <sup>-</sup>		
4647.4+x <sup>#</sup>	45/2 <sup>-</sup>		
4998.7+x <sup>@</sup>	47/2 <sup>-</sup>	>0.19 ps	
5366.3+x <sup>#</sup>	49/2 <sup>-</sup>		
5743.8+x <sup>@</sup>	51/2 <sup>-</sup>	>0.13 ps	
6151.2+x <sup>#</sup>	53/2 <sup>-</sup>	0.13 ps 2	
6544.6+x <sup>@</sup>	55/2 <sup>-</sup>		
6988+x <sup>#</sup>	57/2 <sup>-</sup>		
7389.6+x <sup>@</sup>	59/2 <sup>-</sup>		
7871+x <sup>#</sup>	61/2 <sup>-</sup>		
8275.6+x <sup>@</sup>	63/2 <sup>-</sup>		
8801+x <sup>#</sup>	65/2 <sup>-</sup>		
9195+x? <sup>@</sup>	(67/2 <sup>-</sup> )		
9775+x? <sup>#</sup>	(69/2 <sup>-</sup> )		

<sup>†</sup> From 1988Fr22, based on  $\gamma\gamma(\theta)$  data and band assignment. The assignments are consistent with those in 'Adopted Levels', except that all are given in parenthese there due to lack of strong supporting arguments for low-lying levels.



$^{124}\text{Sn}(^{45}\text{Sc}, 4n\gamma)$  **1988Fr22** (continued) $^{165}\text{Lu}$  Levels (continued)

$\ddagger$  Deduced (by evaluators) from B(E2)(W.u.)'s given by **1988Fr22** from DSAM measurements.

# Band(A): 9/2[514] Band,  $\alpha=+1/2$ .

@ Band(a): 9/2[514] Band,  $\alpha=-1/2$ .

$\gamma(^{165}\text{Lu})$								
$E_i(\text{level})$	$J_i^\pi$	$E_\gamma$	$I_\gamma^\dagger$	$E_f$	$J_f^\pi$	Mult. $\ddagger$	$\delta^\ddagger$	Comments
234.5+x	9/2 <sup>-</sup>	211.3 2		23.2+x	(7/2 <sup>+</sup> )			$E_\gamma$ : from adopted gammas.
334.9+x	11/2 <sup>-</sup>	100.4		234.5+x	9/2 <sup>-</sup>			
494.2+x	13/2 <sup>-</sup>	159.3		334.9+x	11/2 <sup>-</sup>			
		259.7		234.5+x	9/2 <sup>-</sup>			
662.1+x	15/2 <sup>-</sup>	167.9	100	494.2+x	13/2 <sup>-</sup>	D+Q	+0.16 3	
		327.2	57 5	334.9+x	11/2 <sup>-</sup>			
892.9+x	17/2 <sup>-</sup>	230.8	100	662.1+x	15/2 <sup>-</sup>	D+Q	+0.25 3	
		398.7	91 9	494.2+x	13/2 <sup>-</sup>			
1099.2+x	19/2 <sup>-</sup>	206.3	71 5	892.9+x	17/2 <sup>-</sup>	D+Q	+0.16 3	
		437.1	100	662.1+x	15/2 <sup>-</sup>			
1386.4+x	21/2 <sup>-</sup>	287.2	78 6	1099.2+x	19/2 <sup>-</sup>	D+Q	+0.20 3	
		493.5	100	892.9+x	17/2 <sup>-</sup>			
1618.3+x	23/2 <sup>-</sup>	231.9	32 3	1386.4+x	21/2 <sup>-</sup>	D+Q	+0.11 3	
		519.1	100	1099.2+x	19/2 <sup>-</sup>			
1945.1+x	25/2 <sup>-</sup>	326.8	75 8	1618.3+x	23/2 <sup>-</sup>	D+Q	+0.09 5	
		558.7	100	1386.4+x	21/2 <sup>-</sup>			
2196.3+x	27/2 <sup>-</sup>	251.2	24 3	1945.1+x	25/2 <sup>-</sup>	D(+Q)	+0.01 3	
		578.0	100	1618.3+x	23/2 <sup>-</sup>			
2535.5+x	29/2 <sup>-</sup>	339.2	56 6	2196.3+x	27/2 <sup>-</sup>	D+Q	+0.18 3	
		590.4	100	1945.1+x	25/2 <sup>-</sup>			
2789.7+x	31/2 <sup>-</sup>	254.2	37 4	2535.5+x	29/2 <sup>-</sup>	D+Q	+0.18 4	
		593.4	100	2196.3+x	27/2 <sup>-</sup>			
3039.3+x	33/2 <sup>-</sup>	249.6	83 7	2789.7+x	31/2 <sup>-</sup>	D+Q	+0.09 3	
		503.8	100	2535.5+x	29/2 <sup>-</sup>			
3249.3+x	35/2 <sup>-</sup>	210.0	100	3039.3+x	33/2 <sup>-</sup>	D+Q	+0.07 3	
		459.6	93 9	2789.7+x	31/2 <sup>-</sup>			
3476.4+x	37/2 <sup>-</sup>	227.4	100	3249.3+x	35/2 <sup>-</sup>	D+Q	+0.09 2	
		436.9	82 8	3039.3+x	33/2 <sup>-</sup>			
3736.2+x	39/2 <sup>-</sup>	260.0	100	3476.4+x	37/2 <sup>-</sup>	D+Q		
		486.9	86 9	3249.3+x	35/2 <sup>-</sup>			
4011.4+x	41/2 <sup>-</sup>	275.4	99 8	3736.2+x	39/2 <sup>-</sup>	D+Q	+0.06 2	
		534.9	100	3476.4+x	37/2 <sup>-</sup>			
4324.0+x	43/2 <sup>-</sup>	312.4	86 8	4011.4+x	41/2 <sup>-</sup>	D+Q	+0.19 3	
		587.3	100	3736.2+x	39/2 <sup>-</sup>			
4647.4+x	45/2 <sup>-</sup>	323.4	64 3	4324.0+x	43/2 <sup>-</sup>			
		635.9	100	4011.4+x	41/2 <sup>-</sup>			
4998.7+x	47/2 <sup>-</sup>	351.3	64 3	4647.4+x	45/2 <sup>-</sup>			B(E2)(W.u.)<240 (DSA, <b>1988Fr22</b> ).
		674.7	100	4324.0+x	43/2 <sup>-</sup>			
5366.3+x	49/2 <sup>-</sup>	367.3	54 3	4998.7+x	47/2 <sup>-</sup>			
		719.1	100	4647.4+x	45/2 <sup>-</sup>			
5743.8+x	51/2 <sup>-</sup>	377.5	50.5 25	5366.3+x	49/2 <sup>-</sup>			B(E2)(W.u.)<240 (DSA, <b>1988Fr22</b> ).
		745.1	100	4998.7+x	47/2 <sup>-</sup>			
6151.2+x	53/2 <sup>-</sup>	406.6	50 5	5743.8+x	51/2 <sup>-</sup>			
		784.9	100	5366.3+x	49/2 <sup>-</sup>			B(E2)(W.u.)=180 +40-30 (DSA, <b>1988Fr22</b> ).
6544.6+x	55/2 <sup>-</sup>	393.0	51 3	6151.2+x	53/2 <sup>-</sup>			
		800.8	100	5743.8+x	51/2 <sup>-</sup>			
6988+x	57/2 <sup>-</sup>	444	41 9	6544.6+x	55/2 <sup>-</sup>			
		837	100	6151.2+x	53/2 <sup>-</sup>			

Continued on next page (footnotes at end of table)

$^{124}\text{Sn}(^{45}\text{Sc},4n\gamma)$  **1988Fr22** (continued) $\gamma(^{165}\text{Lu})$  (continued)

$E_i(\text{level})$	$J_i^\pi$	$E_\gamma$	$I_\gamma^\dagger$	$E_f$	$J_f^\pi$	$E_i(\text{level})$	$J_i^\pi$	$E_\gamma$	$I_\gamma^\dagger$	$E_f$	$J_f^\pi$
7389.6+x	59/2 <sup>-</sup>	401	38 5	6988+x	57/2 <sup>-</sup>	8801+x	65/2 <sup>-</sup>	526 <sup>#</sup>	35 4	8275.6+x	63/2 <sup>-</sup>
		845	100	6544.6+x	55/2 <sup>-</sup>			930	100	7871+x	61/2 <sup>-</sup>
7871+x	61/2 <sup>-</sup>	481	68 6	7389.6+x	59/2 <sup>-</sup>	9195+x?	(67/2 <sup>-</sup> )	394 <sup>#</sup>		8801+x	65/2 <sup>-</sup>
		883	100	6988+x	57/2 <sup>-</sup>			920 <sup>#</sup>		8275.6+x	63/2 <sup>-</sup>
8275.6+x	63/2 <sup>-</sup>	405 <sup>#</sup>	47 7	7871+x	61/2 <sup>-</sup>	9775+x?	(69/2 <sup>-</sup> )	974 <sup>#</sup>		8801+x	65/2 <sup>-</sup>
		886	100	7389.6+x	59/2 <sup>-</sup>						

<sup>†</sup> Branching ratios. The authors take values from [1984Jo05](#) for levels below 27/2<sup>-</sup>.

<sup>‡</sup> From  $\gamma\gamma(\theta)$ , but No values of  $A_2$  and  $A_4$  coefficients are listed by [1988Fr22](#).

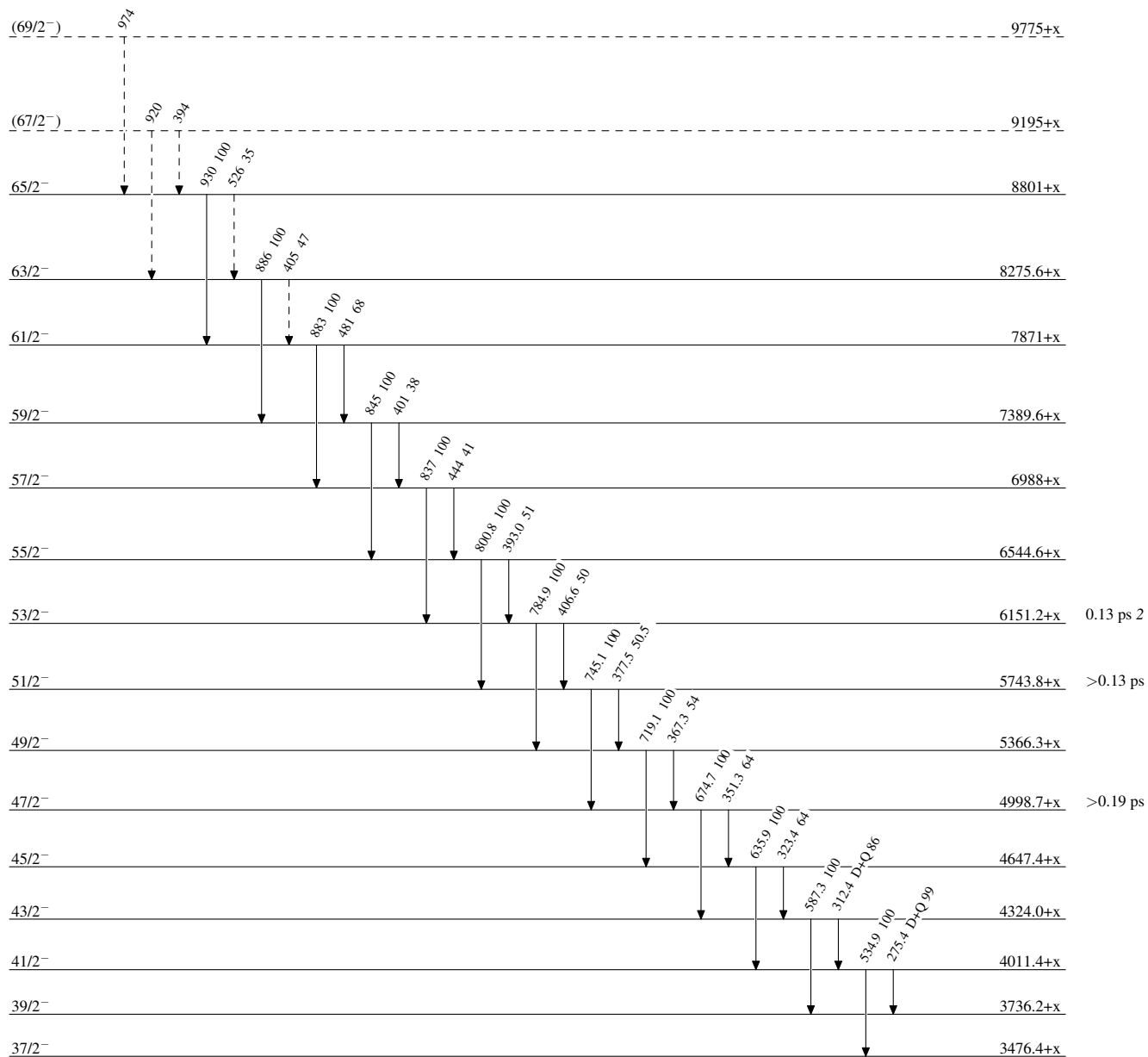
<sup>#</sup> Placement of transition in the level scheme is uncertain.

$^{124}\text{Sn}(^{45}\text{Sc}, 4n\gamma) \quad 1988\text{Fr22}$ 

Legend

Level Scheme

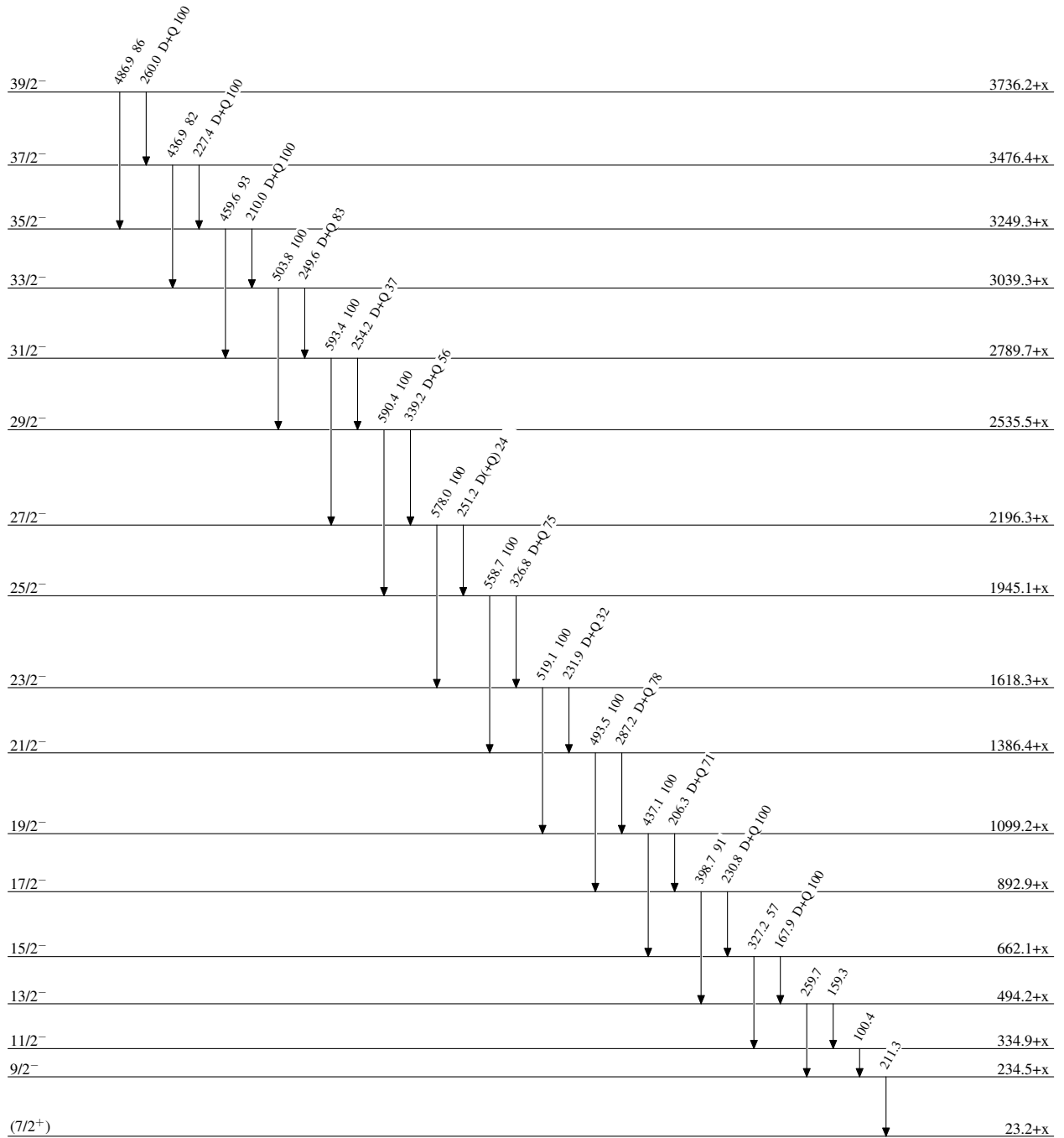
Intensities: Relative photon branching from each level

-----►  $\gamma$  Decay (Uncertain) $^{165}_{71}\text{Lu}_{94}$

$^{124}\text{Sn}(^{45}\text{Sc},4n\gamma)$  1988Fr22

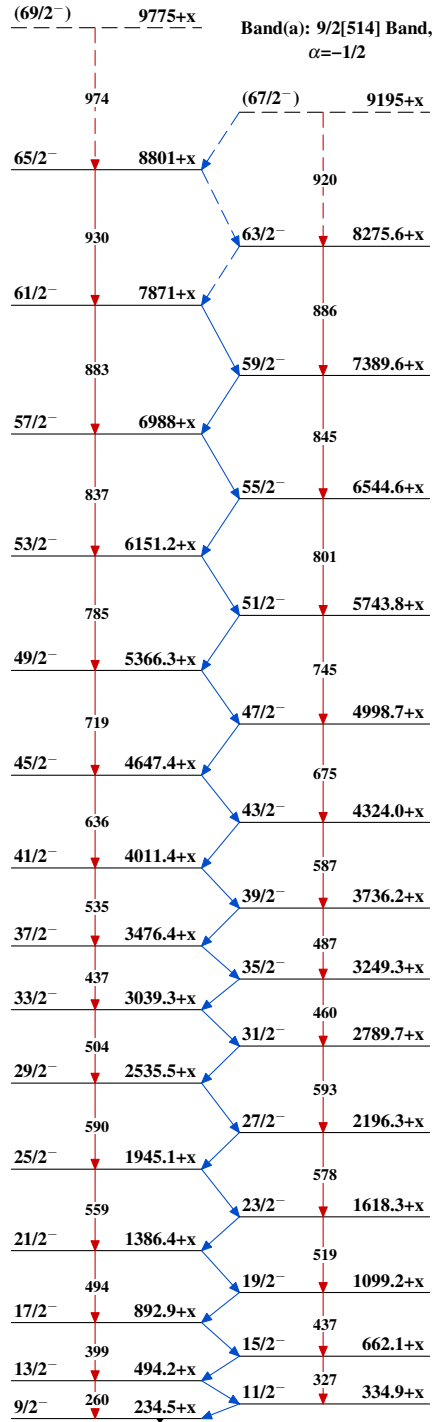
## Level Scheme (continued)

Intensities: Relative photon branching from each level



$^{124}\text{Sn}(^{45}\text{Sc},4n\gamma) \quad 1988\text{Fr}22$ 

Band(A): 9/2[514] Band,  
 $\alpha=+1/2$

 $^{165}_{71}\text{Lu}_{94}$

$^{138}\text{Ba}(^{31}\text{P},4n\gamma)$  **1995Sc39**

Type	Author	History	Citation	Literature Cutoff Date
Full Evaluation	Ashok K. Jain and Anwesha Ghosh, Balraj Singh		NDS 107, 1075 (2006)	15-Apr-2006

**1995Sc39:**  $^{138}\text{Ba}(^{31}\text{P},4n\gamma)$  E=155 MeV. Measured  $E\gamma$ ,  $I\gamma$ ,  $\gamma\gamma$  coin. Deduced a superdeformed structure and other normal-deformed bands. The authors also report data from  $^{150}\text{Sm}(^{19}\text{F},4n\gamma)$  reaction.  
Theory for SD band: **1999Xi02**.

 $^{165}\text{Lu}$  Levels

E(level) <sup>†</sup>	J <sup>π</sup> <sup>‡</sup>	E(level) <sup>†</sup>	J <sup>π</sup> <sup>‡</sup>	E(level) <sup>†</sup>	J <sup>π</sup> <sup>‡</sup>	E(level) <sup>†</sup>	J <sup>π</sup> <sup>‡</sup>
0.0+x <sup>@a</sup>	3/2 <sup>+</sup>	1291.99+x <sup>&amp;</sup> 19	17/2 <sup>+</sup>	2730.16+x <sup>d</sup> 24	29/2 <sup>+</sup>	5325.7+x <sup>e</sup> 16	47/2 <sup>+</sup>
5.4+x <sup>b</sup> 2	5/2 <sup>+</sup>	1310.5+x <sup>e</sup> 3	19/2 <sup>+</sup>	2753.44+x <sup>b</sup> 24	29/2 <sup>+</sup>	5539.4+x <sup>f</sup> 4	49/2 <sup>+</sup>
23.2+x <sup>e</sup> 3	7/2 <sup>+</sup>	1445.39+x <sup>a</sup> 20	19/2 <sup>+</sup>	2956.62+x <sup>e</sup> 24	31/2 <sup>+</sup>	5899.6+x <sup>g</sup> 4	51/2 <sup>+</sup>
141.44+x <sup>c</sup> 20	7/2 <sup>+</sup>	1478.39+x <sup>c</sup> 21	19/2 <sup>+</sup>	3180.3+x <sup>d</sup> 3	33/2 <sup>+</sup>	5904.0+x <sup>h</sup> 6	(49/2 <sup>+</sup> )
147.70+x <sup>&amp;</sup> 13	5/2 <sup>+</sup>	1587.0+x <sup>d</sup> 3	21/2 <sup>+</sup>	3200.9+x <sup>f</sup> 3	33/2 <sup>+</sup>	6101.5+x <sup>e</sup> 19	51/2 <sup>+</sup>
182.2+x <sup>d</sup> 3	9/2 <sup>+</sup>	1740.01+x <sup>b</sup> 21	21/2 <sup>+</sup>	3233.5+x <sup>h</sup> 4	(33/2 <sup>+</sup> )	6236.0+x <sup>f</sup> 4	53/2 <sup>+</sup>
195.39+x <sup>a</sup> 11	7/2 <sup>+</sup>	1818.51+x <sup>&amp;</sup> 22	21/2 <sup>+</sup>	3417.2+x <sup>e</sup> 3	35/2 <sup>+</sup>	6632.0+x <sup>g</sup> 4	55/2 <sup>+</sup>
305.56+x <sup>b</sup> 19	9/2 <sup>+</sup>	1871.5+x <sup>e</sup> 3	23/2 <sup>+</sup>	3436.5+x <sup>g</sup> 3	35/2 <sup>+</sup>	6707.5+x <sup>h</sup> 6	(53/2 <sup>+</sup> )
366.4+x <sup>e</sup> 3	11/2 <sup>+</sup>	1879.2+x <sup>#</sup> 7	(21/2 <sup>+</sup> )	3682.4+x <sup>d</sup> 3	37/2 <sup>+</sup>	6997.6+x <sup>f</sup> 4	57/2 <sup>+</sup>
432.70+x <sup>&amp;</sup> 14	9/2 <sup>+</sup>	1990.11+x <sup>a</sup> 23	23/2 <sup>+</sup>	3705.2+x <sup>f</sup> 4	37/2 <sup>+</sup>	7439.0+x <sup>g</sup> 4	59/2 <sup>+</sup>
499.21+x <sup>c</sup> 19	11/2 <sup>+</sup>	2048.1+x <sup>c</sup> 3	23/2 <sup>+</sup>	3815.9+x <sup>h</sup> 4	(37/2 <sup>+</sup> )	7562.8+x <sup>h</sup> 7	(57/2 <sup>+</sup> )
519.58+x <sup>a</sup> 15	11/2 <sup>+</sup>	2166.7+x <sup>d</sup> 3	25/2 <sup>+</sup>	3970.0+x <sup>e</sup> 6	39/2 <sup>+</sup>	7837.4+x <sup>f</sup> 4	61/2 <sup>+</sup>
573.9+x <sup>d</sup> 3	13/2 <sup>+</sup>	2222.7+x <sup>#</sup> 6	25/2 <sup>+</sup>	3981.0+x <sup>g</sup> 3	39/2 <sup>+</sup>	8330.7+x <sup>g</sup> 5	63/2 <sup>+</sup>
711.21+x <sup>b</sup> 19	13/2 <sup>+</sup>	2263.8+x <sup>h</sup> 4	(25/2 <sup>+</sup> )	4269.8+x <sup>f</sup> 3	41/2 <sup>+</sup>	8470.3+x <sup>h</sup> 8	(61/2 <sup>+</sup> )
802.0+x <sup>e</sup> 3	15/2 <sup>+</sup>	2294.36+x <sup>b</sup> 22	25/2 <sup>+</sup>	4457.2+x <sup>h</sup> 5	(41/2 <sup>+</sup> )	8755.1+x <sup>f</sup> 5	65/2 <sup>+</sup>
821.13+x <sup>&amp;</sup> 18	13/2 <sup>+</sup>	2348.73+x <sup>&amp;</sup> 23	25/2 <sup>+</sup>	4579.2+x <sup>g</sup> 3	43/2 <sup>+</sup>	9305.7+x <sup>g</sup> 6	67/2 <sup>+</sup>
943.32+x <sup>a</sup> 17	15/2 <sup>+</sup>	2458.5+x <sup>e</sup> 3	27/2 <sup>+</sup>	4613.7+x <sup>e</sup> 12	43/2 <sup>+</sup>	9432.6+x <sup>h</sup> 9	(65/2 <sup>+</sup> )
955.32+x <sup>c</sup> 20	15/2 <sup>+</sup>	2538.56+x <sup>a</sup> 24	27/2 <sup>+</sup>	4888.5+x <sup>f</sup> 3	45/2 <sup>+</sup>		
1048.7+x <sup>d</sup> 3	17/2 <sup>+</sup>	2612.2+x <sup>c</sup> 4	27/2 <sup>+</sup>	5153.3+x <sup>h</sup> 5	(45/2 <sup>+</sup> )		
1197.29+x <sup>b</sup> 20	17/2 <sup>+</sup>	2709.1+x <sup>h</sup> 4	(29/2 <sup>+</sup> )	5220.6+x <sup>g</sup> 3	47/2 <sup>+</sup>		

<sup>†</sup> From least-squares fit to  $E\gamma$ 's.

<sup>‡</sup> From **1995Sc39**, based on rotational-band assignments and  $\gamma(\theta)$  data in earlier (**1988Fr22,1984Jo05**) studies. The assignments are consistent with those in 'Adopted Levels', except that all are given in parenthese there due to lack of strong supporting arguments for low-lying levels.

# Level not supported In more recent studies (**2004Sc14**), the transition connected with this level placed elsewhere. IT is omitted In 'Adopted Levels'.

@ x  $\approx$  20 keV; see 'Adopted Levels' for comments.

& Band(A): 1/2[411] band,  $\alpha=+1/2$ .

<sup>a</sup> Band(a): 1/2[411] band,  $\alpha=-1/2$ .

<sup>b</sup> Band(B): 5/2[402] band,  $\alpha=+1/2$ .

<sup>c</sup> Band(b): 5/2[402] band,  $\alpha=-1/2$ .

<sup>d</sup> Band(C): 7/2[404] band,  $\alpha=+1/2$ .

<sup>e</sup> Band(c): 7/2[404] band,  $\alpha=-1/2$ .

<sup>f</sup> Band(D): 3-quasiparticle band,  $\alpha=+1/2$ .

<sup>g</sup> Band(d): 3-quasiparticle band,  $\alpha=-1/2$ .

<sup>h</sup> Band(E): SD (triaxial), 1/2[660] band,  $\alpha=+1/2$ .

$^{138}\text{Ba}(^{31}\text{P},4n\gamma)$  **1995Sc39** (continued) $\gamma(^{165}\text{Lu})$ 

$E_\gamma^\dagger$	$I_\gamma$	$E_i(\text{level})$	$J_i^\pi$	$E_f$	$J_f^\pi$
136.10 12	10.0 10	141.44+x	7/2 <sup>+</sup>	5.4+x	5/2 <sup>+</sup>
147.67 14	10.0 10	147.70+x	5/2 <sup>+</sup>	0.0+x	3/2 <sup>+</sup>
159.18 11	10.0 10	182.2+x	9/2 <sup>+</sup>	23.2+x	7/2 <sup>+</sup>
164.28 12	43.3 16	305.56+x	9/2 <sup>+</sup>	141.44+x	7/2 <sup>+</sup>
184.27 11	85.7 19	366.4+x	11/2 <sup>+</sup>	182.2+x	9/2 <sup>+</sup>
193.80 12	41.9 11	499.21+x	11/2 <sup>+</sup>	305.56+x	9/2 <sup>+</sup>
195.41 11	83 3	195.39+x	7/2 <sup>+</sup>	0.0+x	3/2 <sup>+</sup>
207.59 12	61.5 11	573.9+x	13/2 <sup>+</sup>	366.4+x	11/2 <sup>+</sup>
212.17 14	25.7 9	711.21+x	13/2 <sup>+</sup>	499.21+x	11/2 <sup>+</sup>
214.07 16	13.2 5	519.58+x	11/2 <sup>+</sup>	305.56+x	9/2 <sup>+</sup>
214.1 @ 3	10.4 5	3417.2+x	35/2 <sup>+</sup>	3200.9+x	33/2 <sup>+</sup>
224.33 # 16	15.4 5	3180.3+x	33/2 <sup>+</sup>	2956.62+x	31/2 <sup>+</sup>
226.52 14	27.7 7	2956.62+x	31/2 <sup>+</sup>	2730.16+x	29/2 <sup>+</sup>
228.18 14	46.0 9	802.0+x	15/2 <sup>+</sup>	573.9+x	13/2 <sup>+</sup>
231.88 20	8.5 6	943.32+x	15/2 <sup>+</sup>	711.21+x	13/2 <sup>+</sup>
235.60 3	26.5 6	3436.5+x	35/2 <sup>+</sup>	3200.9+x	33/2 <sup>+</sup>
237.23 14	19.7 6	3417.2+x	35/2 <sup>+</sup>	3180.3+x	33/2 <sup>+</sup>
237.39 16	14.9 8	432.70+x	9/2 <sup>+</sup>	195.39+x	7/2 <sup>+</sup>
241.82 15	17.3 6	1197.29+x	17/2 <sup>+</sup>	955.32+x	15/2 <sup>+</sup>
244.11 14	25.2 6	3200.9+x	33/2 <sup>+</sup>	2956.62+x	31/2 <sup>+</sup>
244.33 15	17.3 7	955.32+x	15/2 <sup>+</sup>	711.21+x	13/2 <sup>+</sup>
246.69 13	33.8 7	1048.7+x	17/2 <sup>+</sup>	802.0+x	15/2 <sup>+</sup>
262.00 14	28.3 7	1310.5+x	19/2 <sup>+</sup>	1048.7+x	17/2 <sup>+</sup>
262.05 18	11.1 6	1740.01+x	21/2 <sup>+</sup>	1478.39+x	19/2 <sup>+</sup>
265.33 14	20.1 6	3682.4+x	37/2 <sup>+</sup>	3417.2+x	35/2 <sup>+</sup>
268.63 20	16.2 6	3705.2+x	37/2 <sup>+</sup>	3436.5+x	35/2 <sup>+</sup>
271.40 14	36.1 7	2730.16+x	29/2 <sup>+</sup>	2458.5+x	27/2 <sup>+</sup>
275.2 10	7.1 4	3981.0+x	39/2 <sup>+</sup>	3705.2+x	37/2 <sup>+</sup>
276.52 13	38.5 7	1587.0+x	21/2 <sup>+</sup>	1310.5+x	19/2 <sup>+</sup>
281.10 16	13.4 6	1478.39+x	19/2 <sup>+</sup>	1197.29+x	17/2 <sup>+</sup>
284.49 15	17.6 7	1871.5+x	23/2 <sup>+</sup>	1587.0+x	21/2 <sup>+</sup>
284.96 17	15.2 9	432.70+x	9/2 <sup>+</sup>	147.70+x	5/2 <sup>+</sup>
287.6 10	14.9 7	3970.0+x	39/2 <sup>+</sup>	3682.4+x	37/2 <sup>+</sup>
288.46 15	10.6 5	4269.8+x	41/2 <sup>+</sup>	3981.0+x	39/2 <sup>+</sup>
291.80 14	24.2 6	2458.5+x	27/2 <sup>+</sup>	2166.7+x	25/2 <sup>+</sup>
295.04 14	28.6 6	2166.7+x	25/2 <sup>+</sup>	1871.5+x	23/2 <sup>+</sup>
299.9 10	14.2 5	4269.8+x	41/2 <sup>+</sup>	3970.0+x	39/2 <sup>+</sup>
300.12 15	17.4 10	305.56+x	9/2 <sup>+</sup>	5.4+x	5/2 <sup>+</sup>
301.5 10	16.3 6	821.13+x	13/2 <sup>+</sup>	519.58+x	11/2 <sup>+</sup>
309.08 20	16.3 8	4579.2+x	43/2 <sup>+</sup>	4269.8+x	41/2 <sup>+</sup>
309.36 15	38.0 9	4888.5+x	45/2 <sup>+</sup>	4579.2+x	43/2 <sup>+</sup>
318.58 13	30.7 5	5539.4+x	49/2 <sup>+</sup>	5220.6+x	47/2 <sup>+</sup>
324.18 12	83.2 17	519.58+x	11/2 <sup>+</sup>	195.39+x	7/2 <sup>+</sup>
331.86 14	25.0 5	5220.6+x	47/2 <sup>+</sup>	4888.5+x	45/2 <sup>+</sup>
335.99 14	22.9 6	6236.0+x	53/2 <sup>+</sup>	5899.6+x	51/2 <sup>+</sup>
343.03 12	121 3	366.4+x	11/2 <sup>+</sup>	23.2+x	7/2 <sup>+</sup>
343.5 3	10.0 10	2222.7+x	25/2 <sup>+</sup>	1879.2+x	(21/2 <sup>+</sup> )
348.32 20	11.0 5	1291.99+x	17/2 <sup>+</sup>	943.32+x	15/2 <sup>+</sup>
357.56 16	24.5 9	499.21+x	11/2 <sup>+</sup>	141.44+x	7/2 <sup>+</sup>
360.06 14	22.8 5	5899.6+x	51/2 <sup>+</sup>	5539.4+x	49/2 <sup>+</sup>
365.94 20	9.1 5	6997.6+x	57/2 <sup>+</sup>	6632.0+x	55/2 <sup>+</sup>
388.46 14	33.4 10	821.13+x	13/2 <sup>+</sup>	432.70+x	9/2 <sup>+</sup>
391.71 11	142.6 24	573.9+x	13/2 <sup>+</sup>	182.2+x	9/2 <sup>+</sup>
395.84 18	13.9 5	6632.0+x	55/2 <sup>+</sup>	6236.0+x	53/2 <sup>+</sup>
398.62 20	13.3 6	7837.4+x	61/2 <sup>+</sup>	7439.0+x	59/2 <sup>+</sup>

Continued on next page (footnotes at end of table)

$^{138}\text{Ba}(^{31}\text{P},4n\gamma)$  **1995Sc39** (continued) $\gamma(^{165}\text{Lu})$  (continued)

$E_\gamma$ †	$I_\gamma$	$E_i(\text{level})$	$J_i^\pi$	$E_f$	$J_f^\pi$
404.85 20	18.2 10	2753.44+x	29/2 <sup>+</sup>	2348.73+x	25/2 <sup>+</sup>
405.57 16	23.0 11	711.21+x	13/2 <sup>+</sup>	305.56+x	9/2 <sup>+</sup>
418.06 14	20.1 4	2956.62+x	31/2 <sup>+</sup>	2538.56+x	27/2 <sup>+</sup>
423.70 12	75.0 13	943.32+x	15/2 <sup>+</sup>	519.58+x	11/2 <sup>+</sup>
435.61 12	183.0 25	802.0+x	15/2 <sup>+</sup>	366.4+x	11/2 <sup>+</sup>
435.82 16	20.8 8	2730.16+x	29/2 <sup>+</sup>	2294.36+x	25/2 <sup>+</sup>
436.3 4	8.0 9	955.32+x	15/2 <sup>+</sup>	519.58+x	11/2 <sup>+</sup>
442.0 3	5.9 5	7439.0+x	59/2 <sup>+</sup>	6997.6+x	57/2 <sup>+</sup>
444.10 15	26.8 8	943.32+x	15/2 <sup>+</sup>	499.21+x	11/2 <sup>+</sup>
445.28 24	14.9 9	2709.1+x	(29/2 <sup>+</sup> )	2263.8+x	(25/2 <sup>+</sup> )
445.4 3	3.8 9	2263.8+x	(25/2 <sup>+</sup> )	1818.51+x	21/2 <sup>+</sup>
448.6 3	5.9 6	1740.01+x	21/2 <sup>+</sup>	1291.99+x	17/2 <sup>+</sup>
450.08 13	43.6 9	3180.3+x	33/2 <sup>+</sup>	2730.16+x	29/2 <sup>+</sup>
455.88 18	24.2 10	955.32+x	15/2 <sup>+</sup>	499.21+x	11/2 <sup>+</sup>
458.97 15	40.5 11	2753.44+x	29/2 <sup>+</sup>	2294.36+x	25/2 <sup>+</sup>
460.51 15	32.7 10	3417.2+x	35/2 <sup>+</sup>	2956.62+x	31/2 <sup>+</sup>
470.65 18	32.6 10	3200.9+x	33/2 <sup>+</sup>	2730.16+x	29/2 <sup>+</sup>
470.89 15	38.3 11	1291.99+x	17/2 <sup>+</sup>	821.13+x	13/2 <sup>+</sup>
474.73 12	163.6 20	1048.7+x	17/2 <sup>+</sup>	573.9+x	13/2 <sup>+</sup>
475.01 ‡ 24	10.4 6	2294.36+x	25/2 <sup>+</sup>	1818.51+x	21/2 <sup>+</sup>
479.83 17	23.0 8	3436.5+x	35/2 <sup>+</sup>	2956.62+x	31/2 <sup>+</sup>
480.0 4	6.9 6	3233.5+x	(33/2 <sup>+</sup> )	2753.44+x	29/2 <sup>+</sup>
486.10 15	34.7 11	1197.29+x	17/2 <sup>+</sup>	711.21+x	13/2 <sup>+</sup>
486.4 4	7.4 8	2709.1+x	(29/2 <sup>+</sup> )	2222.7+x	25/2 <sup>+</sup>
493.2 3	5.2 7	8330.7+x	63/2 <sup>+</sup>	7837.4+x	61/2 <sup>+</sup>
498.27 18	23.0 7	2956.62+x	31/2 <sup>+</sup>	2458.5+x	27/2 <sup>+</sup>
502.04 16	34.2 10	3682.4+x	37/2 <sup>+</sup>	3180.3+x	33/2 <sup>+</sup>
502.07 12	98.2 15	1445.39+x	19/2 <sup>+</sup>	943.32+x	15/2 <sup>+</sup>
508.41 12	197.1 20	1310.5+x	19/2 <sup>+</sup>	802.0+x	15/2 <sup>+</sup>
523.49 18	27.3 13	1478.39+x	19/2 <sup>+</sup>	955.32+x	15/2 <sup>+</sup>
523.6 10	5.0 8	2263.8+x	(25/2 <sup>+</sup> )	1740.01+x	21/2 <sup>+</sup>
524.44 20	11.5 9	3233.5+x	(33/2 <sup>+</sup> )	2709.1+x	(29/2 <sup>+</sup> )
526.14 17	38.0 11	1818.51+x	21/2 <sup>+</sup>	1291.99+x	17/2 <sup>+</sup>
530.23 20	18.5 8	2348.73+x	25/2 <sup>+</sup>	1818.51+x	21/2 <sup>+</sup>
538.25 12	174.9 18	1587.0+x	21/2 <sup>+</sup>	1048.7+x	17/2 <sup>+</sup>
542.58 16	34.7 11	1740.01+x	21/2 <sup>+</sup>	1197.29+x	17/2 <sup>+</sup>
544.65 15	33.9 10	3981.0+x	39/2 <sup>+</sup>	3436.5+x	35/2 <sup>+</sup>
544.73 13	92.9 14	1990.11+x	23/2 <sup>+</sup>	1445.39+x	19/2 <sup>+</sup>
548.45 15	36.7 9	2538.56+x	27/2 <sup>+</sup>	1990.11+x	23/2 <sup>+</sup>
552.9 10	36.5 10	3970.0+x	39/2 <sup>+</sup>	3417.2+x	35/2 <sup>+</sup>
554.59 15	33.7 13	2294.36+x	25/2 <sup>+</sup>	1740.01+x	21/2 <sup>+</sup>
561.03 13	151.6 20	1871.5+x	23/2 <sup>+</sup>	1310.5+x	19/2 <sup>+</sup>
562.5 <sup>a</sup> 4	5.0 7	3981.0+x	39/2 <sup>+</sup>	3417.2+x	35/2 <sup>+</sup>
563.56 14	84.0 16	2730.16+x	29/2 <sup>+</sup>	2166.7+x	25/2 <sup>+</sup>
564.0 10		4269.8+x	41/2 <sup>+</sup>	3705.2+x	37/2 <sup>+</sup>
564.03 23	16.3 9	2612.2+x	27/2 <sup>+</sup>	2048.1+x	23/2 <sup>+</sup>
569.75 18	22.9 11	2048.1+x	23/2 <sup>+</sup>	1478.39+x	19/2 <sup>+</sup>
579.74 12	165.0 18	2166.7+x	25/2 <sup>+</sup>	1587.0+x	21/2 <sup>+</sup>
582.36 18	21.5 11	3815.9+x	(37/2 <sup>+</sup> )	3233.5+x	(33/2 <sup>+</sup> )
587.02 13	110.8 19	2458.5+x	27/2 <sup>+</sup>	1871.5+x	23/2 <sup>+</sup>
587.46 21	14.3 9	4269.8+x	41/2 <sup>+</sup>	3682.4+x	37/2 <sup>+</sup>
587.7 10	6.8 15	2753.44+x	29/2 <sup>+</sup>	2166.7+x	25/2 <sup>+</sup>
598.55 15	40.7 10	4579.2+x	43/2 <sup>+</sup>	3981.0+x	39/2 <sup>+</sup>
608.84 20	18.1 10	2348.73+x	25/2 <sup>+</sup>	1740.01+x	21/2 <sup>+</sup>
609.3 10	18.9 7	4579.2+x	43/2 <sup>+</sup>	3970.0+x	39/2 <sup>+</sup>

Continued on next page (footnotes at end of table)



$^{138}\text{Ba}(^{31}\text{P},4n\gamma)$  **1995Sc39** (continued) $\gamma(^{165}\text{Lu})$  (continued)

$E_\gamma^\dagger$	$I_\gamma$	$E_i(\text{level})$	$J_i^\pi$	$E_f$	$J_f^\pi$
618.51 15	44.7 8	4888.5+x	45/2 <sup>+</sup>	4269.8+x	41/2 <sup>+</sup>
641.3& 2	20.6 <sup>b</sup> 10	4457.2+x	(41/2 <sup>+</sup> )	3815.9+x	(37/2 <sup>+</sup> )
641.44 17	37.9 11	5220.6+x	47/2 <sup>+</sup>	4579.2+x	43/2 <sup>+</sup>
643.7 10	29.1 12	4613.7+x	43/2 <sup>+</sup>	3970.0+x	39/2 <sup>+</sup>
651.13 15	45.3 10	5539.4+x	49/2 <sup>+</sup>	4888.5+x	45/2 <sup>+</sup>
679.18 18	24.2 7	5899.6+x	51/2 <sup>+</sup>	5220.6+x	47/2 <sup>+</sup>
696.10 20	19.7 9	5153.3+x	(45/2 <sup>+</sup> )	4457.2+x	(41/2 <sup>+</sup> )
696.73 17	29.8 9	6236.0+x	53/2 <sup>+</sup>	5539.4+x	49/2 <sup>+</sup>
712.0 10	26.0 9	5325.7+x	47/2 <sup>+</sup>	4613.7+x	43/2 <sup>+</sup>
732.95 20	23.6 8	6632.0+x	55/2 <sup>+</sup>	5899.6+x	51/2 <sup>+</sup>
750.73 20	20.6 9	5904.0+x	(49/2 <sup>+</sup> )	5153.3+x	(45/2 <sup>+</sup> )
761.39 18	31.1 8	6997.6+x	57/2 <sup>+</sup>	6236.0+x	53/2 <sup>+</sup>
775.8 10	18.0 8	6101.5+x	51/2 <sup>+</sup>	5325.7+x	47/2 <sup>+</sup>
803.5 3	14.0 7	6707.5+x	(53/2 <sup>+</sup> )	5904.0+x	(49/2 <sup>+</sup> )
806.93 20	28.6 9	7439.0+x	59/2 <sup>+</sup>	6632.0+x	55/2 <sup>+</sup>
839.50 22	22.1 8	7837.4+x	61/2 <sup>+</sup>	6997.6+x	57/2 <sup>+</sup>
855.31 25	14.9 7	7562.8+x	(57/2 <sup>+</sup> )	6707.5+x	(53/2 <sup>+</sup> )
891.77 25	17.9 8	8330.7+x	63/2 <sup>+</sup>	7439.0+x	59/2 <sup>+</sup>
907.5 3	9.1 7	8470.3+x	(61/2 <sup>+</sup> )	7562.8+x	(57/2 <sup>+</sup> )
917.66 24	20.3 8	8755.1+x	65/2 <sup>+</sup>	7837.4+x	61/2 <sup>+</sup>
962.3 4	8.0 7	9432.6+x	(65/2 <sup>+</sup> )	8470.3+x	(61/2 <sup>+</sup> )
975.0 3	14.0 8	9305.7+x	67/2 <sup>+</sup>	8330.7+x	63/2 <sup>+</sup>

<sup>†</sup> From ( $^{31}\text{P},4n\gamma$ ) and ( $^{19}\text{F},4n\gamma$ ) reactions.

<sup>‡</sup> Poor fit; level-energy difference=475.85.

<sup>#</sup> Poor fit; level-energy difference=223.71.

<sup>@</sup> Poor fit; level-energy difference=216.2.

<sup>&</sup> From level-energy difference. This gamma ray is not listed in table 1 of **1995Sc39**. Uncertainty is assigned by the evaluators.

<sup>a</sup> Poor fit; level-energy difference=563.8.

<sup>b</sup> From the average of  $I_\gamma(696\gamma)$  and  $I_\gamma(582\gamma)$ . Intensity is not available from **1995Sc39**.

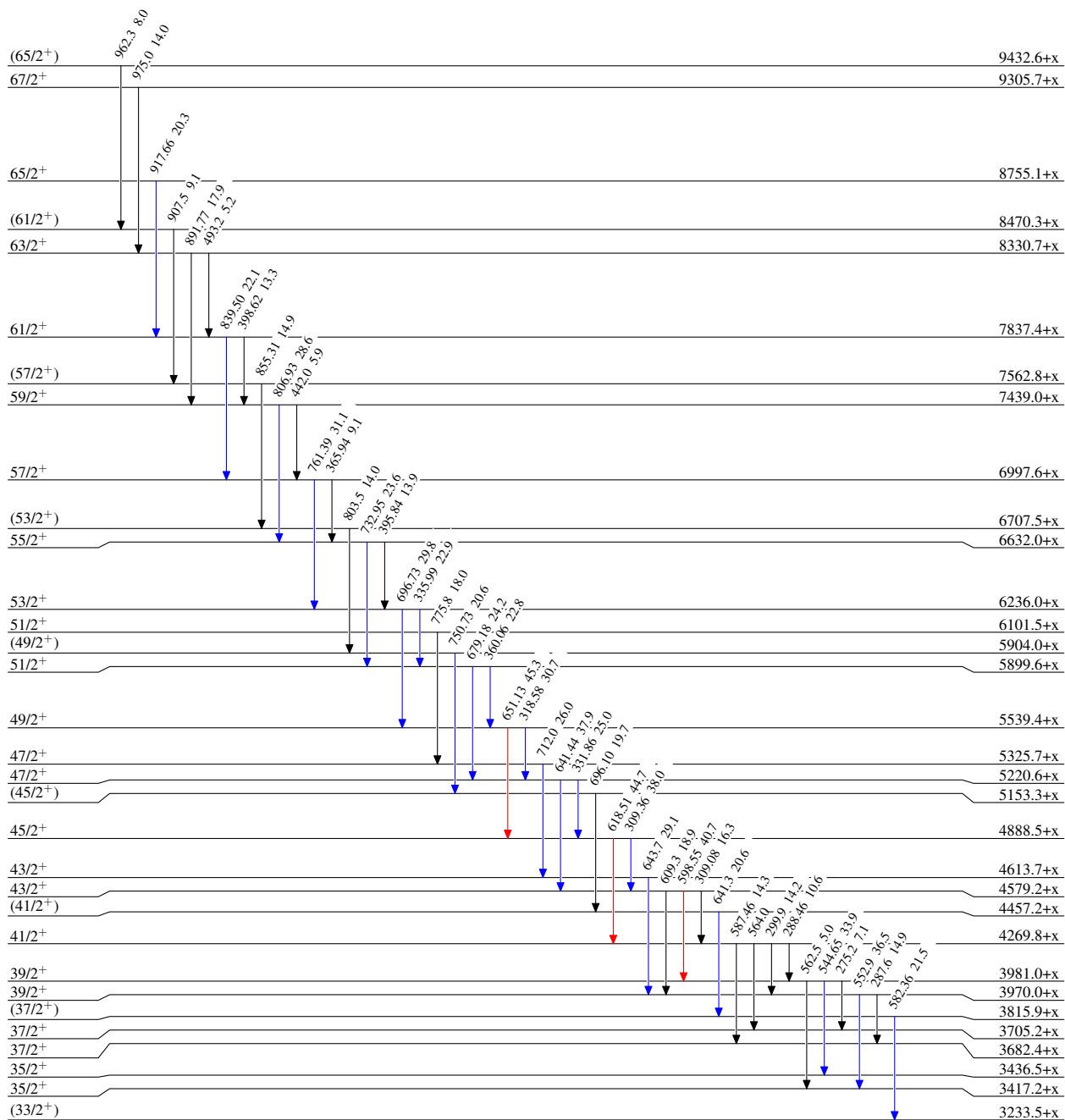
$^{138}\text{Ba}(^{31}\text{P}, 4n\gamma) \quad ^{199}\text{Sc39}$ 

## Level Scheme

Intensities: Relative  $I_\gamma$ 

## Legend

- $\longrightarrow$   $I_\gamma < 2\% \times I_\gamma^{\text{max}}$   
 $\longrightarrow$   $I_\gamma < 10\% \times I_\gamma^{\text{max}}$   
 $\longrightarrow$   $I_\gamma > 10\% \times I_\gamma^{\text{max}}$



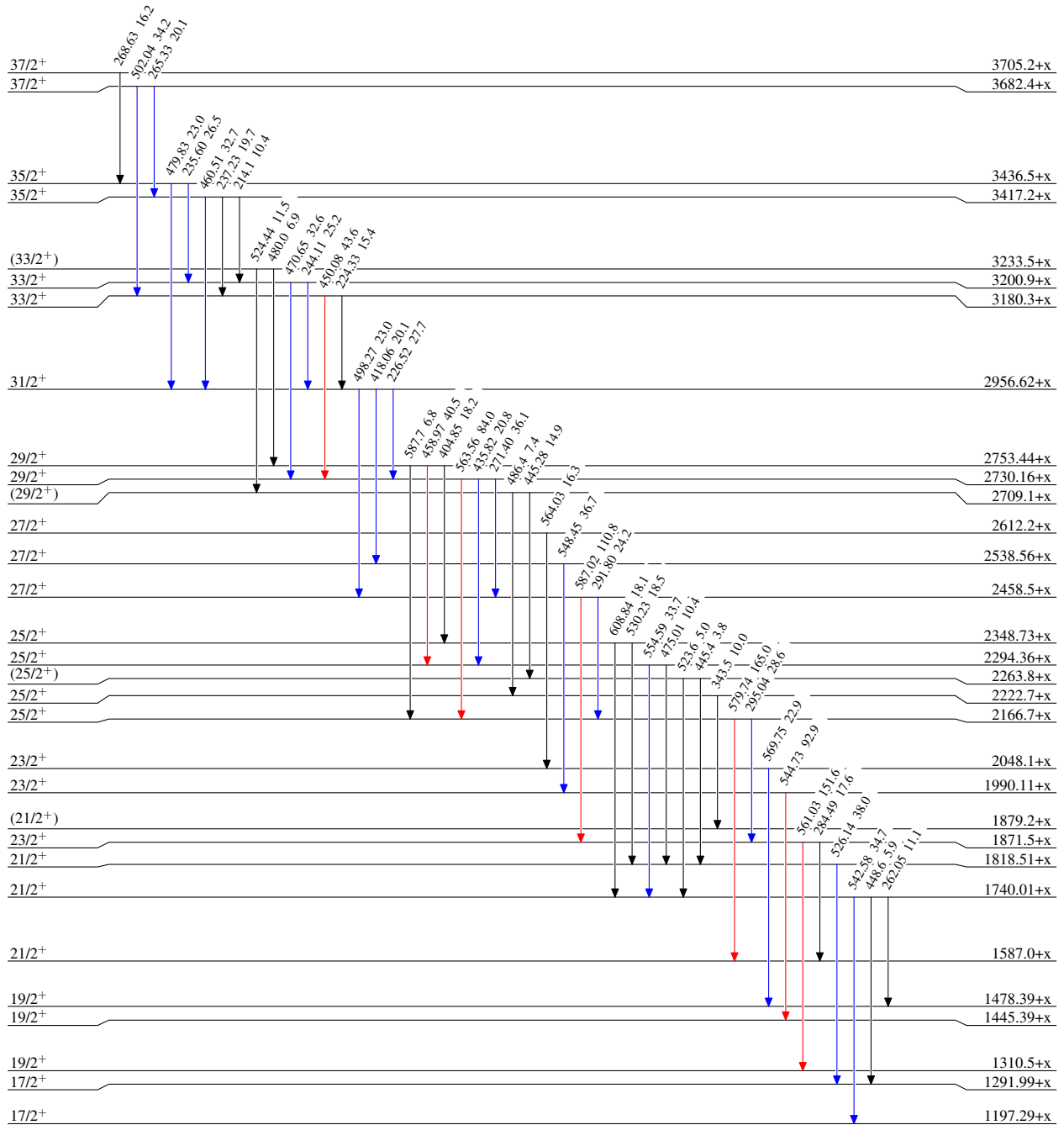
$^{138}\text{Ba}(^{31}\text{P},4n\gamma) \quad ^{1995}\text{Sc39}$ 

## Level Scheme (continued)

Intensities: Relative  $I_\gamma$ 

Legend

- $\longrightarrow$   $I_\gamma < 2\% \times I_\gamma^{\max}$   
 $\longrightarrow$   $I_\gamma < 10\% \times I_\gamma^{\max}$   
 $\longrightarrow$   $I_\gamma > 10\% \times I_\gamma^{\max}$

 $^{165}_{71}\text{Lu}_{94}$

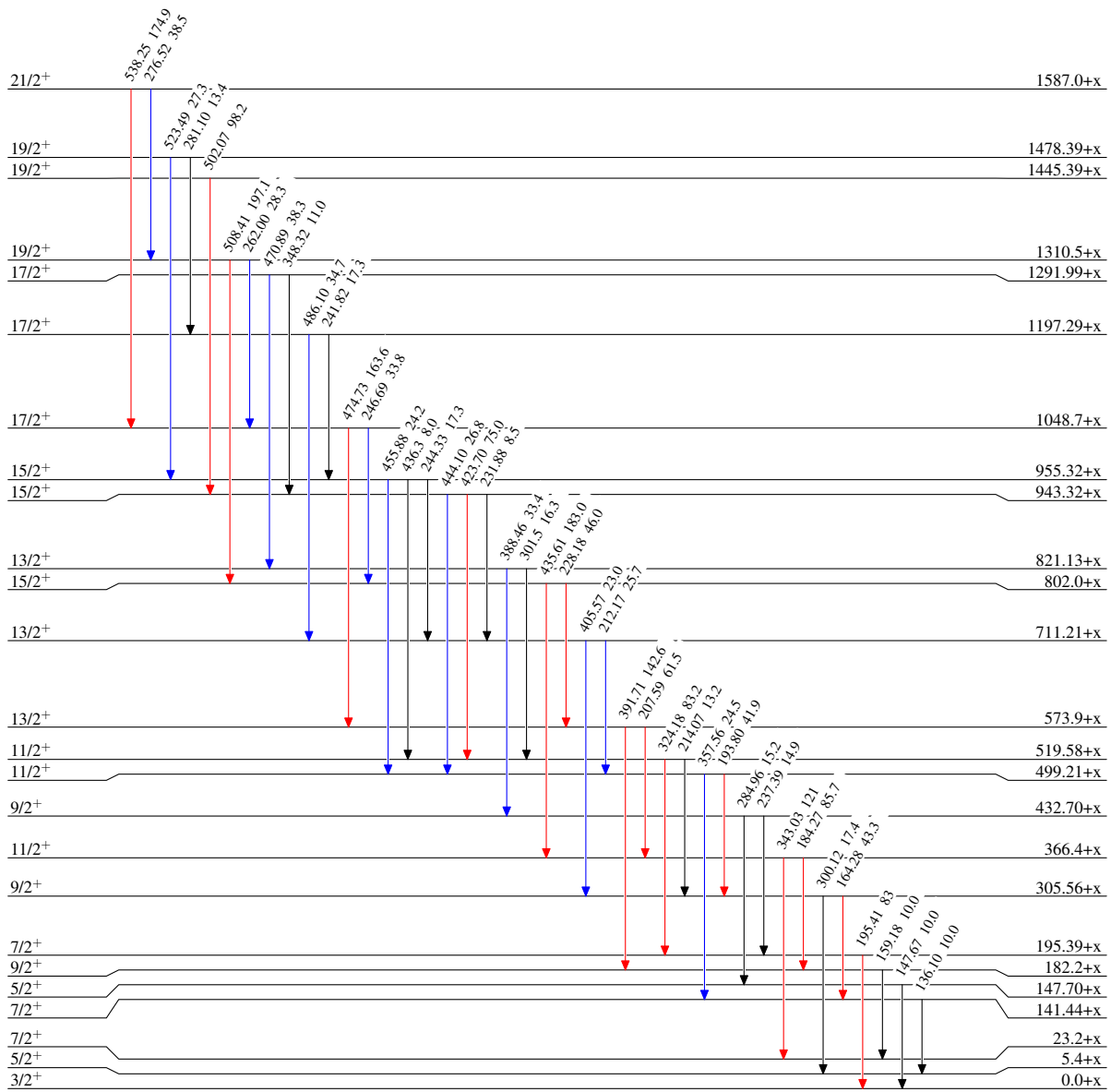
$^{138}\text{Ba}(^{31}\text{P},4n\gamma)$  1995Sc39

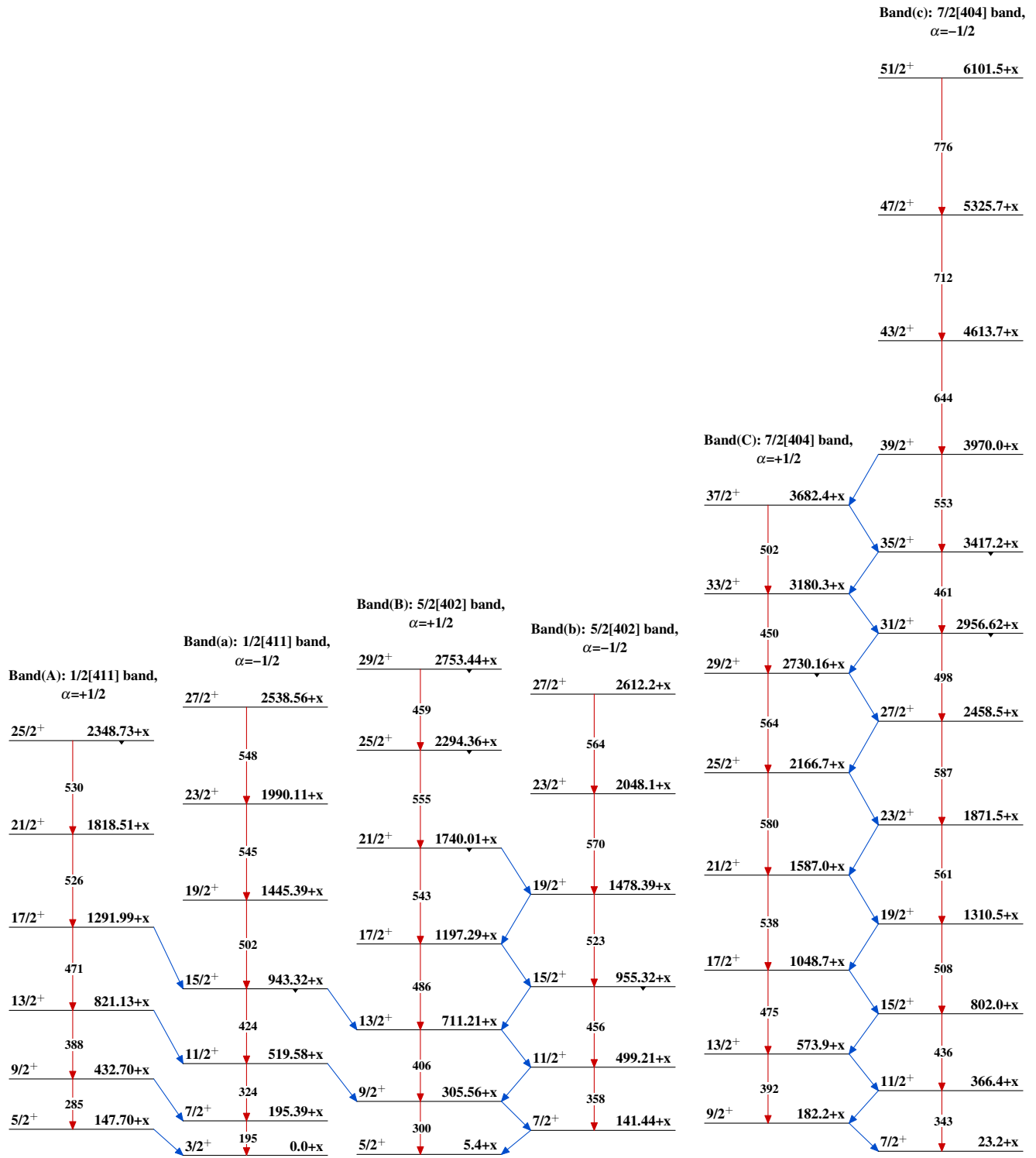
## Level Scheme (continued)

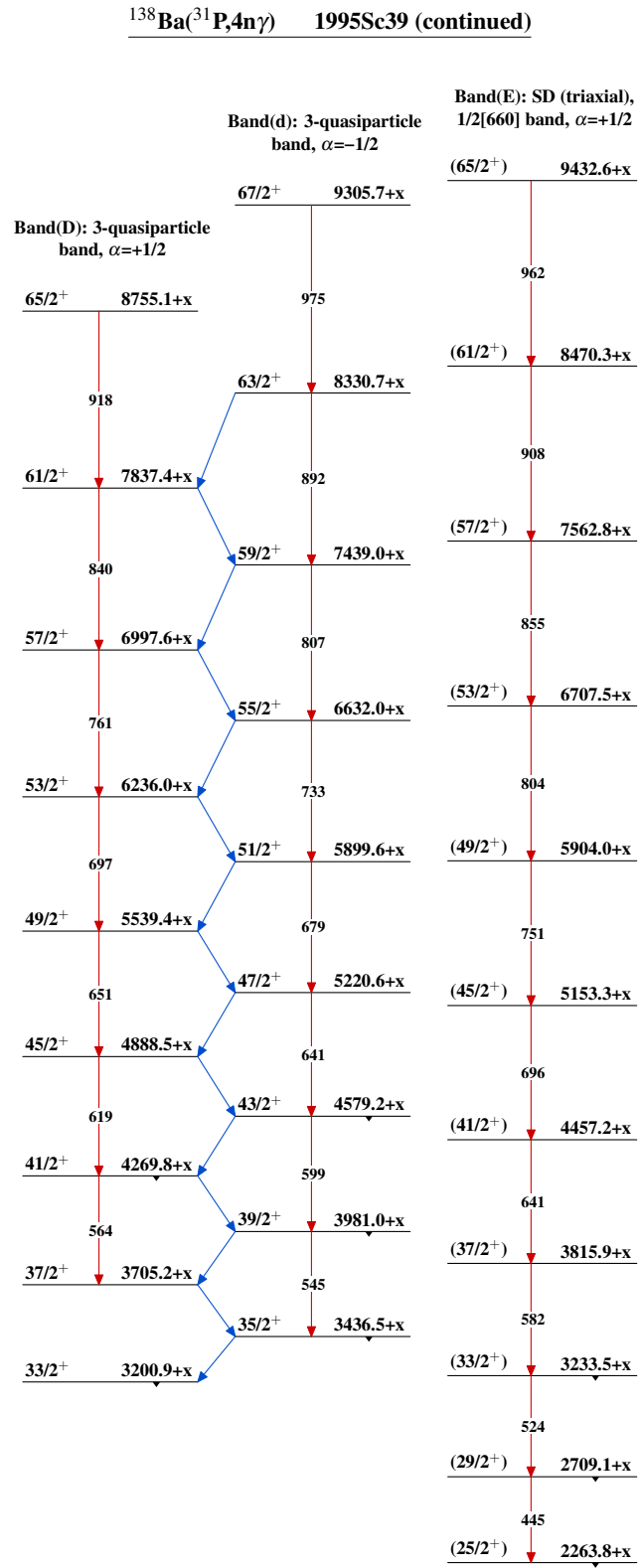
Intensities: Relative  $I_\gamma$ 

Legend

- $\longrightarrow$   $I_\gamma < 2\% \times I_\gamma^{\max}$   
 $\longrightarrow$   $I_\gamma < 10\% \times I_\gamma^{\max}$   
 $\longrightarrow$   $I_\gamma > 10\% \times I_\gamma^{\max}$

 $^{165}_{71}\text{Lu}_{94}$

$^{138}\text{Ba}(^{31}\text{P},4n\gamma) \quad 1995\text{Sc39}$  $^{165}_{71}\text{Lu}_{94}$



$^{139}\text{La}(^{30}\text{Si},4n\gamma)$  2004Sc14,2003Sc02,2005An04

Type	Author	History	Citation	Literature Cutoff Date
Full Evaluation	Ashok K. Jain and Anwesha Ghosh, Balraj Singh		NDS 107, 1075 (2006)	15-Apr-2006

Includes  $^{124}\text{Sn}(^{45}\text{Sc},4n\gamma)$  from 2002Sc47 for lifetime data and deduced quadrupole moments.

2004Sc14, 2003Sc02: E=152 MeV. Measured  $E\gamma$ ,  $I\gamma$ ,  $\gamma\gamma$ ,  $\gamma\gamma(\theta)(\text{DCO})$  with the EUROBALL spectrometer array, which comprised of 30 conventional large-volume tapered Ge detectors as well as 26 Clover and 15 Cluster composite Ge detectors. The Clover detectors consist of 4 Ge crystals each and the Clusters are composed of 7 crystals each. All detectors are surrounded by BGO scintillation detectors for Compton suppression. Also, an inner ball of 210 BGO detectors was used to as a multiplicity filter to enhance the detection of high-spin states which deexcite in long  $\gamma$ -ray cascades. Deduced normal-deformed and superdeformed structures.

2005An04: E=135 MeV. Measured lifetimes of normal-deformed states in four low-lying rotational bands using differential decay-curve method (DDCM) in recoil-distance measurements; GASP array of 40 Compton-suppressed Ge detectors and 80 BGO detectors.

2002Sc47:  $^{124}\text{Sn}(^{45}\text{Sc},4n\gamma)$  E=217 MeV. Measured lifetimes by DSAM and deduced quadrupole moment.

All data are from 2004Sc14, unless otherwise stated.

Additional information 1.

 $^{165}\text{Lu}$  Levels

Q(transition)= Transition quadrupole moment.

Nomenclature for quasi-particle orbitals:

- a:  $\pi 1/2[411]$ ,  $\alpha=+1/2$ .
- b:  $\pi 1/2[411]$ ,  $\alpha=-1/2$ .
- c:  $\pi 7/2[404]$ ,  $\alpha=+1/2$ .
- d:  $\pi 7/2[404]$ ,  $\alpha=-1/2$ .
- e:  $\pi 9/2[514]$ ,  $\alpha=+1/2$ .
- f:  $\pi 9/2[514]$ ,  $\alpha=-1/2$ .
- g:  $\pi 7/2[523]$ ,  $\alpha=+1/2$ .
- h:  $\pi 7/2[523]$ ,  $\alpha=-1/2$ .
- k:  $\pi 5/2[402]$ ,  $\alpha=+1/2$ .
- l:  $\pi 5/2[402]$ ,  $\alpha=-1/2$ .
- A:  $\nu 5/2[642]$ ,  $\alpha=+1/2$ .
- B:  $\nu 5/2[642]$ ,  $\alpha=-1/2$ .
- C:  $\nu 3/2[651]$ ,  $\alpha=+1/2$ .
- D:  $\nu 3/2[651]$ ,  $\alpha=-1/2$ .
- E:  $\nu 5/2[523]$ ,  $\alpha=+1/2$ .
- F:  $\nu 5/2[523]$ ,  $\alpha=-1/2$ .
- G:  $\nu 3/2[521]$ ,  $\alpha=+1/2$ .
- H:  $\nu 3/2[521]$ ,  $\alpha=-1/2$ .

The first alignment of pair of  $i_{13/2}$  neutrons [AB] results in an alignment gain of  $10\hbar$  at  $\hbar\omega=0.25$  MeV in most bands, except for the  $1/2[541]$  band where the alignment is delayed. The alignments of the next pair of  $i_{13/2}$  neutrons [BC] and [CD] occur at higher frequencies of  $\hbar\omega\approx 0.31$  and  $0.40$  MeV, respectively with an alignment gain of  $\approx 4.5\hbar$ .

E(level) <sup>†</sup>	J <sup>π</sup> <sup>‡</sup>	E(level) <sup>†</sup>	J <sup>π</sup> <sup>‡</sup>	T <sub>1/2</sub> <sup>#</sup>	E(level) <sup>†</sup>	J <sup>π</sup> <sup>‡</sup>	T <sub>1/2</sub> <sup>#</sup>
0.0+x <sup>@d</sup>	3/2 <sup>+</sup>	182.4+x <sup>c</sup> 4	9/2 <sup>+</sup>		366.6+x <sup>b</sup> 4	11/2 <sup>+</sup>	15.7 ps 15
5.4+x <sup>h</sup> 5	5/2 <sup>+</sup>	195.39+x <sup>d</sup> 10	7/2 <sup>+</sup>	133 ps 12	432.7+x <sup>e</sup> 4	9/2 <sup>+</sup>	
23.4+x <sup>b</sup> 4	7/2 <sup>+</sup>	234.9+x <sup>&amp;</sup> 4	9/2 <sup>-</sup>		466.48+x <sup>f</sup> 14	9/2 <sup>-</sup>	58.7 ps 35
54.7+x 4	(7/2 <sup>-</sup> )	305.6+x <sup>h</sup> 4	9/2 <sup>+</sup>		494.7+x <sup>&amp;</sup> 4	13/2 <sup>-</sup>	13.0 ps 6
141.4+x <sup>g</sup> 4	7/2 <sup>+</sup>	335.5+x <sup>a</sup> 4	11/2 <sup>-</sup>		499.3+x <sup>g</sup> 4	11/2 <sup>+</sup>	
147.7+x <sup>e</sup> 4	5/2 <sup>+</sup>	345.5+x <sup>f</sup> 5	5/2 <sup>-</sup>		519.60+x <sup>d</sup> 14	11/2 <sup>+</sup>	14.9 ps 7

Continued on next page (footnotes at end of table)

$^{139}\text{La}(^{30}\text{Si},4n\gamma)$  **2004Sc14,2003Sc02,2005An04 (continued)** $^{165}\text{Lu}$  Levels (continued)

E(level) <sup>†</sup>	J <sup>π</sup> <sup>‡</sup>	T <sub>1/2</sub> <sup>#</sup>	E(level) <sup>†</sup>	J <sup>π</sup> <sup>‡</sup>
574.2+x <sup>c</sup> 4	13/2 <sup>+</sup>	6.70 ps 24	2956.8+x <sup>b</sup> 4	31/2 <sup>+</sup>
662.7+x <sup>a</sup> 4	15/2 <sup>-</sup>	6.65 ps 35	2968.4+x <sup>i</sup> 4	31/2 <sup>+</sup>
694.77+x <sup>f</sup> 17	13/2 <sup>-</sup>	33.3 ps 14	2999.7+x <sup>d</sup> 5	31/2 <sup>+</sup>
711.4+x <sup>h</sup> 3	13/2 <sup>+</sup>		3038.6+x <sup>&amp;</sup> 4	33/2 <sup>-</sup>
802.2+x <sup>b</sup> 4	15/2 <sup>+</sup>	3.66 ps 16	3043.4+x <sup>g</sup> 11	31/2 <sup>+</sup>
821.2+x <sup>e</sup> 4	13/2 <sup>+</sup>		3067.1+x <sup>q</sup> 8	31/2 <sup>-</sup>
893.3+x <sup>&amp;</sup> 4	17/2 <sup>-</sup>	2.91 ps 12	3180.4+x <sup>c</sup> 5	33/2 <sup>+</sup>
943.4+x <sup>d</sup> 3	15/2 <sup>+</sup>	1.84 ps 17	3195.2+x <sup>f</sup> 4	33/2 <sup>-</sup>
955.5+x <sup>g</sup> 4	15/2 <sup>+</sup>		3201.1+x <sup>j</sup> 5	33/2 <sup>+</sup>
1030.17+x <sup>f</sup> 20	17/2 <sup>-</sup>	7.77 ps 17	3222.2+x <sup>p</sup> 5	33/2 <sup>-</sup>
1048.9+x <sup>c</sup> 4	17/2 <sup>+</sup>	2.17 ps 8	3224.6+x <sup>h</sup> 7	33/2 <sup>+</sup>
1099.5+x <sup>a</sup> 4	19/2 <sup>-</sup>	1.70 ps 6	3240.1+x <sup>r</sup> 7	33/2 <sup>+</sup>
1197.5+x <sup>h</sup> 4	17/2 <sup>+</sup>		3248.2+x <sup>a</sup> 4	35/2 <sup>-</sup>
1292.1+x <sup>e</sup> 5	17/2 <sup>+</sup>		3417.3+x <sup>b</sup> 5	35/2 <sup>+</sup>
1310.6+x <sup>b</sup> 4	19/2 <sup>+</sup>		3436.6+x <sup>i</sup> 5	35/2 <sup>+</sup>
1386.4+x <sup>&amp;</sup> 4	21/2 <sup>-</sup>	1.25 ps 18	3471.7+x <sup>d</sup> 7	35/2 <sup>+</sup>
1445.5+x <sup>d</sup> 3	19/2 <sup>+</sup>	2.16 ps 10	3474.9+x <sup>&amp;</sup> 4	37/2 <sup>-</sup>
1462.25+x <sup>f</sup> 22	21/2 <sup>-</sup>	2.8 ps 7	3484.8+x <sup>o</sup> 5	35/2 <sup>-</sup>
1478.6+x <sup>g</sup> 5	19/2 <sup>+</sup>		3602.2+x <sup>q</sup> 8	35/2 <sup>-</sup>
1587.0+x <sup>c</sup> 4	21/2 <sup>+</sup>	1.10 ps 8	3682.5+x <sup>c</sup> 5	37/2 <sup>+</sup>
1618.3+x <sup>a</sup> 4	23/2 <sup>-</sup>	0.98 ps 7	3705.4+x <sup>j</sup> 6	37/2 <sup>+</sup>
1740.2+x <sup>h</sup> 4	21/2 <sup>+</sup>		3734.9+x <sup>a</sup> 4	39/2 <sup>-</sup>
1769.6+x <sup>q</sup> 7	19/2 <sup>-</sup>		3754.6+x <sup>h</sup> 8	37/2 <sup>+</sup>
1818.6+x <sup>e</sup> 5	21/2 <sup>+</sup>		3765.2+x <sup>r</sup> 8	37/2 <sup>+</sup>
1871.6+x <sup>b</sup> 4	23/2 <sup>+</sup>		3823.8+x <sup>p</sup> 5	37/2 <sup>-</sup>
1945.0+x <sup>&amp;</sup> 4	25/2 <sup>-</sup>		3853.5+x <sup>f</sup> 6	37/2 <sup>-</sup>
1978.64+x <sup>f</sup> 24	25/2 <sup>-</sup>		3864.5+x <sup>s</sup> 10	35/2 <sup>+</sup>
1990.2+x <sup>d</sup> 3	23/2 <sup>+</sup>		3970.2+x <sup>b</sup> 5	39/2 <sup>+</sup>
2048.3+x <sup>g</sup> 6	23/2 <sup>+</sup>		3980.9+x <sup>i</sup> 5	39/2 <sup>+</sup>
2155.6+x <sup>q</sup> 6	23/2 <sup>-</sup>		4009.9+x <sup>&amp;</sup> 4	41/2 <sup>-</sup>
2166.7+x <sup>c</sup> 4	25/2 <sup>+</sup>		4034.7+x <sup>d</sup> 8	39/2 <sup>+</sup>
2195.9+x <sup>a</sup> 4	27/2 <sup>-</sup>		4116.8+x <sup>o</sup> 6	39/2 <sup>-</sup>
2294.5+x <sup>h</sup> 5	25/2 <sup>+</sup>		4184.9+x <sup>q</sup> 8	39/2 <sup>-</sup>
2348.8+x <sup>e</sup> 5	25/2 <sup>+</sup>		4270.0+x <sup>j</sup> 5	41/2 <sup>+</sup>
2409.3+x <sup>r</sup> 7	25/2 <sup>+</sup>		4290.5+x <sup>c</sup> 6	41/2 <sup>+</sup>
2458.6+x <sup>b</sup> 4	27/2 <sup>+</sup>		4321.9+x <sup>a</sup> 4	43/2 <sup>-</sup>
2534.9+x <sup>&amp;</sup> 4	29/2 <sup>-</sup>		4347.3+x <sup>r</sup> 9	41/2 <sup>+</sup>
2538.6+x <sup>d</sup> 4	27/2 <sup>+</sup>		4374.0+x <sup>h</sup> 9	41/2 <sup>+</sup>
2545.0+x <sup>i</sup> 4	27/2 <sup>+</sup>		4403.4+x <sup>s</sup> 10	39/2 <sup>+</sup>
2564.3+x <sup>f</sup> 3	29/2 <sup>-</sup>		4453.4+x <sup>p</sup> 6	41/2 <sup>-</sup>
2585.7+x <sup>q</sup> 6	27/2 <sup>-</sup>		4490.6+x <sup>f</sup> 7	41/2 <sup>-</sup>
2612.3+x <sup>g</sup> 7	27/2 <sup>+</sup>		4575.0+x <sup>n</sup> 8	41/2 <sup>-</sup>
2730.3+x <sup>c</sup> 4	29/2 <sup>+</sup>		4579.4+x <sup>i</sup> 5	43/2 <sup>+</sup>
2753.6+x <sup>h</sup> 5	29/2 <sup>+</sup>		4613.9+x <sup>b</sup> 6	43/2 <sup>+</sup>
2765.2+x <sup>j</sup> 5	29/2 <sup>+</sup>		4644.9+x <sup>&amp;</sup> 4	45/2 <sup>-</sup>
2789.0+x <sup>a</sup> 4	31/2 <sup>-</sup>		4686.7+x <sup>d</sup> 8	43/2 <sup>+</sup>
2794.1+x <sup>r</sup> 6	29/2 <sup>+</sup>		4773.2+x <sup>o</sup> 7	43/2 <sup>-</sup>
2947.1+x <sup>o</sup> 5	31/2 <sup>-</sup>		4788.2+x <sup>t</sup> 14	41/2 <sup>+</sup>

Continued on next page (footnotes at end of table)



$^{139}\text{La}(^{30}\text{Si},4n\gamma)$  **2004Sc14,2003Sc02,2005An04 (continued)** $^{165}\text{Lu}$  Levels (continued)

E(level) <sup>†</sup>	J <sup>π</sup> <sup>‡</sup>	E(level) <sup>†</sup>	J <sup>π</sup> <sup>‡</sup>	E(level) <sup>†</sup>	J <sup>π</sup> <sup>‡</sup>
4800.2+x <sup>q</sup> 8	43/2 <sup>-</sup>	6886.5+x <sup>q</sup> 9	55/2 <sup>-</sup>	9133.5+x <sup>c</sup> 18	65/2 <sup>+</sup>
4888.7+x <sup>j</sup> 5	45/2 <sup>+</sup>	6904.3+x <sup>t</sup> 12	53/2 <sup>+</sup>	9155.7+x <sup>n</sup> 16	65/2 <sup>-</sup>
4960.5+x <sup>c</sup> 6	45/2 <sup>+</sup>	6907.6+x <sup>b</sup> 9	55/2 <sup>+</sup>	9160.9+x <sup>h</sup> 20	65/2 <sup>+</sup>
4988.6+x <sup>r</sup> 10	45/2 <sup>+</sup>	6947.1+x <sup>o</sup> 10	55/2 <sup>-</sup>	9198.6+x <sup>a</sup> 9	67/2 <sup>-</sup>
4996.1+x <sup>a</sup> 4	47/2 <sup>-</sup>	6982.1+x <sup>&amp;</sup> 6	57/2 <sup>-</sup>	9242.4+x <sup>f</sup> 20	65/2 <sup>-</sup>
5001.4+x <sup>s</sup> 10	43/2 <sup>+</sup>	6994.7+x <sup>d</sup> 13	55/2 <sup>+</sup>	9265.0+x <sup>m</sup> 20	(65/2) <sup>-</sup>
5068.9+x <sup>h</sup> 10	45/2 <sup>+</sup>	6998.0+x <sup>j</sup> 7	57/2 <sup>+</sup>	9308.7+x <sup>i</sup> 10	67/2 <sup>+</sup>
5115.5+x <sup>p</sup> 7	45/2 <sup>-</sup>	7133.6+x <sup>s</sup> 12	55/2 <sup>+</sup>	9457.3+x <sup>t</sup> 19	65/2 <sup>+</sup>
5145.1+x <sup>f</sup> 9	45/2 <sup>-</sup>	7239.0+x <sup>r</sup> 12	57/2 <sup>+</sup>	9475.1+x <sup>q</sup> 15	67/2 <sup>-</sup>
5173.9+x <sup>n</sup> 8	45/2 <sup>-</sup>	7240.5+x <sup>l</sup> 10	57/2 <sup>+</sup>	9544.9+x <sup>k</sup> 14	67/2 <sup>+</sup>
5220.8+x <sup>i</sup> 6	47/2 <sup>+</sup>	7287.9+x <sup>p</sup> 10	57/2 <sup>-</sup>	9607.1+x <sup>b</sup> 17	67/2 <sup>+</sup>
5325.9+x <sup>b</sup> 7	47/2 <sup>+</sup>	7338.5+x <sup>c</sup> 14	57/2 <sup>+</sup>	9642.9+x <sup>o</sup> 17	67/2 <sup>-</sup>
5363.5+x <sup>&amp;</sup> 4	49/2 <sup>-</sup>	7354.6+x <sup>n</sup> 10	57/2 <sup>-</sup>	9671.7+x <sup>d</sup> 19	67/2 <sup>+</sup>
5393.7+x <sup>8</sup>	47/2 <sup>+</sup>	7383.2+x <sup>a</sup> 6	59/2 <sup>-</sup>	9742.6+x <sup>j</sup> 10	69/2 <sup>+</sup>
5435.6+x <sup>d</sup> 10	47/2 <sup>+</sup>	7418.3+x <sup>h</sup> 16	57/2 <sup>+</sup>	9752.2+x <sup>s</sup> 19	67/2 <sup>+</sup>
5446.5+x <sup>q</sup> 8	47/2 <sup>-</sup>	7431.2+x <sup>f</sup> 17	57/2 <sup>-</sup>	9780.9+x <sup>&amp;</sup> 10	69/2 <sup>-</sup>
5449.5+x <sup>t</sup> 12	45/2 <sup>+</sup>	7439.2+x <sup>i</sup> 8	59/2 <sup>+</sup>	9966.5+x <sup>r</sup> 19	69/2 <sup>+</sup>
5475.5+x <sup>o</sup> 7	47/2 <sup>-</sup>	7467.0+x <sup>m</sup> 17	(57/2) <sup>-</sup>	9991.0+x <sup>p</sup> 14	69/2 <sup>-</sup>
5539.6+x <sup>j</sup> 6	49/2 <sup>+</sup>	7677.9+x <sup>k</sup> 10	59/2 <sup>+</sup>	10072.5+x <sup>l</sup> 16	69/2 <sup>+</sup>
5656.5+x <sup>s</sup> 11	47/2 <sup>+</sup>	7693.8+x <sup>q</sup> 10	59/2 <sup>-</sup>	10107.5+x <sup>c</sup> 20	69/2 <sup>+</sup>
5685.4+x <sup>r</sup> 10	49/2 <sup>+</sup>	7703.0+x <sup>t</sup> 15	57/2 <sup>+</sup>	10129.2+x <sup>n</sup> 18	69/2 <sup>-</sup>
5695.5+x <sup>c</sup> 8	49/2 <sup>+</sup>	7760.3+x <sup>b</sup> 12	59/2 <sup>+</sup>	10175.0+x <sup>a</sup> 10	71/2 <sup>-</sup>
5740.2+x <sup>a</sup> 5	51/2 <sup>-</sup>	7788.4+x <sup>o</sup> 13	59/2 <sup>-</sup>	10207.5+x <sup>f</sup> 22	69/2 <sup>-</sup>
5786.3+x <sup>p</sup> 8	49/2 <sup>-</sup>	7837.5+x <sup>j</sup> 7	61/2 <sup>+</sup>	10367.1+x <sup>i</sup> 11	71/2 <sup>+</sup>
5823.9+x <sup>h</sup> 11	49/2 <sup>+</sup>	7841.7+x <sup>d</sup> 15	59/2 <sup>+</sup>	10414.8+x <sup>t</sup> 20	69/2 <sup>+</sup>
5825.1+x <sup>n</sup> 8	49/2 <sup>-</sup>	7863.9+x <sup>&amp;</sup> 7	61/2 <sup>-</sup>	10449.0+x <sup>q</sup> 17	71/2 <sup>-</sup>
5845.1+x <sup>f</sup> 12	49/2 <sup>-</sup>	7953.5+x <sup>s</sup> 15	59/2 <sup>+</sup>	10546.9+x <sup>k</sup> 17	71/2 <sup>+</sup>
5860.9+x <sup>m</sup> 12	(49/2) <sup>-</sup>	8094.7+x <sup>r</sup> 15	61/2 <sup>+</sup>	10594.0+x <sup>b</sup> 19	71/2 <sup>+</sup>
5899.8+x <sup>i</sup> 6	51/2 <sup>+</sup>	8114.5+x <sup>l</sup> 11	61/2 <sup>+</sup>	10644.8+x <sup>o</sup> 19	71/2 <sup>-</sup>
6080.9+x <sup>k</sup> 7	51/2 <sup>+</sup>	8127.8+x <sup>p</sup> 10	61/2 <sup>-</sup>	10646.7+x <sup>d</sup> 21	71/2 <sup>+</sup>
6101.7+x <sup>b</sup> 8	51/2 <sup>+</sup>	8212.5+x <sup>c</sup> 16	61/2 <sup>+</sup>	10733.3+x <sup>s</sup> 20	71/2 <sup>+</sup>
6137.9+x <sup>q</sup> 9	51/2 <sup>-</sup>	8226.8+x <sup>n</sup> 13	61/2 <sup>-</sup>	10793.7+x <sup>j</sup> 13	73/2 <sup>+</sup>
6146.7+x <sup>&amp;</sup> 5	53/2 <sup>-</sup>	8258.1+x <sup>h</sup> 18	61/2 <sup>+</sup>	10826.9+x <sup>&amp;</sup> 13	73/2 <sup>-</sup>
6155.5+x <sup>t</sup> 11	49/2 <sup>+</sup>	8269.2+x <sup>a</sup> 7	63/2 <sup>-</sup>	10985.9+x <sup>r</sup> 20	73/2 <sup>+</sup>
6178.5+x <sup>o</sup> 8	51/2 <sup>-</sup>	8312.2+x <sup>f</sup> 18	61/2 <sup>-</sup>	11017.3+x <sup>p</sup> 16	73/2 <sup>-</sup>
6188.7+x <sup>d</sup> 10	51/2 <sup>+</sup>	8330.8+x <sup>i</sup> 9	63/2 <sup>+</sup>	11142.0+x <sup>n</sup> 19	73/2 <sup>-</sup>
6236.3+x <sup>j</sup> 6	53/2 <sup>+</sup>	8336.7+x <sup>m</sup> 18	(61/2) <sup>-</sup>	11193.9+x <sup>f</sup> 23	73/2 <sup>-</sup>
6367.9+x <sup>s</sup> 11	51/2 <sup>+</sup>	8552.6+x <sup>t</sup> 17	61/2 <sup>+</sup>	11201.6+x <sup>a</sup> 11	75/2 <sup>-</sup>
6435.7+x <sup>r</sup> 11	53/2 <sup>+</sup>	8556.9+x <sup>q</sup> 13	63/2 <sup>-</sup>	11425.9+x <sup>t</sup> 22	73/2 <sup>+</sup>
6448.5+x <sup>l</sup> 8	53/2 <sup>+</sup>	8584.9+x <sup>k</sup> 12	63/2 <sup>+</sup>	11477.1+x <sup>q</sup> 19	75/2 <sup>-</sup>
6507.5+x <sup>p</sup> 9	53/2 <sup>-</sup>	8660.4+x <sup>b</sup> 15	63/2 <sup>+</sup>	11496.8+x <sup>i</sup> 14	75/2 <sup>+</sup>
6511.5+x <sup>c</sup> 11	53/2 <sup>+</sup>	8691.6+x <sup>o</sup> 15	63/2 <sup>-</sup>	11582.9+x <sup>k</sup> 18	75/2 <sup>+</sup>
6538.8+x <sup>a</sup> 5	55/2 <sup>-</sup>	8733.7+x <sup>d</sup> 17	63/2 <sup>+</sup>	11612.3+x <sup>b</sup> 20	75/2 <sup>+</sup>
6552.2+x <sup>n</sup> 9	53/2 <sup>-</sup>	8754.6+x <sup>j</sup> 9	65/2 <sup>+</sup>	11656.7+x <sup>d</sup> 22	75/2 <sup>+</sup>
6608.6+x <sup>f</sup> 14	53/2 <sup>-</sup>	8794.9+x <sup>&amp;</sup> 9	65/2 <sup>-</sup>	11683.8+x <sup>o</sup> 20	75/2 <sup>-</sup>
6613.4+x <sup>h</sup> 14	53/2 <sup>+</sup>	8825.6+x <sup>s</sup> 17	63/2 <sup>+</sup>	11768.4+x <sup>s</sup> 22	75/2 <sup>+</sup>
6632.3+x <sup>i</sup> 7	55/2 <sup>+</sup>	9003.5+x <sup>r</sup> 17	65/2 <sup>+</sup>	11899.2+x <sup>j</sup> 15	77/2 <sup>+</sup>
6642.2+x <sup>m</sup> 14	(53/2) <sup>-</sup>	9027.9+x <sup>p</sup> 12	65/2 <sup>-</sup>	11935.8+x <sup>&amp;</sup> 15	77/2 <sup>-</sup>
6841.9+x <sup>k</sup> 9	55/2 <sup>+</sup>	9067.5+x <sup>l</sup> 14	65/2 <sup>+</sup>	12062.1+x <sup>r</sup> 22	77/2 <sup>+</sup>

Continued on next page (footnotes at end of table)

$^{139}\text{La}(^{30}\text{Si},4n\gamma)$  **2004Sc14,2003Sc02,2005An04 (continued)** $^{165}\text{Lu}$  Levels (continued)

E(level) <sup>†</sup>	J $\pi^{\ddagger}$	E(level) <sup>†</sup>	J $\pi^{\ddagger}$	E(level) <sup>†</sup>	J $\pi^{\ddagger}$
12105.3+x <sup>p</sup> 18	77/2 <sup>-</sup>	13592.5+x <sup>t</sup> 25	81/2 <sup>+</sup>	2049.0+y <sup>u</sup> 14	J+6
12189.8+x <sup>n</sup> 21	77/2 <sup>-</sup>	13686.4+x <sup>q</sup> 22	83/2 <sup>-</sup>	2847.3+y <sup>u</sup> 16	J+8
12215.6+x <sup>f</sup> 24	77/2 <sup>-</sup>	13715.0+x <sup>b</sup> 23	83/2 <sup>+</sup>	3703.3+y <sup>u</sup> 18	J+10
12277.6+x <sup>a</sup> 14	79/2 <sup>-</sup>	13829.7+x <sup>d</sup> 25	83/2 <sup>+</sup>	4618.9+y <sup>u</sup> 20	J+12
12485.0+x <sup>t</sup> 23	77/2 <sup>+</sup>	14009.0+x <sup>s</sup> 25	83/2 <sup>+</sup>	5594.2+y <sup>u</sup> 22	J+14
12558.7+x <sup>q</sup> 21	79/2 <sup>-</sup>	14199.8+x <sup>j</sup> 19	85/2 <sup>+</sup>	6631.2+y <sup>u</sup> 23	J+16
12643.9+x <sup>k</sup> 20	79/2 <sup>+</sup>	14384.9+x <sup>r</sup> 25	85/2 <sup>+</sup>	z <sup>v</sup>	J1
12649.9+x <sup>b</sup> 22	79/2 <sup>+</sup>	14558.1+x <sup>a</sup> 18	87/2 <sup>-</sup>	712.2+z <sup>v</sup> 8	J1+2
12678.8+x <sup>i</sup> 16	79/2 <sup>+</sup>	14848.9+x <sup>q</sup> 24	87/2 <sup>-</sup>	1482.4+z <sup>v</sup> 12	J1+4
12720.7+x <sup>d</sup> 24	79/2 <sup>+</sup>	15209+x <sup>s</sup> 3	87/2 <sup>+</sup>	2311.3+z <sup>v</sup> 14	J1+6
12858.0+x <sup>s</sup> 23	79/2 <sup>+</sup>	15624+x <sup>r</sup> 3	89/2 <sup>+</sup>	3197.1+z <sup>v</sup> 16	J1+8
13041.3+x <sup>j</sup> 17	81/2 <sup>+</sup>	15745.1+x <sup>a</sup> 20	91/2 <sup>-</sup>	4140.8+z <sup>v</sup> 18	J1+10
13102.3+x <sup>&amp;</sup> 17	81/2 <sup>-</sup>	16463+x <sup>s</sup> 3	(91/2 <sup>+</sup> )	5143.3+z <sup>v</sup> 20	J1+12
13195.6+x <sup>r</sup> 23	81/2 <sup>+</sup>	y <sup>u</sup>	J	6206.3+z <sup>v</sup> 22	J1+14
13245.0+x <sup>p</sup> 20	81/2 <sup>-</sup>	624.5+y <sup>u</sup> 8	J+2		
13399.3+x <sup>a</sup> 16	83/2 <sup>-</sup>	1308.3+y <sup>u</sup> 12	J+4		

<sup>†</sup> From least-squares fit to E $\gamma$ 's.<sup>‡</sup> As proposed by 2004Sc14 based on  $\gamma\gamma(\theta)$ (DCO) data for selected transitions and band assignments. The assignments are consistent with those in 'Adopted Levels', except that all are given in parentheses there due to lack of strong supporting arguments.

# From differential decay curve method In recoil-distance measurements (DDCM,2005An04).

@ x  $\approx$  20 keV; see 'Adopted Levels' for comments.& Band(A): 9/2[514],  $\alpha=+1/2$ . Changes to 9/2[514]⊗[AB] at  $\hbar\omega=0.25$  MeV and spin range of 29/2 to 31/2, and 9/2[514]⊗[ABCD] at higher frequencies.<sup>a</sup> Band(a): 9/2[514],  $\alpha=-1/2$ . See comment for the  $\alpha=+1/2$  signature partner of this band.<sup>b</sup> Band(B): 7/2[404],  $\alpha=-1/2$ . From low to high spins, configuration changes to 7/2[404]⊗[AB], then to 7/2[404]⊗[ABCD], and finally to 7/2[404]⊗[ABCDEF].<sup>c</sup> Band(b): 7/2[404],  $\alpha=+1/2$ . See comment for the  $\alpha=-1/2$  signature partner of this band.<sup>d</sup> Band(C): 1/2[411],  $\alpha=-1/2$ . At higher spins, configuration=1/2[411]⊗[AB], and then 1/2[411]⊗[ABCD].<sup>e</sup> Band(c): 1/2[411],  $\alpha=+1/2$ .<sup>f</sup> Band(D): 1/2[541],  $\alpha=+1/2$ . From low to high spins, configuration changes to 1/2[541]⊗[AB], then to 1/2[541]⊗[ABCD] and finally to 1/2[541]⊗[ABCDEF].<sup>g</sup> Band(E): 5/2[402],  $\alpha=-1/2$ .<sup>h</sup> Band(e): 5/2[402],  $\alpha=+1/2$ . From low to high spins, configuration changes to 5/2[402]⊗[AB], and then to 5/2[402]⊗[ABCD].<sup>i</sup> Band(F): 9/2[514]⊗[AE],  $\alpha=-1/2$ . At higher spins, the configuration changes to 9/2[514]⊗[AEBC]. The upbend at  $\hbar\omega\approx 0.56$  MeV near spin 59/2 may be due to the alignment of proton pair fg or gh, with the resulting configuration=9/2[514]⊗[AEBC(fg and/or gh)].<sup>j</sup> Band(f): 9/2[514]⊗[AE],  $\alpha=+1/2$ . See comment for  $\alpha=-1/2$  signature partner of this band.<sup>k</sup> Band(G): 9/2[514]⊗[AHBC],  $\alpha=-1/2$ . At higher frequencies, the configuration is probably 9/2[514]⊗[AHBCEF].<sup>l</sup> Band(g): 9/2[514]⊗[AHBC],  $\alpha=+1/2$ . See comment for the  $\alpha=-1/2$  signature partner of this band.<sup>m</sup> Band(H): band #1,  $\alpha=+1/2$ . This band probably decays into the 1/2[541] band.<sup>n</sup> Band(I): Band #2,  $\alpha=+1/2$ . See comment for band #3. Configuration for band #2 changes from 7/2[4040]⊗[AE] at high spins to 9/2[514]⊗[BC] at low spins.<sup>o</sup> Band(i): Band #3,  $\alpha=-1/2$ . Bands #2 to #5 form pairs of signature partners above spin 45/2. At lower spins, the bands seem to form different pairs, where band #4 interchanges character with band #2 and band #3 and band #4 seem to be signature partners. From low to high spins, configuration for band #3 is 9/2[514], 9/2[514]⊗[BC], and finally to 9/2[514]⊗[BCEF].

Continued on next page (footnotes at end of table)

$^{139}\text{La}(^{30}\text{Si},4n\gamma)$  **2004Sc14,2003Sc02,2005An04 (continued)** $^{165}\text{Lu}$  Levels (continued)

- <sup>p</sup> Band(J): Band #4,  $\alpha=+1/2$ . See comment for band #3. Configuration for band #4 changes from  $9/2[514]\otimes[\text{BC}]$  at high spins to  $7/2[404]\otimes[\text{AE}]$  at low spins.
- <sup>q</sup> Band(j): band #5,  $\alpha=-1/2$ . See comment for band #3. The configuration changes from unfavored  $1/2[541]$  or from  $7/2[404]+\text{octupole vibration}$  at low spin to  $7/2[404]\otimes[\text{AE}]$  at high spins.
- <sup>r</sup> Band(K): Zero-phonon wobbling-mode (Triaxial) SD-1 band (2004Sc14,2003Sc02,1995Sc39).  $Q(\text{transition})=6.0+12-2, 6.4+19-7$  (2002Sc47).  $1/2[660]$  band,  $\alpha=+1/2$ . Percent feeding=1.3 (2003Sc02).
- <sup>s</sup> Band(L): One-phonon wobbling mode (Triaxial) SD-2 band (2004Sc14,2003Sc02). Percent feeding=0.4.
- <sup>t</sup> Band(M): Two-phonon wobbling mode (Triaxial) SD-3 band (2004Sc14,2003Sc02). Percent feeding=0.1.
- <sup>u</sup> Band(N): Triaxial SD-4 band (2004Sc14).
- <sup>v</sup> Band(O): Triaxial SD-5 band (2004Sc14).

 $\gamma(^{165}\text{Lu})$ 

R(DCO) are for  $25^\circ$  and  $90^\circ$ . The DCO ratios correspond to gates on  $\Delta J=2$ , quadrupole transitions. The ratio of 1 implies  $\Delta J=2$ , quadrupole (most likely E2) and  $\text{DCO}\approx 0.5$  implies  $\Delta J=1$ , dipole transition.

$E_\gamma$ <sup>†</sup> #	$I_\gamma$ <sup>‡</sup>	$E_i(\text{level})$	$J_i^\pi$	$E_f$	$J_f^\pi$	Mult. <sup>&amp;</sup>	Comments
48.0		195.39+x	$7/2^+$	147.7+x	$5/2^+$		
93.6 1		234.9+x	$9/2^-$	141.4+x	$7/2^+$		
100.6 3	12 2	335.5+x	$11/2^-$	234.9+x	$9/2^-$	D	DCO=0.48 6
121.1 8	1.2 4	466.48+x	$9/2^-$	345.5+x	$5/2^-$		
136.1 5	5.8 14	141.4+x	$7/2^+$	5.4+x	$5/2^+$	D	DCO=0.46 5
147.7 5	5.8 14	147.7+x	$5/2^+$	0.0+x	$3/2^+$	D	DCO=0.52 6
152.7 8	1.2 4	335.5+x	$11/2^-$	182.4+x	$9/2^+$	D	DCO=0.5 1
159.2 1	57 5	182.4+x	$9/2^+$	23.4+x	$7/2^+$	D	DCO=0.64 7
159.4 1	88 7	494.7+x	$13/2^-$	335.5+x	$11/2^-$	D	DCO=0.55 6
164.3 3	11.1 17	305.6+x	$9/2^+$	141.4+x	$7/2^+$	D	DCO=0.57 6
168.2 1	77 6	662.7+x	$15/2^-$	494.7+x	$13/2^-$	D	DCO=0.58 6
175.1 5	4.9 12	694.77+x	$13/2^-$	519.60+x	$11/2^+$	D	DCO=0.4 1
180.2 1	108 9	234.9+x	$9/2^-$	54.7+x	$(7/2^-)$	D	DCO=0.60 6
184.3 1	28.4 23	366.6+x	$11/2^+$	182.4+x	$9/2^+$	D	DCO=0.61 7
191.6 8	2.4 7	711.4+x	$13/2^+$	519.60+x	$11/2^+$		
193.8 3	15.7 24	499.3+x	$11/2^+$	305.6+x	$9/2^+$	D	DCO=0.56 5
195.4 1	63 5	195.39+x	$7/2^+$	0.0+x	$3/2^+$	(E2)	DCO=0.65 7
203.1 5	5.2 13	2968.4+x	$31/2^+$	2765.2+x	$29/2^+$	D	DCO=0.60 7
206.4 1	72 6	1099.5+x	$19/2^-$	893.3+x	$17/2^-$	D	DCO=0.68 6
207.6 1	23.0 18	574.2+x	$13/2^+$	366.6+x	$11/2^+$	D	DCO=0.73 9
209.7 1	64 5	3248.2+x	$35/2^-$	3038.6+x	$33/2^-$	D	DCO=0.60 7
211.5 1	119 10	234.9+x	$9/2^-$	23.4+x	$7/2^+$	D	DCO=0.60 6
212.2 3	10.4 16	711.4+x	$13/2^+$	499.3+x	$11/2^+$	D	DCO=0.46 6
214.1 5	3.8 10	519.60+x	$11/2^+$	305.6+x	$9/2^+$		
214.1 8	1.2 4	3417.3+x	$35/2^+$	3201.1+x	$33/2^+$	D	
220.2 8	1.5 4	2765.2+x	$29/2^+$	2545.0+x	$27/2^+$		
224.3 <sup>@</sup> 5	8.4 21	3180.4+x	$33/2^+$	2956.8+x	$31/2^+$		
226.5 3	14.2 21	2956.8+x	$31/2^+$	2730.3+x	$29/2^+$	D	DCO=0.64 8
226.8 1	59 5	3474.9+x	$37/2^-$	3248.2+x	$35/2^-$	D	DCO=0.56 6
228.2 3	14.6 22	802.2+x	$15/2^+$	574.2+x	$13/2^+$	D	DCO=0.80 11
228.3 1	28.8 23	694.77+x	$13/2^-$	466.48+x	$9/2^-$		DCO=0.64 6
230.7 1	86 7	893.3+x	$17/2^-$	662.7+x	$15/2^-$	D	DCO=0.61 7
231.9 5	6.5 16	943.4+x	$15/2^+$	711.4+x	$13/2^+$	D	DCO=0.70 6
232.1 1	43 3	1618.3+x	$23/2^-$	1386.4+x	$21/2^-$	D	DCO=0.71 8
235.6 3	11.8 18	3436.6+x	$35/2^+$	3201.1+x	$33/2^+$	D	DCO=0.49 7
237.2 3	10.7 16	3417.3+x	$35/2^+$	3180.4+x	$33/2^+$	D	DCO=0.53 8

Continued on next page (footnotes at end of table)

$^{139}\text{La}(^{30}\text{Si},4n\gamma)$  **2004Sc14,2003Sc02,2005An04 (continued)** $\gamma(^{165}\text{Lu})$  (continued)

$E_\gamma$ <sup>†</sup> #	$I_\gamma$ <sup>‡</sup>	$E_i(\text{level})$	$J_i^\pi$	$E_f$	$J_f^\pi$	Mult. <sup>&amp;</sup>	Comments
237.4 5	4.9 12	432.7+x	9/2 <sup>+</sup>	195.39+x	7/2 <sup>+</sup>	D	DCO=0.63 6
241.8 5	6.6 16	1197.5+x	17/2 <sup>+</sup>	955.5+x	15/2 <sup>+</sup>	D	DCO=0.58 6
244.1 5	8.2 20	3201.1+x	33/2 <sup>+</sup>	2956.8+x	31/2 <sup>+</sup>	D	DCO=0.48 7
244.3 5	7.7 19	955.5+x	15/2 <sup>+</sup>	711.4+x	13/2 <sup>+</sup>		
246.3 8	1.3 4	2294.5+x	25/2 <sup>+</sup>	2048.3+x	23/2 <sup>+</sup>		
246.7 3	10.8 16	1048.9+x	17/2 <sup>+</sup>	802.2+x	15/2 <sup>+</sup>	D	DCO=0.72 9
249.7 1	50 4	3038.6+x	33/2 <sup>-</sup>	2789.0+x	31/2 <sup>-</sup>	D	DCO=0.56 6
251.0 1	27.9 22	2195.9+x	27/2 <sup>-</sup>	1945.0+x	25/2 <sup>-</sup>	D	DCO=0.64 6
254.1 1	27.2 22	2789.0+x	31/2 <sup>-</sup>	2534.9+x	29/2 <sup>-</sup>	D	DCO=0.60 6
259.8 @ 1	65 5	494.7+x	13/2 <sup>-</sup>	234.9+x	9/2 <sup>-</sup>		
260.0 @ 1	43 3	3734.9+x	39/2 <sup>-</sup>	3474.9+x	37/2 <sup>-</sup>		
262.0 5	9.1 23	1310.6+x	19/2 <sup>+</sup>	1048.9+x	17/2 <sup>+</sup>	D	DCO=0.65 7
262.0 5	5.9 15	1740.2+x	21/2 <sup>+</sup>	1478.6+x	19/2 <sup>+</sup>	Q	DCO=0.54 6
262.6 5	5.2 13	3484.8+x	35/2 <sup>-</sup>	3222.2+x	33/2 <sup>-</sup>		
265.3 5	8.7 22	3682.5+x	37/2 <sup>+</sup>	3417.3+x	35/2 <sup>+</sup>	D	DCO=0.50 9
268.6 5	6.2 16	3705.4+x	37/2 <sup>+</sup>	3436.6+x	35/2 <sup>+</sup>	D	DCO=0.47 6
269.4 8	1.7 5	2999.7+x	31/2 <sup>+</sup>	2730.3+x	29/2 <sup>+</sup>	D	DCO=0.6 1
271.1 1	27.9 22	466.48+x	9/2 <sup>-</sup>	195.39+x	7/2 <sup>+</sup>	D	DCO=0.59 6
271.4 3	13.1 20	2730.3+x	29/2 <sup>+</sup>	2458.6+x	27/2 <sup>+</sup>	D	DCO=0.48 7
275.0 8	1.1 3	3222.2+x	33/2 <sup>-</sup>	2947.1+x	31/2 <sup>-</sup>	D	DCO=0.62 9
275.0 1	34 3	4009.9+x	41/2 <sup>-</sup>	3734.9+x	39/2 <sup>-</sup>	D	DCO=0.61 7
275.2 5	3.5 9	3980.9+x	39/2 <sup>+</sup>	3705.4+x	37/2 <sup>+</sup>	D	DCO=0.51 7
276.5 3	13.4 20	1587.0+x	21/2 <sup>+</sup>	1310.6+x	19/2 <sup>+</sup>	D	DCO=0.50 7
281.1 5	3.5 9	1478.6+x	19/2 <sup>+</sup>	1197.5+x	17/2 <sup>+</sup>		
284.5 5	5.6 14	1871.6+x	23/2 <sup>+</sup>	1587.0+x	21/2 <sup>+</sup>	D	DCO=0.64 8
285.0 5	6.0 15	432.7+x	9/2 <sup>+</sup>	147.7+x	5/2 <sup>+</sup>	Q	DCO=0.80 7
287.0 1	62 5	1386.4+x	21/2 <sup>-</sup>	1099.5+x	19/2 <sup>-</sup>	D	DCO=0.67 7
287.6 5	5.1 13	3970.2+x	39/2 <sup>+</sup>	3682.5+x	37/2 <sup>+</sup>	D	DCO=0.58 7
288.8 5	6.0 15	4270.0+x	41/2 <sup>+</sup>	3980.9+x	39/2 <sup>+</sup>	D	DCO=0.72 1
291.8 5	6.6 16	2458.6+x	27/2 <sup>+</sup>	2166.7+x	25/2 <sup>+</sup>	D	DCO=0.75 12
292.9 8	2.6 8	4116.8+x	39/2 <sup>-</sup>	3823.8+x	37/2 <sup>-</sup>	D	DCO=0.67 9
295.0 5	9.6 24	2166.7+x	25/2 <sup>+</sup>	1871.6+x	23/2 <sup>+</sup>	D	DCO=0.65 9
299.8 5	5.4 14	4270.0+x	41/2 <sup>+</sup>	3970.2+x	39/2 <sup>+</sup>	D	DCO=0.58 7
300.1 5	3.4 8	305.6+x	9/2 <sup>+</sup>	5.4+x	5/2 <sup>+</sup>	Q	DCO=0.85 14
301.1 8	1.2 4	3248.2+x	35/2 <sup>-</sup>	2947.1+x	31/2 <sup>-</sup>	Q	
301.5 5	4.4 11	821.2+x	13/2 <sup>+</sup>	519.60+x	11/2 <sup>+</sup>	D	DCO=0.48 6
308.2 8	2.5 8	2048.3+x	23/2 <sup>+</sup>	1740.2+x	21/2 <sup>+</sup>		
309.1 5	7.5 19	4579.4+x	43/2 <sup>+</sup>	4270.0+x	41/2 <sup>+</sup>	D	DCO=0.64 8
309.4 8	2.2 7	4290.5+x	41/2 <sup>+</sup>	3980.9+x	39/2 <sup>+</sup>		
309.4 3	12.6 19	4888.7+x	45/2 <sup>+</sup>	4579.4+x	43/2 <sup>+</sup>	D	DCO=0.64 8
312.0 1	27.3 22	4321.9+x	43/2 <sup>-</sup>	4009.9+x	41/2 <sup>-</sup>	D	DCO=0.56 6
317.7 8	2.5 8	2612.3+x	27/2 <sup>+</sup>	2294.5+x	25/2 <sup>+</sup>		
318.6 3	10.3 15	5539.6+x	49/2 <sup>+</sup>	5220.8+x	47/2 <sup>+</sup>	D	DCO=0.68 9
320.1 8	1.7 5	4773.2+x	43/2 <sup>-</sup>	4453.4+x	41/2 <sup>-</sup>	D	
322.7 1	22.2 18	4644.9+x	45/2 <sup>-</sup>	4321.9+x	43/2 <sup>-</sup>	D	DCO=0.69 8
324.2 1	29 2	519.60+x	11/2 <sup>+</sup>	195.39+x	7/2 <sup>+</sup>	E2	DCO=0.92 8
326.6 @ 1	43 3	1945.0+x	25/2 <sup>-</sup>	1618.3+x	23/2 <sup>-</sup>		
327.0 @ 1	57 5	662.7+x	15/2 <sup>-</sup>	335.5+x	11/2 <sup>-</sup>		
331.0 <sup>b</sup> 8	0.9 3	5446.5+x	47/2 <sup>-</sup>	5115.5+x	45/2 <sup>-</sup>		
331.9 3	10.8 16	5220.8+x	47/2 <sup>+</sup>	4888.7+x	45/2 <sup>+</sup>	D	DCO=0.56 8
335.4 1	37.9 30	1030.17+x	17/2 <sup>-</sup>	694.77+x	13/2 <sup>-</sup>	E2	DCO=0.80 6
336.0 5	7.9 20	6236.3+x	53/2 <sup>+</sup>	5899.8+x	51/2 <sup>+</sup>	D	DCO=0.56 7
336.6 8	1.7 5	4453.4+x	41/2 <sup>-</sup>	4116.8+x	39/2 <sup>-</sup>		
338.9 1	32 3	2534.9+x	29/2 <sup>-</sup>	2195.9+x	27/2 <sup>-</sup>	D	DCO=0.65 6

Continued on next page (footnotes at end of table)

$^{139}\text{La}(^{30}\text{Si},4n\gamma)$  2004Sc14,2003Sc02,2005An04 (continued) $\gamma(^{165}\text{Lu})$  (continued)

$E_\gamma$ <sup>†</sup> #	$I_\gamma$ <sup>‡</sup>	$E_i(\text{level})$	$J_i^\pi$	$E_f$	$J_f^\pi$	Mult. &	Comments
339.0 5	6.0 15	3823.8+x	37/2 <sup>-</sup>	3484.8+x	35/2 <sup>-</sup>	D	DCO=0.64 8
339.8 8	1.0 3	5786.3+x	49/2 <sup>-</sup>	5446.5+x	47/2 <sup>-</sup>		
343.0 1	34.3 27	366.6+x	11/2 <sup>+</sup>	23.4+x	7/2 <sup>+</sup>	E2	DCO=0.93 9
344.8 @ 5	3.8 10	711.4+x	13/2 <sup>+</sup>	366.6+x	11/2 <sup>+</sup>		
345.5 5	3.2 8	345.5+x	5/2 <sup>-</sup>	0.0+x	3/2 <sup>+</sup>		
346.6 8	2.8 8	4960.5+x	45/2 <sup>+</sup>	4613.9+x	43/2 <sup>+</sup>	D	
348.3 8	2.0 6	1292.1+x	17/2 <sup>+</sup>	943.4+x	15/2 <sup>+</sup>		
349.5 8	1.4 4	5825.1+x	49/2 <sup>-</sup>	5475.5+x	47/2 <sup>-</sup>		
351.2 3	13.7 21	4996.1+x	47/2 <sup>-</sup>	4644.9+x	45/2 <sup>-</sup>	D	DCO=0.55 6
351.5 8	1.3 4	6137.9+x	51/2 <sup>-</sup>	5786.3+x	49/2 <sup>-</sup>		
352.8 8	1.2 4	6178.5+x	51/2 <sup>-</sup>	5825.1+x	49/2 <sup>-</sup>		
357.6 5	4.9 12	499.3+x	11/2 <sup>+</sup>	141.4+x	7/2 <sup>+</sup>	Q	DCO=0.91 11
360.1 5	7.9 20	5899.8+x	51/2 <sup>+</sup>	5539.6+x	49/2 <sup>+</sup>	(D)	DCO=0.81 11
365.9 5	3.9 10	6998.0+x	57/2 <sup>+</sup>	6632.3+x	55/2 <sup>+</sup>	D	DCO=0.69 1
367.2 3	10.9 16	5363.5+x	49/2 <sup>-</sup>	4996.1+x	47/2 <sup>-</sup>	D	DCO=0.61 6
367.6 8	1.8 5	6448.5+x	53/2 <sup>+</sup>	6080.9+x	51/2 <sup>+</sup>		
369.4 8	1.7 5	6507.5+x	53/2 <sup>-</sup>	6137.9+x	51/2 <sup>-</sup>		
373.0 8	2.4 7	1818.6+x	21/2 <sup>+</sup>	1445.5+x	19/2 <sup>+</sup>		
373.5 8	0.5 2	6552.2+x	53/2 <sup>-</sup>	6178.5+x	51/2 <sup>-</sup>		
377.0 5	8.6 22	5740.2+x	51/2 <sup>-</sup>	5363.5+x	49/2 <sup>-</sup>	D	DCO=0.58 7
378.9 8	2.1 6	6886.5+x	55/2 <sup>-</sup>	6507.5+x	53/2 <sup>-</sup>		
384.8 8	2.0 6	2794.1+x	29/2 <sup>+</sup>	2409.3+x	25/2 <sup>+</sup>		
386.0 8	0.96 29	2155.6+x	23/2 <sup>-</sup>	1769.6+x	19/2 <sup>-</sup>	Q	DCO=1.20 15
388.5 3	12.3 18	821.2+x	13/2 <sup>+</sup>	432.7+x	9/2 <sup>+</sup>	Q	DCO=0.93 7
391.7 1	45 4	574.2+x	13/2 <sup>+</sup>	182.4+x	9/2 <sup>+</sup>	E2	DCO=0.89 9
391.8 5	5.1 13	6538.8+x	55/2 <sup>-</sup>	6146.7+x	53/2 <sup>-</sup>	D	DCO=0.72 9
393.4 8	0.9 3	6841.9+x	55/2 <sup>+</sup>	6448.5+x	53/2 <sup>+</sup>		
394.8 8	0.3 1	6947.1+x	55/2 <sup>-</sup>	6552.2+x	53/2 <sup>-</sup>		
395.8 5	6.4 16	6632.3+x	55/2 <sup>+</sup>	6236.3+x	53/2 <sup>+</sup>	D	DCO=0.62 8
398.6 1	60 5	893.3+x	17/2 <sup>-</sup>	494.7+x	13/2 <sup>-</sup>	E2	DCO=0.92 8
398.6 8	2.1 6	7240.5+x	57/2 <sup>+</sup>	6841.9+x	55/2 <sup>+</sup>		
398.6 5	4.5 11	7837.5+x	61/2 <sup>+</sup>	7439.2+x	59/2 <sup>+</sup>	D	DCO=0.55 8
401.2 5	3.9 10	7383.2+x	59/2 <sup>-</sup>	6982.1+x	57/2 <sup>-</sup>		
401.4 8	1.4 4	7287.9+x	57/2 <sup>-</sup>	6886.5+x	55/2 <sup>-</sup>		
404.8 @ 5	3.9 10	2753.6+x	29/2 <sup>+</sup>	2348.8+x	25/2 <sup>+</sup>		
405.0 5	3.2 8	8269.2+x	63/2 <sup>-</sup>	7863.9+x	61/2 <sup>-</sup>	D	DCO=0.65 7
405.6 5	7.3 18	711.4+x	13/2 <sup>+</sup>	305.6+x	9/2 <sup>+</sup>	Q	DCO=0.91 9
405.9 8	0.9 3	7693.8+x	59/2 <sup>-</sup>	7287.9+x	57/2 <sup>-</sup>		
406.0 5	7.8 20	6146.7+x	53/2 <sup>-</sup>	5740.2+x	51/2 <sup>-</sup>	D	DCO=0.65 8
407.5 <sup>b</sup> 8	0.3 1	7354.6+x	57/2 <sup>-</sup>	6947.1+x	55/2 <sup>-</sup>		
418.1 5	7.0 18	2956.8+x	31/2 <sup>+</sup>	2538.6+x	27/2 <sup>+</sup>	Q	DCO=1.01 11
418.3 8	2.9 9	2585.7+x	27/2 <sup>-</sup>	2166.7+x	25/2 <sup>+</sup>	D	DCO=0.50 8
423.4 5	5.8 14	2968.4+x	31/2 <sup>+</sup>	2545.0+x	27/2 <sup>+</sup>	Q	DCO=0.95 11
423.7 3	19.0 28	943.4+x	15/2 <sup>+</sup>	519.60+x	11/2 <sup>+</sup>	E2	DCO=1.06 9
429.7 5	3.2 8	2968.4+x	31/2 <sup>+</sup>	2538.6+x	27/2 <sup>+</sup>		
430.3 5	8.0 20	2585.7+x	27/2 <sup>-</sup>	2155.6+x	23/2 <sup>-</sup>	Q	DCO=1.04 9
431.1 <sup>b</sup> 8	2.8 8	3043.4+x	31/2 <sup>+</sup>	2612.3+x	27/2 <sup>+</sup>		
432.1 1	32.4 26	1462.25+x	21/2 <sup>-</sup>	1030.17+x	17/2 <sup>-</sup>	E2	DCO=1.00 6
434.0 8	0.6 2	8127.8+x	61/2 <sup>-</sup>	7693.8+x	59/2 <sup>-</sup>		
435.6 1	47.1 38	802.2+x	15/2 <sup>+</sup>	366.6+x	11/2 <sup>+</sup>	E2	DCO=0.95 9
435.7 @ 5	6.0 15	3201.1+x	33/2 <sup>+</sup>	2765.2+x	29/2 <sup>+</sup>		
436.3 5	3.5 9	955.5+x	15/2 <sup>+</sup>	519.60+x	11/2 <sup>+</sup>		
436.4 1	23.8 19	3474.9+x	37/2 <sup>-</sup>	3038.6+x	33/2 <sup>-</sup>	Q	DCO=0.94 9
436.6 1	97 8	1099.5+x	19/2 <sup>-</sup>	662.7+x	15/2 <sup>-</sup>	E2	DCO=0.94 7

Continued on next page (footnotes at end of table)

$^{139}\text{La}(^{30}\text{Si},4n\gamma)$  2004Sc14,2003Sc02,2005An04 (continued) $\gamma(^{165}\text{Lu})$  (continued)

$E_\gamma$ <sup>†</sup> #	$I_\gamma$ <sup>‡</sup>	$E_i(\text{level})$	$J_i^\pi$	$E_f$	$J_f^\pi$	Mult. &	Comments
436.6 8	0.6 2	8114.5+x	61/2 <sup>+</sup>	7677.9+x	59/2 <sup>+</sup>		
437.4 8	1.8 5	7677.9+x	59/2 <sup>+</sup>	7240.5+x	57/2 <sup>+</sup>		
442.0 8	1.5 4	7439.2+x	59/2 <sup>+</sup>	6998.0+x	57/2 <sup>+</sup>		
442.9 5	4.2 10	6982.1+x	57/2 <sup>-</sup>	6538.8+x	55/2 <sup>-</sup>	D	DCO=0.52 7
444.1 5	9.2 23	943.4+x	15/2 <sup>+</sup>	499.3+x	11/2 <sup>+</sup>	E2	DCO=1.31 21
445.3 5	3.5 9	2794.1+x	29/2 <sup>+</sup>	2348.8+x	25/2 <sup>+</sup>	Q	DCO=0.89 17
446.1 8	2.8 8	3240.1+x	33/2 <sup>+</sup>	2794.1+x	29/2 <sup>+</sup>	Q	DCO=0.89 17
448.6 8	0.3 1	1740.2+x	21/2 <sup>+</sup>	1292.1+x	17/2 <sup>+</sup>		
449.0 5	7.1 18	3417.3+x	35/2 <sup>+</sup>	2968.4+x	31/2 <sup>+</sup>	Q	DCO=1.02 9
450.1 5	7.0 18	3180.4+x	33/2 <sup>+</sup>	2730.3+x	29/2 <sup>+</sup>	Q	DCO=1.06 11
455.0 8	1.2 4	2999.7+x	31/2 <sup>+</sup>	2545.0+x	27/2 <sup>+</sup>	Q	DCO=1.15 21
455.9 5	7.5 19	955.5+x	15/2 <sup>+</sup>	499.3+x	11/2 <sup>+</sup>	Q	DCO=1.17 11
459.0 3	12.6 19	2753.6+x	29/2 <sup>+</sup>	2294.5+x	25/2 <sup>+</sup>	Q	DCO=1.01 9
459.1 1	28.1 22	3248.2+x	35/2 <sup>-</sup>	2789.0+x	31/2 <sup>-</sup>	Q	DCO=1.08 9
460.5 3	10.7 16	3417.3+x	35/2 <sup>+</sup>	2956.8+x	31/2 <sup>+</sup>	Q	DCO=0.89 11
461.0 8	1.9 6	2999.7+x	31/2 <sup>+</sup>	2538.6+x	27/2 <sup>+</sup>	Q	DCO=1.20 22
468.2 5	6.8 17	3436.6+x	35/2 <sup>+</sup>	2968.4+x	31/2 <sup>+</sup>	Q	DCO=0.89 11
470.4 8	0.46 14	8584.9+x	63/2 <sup>+</sup>	8114.5+x	61/2 <sup>+</sup>		
470.6 8	0.8 2	3201.1+x	33/2 <sup>+</sup>	2730.3+x	29/2 <sup>+</sup>	Q	DCO=0.90 18
470.9 5	9.9 25	1292.1+x	17/2 <sup>+</sup>	821.2+x	13/2 <sup>+</sup>	Q	DCO=1.04 8
471.0 5	6.8 17	3224.6+x	33/2 <sup>+</sup>	2753.6+x	29/2 <sup>+</sup>	Q	DCO=0.95 9
472.0 5	9.6 24	3471.7+x	35/2 <sup>+</sup>	2999.7+x	31/2 <sup>+</sup>	Q	DCO=1.12 11
474.7 1	51 4	1048.9+x	17/2 <sup>+</sup>	574.2+x	13/2 <sup>+</sup>	E2	DCO=1.01 9
475.0 8	2.6 8	2294.5+x	25/2 <sup>+</sup>	1818.6+x	21/2 <sup>+</sup>	Q	DCO=0.95 11
479.8 5	8.0 2	3436.6+x	35/2 <sup>+</sup>	2956.8+x	31/2 <sup>+</sup>	Q	DCO=1.05 11
481.5 5	5.4 14	3067.1+x	31/2 <sup>-</sup>	2585.7+x	27/2 <sup>-</sup>	Q	DCO=0.92 9
486.1 3	10.0 15	1197.5+x	17/2 <sup>+</sup>	711.4+x	13/2 <sup>+</sup>	Q	DCO=0.99 9
486.5 8	2.8 8	3240.1+x	33/2 <sup>+</sup>	2753.6+x	29/2 <sup>+</sup>	Q	DCO=0.85 15
486.6 1	22.7 18	3734.9+x	39/2 <sup>-</sup>	3248.2+x	35/2 <sup>-</sup>	Q	DCO=1.02 9
493.1 1	61 5	1386.4+x	21/2 <sup>-</sup>	893.3+x	17/2 <sup>-</sup>	E2	DCO=1.05 9
493.2 8	2.6 8	8330.8+x	63/2 <sup>+</sup>	7837.5+x	61/2 <sup>+</sup>		
498.3 5	6.7 17	2956.8+x	31/2 <sup>+</sup>	2458.6+x	27/2 <sup>+</sup>	Q	DCO=1.05 11
502.0 5	6.3 16	3682.5+x	37/2 <sup>+</sup>	3180.4+x	33/2 <sup>+</sup>	Q	DCO=1.02 11
502.1 1	30 2	1445.5+x	19/2 <sup>+</sup>	943.4+x	15/2 <sup>+</sup>	E2	DCO=1.23 13
503.7 1	40 3	3038.6+x	33/2 <sup>-</sup>	2534.9+x	29/2 <sup>-</sup>	Q	DCO=1.08 11
508.4 1	51 4	1310.6+x	19/2 <sup>+</sup>	802.2+x	15/2 <sup>+</sup>	Q	DCO=1.14 12
509.8 <sup>@</sup> 3	10.5 16	2968.4+x	31/2 <sup>+</sup>	2458.6+x	27/2 <sup>+</sup>		
516.4 1	28.9 23	1978.64+x	25/2 <sup>-</sup>	1462.25+x	21/2 <sup>-</sup>	Q	DCO=1.04 8
518.8 1	100 8	1618.3+x	23/2 <sup>-</sup>	1099.5+x	19/2 <sup>-</sup>	E2	DCO=1.06 8
523.5 5	9.0 22	1478.6+x	19/2 <sup>+</sup>	955.5+x	15/2 <sup>+</sup>	Q	DCO=0.78 11
525.1 5	4.6 12	3765.2+x	37/2 <sup>+</sup>	3240.1+x	33/2 <sup>+</sup>	Q	DCO=0.95 12
526.1 5	9.4 24	1818.6+x	21/2 <sup>+</sup>	1292.1+x	17/2 <sup>+</sup>	Q	DCO=1.10 8
530.1 5	5.7 14	3754.6+x	37/2 <sup>+</sup>	3224.6+x	33/2 <sup>+</sup>	Q	DCO=1.09 9
530.2 5	4.3 11	2348.8+x	25/2 <sup>+</sup>	1818.6+x	21/2 <sup>+</sup>	Q	DCO=1.05 11
535.1 5	5.5 14	3602.2+x	35/2 <sup>-</sup>	3067.1+x	31/2 <sup>-</sup>	Q	DCO=1.14 12
535.1 1	32 3	4009.9+x	41/2 <sup>-</sup>	3474.9+x	37/2 <sup>-</sup>	Q	DCO=1.04 9
537.6 8	2.4 7	3484.8+x	35/2 <sup>-</sup>	2947.1+x	31/2 <sup>-</sup>		
538.2 1	52 4	1587.0+x	21/2 <sup>+</sup>	1048.9+x	17/2 <sup>+</sup>	E2	DCO=1.03 9
538.9 8	0.58 17	4403.4+x	39/2 <sup>+</sup>	3864.5+x	35/2 <sup>+</sup>		
540.9 5	3.8 10	2999.7+x	31/2 <sup>+</sup>	2458.6+x	27/2 <sup>+</sup>	Q	DCO=1.05 11
542.6 3	10.8 16	1740.2+x	21/2 <sup>+</sup>	1197.5+x	17/2 <sup>+</sup>	Q	DCO=1.02 9
544.6 3	14 2	3980.9+x	39/2 <sup>+</sup>	3436.6+x	35/2 <sup>+</sup>	Q	DCO=1.20 11
544.7 1	30 2	1990.2+x	23/2 <sup>+</sup>	1445.5+x	19/2 <sup>+</sup>	Q	DCO=1.20 12
548.4 3	14.2 21	2538.6+x	27/2 <sup>+</sup>	1990.2+x	23/2 <sup>+</sup>	Q	DCO=1.05 12
552.9 3	10.0 15	3970.2+x	39/2 <sup>+</sup>	3417.3+x	35/2 <sup>+</sup>	Q	DCO=1.01 11

Continued on next page (footnotes at end of table)



$^{139}\text{La}(^{30}\text{Si},4n\gamma)$  **2004Sc14,2003Sc02,2005An04** (continued) $\gamma(^{165}\text{Lu})$  (continued)

$E_\gamma$ <sup>†</sup> #	$I_\gamma$ <sup>‡</sup>	$E_i(\text{level})$	$J_i^\pi$	$E_f$	$J_f^\pi$	Mult. &	Comments
554.6 5	9.7 24	2294.5+x	25/2 <sup>+</sup>	1740.2+x	21/2 <sup>+</sup>	Q	DCO=1.08 9
554.8 3	11.8 18	2545.0+x	27/2 <sup>+</sup>	1990.2+x	23/2 <sup>+</sup>	Q	DCO=1.04 9
558.5 1	57 5	1945.0+x	25/2 <sup>-</sup>	1386.4+x	21/2 <sup>-</sup>	Q	DCO=1.02 9
561.0 1	42 3	1871.6+x	23/2 <sup>+</sup>	1310.6+x	19/2 <sup>+</sup>	Q	DCO=0.98 9
562.5 @ 8	2.4 7	3980.9+x	39/2 <sup>+</sup>	3417.3+x	35/2 <sup>+</sup>		
563.0 5	8.8 22	4034.7+x	39/2 <sup>+</sup>	3471.7+x	35/2 <sup>+</sup>	Q	DCO=1.12 12
563.6 1	27.9 22	2730.3+x	29/2 <sup>+</sup>	2166.7+x	25/2 <sup>+</sup>	Q	DCO=1.04 9
564.0 5	4.8 12	2612.3+x	27/2 <sup>+</sup>	2048.3+x	23/2 <sup>+</sup>	Q	DCO=1.10 11
564.8 8	1.7 5	4270.0+x	41/2 <sup>+</sup>	3705.4+x	37/2 <sup>+</sup>		
568.9 5	4.6 12	2155.6+x	23/2 <sup>-</sup>	1587.0+x	21/2 <sup>+</sup>	D	DCO=0.59 7
569.7 5	8.0 2	2048.3+x	23/2 <sup>+</sup>	1478.6+x	19/2 <sup>+</sup>	Q	DCO=0.90 9
577.6 1	97 8	2195.9+x	27/2 <sup>-</sup>	1618.3+x	23/2 <sup>-</sup>	Q	DCO=1.06 9
579.7 1	53 4	2166.7+x	25/2 <sup>+</sup>	1587.0+x	21/2 <sup>+</sup>	Q	DCO=1.04 9
582.1 5	5.5 14	4347.3+x	41/2 <sup>+</sup>	3765.2+x	37/2 <sup>+</sup>	Q	DCO=0.89 12
582.7 5	4.5 11	4184.9+x	39/2 <sup>-</sup>	3602.2+x	35/2 <sup>-</sup>	Q	DCO=1.02 13
585.7 1	22.1 18	2564.3+x	29/2 <sup>-</sup>	1978.64+x	25/2 <sup>-</sup>	Q	DCO=1.17 9
586.8 1	22.1 18	4321.9+x	43/2 <sup>-</sup>	3734.9+x	39/2 <sup>-</sup>	Q	DCO=1.16 11
587.0 1	36.9 30	2458.6+x	27/2 <sup>+</sup>	1871.6+x	23/2 <sup>+</sup>	Q	DCO=1.10 9
587.5 @ 5	5.2 13	4270.0+x	41/2 <sup>+</sup>	3682.5+x	37/2 <sup>+</sup>		
589.8 1	56 4	2534.9+x	29/2 <sup>-</sup>	1945.0+x	25/2 <sup>-</sup>	Q	DCO=1.03 9
590.7 5	3.3 8	2409.3+x	25/2 <sup>+</sup>	1818.6+x	21/2 <sup>+</sup>	Q	DCO=1.20 15
592.7 8	1.4 4	4347.3+x	41/2 <sup>+</sup>	3754.6+x	37/2 <sup>+</sup>		
593.2 1	86 7	2789.0+x	31/2 <sup>-</sup>	2195.9+x	27/2 <sup>-</sup>	Q	DCO=0.90 9
598.0 8	1.0 3	5001.4+x	43/2 <sup>+</sup>	4403.4+x	39/2 <sup>+</sup>		
598.2 5	4.2 10	2765.2+x	29/2 <sup>+</sup>	2166.7+x	25/2 <sup>+</sup>	Q	DCO=0.97 11
598.5 3	13 2	4579.4+x	43/2 <sup>+</sup>	3980.9+x	39/2 <sup>+</sup>	Q	DCO=0.97 9
598.8 5	4.1 10	5173.9+x	45/2 <sup>-</sup>	4575.0+x	41/2 <sup>-</sup>		
601.6 5	6.0 15	3823.8+x	37/2 <sup>-</sup>	3222.2+x	33/2 <sup>-</sup>	Q	DCO=1.10 11
608.0 5	8.6 22	4290.5+x	41/2 <sup>+</sup>	3682.5+x	37/2 <sup>+</sup>	Q	DCO=0.89 11
608.8 5	7.3 18	2348.8+x	25/2 <sup>+</sup>	1740.2+x	21/2 <sup>+</sup>	Q	DCO=1.10 12
608.8 8	1.9 6	4374.0+x	41/2 <sup>+</sup>	3765.2+x	37/2 <sup>+</sup>		
609.3 5	6.3 16	4579.4+x	43/2 <sup>+</sup>	3970.2+x	39/2 <sup>+</sup>	Q	DCO=1.05 11
615.4 5	4.9 12	4800.2+x	43/2 <sup>-</sup>	4184.9+x	39/2 <sup>-</sup>	Q	DCO=1.25 15
618.5 3	12.5 19	4888.7+x	45/2 <sup>+</sup>	4270.0+x	41/2 <sup>+</sup>	Q	DCO=0.90 11
619.4 5	5.6 14	4374.0+x	41/2 <sup>+</sup>	3754.6+x	37/2 <sup>+</sup>	Q	DCO=0.91 9
624.4		3864.5+x	35/2 <sup>+</sup>	3240.1+x	33/2 <sup>+</sup>		
624.5 8	0.6 2	624.5+y	J+2	y	J		
625.0 8	1.1 3	5115.5+x	45/2 <sup>-</sup>	4490.6+x	41/2 <sup>-</sup>		
628.8 8	2.5 8	3823.8+x	37/2 <sup>-</sup>	3195.2+x	33/2 <sup>-</sup>	Q	DCO=0.98 11
629.6 5	6.2 16	4453.4+x	41/2 <sup>-</sup>	3823.8+x	37/2 <sup>-</sup>	Q	DCO=0.96 11
630.9 3	13.2 20	3195.2+x	33/2 <sup>-</sup>	2564.3+x	29/2 <sup>-</sup>	Q	DCO=1.14 9
632.0 5	5.0 12	4116.8+x	39/2 <sup>-</sup>	3484.8+x	35/2 <sup>-</sup>	Q	DCO=1.00 9
635.2 1	26.3 21	4644.9+x	45/2 <sup>-</sup>	4009.9+x	41/2 <sup>-</sup>	Q	DCO=1.06 9
637.1 5	5.3 13	4490.6+x	41/2 <sup>-</sup>	3853.5+x	37/2 <sup>-</sup>	Q	DCO=1.10 12
638.2 8	0.24 7	4403.4+x	39/2 <sup>+</sup>	3765.2+x	37/2 <sup>+</sup>		
641.3 5	7.3 18	4988.6+x	45/2 <sup>+</sup>	4347.3+x	41/2 <sup>+</sup>	Q	DCO=1.00 9
641.4 3	12.3 18	5220.8+x	47/2 <sup>+</sup>	4579.4+x	43/2 <sup>+</sup>	Q	DCO=1.06 9
643.7 3	10.4 16	4613.9+x	43/2 <sup>+</sup>	3970.2+x	39/2 <sup>+</sup>	Q	DCO=1.13 12
646.3 5	3.6 9	5446.5+x	47/2 <sup>-</sup>	4800.2+x	43/2 <sup>-</sup>	Q	DCO=1.19 16
651.1 3	12.2 18	5539.6+x	49/2 <sup>+</sup>	4888.7+x	45/2 <sup>+</sup>	Q	DCO=1.16 12
651.2 5	3.3 8	5825.1+x	49/2 <sup>-</sup>	5173.9+x	45/2 <sup>-</sup>		
652.0 5	8.4 21	4686.7+x	43/2 <sup>+</sup>	4034.7+x	39/2 <sup>+</sup>	Q	DCO=1.02 11
654.1 8	0.27 8	5001.4+x	43/2 <sup>+</sup>	4347.3+x	41/2 <sup>+</sup>		
654.5 5	3.1 8	5145.1+x	45/2 <sup>-</sup>	4490.6+x	41/2 <sup>-</sup>	Q	DCO=0.93 12
655.1 8	2.7 8	5656.5+x	47/2 <sup>+</sup>	5001.4+x	43/2 <sup>+</sup>		

Continued on next page (footnotes at end of table)

$^{139}\text{La}(^{30}\text{Si},4n\gamma)$  **2004Sc14,2003Sc02,2005An04 (continued)** $\gamma(^{165}\text{Lu})$  (continued)

$E_\gamma$ <sup>†</sup> #	$I_\gamma$ <sup>‡</sup>	$E_i(\text{level})$	$J_i^\pi$	$E_f$	$J_f^\pi$	Mult. &	$\delta$	Comments
656.3 5	4.5 11	4773.2+x	43/2 <sup>-</sup>	4116.8+x	39/2 <sup>-</sup>	Q		DCO=0.90 10
658.1 8	2.5 8	3222.2+x	33/2 <sup>-</sup>	2564.3+x	29/2 <sup>-</sup>			
658.4 5	8.9 22	3853.5+x	37/2 <sup>-</sup>	3195.2+x	33/2 <sup>-</sup>	Q		DCO=1.05 10
661.3 8	1.5 4	5449.5+x	45/2 <sup>+</sup>	4788.2+x	41/2 <sup>+</sup>			
662.0 5	3.0 8	5115.5+x	45/2 <sup>-</sup>	4453.4+x	41/2 <sup>-</sup>	Q		DCO=0.92 12
667.9 8	0.74 22	5656.5+x	47/2 <sup>+</sup>	4988.6+x	45/2 <sup>+</sup>	(E2+M1) <sup>a</sup>	+3.1 <sup>a</sup> 4	DCO=0.37 14
670.0 5	4.7 12	4960.5+x	45/2 <sup>+</sup>	4290.5+x	41/2 <sup>+</sup>	Q		DCO=1.20 15
670.8 8	2.6 8	5786.3+x	49/2 <sup>-</sup>	5115.5+x	45/2 <sup>-</sup>	Q		DCO=0.94 12
674.1 1	20.3 16	4996.1+x	47/2 <sup>-</sup>	4321.9+x	43/2 <sup>-</sup>	Q		DCO=1.02 9
679.2 5	8.6 22	5899.8+x	51/2 <sup>+</sup>	5220.8+x	47/2 <sup>+</sup>	Q		DCO=0.92 9
682.5 8	0.52 16	6367.9+x	51/2 <sup>+</sup>	5685.4+x	49/2 <sup>+</sup>	(E2+M1) <sup>a</sup>	+3.1 <sup>a</sup> 4	DCO=0.38 13 (2003Sc02)
683.8 8	1.0 3	1308.3+y	J+4	624.5+y	J+2			
687.2 8	1.6 5	6080.9+x	51/2 <sup>+</sup>	5393.7+x	47/2 <sup>+</sup>			
687.3 5	5.2 13	3222.2+x	33/2 <sup>-</sup>	2534.9+x	29/2 <sup>-</sup>	Q		DCO=1.13 12
690.5 8	2.0 6	4960.5+x	45/2 <sup>+</sup>	4270.0+x	41/2 <sup>+</sup>			
691.4 5	4.0 1	6137.9+x	51/2 <sup>-</sup>	5446.5+x	47/2 <sup>-</sup>	Q		DCO=1.25 16
694.8 5	3.3 8	5068.9+x	45/2 <sup>+</sup>	4374.0+x	41/2 <sup>+</sup>	Q		DCO=0.89 9
695.7 3	12.2 18	3484.8+x	35/2 <sup>-</sup>	2789.0+x	31/2 <sup>-</sup>	Q		DCO=1.05 9
696.7 3	10.9 16	6236.3+x	53/2 <sup>+</sup>	5539.6+x	49/2 <sup>+</sup>	Q		DCO=1.21 15
696.8 5	4.9 12	5685.4+x	49/2 <sup>+</sup>	4988.6+x	45/2 <sup>+</sup>	Q		DCO=1.20 14
697.9 8	0.36 11	7133.6+x	55/2 <sup>+</sup>	6435.7+x	53/2 <sup>+</sup>			
700.0 8	2.6 8	5845.1+x	49/2 <sup>-</sup>	5145.1+x	45/2 <sup>-</sup>	Q		DCO=0.90 11
702.31 5	4.2 10	5475.5+x	47/2 <sup>-</sup>	4773.2+x	43/2 <sup>-</sup>	Q		DCO=0.94 11
703.0 5	4.2 10	6178.5+x	51/2 <sup>-</sup>	5475.5+x	47/2 <sup>-</sup>	Q		DCO=0.94 11
706.0 8	1.6 5	6155.5+x	49/2 <sup>+</sup>	5449.5+x	45/2 <sup>+</sup>			
707.0 5	5.1 13	5393.7+x	47/2 <sup>+</sup>	4686.7+x	43/2 <sup>+</sup>	Q		DCO=0.98 9
708.1 8	0.6 2	6101.7+x	51/2 <sup>+</sup>	5393.7+x	47/2 <sup>+</sup>			
711.4 8	2.6 8	6367.9+x	51/2 <sup>+</sup>	5656.5+x	47/2 <sup>+</sup>	Q		DCO=1.00 9
712.0 5	7.2 18	5325.9+x	47/2 <sup>+</sup>	4613.9+x	43/2 <sup>+</sup>	Q		DCO=1.09 11
712.2 8	0.5 2	712.2+z	J1+2	z	J1			
715.8 <sup>b</sup> 8	1.4 4	5860.9+x	(49/2) <sup>-</sup>	5145.1+x	45/2 <sup>-</sup>			
718.7 1	23.8 19	5363.5+x	49/2 <sup>-</sup>	4644.9+x	45/2 <sup>-</sup>	Q		DCO=1.00 11
720.7 8	0.5 2	1769.6+x	19/2 <sup>-</sup>	1048.9+x	17/2 <sup>+</sup>	D		DCO=0.63 9
721.2 5	3.9 10	6507.5+x	53/2 <sup>-</sup>	5786.3+x	49/2 <sup>-</sup>	Q		DCO=1.06 12
727.3 8	2.1 6	6552.2+x	53/2 <sup>-</sup>	5825.1+x	49/2 <sup>-</sup>			
732.9 5	6.8 17	6632.3+x	55/2 <sup>+</sup>	5899.8+x	51/2 <sup>+</sup>	Q		DCO=1.25 12
735.0 5	4.1 10	5695.5+x	49/2 <sup>+</sup>	4960.5+x	45/2 <sup>+</sup>	Q		DCO=0.98 15
740.7 8	0.9 3	2049.0+y	J+6	1308.3+y	J+4			
743.9 3	17.0 26	5740.2+x	51/2 <sup>-</sup>	4996.1+x	47/2 <sup>-</sup>	Q		DCO=1.00 9
748.6 5	5.5 14	6886.5+x	55/2 <sup>-</sup>	6137.9+x	51/2 <sup>-</sup>	Q		DCO=1.17 15
748.8 8	1.7 5	6904.3+x	53/2 <sup>+</sup>	6155.5+x	49/2 <sup>+</sup>			
749.0 8	1.80 54	5435.6+x	47/2 <sup>+</sup>	4686.7+x	43/2 <sup>+</sup>	Q		DCO=1.14 20
750.2 5	4.6 12	6435.7+x	53/2 <sup>+</sup>	5685.4+x	49/2 <sup>+</sup>	Q		DCO=1.12 12
751.2 3	16.8 25	2947.1+x	31/2 <sup>-</sup>	2195.9+x	27/2 <sup>-</sup>	Q		DCO=1.02 10
753.0 8	1.3 4	6188.7+x	51/2 <sup>+</sup>	5435.6+x	47/2 <sup>+</sup>	Q		DCO=1.05 22
753.0 8	2.1 6	6448.5+x	53/2 <sup>+</sup>	5695.5+x	49/2 <sup>+</sup>	Q		DCO=1.01 12
755.0 5	3.0 8	5823.9+x	49/2 <sup>+</sup>	5068.9+x	45/2 <sup>+</sup>	Q		DCO=0.93 9
755.0 5	4.5 11	6080.9+x	51/2 <sup>+</sup>	5325.9+x	47/2 <sup>+</sup>	Q		DCO=1.01 9
761.0 8	1.42 43	6841.9+x	55/2 <sup>+</sup>	6080.9+x	51/2 <sup>+</sup>	Q		DCO=1.10 11
761.4 5	9.3 23	6998.0+x	57/2 <sup>+</sup>	6236.3+x	53/2 <sup>+</sup>	Q		DCO=1.02 10
763.5 8	1.4 4	6608.6+x	53/2 <sup>-</sup>	5845.1+x	49/2 <sup>-</sup>	Q		DCO=1.05 11
765.7 8	1.7 5	7133.6+x	55/2 <sup>+</sup>	6367.9+x	51/2 <sup>+</sup>	Q		DCO=0.88 14
768.6 8	1.2 4	6947.1+x	55/2 <sup>-</sup>	6178.5+x	51/2 <sup>-</sup>	Q		DCO=0.98 11
770.2 8	0.9 3	1482.4+z	J1+4	712.2+z	J1+2			
775.8 5	4.3 11	6101.7+x	51/2 <sup>+</sup>	5325.9+x	47/2 <sup>+</sup>	Q		DCO=1.21 15

Continued on next page (footnotes at end of table)



$^{139}\text{La}(^{30}\text{Si},4n\gamma)$  **2004Sc14,2003Sc02,2005An04 (continued)** $\gamma(^{165}\text{Lu})$  (continued)

$E_\gamma$ <sup>†</sup> #	$I_\gamma$ <sup>‡</sup>	$E_i(\text{level})$	$J_i^\pi$	$E_f$	$J_f^\pi$	Mult. &	Comments
780.4 5	4.1 10	7287.9+x	57/2 <sup>-</sup>	6507.5+x	53/2 <sup>-</sup>	Q	DCO=0.89 12
781.3 8	1.0 3	6642.2+x	(53/2) <sup>-</sup>	5860.9+x	(49/2) <sup>-</sup>		
783.3 3	16.9 25	6146.7+x	53/2 <sup>-</sup>	5363.5+x	49/2 <sup>-</sup>	Q	DCO=1.04 11
789.5 8	2.0 6	6613.4+x	53/2 <sup>+</sup>	5823.9+x	49/2 <sup>+</sup>	Q	DCO=1.04 11
792.0 8	2.2 7	7240.5+x	57/2 <sup>+</sup>	6448.5+x	53/2 <sup>+</sup>	Q	DCO=1.10 14
795.0 8	0.9 3	6188.7+x	51/2 <sup>+</sup>	5393.7+x	47/2 <sup>+</sup>	Q	DCO=1.15 18
798.3 8	0.8 2	2847.3+y	J+8	2049.0+y	J+6		
798.7 3	12.5 19	6538.8+x	55/2 <sup>-</sup>	5740.2+x	51/2 <sup>-</sup>	Q	DCO=1.02 11
798.7 8	1.9 6	7703.0+x	57/2 <sup>+</sup>	6904.3+x	53/2 <sup>+</sup>		
802.5 8	1.4 4	7354.6+x	57/2 <sup>-</sup>	6552.2+x	53/2 <sup>-</sup>		
803.3 5	3.2 8	7239.0+x	57/2 <sup>+</sup>	6435.7+x	53/2 <sup>+</sup>	Q	DCO=0.89 11
804.9 8	1.4 4	7418.3+x	57/2 <sup>+</sup>	6613.4+x	53/2 <sup>+</sup>		
805.9 8	2.6 8	6907.6+x	55/2 <sup>+</sup>	6101.7+x	51/2 <sup>+</sup>	Q	DCO=1.20 16
806.0 8	1.9 6	6994.7+x	55/2 <sup>+</sup>	6188.7+x	51/2 <sup>+</sup>	Q	DCO=1.05 18
806.9 5	5.5 14	7439.2+x	59/2 <sup>+</sup>	6632.3+x	55/2 <sup>+</sup>	Q	DCO=0.92 11
807.3 5	3.2 8	7693.8+x	59/2 <sup>-</sup>	6886.5+x	55/2 <sup>-</sup>	Q	DCO=1.21 15
816.0 8	2.3 7	6511.5+x	53/2 <sup>+</sup>	5695.5+x	49/2 <sup>+</sup>	Q	DCO=1.19 16
819.9 8	1.2 4	7953.5+x	59/2 <sup>+</sup>	7133.6+x	55/2 <sup>+</sup>	Q	DCO=1.05 12
822.6 8	1.3 4	7431.2+x	57/2 <sup>-</sup>	6608.6+x	53/2 <sup>-</sup>	Q	DCO=1.10 12
824.8 8	0.9 3	7467.0+x	(57/2) <sup>-</sup>	6642.2+x	(53/2) <sup>-</sup>	Q	
826.7 8	0.2 1	6907.6+x	55/2 <sup>+</sup>	6080.9+x	51/2 <sup>+</sup>		
827.0 8	1.7 5	7338.5+x	57/2 <sup>+</sup>	6511.5+x	53/2 <sup>+</sup>	Q	DCO=1.05 16
828.9 8	0.8 2	2311.3+z	J1+6	1482.4+z	J1+4		
835.4 3	15.4 23	6982.1+x	57/2 <sup>-</sup>	6146.7+x	53/2 <sup>-</sup>	Q	DCO=0.91 9
836.0 8	2.5 8	7677.9+x	59/2 <sup>+</sup>	6841.9+x	55/2 <sup>+</sup>	Q	DCO=1.04 12
839.50 5	8.9 22	7837.5+x	61/2 <sup>+</sup>	6998.0+x	57/2 <sup>+</sup>	Q	DCO=0.98 11
839.8 8	0.8 2	8258.1+x	61/2 <sup>+</sup>	7418.3+x	57/2 <sup>+</sup>		
839.9 5	3.8 10	8127.8+x	61/2 <sup>-</sup>	7287.9+x	57/2 <sup>-</sup>	Q	DCO=0.88 11
840.0 <sup>b</sup> 8	2.9 9	4575.0+x	41/2 <sup>-</sup>	3734.9+x	39/2 <sup>-</sup>		
841.4 8	1.1 3	7788.4+x	59/2 <sup>-</sup>	6947.1+x	55/2 <sup>-</sup>	Q	DCO=0.83 12
844.5 3	11.0 16	7383.2+x	59/2 <sup>-</sup>	6538.8+x	55/2 <sup>-</sup>	Q	DCO=0.89 9
847.0 8	1.4 4	7841.7+x	59/2 <sup>+</sup>	6994.7+x	55/2 <sup>+</sup>	Q	DCO=0.95 15
849.6 8	1.8 5	8552.6+x	61/2 <sup>+</sup>	7703.0+x	57/2 <sup>+</sup>		
852.7 8	2.3 7	7760.3+x	59/2 <sup>+</sup>	6907.6+x	55/2 <sup>+</sup>		
855.7 8	2.8 8	8094.7+x	61/2 <sup>+</sup>	7239.0+x	57/2 <sup>+</sup>	Q	DCO=1.01 11
856.0 8	0.6 2	3703.3+y	J+10	2847.3+y	J+8		
863.1 8	2.9 9	8556.9+x	63/2 <sup>-</sup>	7693.8+x	59/2 <sup>-</sup>		
869.7 8	0.6 2	8336.7+x	(61/2) <sup>-</sup>	7467.0+x	(57/2) <sup>-</sup>		
872.1 8	0.93 28	8825.6+x	63/2 <sup>+</sup>	7953.5+x	59/2 <sup>+</sup>	Q	DCO=0.92 15
872.2 8	1.3 4	8226.8+x	61/2 <sup>-</sup>	7354.6+x	57/2 <sup>-</sup>		
874.0 8	2.5 8	8114.5+x	61/2 <sup>+</sup>	7240.5+x	57/2 <sup>+</sup>	Q	DCO=1.20 15
874.0 8	1.3 4	8212.5+x	61/2 <sup>+</sup>	7338.5+x	57/2 <sup>+</sup>	Q	DCO=1.06 16
881.0 8	1.2 4	8312.2+x	61/2 <sup>-</sup>	7431.2+x	57/2 <sup>-</sup>	Q	DCO=1.06 12
881.6 5	9.2 23	7863.9+x	61/2 <sup>-</sup>	6982.1+x	57/2 <sup>-</sup>	Q	DCO=1.20 12
885.8 8	0.5 2	3197.1+z	J1+8	2311.3+z	J1+6		
886.2 5	9.3 23	8269.2+x	63/2 <sup>-</sup>	7383.2+x	59/2 <sup>-</sup>	Q	DCO=1.15 11
891.7 5	5.0 12	8330.8+x	63/2 <sup>+</sup>	7439.2+x	59/2 <sup>+</sup>	Q	DCO=0.94 11
892.0 8	1.3 4	8733.7+x	63/2 <sup>+</sup>	7841.7+x	59/2 <sup>+</sup>	Q	DCO=0.98 17
900.1 8	2.2 7	8660.4+x	63/2 <sup>+</sup>	7760.3+x	59/2 <sup>+</sup>	Q	
900.1 5	3.5 9	9027.9+x	65/2 <sup>-</sup>	8127.8+x	61/2 <sup>-</sup>	Q	DCO=0.92 15
902.8 8	0.7 2	9160.9+x	65/2 <sup>+</sup>	8258.1+x	61/2 <sup>+</sup>		
903.2 8	0.55 16	8691.6+x	63/2 <sup>-</sup>	7788.4+x	59/2 <sup>-</sup>	Q	DCO=0.92 15
904.7 8	1.5 4	9457.3+x	65/2 <sup>+</sup>	8552.6+x	61/2 <sup>+</sup>		
907.0 8	2.7 8	8584.9+x	63/2 <sup>+</sup>	7677.9+x	59/2 <sup>+</sup>	Q	DCO=1.12 15
908.9 8	2.1 6	9003.5+x	65/2 <sup>+</sup>	8094.7+x	61/2 <sup>+</sup>	Q	DCO=1.14 12

Continued on next page (footnotes at end of table)

$^{139}\text{La}(^{30}\text{Si},4n\gamma)$  **2004Sc14,2003Sc02,2005An04 (continued)** $\gamma(^{165}\text{Lu})$  (continued)

$E_\gamma$ $^{\dagger\#}$	$I_\gamma$ $^{\ddagger}$	$E_i(\text{level})$	$J_i^\pi$	$E_f$	$J_f^\pi$	Mult. &	Comments
915.6 8	0.3 1	4618.9+y	J+12	3703.3+y	J+10		
917.2 5	4.4 11	8754.6+x	65/2 <sup>+</sup>	7837.5+x	61/2 <sup>+</sup>	Q	DCO=1.25 15
918.2 8	2.3 7	9475.1+x	67/2 <sup>-</sup>	8556.9+x	63/2 <sup>-</sup>		
921.0 8	1.2 4	9133.5+x	65/2 <sup>+</sup>	8212.5+x	61/2 <sup>+</sup>		
926.6 8	0.79 24	9752.2+x	67/2 <sup>+</sup>	8825.6+x	63/2 <sup>+</sup>	Q	DCO=0.95 17
928.3 8	0.3 1	9265.0+x	(65/2) <sup>-</sup>	8336.7+x	(61/2) <sup>-</sup>		
928.9 8	1.2 4	9155.7+x	65/2 <sup>-</sup>	8226.8+x	61/2 <sup>-</sup>		
929.4 5	5.0 12	9198.6+x	67/2 <sup>-</sup>	8269.2+x	63/2 <sup>-</sup>	Q	DCO=1.08 9
930.2 8	0.8 2	9242.4+x	65/2 <sup>-</sup>	8312.2+x	61/2 <sup>-</sup>		
931.0 5	6.7 17	8794.9+x	65/2 <sup>-</sup>	7863.9+x	61/2 <sup>-</sup>	Q	DCO=1.16 12
938.0 8	1.2 4	9671.7+x	67/2 <sup>+</sup>	8733.7+x	63/2 <sup>+</sup>		
943.7 8	0.4 1	4140.8+z	J1+10	3197.1+z	J1+8		
946.7 8	1.6 5	9607.1+x	67/2 <sup>+</sup>	8660.4+x	63/2 <sup>+</sup>		
951.2 8	0.34 10	9642.9+x	67/2 <sup>-</sup>	8691.6+x	63/2 <sup>-</sup>	Q	DCO=0.92 19
953.0 8	2.2 7	9067.5+x	65/2 <sup>+</sup>	8114.5+x	61/2 <sup>+</sup>	Q	DCO=1.18 17
957.5 8	1.3 4	10414.8+x	69/2 <sup>+</sup>	9457.3+x	65/2 <sup>+</sup>		
960.0 8	2.6 8	9544.9+x	67/2 <sup>+</sup>	8584.9+x	63/2 <sup>+</sup>	Q	DCO=1.20 15
963.0 8	1.5 4	9966.5+x	69/2 <sup>+</sup>	9003.5+x	65/2 <sup>+</sup>	Q	DCO=0.95 12
963.1 8	2.3 7	9991.0+x	69/2 <sup>-</sup>	9027.9+x	65/2 <sup>-</sup>		
965.1 8	0.6 2	10207.5+x	69/2 <sup>-</sup>	9242.4+x	65/2 <sup>-</sup>		
973.5 8	1.1 3	10129.2+x	69/2 <sup>-</sup>	9155.7+x	65/2 <sup>-</sup>		
973.9 8	2.2 7	10449.0+x	71/2 <sup>-</sup>	9475.1+x	67/2 <sup>-</sup>		
974.0 8	0.60 18	10107.5+x	69/2 <sup>+</sup>	9133.5+x	65/2 <sup>+</sup>		
975.0 8	1.0 3	10646.7+x	71/2 <sup>+</sup>	9671.7+x	67/2 <sup>+</sup>		
975.3 8	0.2 1	5594.2+y	J+14	4618.9+y	J+12		
976.4 5	3.8 10	10175.0+x	71/2 <sup>-</sup>	9198.6+x	67/2 <sup>-</sup>	Q	DCO=1.06 9
977.9 5	3.7 9	9308.7+x	67/2 <sup>+</sup>	8330.8+x	63/2 <sup>+</sup>		
981.1 8	0.71 21	10733.3+x	71/2 <sup>+</sup>	9752.2+x	67/2 <sup>+</sup>	Q	DCO=1.13 15
986.0 5	3.4 8	9780.9+x	69/2 <sup>-</sup>	8794.9+x	65/2 <sup>-</sup>	Q	DCO=1.08 11
986.4 8	0.4 1	11193.9+x	73/2 <sup>-</sup>	10207.5+x	69/2 <sup>-</sup>		
986.9 8	1.3 4	10594.0+x	71/2 <sup>+</sup>	9607.1+x	67/2 <sup>+</sup>		
987.9 5	3.3 8	9742.6+x	69/2 <sup>+</sup>	8754.6+x	65/2 <sup>+</sup>	Q	DCO=1.14 16
1001.9 8	0.16 5	10644.8+x	71/2 <sup>-</sup>	9642.9+x	67/2 <sup>-</sup>		
1002.0 8	1.5 4	10546.9+x	71/2 <sup>+</sup>	9544.9+x	67/2 <sup>+</sup>	Q	DCO=1.22 17
1002.5 8	0.3 1	5143.3+z	J1+12	4140.8+z	J1+10		
1005.0 8	1.6 5	10072.5+x	69/2 <sup>+</sup>	9067.5+x	65/2 <sup>+</sup>		
1010.0 8	0.8 2	11656.7+x	75/2 <sup>+</sup>	10646.7+x	71/2 <sup>+</sup>		
1011.1 8	0.7 2	11425.9+x	73/2 <sup>+</sup>	10414.8+x	69/2 <sup>+</sup>		
1012.8 8	0.95 28	11142.0+x	73/2 <sup>-</sup>	10129.2+x	69/2 <sup>-</sup>		
1018.2 8	1.0 1	11612.3+x	75/2 <sup>+</sup>	10594.0+x	71/2 <sup>+</sup>		
1019.3 8	1.1 3	10985.9+x	73/2 <sup>+</sup>	9966.5+x	69/2 <sup>+</sup>		DCO=0.96 12
1021.7 8	0.2 1	12215.6+x	77/2 <sup>-</sup>	11193.9+x	73/2 <sup>-</sup>		
1026.3 8	1.9 6	11017.3+x	73/2 <sup>-</sup>	9991.0+x	69/2 <sup>-</sup>		
1026.6 5	3.0 8	11201.6+x	75/2 <sup>-</sup>	10175.0+x	71/2 <sup>-</sup>	Q	DCO=1.14 12
1028.1 8	1.4 4	11477.1+x	75/2 <sup>-</sup>	10449.0+x	71/2 <sup>-</sup>		
1035.1 8	0.52 16	11768.4+x	75/2 <sup>+</sup>	10733.3+x	71/2 <sup>+</sup>		DCO=1.14 15
1036.0 8	1.4 4	11582.9+x	75/2 <sup>+</sup>	10546.9+x	71/2 <sup>+</sup>	Q	DCO=0.95 15
1037.0 8	0.10 3	6631.2+y	J+16	5594.2+y	J+14		
1037.7 8	0.9 3	12649.9+x	79/2 <sup>+</sup>	11612.3+x	75/2 <sup>+</sup>		
1039.0 8	0.11 3	11683.8+x	75/2 <sup>-</sup>	10644.8+x	71/2 <sup>-</sup>		
1046.0 8	2.2 7	10826.9+x	73/2 <sup>-</sup>	9780.9+x	69/2 <sup>-</sup>		
1047.8 8	0.93 28	12189.8+x	77/2 <sup>-</sup>	11142.0+x	73/2 <sup>-</sup>		
1051.2 8	2.4 7	10793.7+x	73/2 <sup>+</sup>	9742.6+x	69/2 <sup>+</sup>		
1058.4 5	3.1 8	10367.1+x	71/2 <sup>+</sup>	9308.7+x	67/2 <sup>+</sup>		
1059.1 8	0.5 2	12485.0+x	77/2 <sup>+</sup>	11425.9+x	73/2 <sup>+</sup>		
1061.0 8	1.2 4	12643.9+x	79/2 <sup>+</sup>	11582.9+x	75/2 <sup>+</sup>		

Continued on next page (footnotes at end of table)

$^{139}\text{La}(^{30}\text{Si},4n\gamma)$  2004Sc14,2003Sc02,2005An04 (continued) $\gamma(^{165}\text{Lu})$  (continued)

$E_\gamma$ <sup>†</sup> #	$I_\gamma$ <sup>‡</sup>	$E_i(\text{level})$	$J_i^\pi$	$E_f$	$J_f^\pi$	Mult. &	Comments
1063.0 8	0.10 3	6206.3+z	J1+14	5143.3+z	J1+12		
1064.0 8	0.5 2	12720.7+x	79/2 <sup>+</sup>	11656.7+x	75/2 <sup>+</sup>		
1065.0 8	0.5 2	13715.0+x	83/2 <sup>+</sup>	12649.9+x	79/2 <sup>+</sup>		
1076.0 8	2.4 7	12277.6+x	79/2 <sup>-</sup>	11201.6+x	75/2 <sup>-</sup>	Q	DCO=0.89 13
1076.3 8	0.9 3	12062.1+x	77/2 <sup>+</sup>	10985.9+x	73/2 <sup>+</sup>		
1081.6 8	1.1 3	12558.7+x	79/2 <sup>-</sup>	11477.1+x	75/2 <sup>-</sup>		
1088.0 8	1.0 3	12105.3+x	77/2 <sup>-</sup>	11017.3+x	73/2 <sup>-</sup>		
1089.6 8	0.44 13	12858.0+x	79/2 <sup>+</sup>	11768.4+x	75/2 <sup>+</sup>		
1102.2 <sup>b</sup>		5449.5+x	45/2 <sup>+</sup>	4347.3+x	41/2 <sup>+</sup>		
1105.4 8	1.5 4	11899.2+x	77/2 <sup>+</sup>	10793.7+x	73/2 <sup>+</sup>		
1107.4 8	0.3 1	13592.5+x	81/2 <sup>+</sup>	12485.0+x	77/2 <sup>+</sup>		
1108.9 8	1.4 4	11935.8+x	77/2 <sup>-</sup>	10826.9+x	73/2 <sup>-</sup>		
1109.0 8	0.4 1	13829.7+x	83/2 <sup>+</sup>	12720.7+x	79/2 <sup>+</sup>		
1121.7 8	1.4 4	13399.3+x	83/2 <sup>-</sup>	12277.6+x	79/2 <sup>-</sup>	Q	DCO=1.11 14
1127.7 8	0.6 2	13686.4+x	83/2 <sup>-</sup>	12558.7+x	79/2 <sup>-</sup>		
1129.7 8	1.2 4	11496.8+x	75/2 <sup>+</sup>	10367.1+x	71/2 <sup>+</sup>		
1133.4 8	0.6 2	13195.6+x	81/2 <sup>+</sup>	12062.1+x	77/2 <sup>+</sup>		
1139.7 8	0.8 2	13245.0+x	81/2 <sup>-</sup>	12105.3+x	77/2 <sup>-</sup>		
1142.2 8	0.9 3	13041.3+x	81/2 <sup>+</sup>	11899.2+x	77/2 <sup>+</sup>		
1151.0 8	0.27 8	14009.0+x	83/2 <sup>+</sup>	12858.0+x	79/2 <sup>+</sup>		
1158.5 8	0.5 2	14199.8+x	85/2 <sup>+</sup>	13041.3+x	81/2 <sup>+</sup>		
1158.8 8	0.7 2	14558.1+x	87/2 <sup>-</sup>	13399.3+x	83/2 <sup>-</sup>		
1162.5 8	0.4 1	14848.9+x	87/2 <sup>-</sup>	13686.4+x	83/2 <sup>-</sup>		
1166.5 8	0.6 2	13102.3+x	81/2 <sup>-</sup>	11935.8+x	77/2 <sup>-</sup>		
1166.9 <sup>b</sup>		6155.5+x	49/2 <sup>+</sup>	4988.6+x	45/2 <sup>+</sup>		
1182.0 8	0.4 1	12678.8+x	79/2 <sup>+</sup>	11496.8+x	75/2 <sup>+</sup>		
1187.0 8	0.40 12	15745.1+x	91/2 <sup>-</sup>	14558.1+x	87/2 <sup>-</sup>		
1189.3 8	0.4 1	14384.9+x	85/2 <sup>+</sup>	13195.6+x	81/2 <sup>+</sup>		
1199.8 8	0.22 7	15209+x	87/2 <sup>+</sup>	14009.0+x	83/2 <sup>+</sup>		
1218.9 <sup>b</sup>		6904.3+x	53/2 <sup>+</sup>	5685.4+x	49/2 <sup>+</sup>		
1239.3 8	0.2 1	15624+x	89/2 <sup>+</sup>	14384.9+x	85/2 <sup>+</sup>		
1253.7 <sup>b</sup> 8	0.15 4	16463+x?	(91/2 <sup>+</sup> )	15209+x	87/2 <sup>+</sup>		

<sup>†</sup> Authors give an uncertainty range of 0.1-0.8 keV for all assigned transitions, based on individual  $\gamma$ 's intensity. The evaluators assign uncertainties to  $\gamma$  transitions as follows: 0.1 for  $I_\gamma > 20\%$ , 0.3 for  $I_\gamma = (10-20)\%$ , 0.5 for  $I_\gamma = (3-10)\%$  and 0.8 for  $I_\gamma < 3\%$ .

<sup>‡</sup> Authors give an uncertainty range of (8-30)% for all  $\gamma$  intensities. The evaluators have assigned individual uncertainties to  $\gamma$  intensities based on the following criterion: 8% for  $I_\gamma > 20\%$ , 15% for  $I_\gamma = (10-20)\%$ , 25% for  $I_\gamma = (3-10)\%$  and 30% for  $I_\gamma < 3\%$ .

# DCO values are normalized to known  $\Delta J=2$ , stretched quadrupole transitions.

@ Transition contaminated from a  $\gamma$ -ray line with similar energy.

& From DCO ratios, mult=Q corresponds to  $\Delta J=2$ , stretched quadrupole (most likely E2) transition and mult=D corresponds to  $\Delta J=1$ , dipole (small quadrupole admixture is possible). The mult=E2 is from DCO ratio and application of RUL for levels of known lifetimes.

<sup>a</sup> From DCO. The other solution with dominant M1 component is excluded in analogy with  $^{163}\text{Lu}$  transitions in SD bands.

<sup>b</sup> Placement of transition in the level scheme is uncertain.

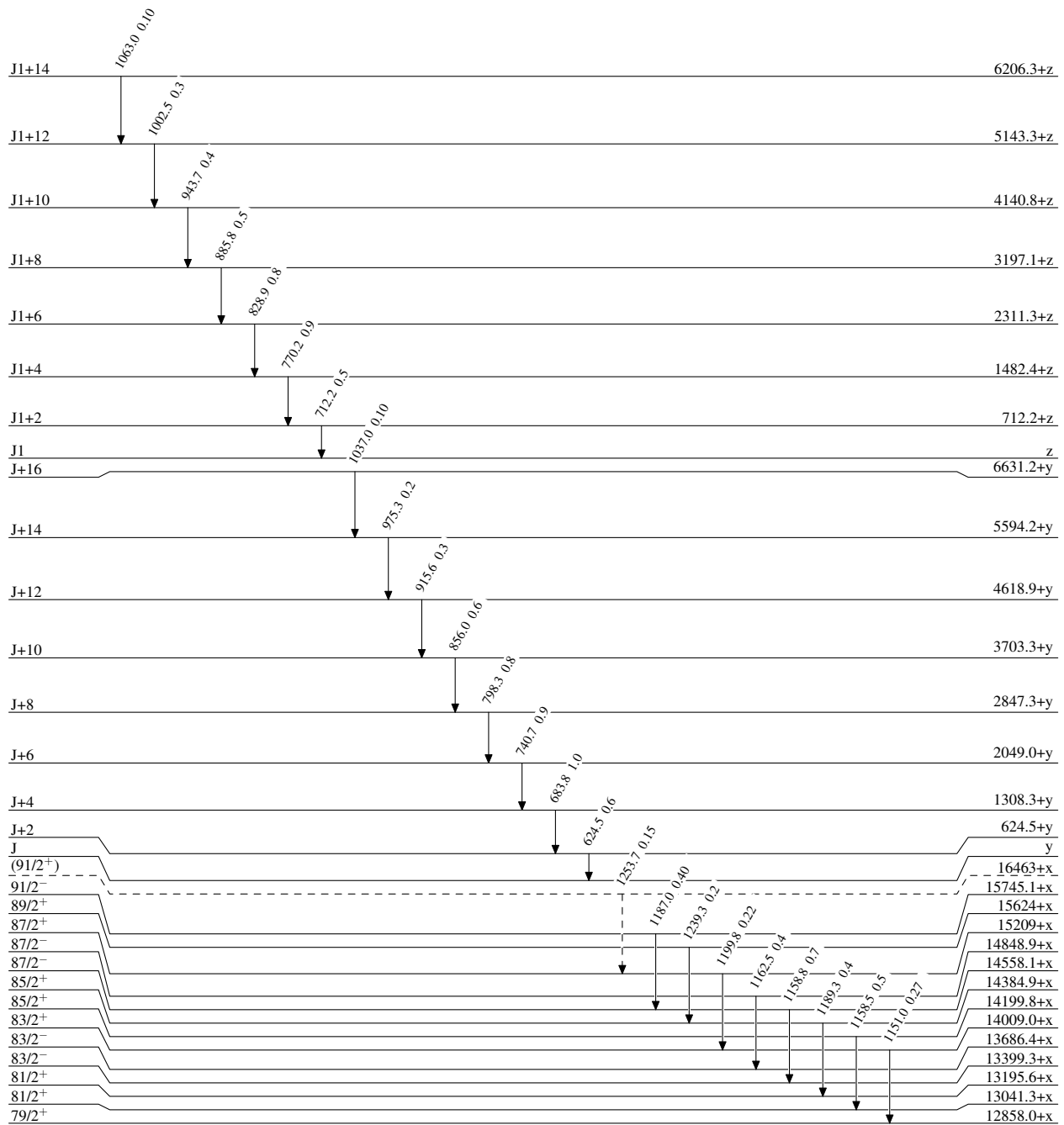
$^{139}\text{La}(^{30}\text{Si},4n\gamma)$  2004Sc14,2003Sc02,2005An04

Legend

## Level Scheme

Intensities: Relative  $I_\gamma$ 

- $\longrightarrow$   $I_\gamma < 2\% \times I_\gamma^{\max}$   
 $\longrightarrow$   $I_\gamma < 10\% \times I_\gamma^{\max}$   
 $\longrightarrow$   $I_\gamma > 10\% \times I_\gamma^{\max}$   
 $\cdots\cdots\cdots\longrightarrow$   $\gamma$  Decay (Uncertain)

 $^{165}_{71}\text{Lu}_{94}$

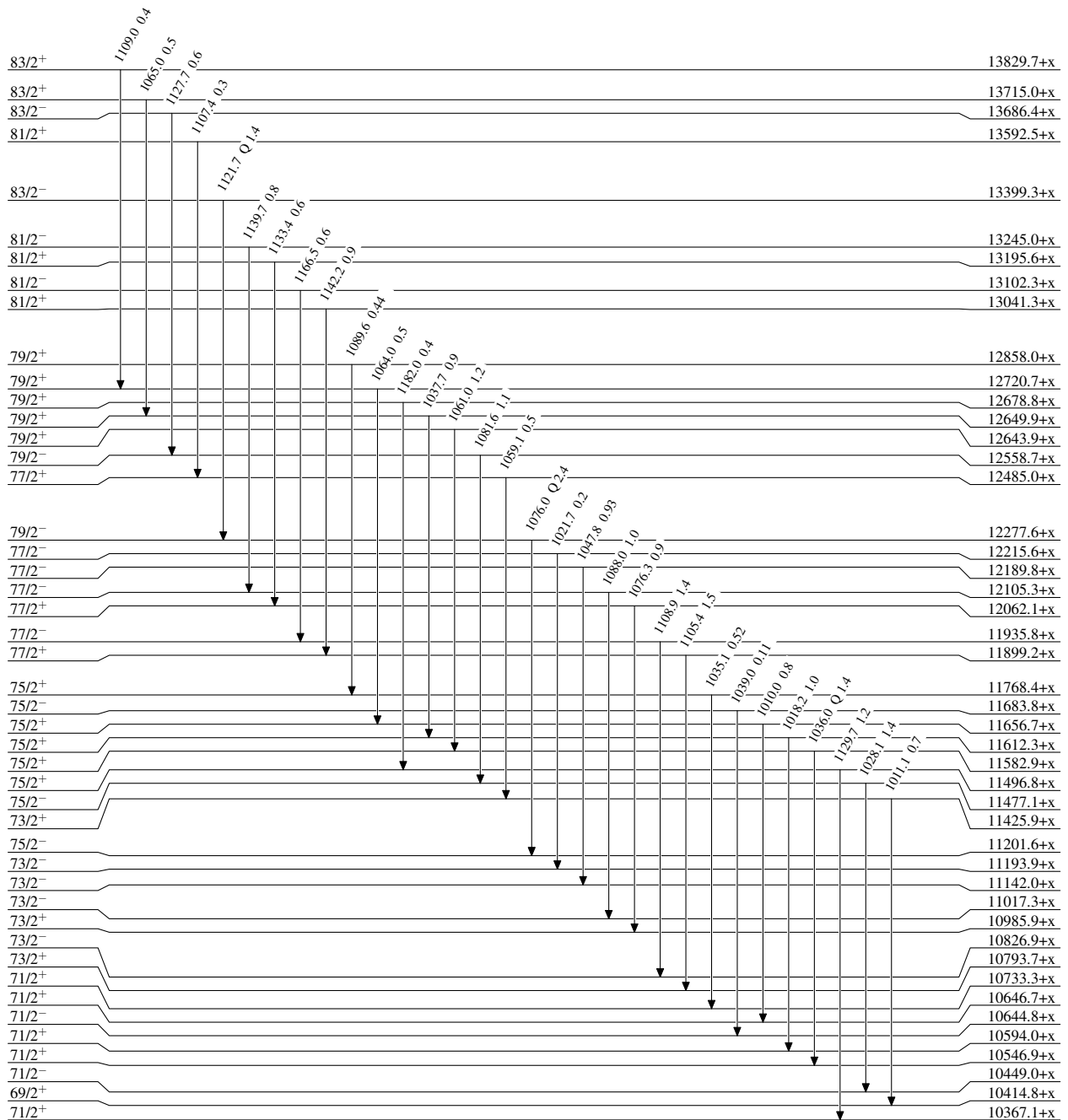
$^{139}\text{La}(^{30}\text{Si},4n\gamma)$  2004Sc14,2003Sc02,2005An04

## Level Scheme (continued)

Intensities: Relative  $I_\gamma$ 

Legend

- $\longrightarrow$   $I_\gamma < 2\% \times I_\gamma^{\text{max}}$   
 $\longrightarrow$   $I_\gamma < 10\% \times I_\gamma^{\text{max}}$   
 $\longrightarrow$   $I_\gamma > 10\% \times I_\gamma^{\text{max}}$

 $^{165}_{71}\text{Lu}_{94}$

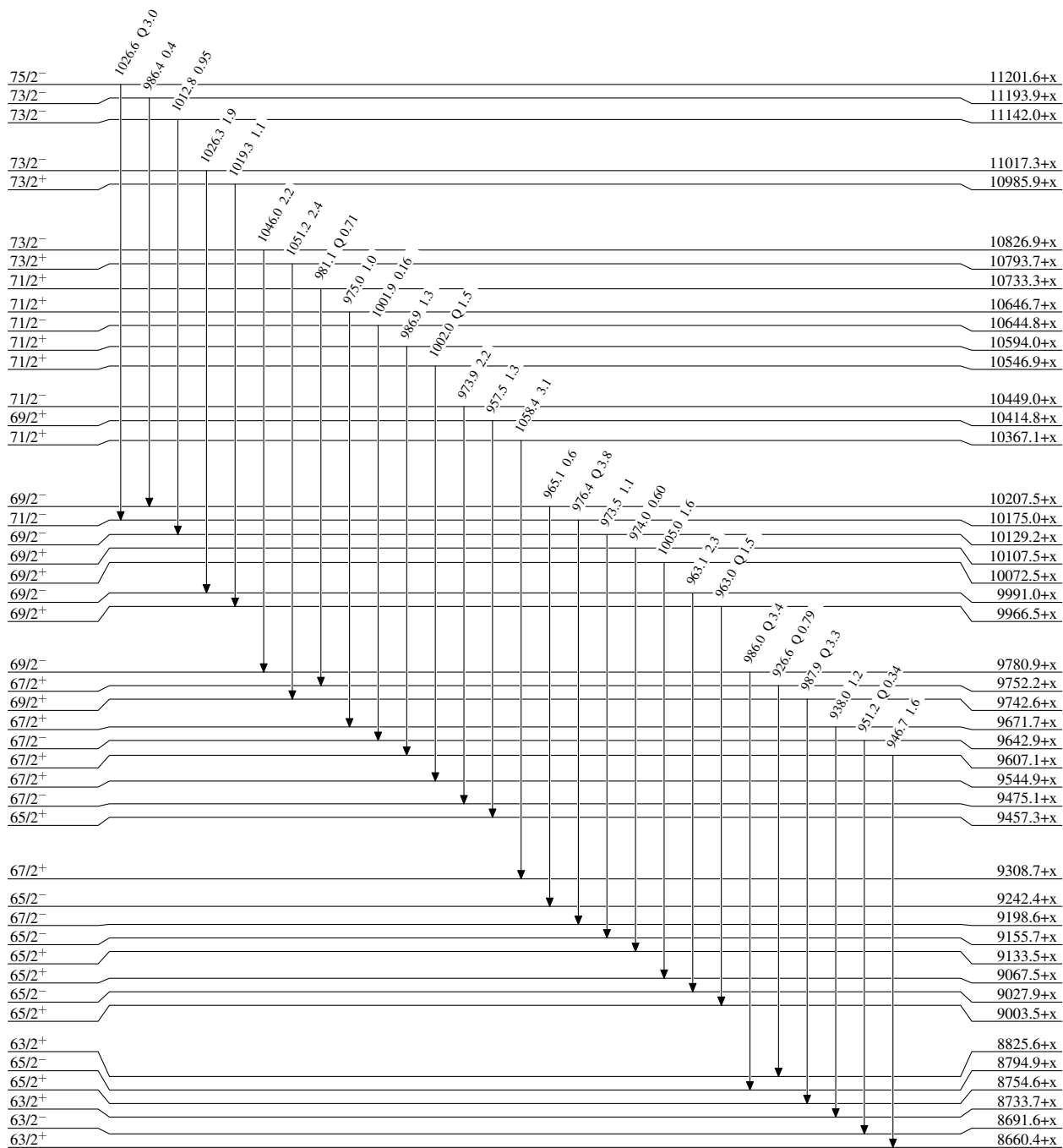
$^{139}\text{La}(^{30}\text{Si},4n\gamma)$  2004Sc14,2003Sc02,2005An04

## Level Scheme (continued)

Intensities: Relative  $I_\gamma$ 

Legend

- $\longrightarrow$   $I_\gamma < 2\% \times I_\gamma^{\max}$   
 $\longrightarrow$   $I_\gamma < 10\% \times I_\gamma^{\max}$   
 $\longrightarrow$   $I_\gamma > 10\% \times I_\gamma^{\max}$

 $^{165}_{71}\text{Lu}_{94}$

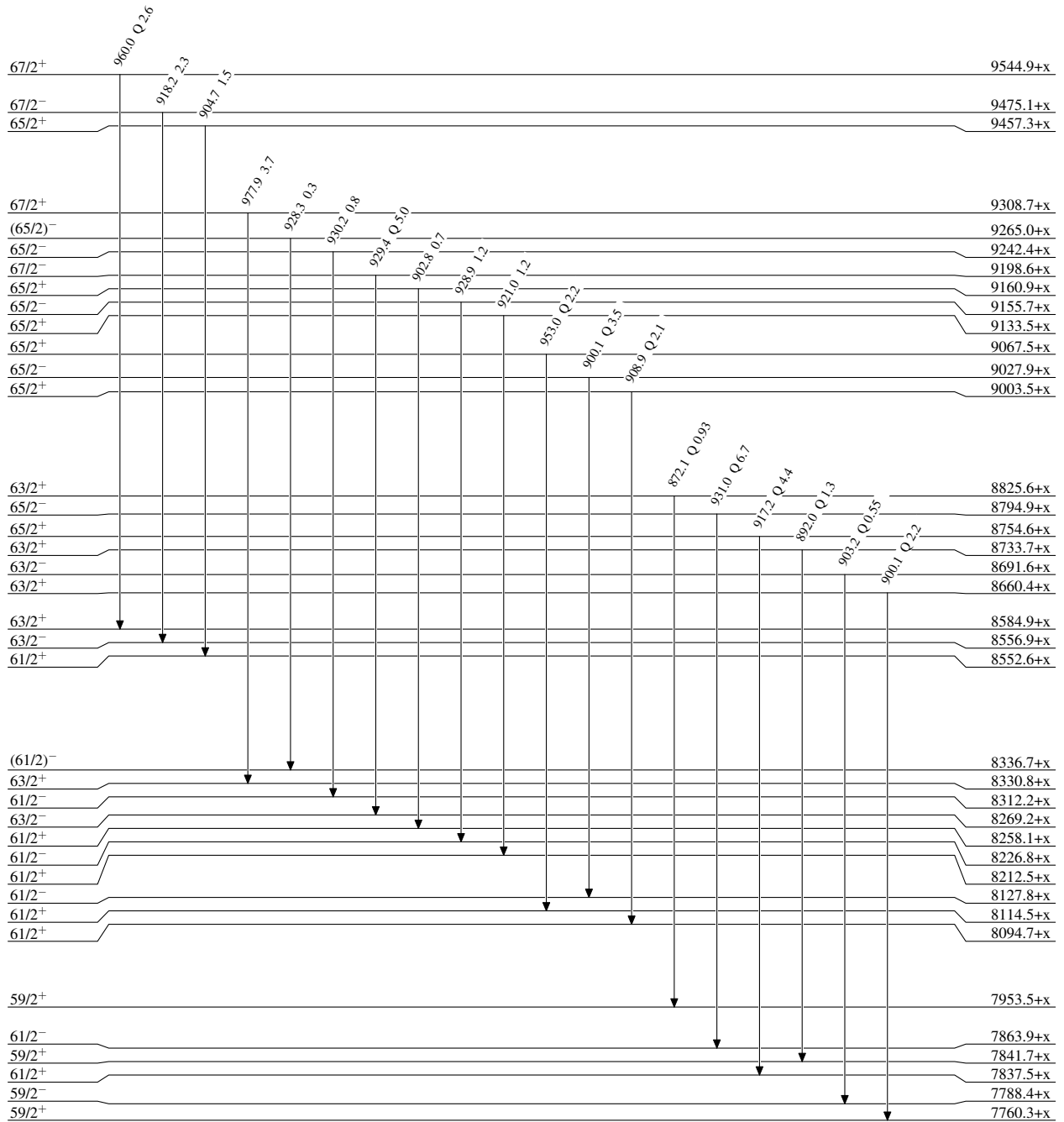
$^{139}\text{La}(^{30}\text{Si},4n\gamma)$  2004Sc14,2003Sc02,2005An04

## Level Scheme (continued)

Intensities: Relative  $I_\gamma$ 

Legend

- $\longrightarrow$   $I_\gamma < 2\% \times I_\gamma^{\max}$   
 $\longrightarrow$   $I_\gamma < 10\% \times I_\gamma^{\max}$   
 $\longrightarrow$   $I_\gamma > 10\% \times I_\gamma^{\max}$

 $^{165}_{71}\text{Lu}_{94}$

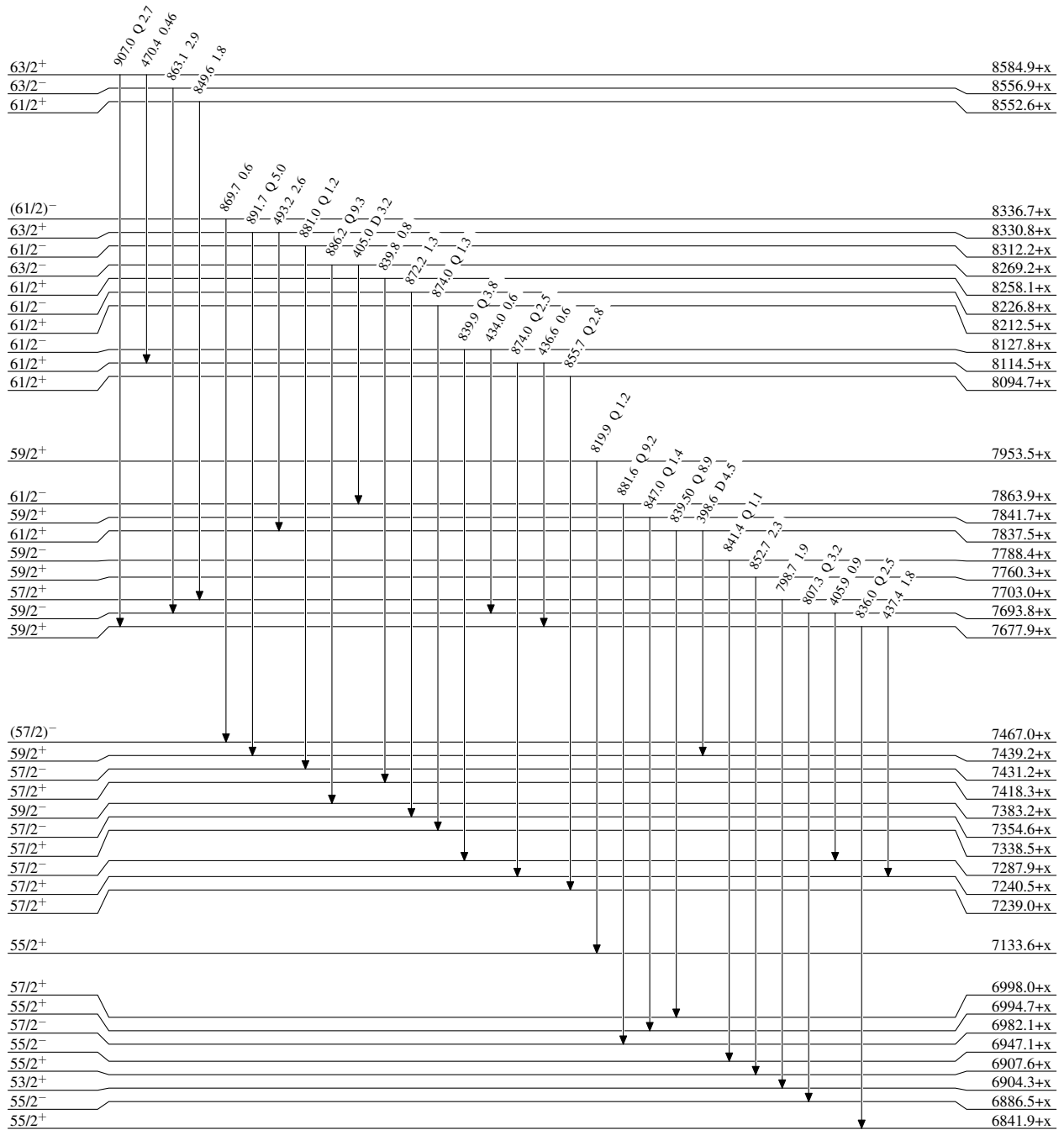
$^{139}\text{La}(^{30}\text{Si},4n\gamma)$  2004Sc14,2003Sc02,2005An04

## Level Scheme (continued)

Intensities: Relative  $I_\gamma$ 

Legend

- $\longrightarrow$   $I_\gamma < 2\% \times I_\gamma^{\max}$   
 $\longrightarrow$   $I_\gamma < 10\% \times I_\gamma^{\max}$   
 $\longrightarrow$   $I_\gamma > 10\% \times I_\gamma^{\max}$

 $^{165}_{71}\text{Lu}_{94}$



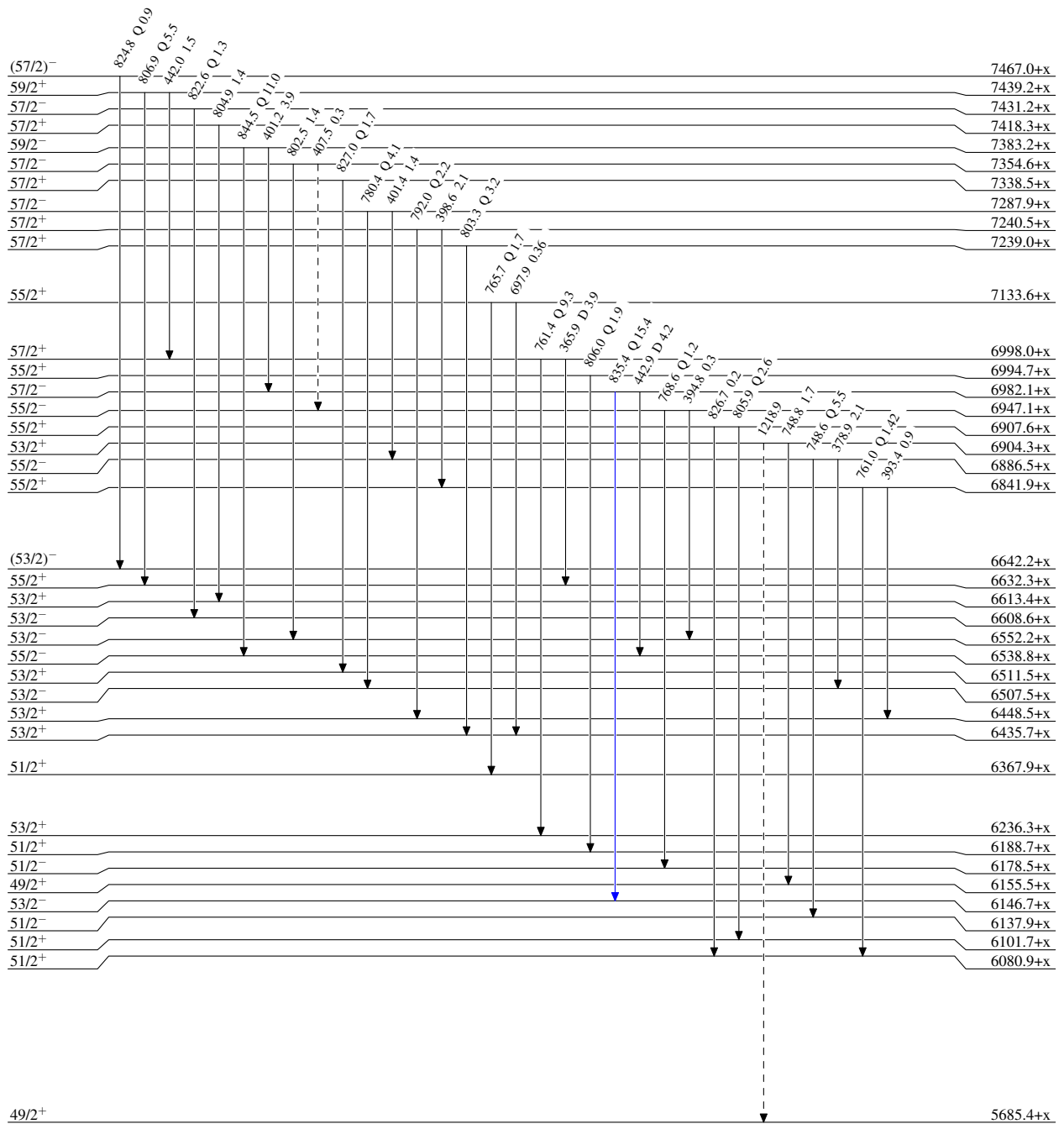
$^{139}\text{La}(^{30}\text{Si},4n\gamma)$  2004Sc14,2003Sc02,2005An04

Legend

## Level Scheme (continued)

Intensities: Relative  $I_\gamma$ 

- $\longrightarrow$   $I_\gamma < 2\% \times I_\gamma^{\max}$   
 $\longrightarrow$   $I_\gamma < 10\% \times I_\gamma^{\max}$   
 $\longrightarrow$   $I_\gamma > 10\% \times I_\gamma^{\max}$   
 $-\cdots-$   $\gamma$  Decay (Uncertain)

 $^{165}_{71}\text{Lu}_{94}$

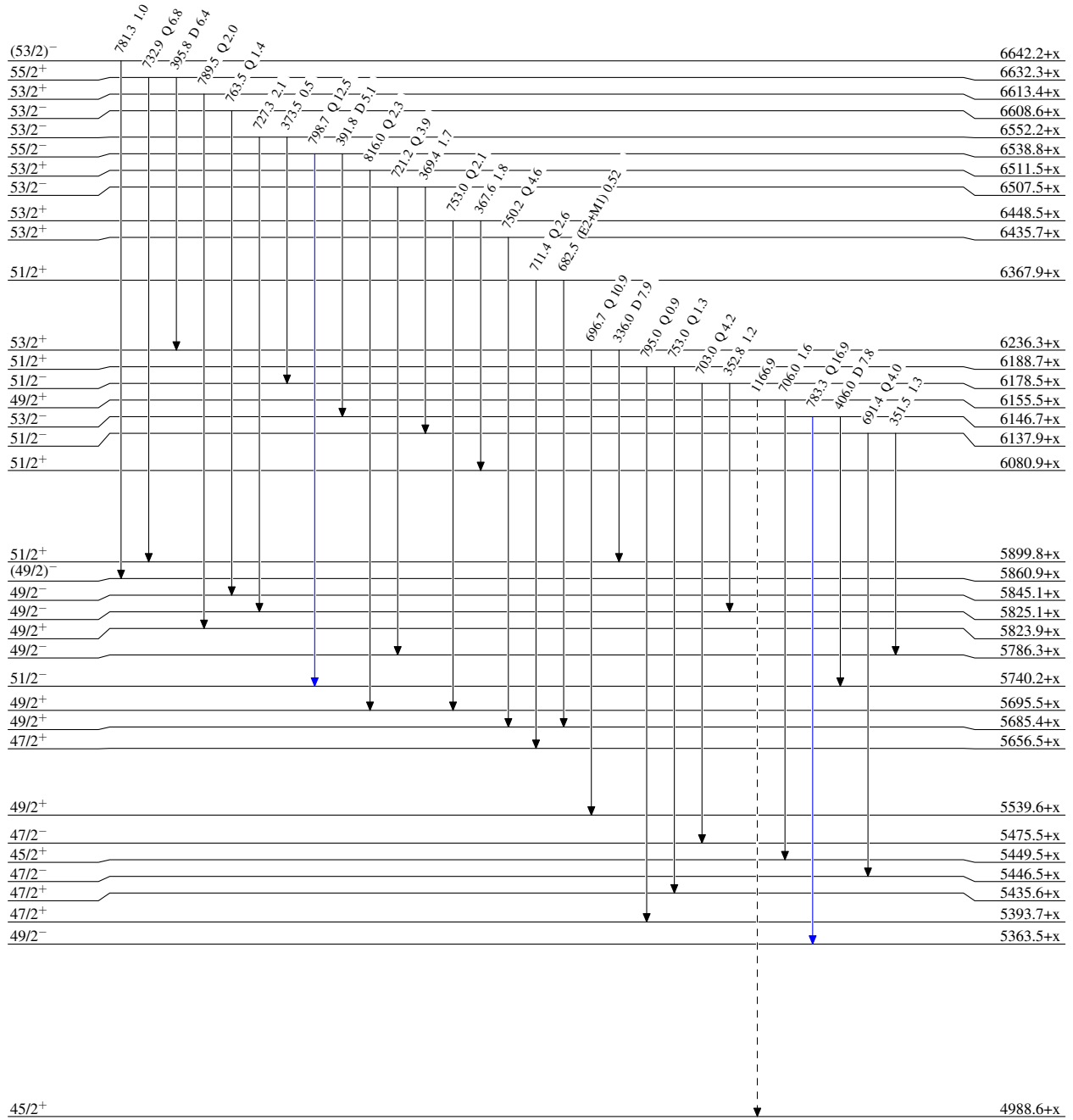
$^{139}\text{La}(^{30}\text{Si},4n\gamma)$  2004Sc14,2003Sc02,2005An04

Legend

Level Scheme (continued)

Intensities: Relative  $I_\gamma$ 

- $\longrightarrow$   $I_\gamma < 2\% \times I_\gamma^{\max}$   
 $\longrightarrow$   $I_\gamma < 10\% \times I_\gamma^{\max}$   
 $\longrightarrow$   $I_\gamma > 10\% \times I_\gamma^{\max}$   
 $\cdots\cdots\cdots$   $\gamma$  Decay (Uncertain)

 $^{165}_{71}\text{Lu}_{94}$

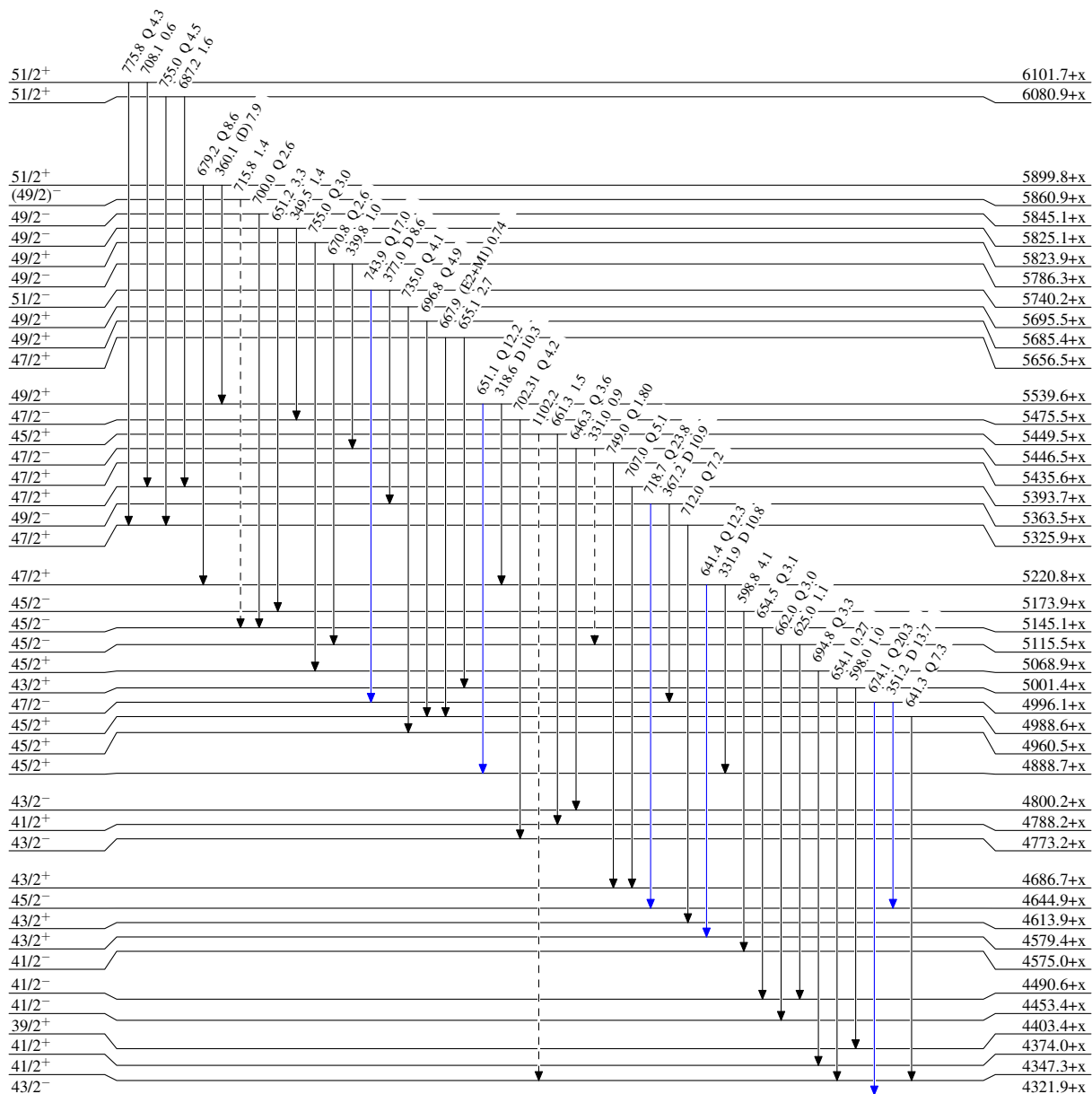
$^{139}\text{La}(^{30}\text{Si},4n\gamma)$  2004Sc14,2003Sc02,2005An04

Legend

## Level Scheme (continued)

Intensities: Relative  $I_\gamma$ 

- $\longrightarrow$   $I_\gamma < 2\% \times I_\gamma^{\max}$   
 $\longrightarrow$   $I_\gamma < 10\% \times I_\gamma^{\max}$   
 $\longrightarrow$   $I_\gamma > 10\% \times I_\gamma^{\max}$   
 $-\cdots-\cdots$   $\gamma$  Decay (Uncertain)

 $^{165}_{71}\text{Lu}_{94}$

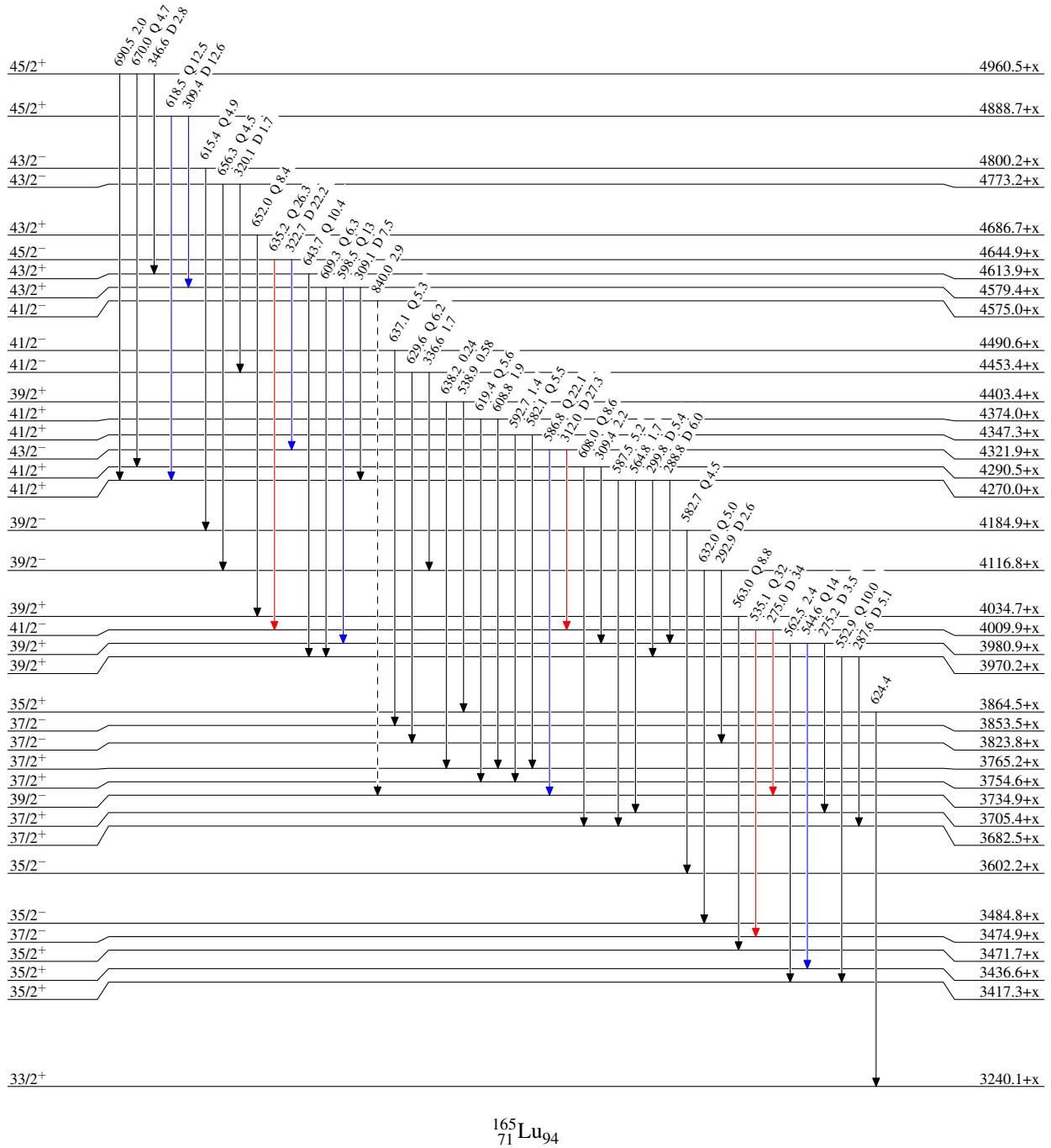
$^{139}\text{La}(^{30}\text{Si},4n\gamma)$  2004Sc14,2003Sc02,2005An04

Legend

## Level Scheme (continued)

Intensities: Relative  $I_\gamma$ 

- $\longrightarrow$   $I_\gamma < 2\% \times I_\gamma^{\max}$   
 $\longrightarrow$   $I_\gamma < 10\% \times I_\gamma^{\max}$   
 $\longrightarrow$   $I_\gamma > 10\% \times I_\gamma^{\max}$   
 $\cdots$   $\gamma$  Decay (Uncertain)



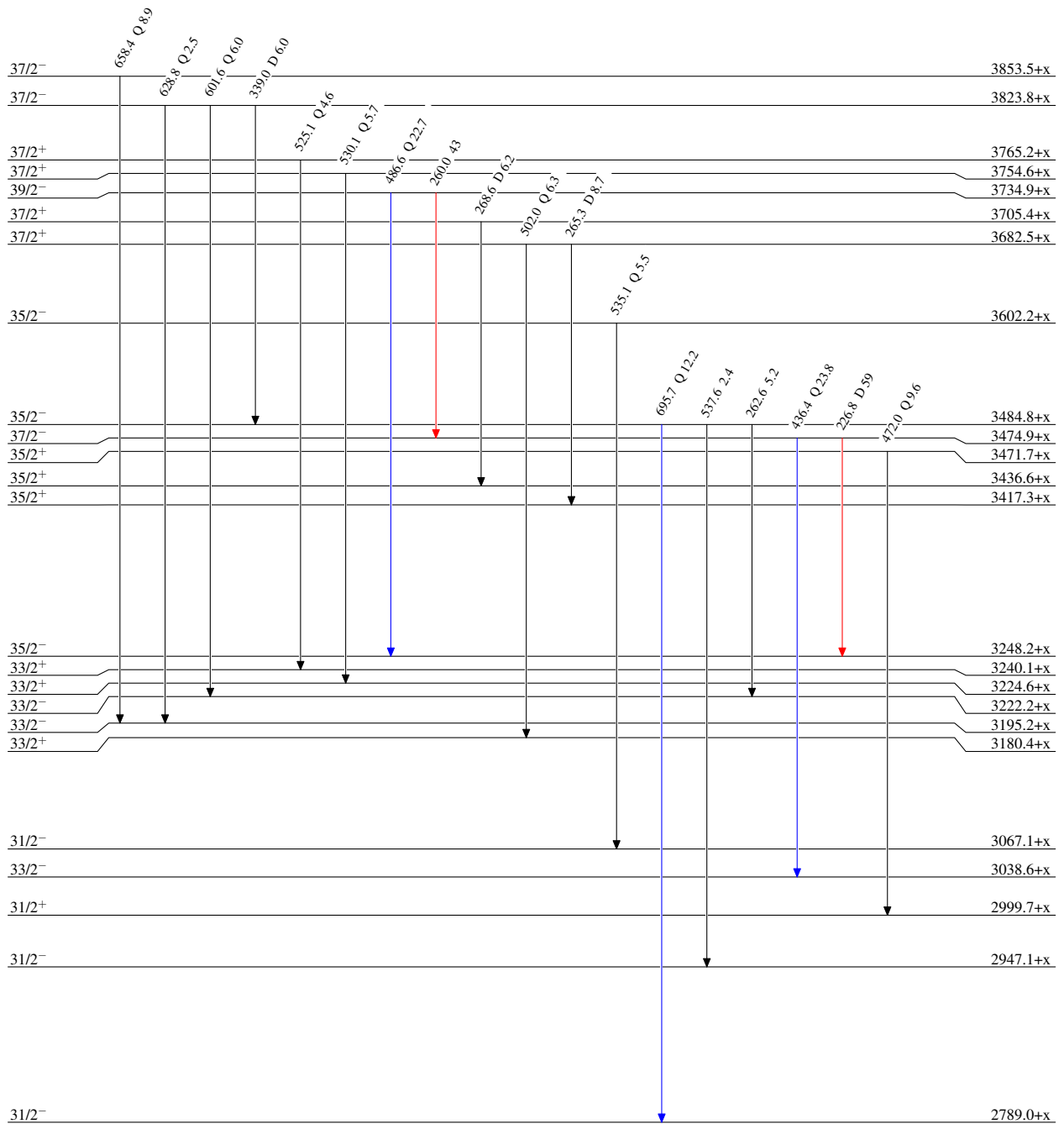
$^{139}\text{La}(^{30}\text{Si},4n\gamma)$  2004Sc14,2003Sc02,2005An04

## Level Scheme (continued)

Intensities: Relative  $I_\gamma$ 

Legend

- $\longrightarrow$   $I_\gamma < 2\% \times I_\gamma^{\max}$   
 $\longrightarrow$   $I_\gamma < 10\% \times I_\gamma^{\max}$   
 $\longrightarrow$   $I_\gamma > 10\% \times I_\gamma^{\max}$

 $^{165}_{71}\text{Lu}_{94}$

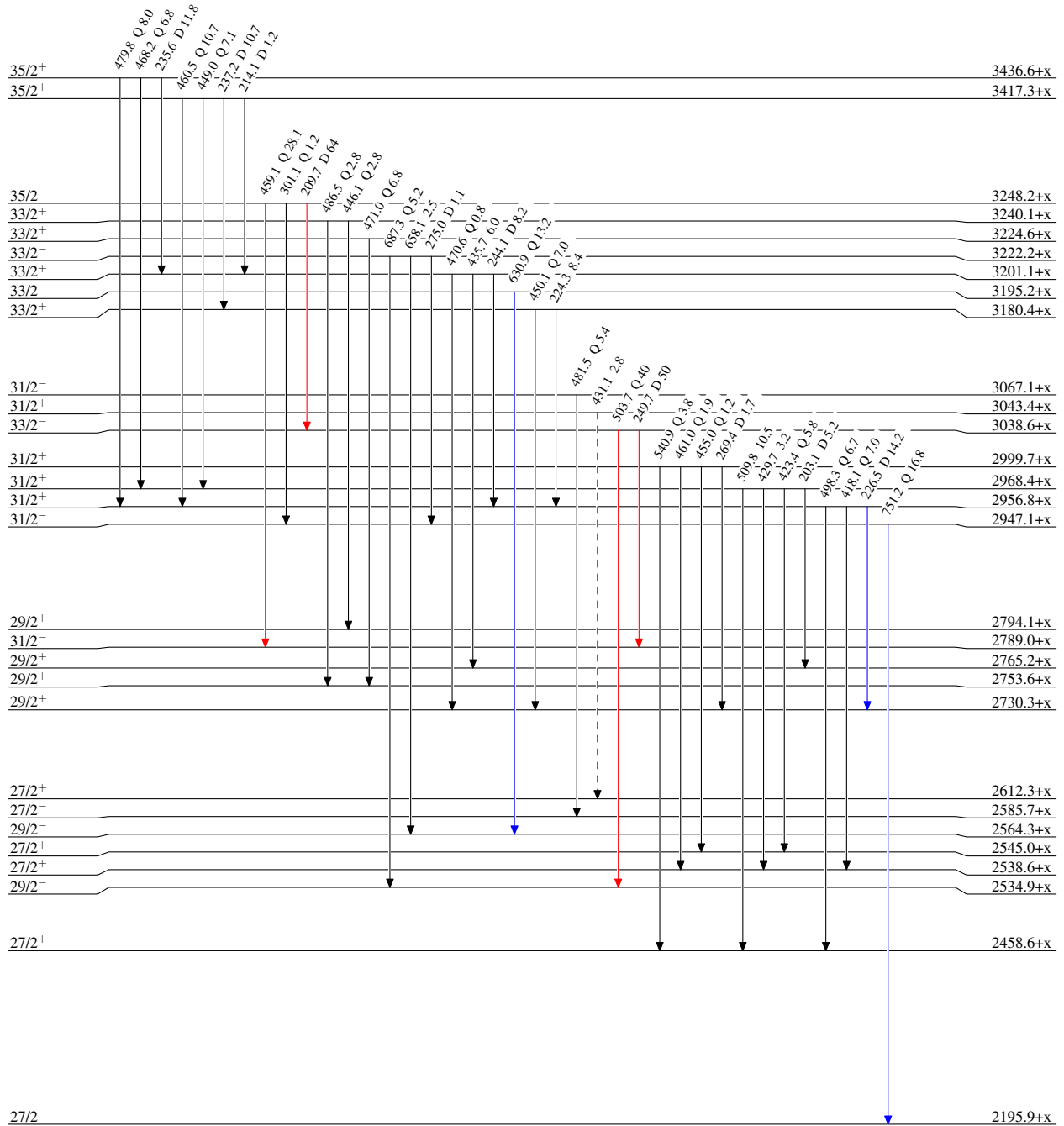
$^{139}\text{La}(^{30}\text{Si},4n\gamma)$  2004Sc14,2003Sc02,2005An04

Legend

Level Scheme (continued)

Intensities: Relative  $I_\gamma$ 

- $\longrightarrow$   $I_\gamma < 2\% \times I_\gamma^{\max}$   
 $\longrightarrow$   $I_\gamma < 10\% \times I_\gamma^{\max}$   
 $\longrightarrow$   $I_\gamma > 10\% \times I_\gamma^{\max}$   
 $\cdots\cdots\cdots$   $\gamma$  Decay (Uncertain)

 $^{165}_{71}\text{Lu}_{94}$

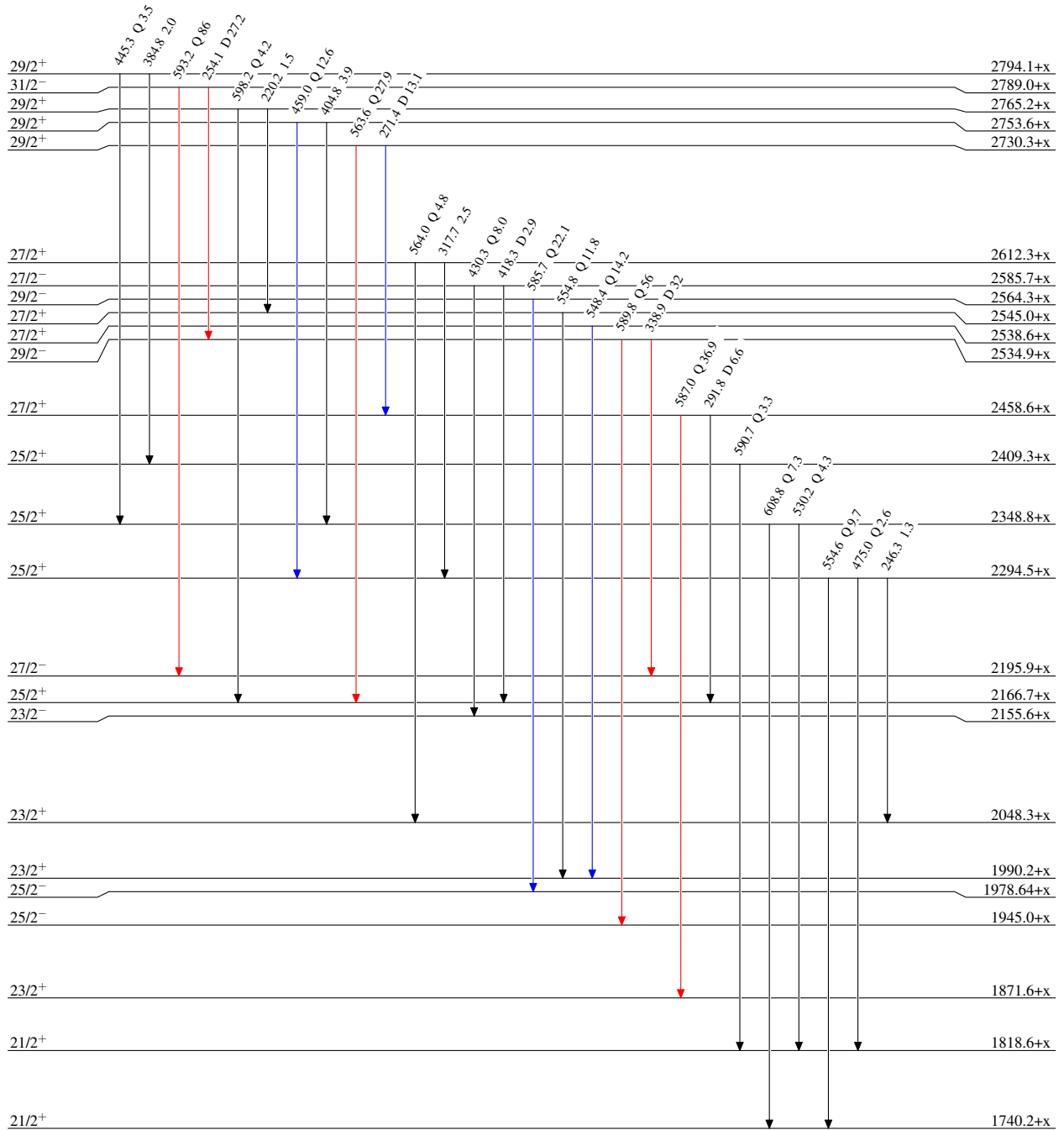
$^{139}\text{La}(^{30}\text{Si},4n\gamma)$  2004Sc14,2003Sc02,2005An04

## Level Scheme (continued)

Intensities: Relative  $I_\gamma$ 

## Legend

- $\longrightarrow$   $I_\gamma < 2\% \times I_\gamma^{\max}$   
 $\longrightarrow$   $I_\gamma < 10\% \times I_\gamma^{\max}$   
 $\longrightarrow$   $I_\gamma > 10\% \times I_\gamma^{\max}$

 $^{165}_{71}\text{Lu}_{94}$

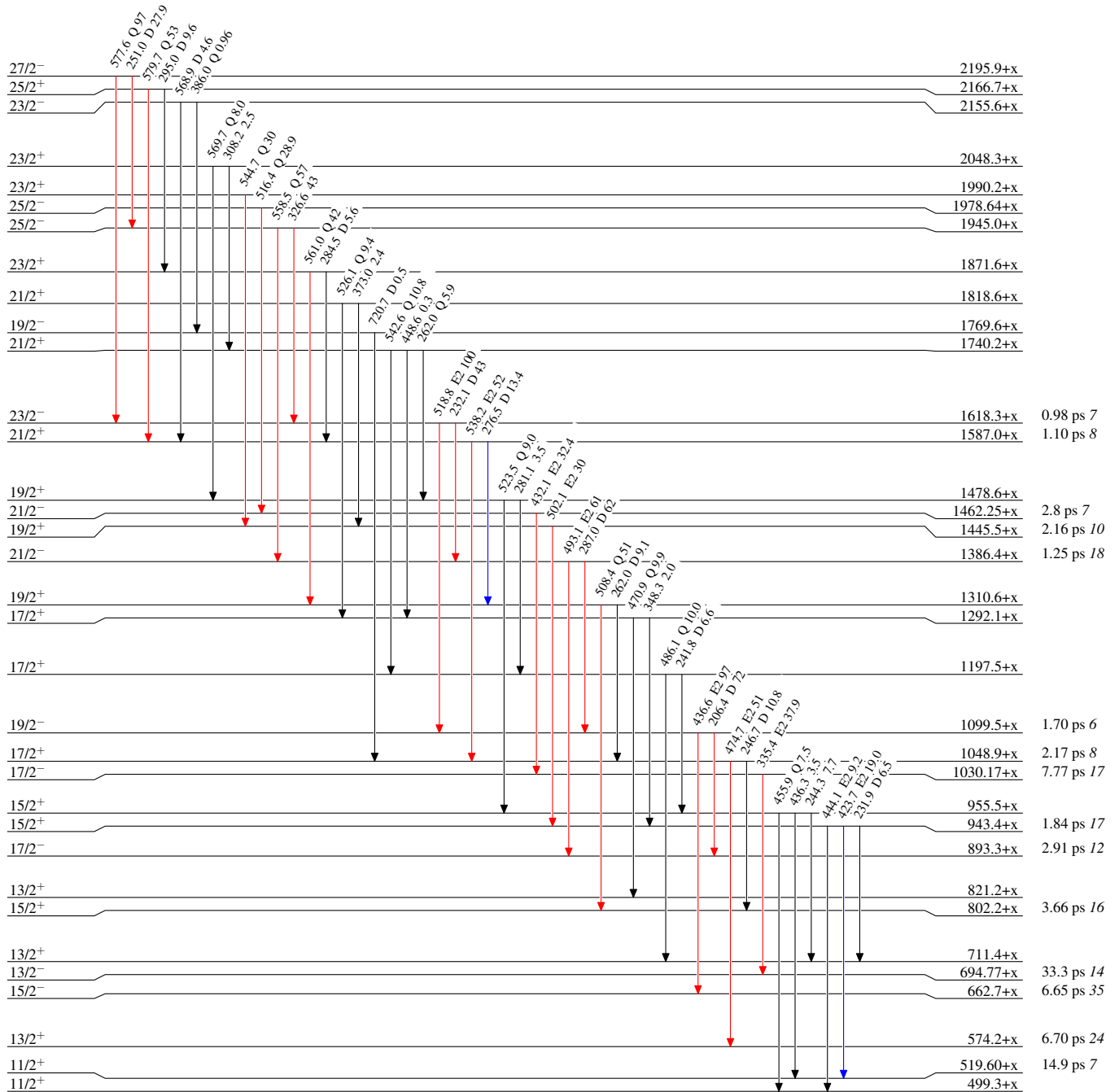
$^{139}\text{La}(^{30}\text{Si},4n\gamma)$  2004Sc14,2003Sc02,2005An04

## Level Scheme (continued)

Intensities: Relative  $I_\gamma$ 

Legend

- $\longrightarrow$   $I_\gamma < 2\% \times I_\gamma^{\text{max}}$   
 $\longrightarrow$   $I_\gamma < 10\% \times I_\gamma^{\text{max}}$   
 $\longrightarrow$   $I_\gamma > 10\% \times I_\gamma^{\text{max}}$

 $^{165}_{71}\text{Lu}_{94}$



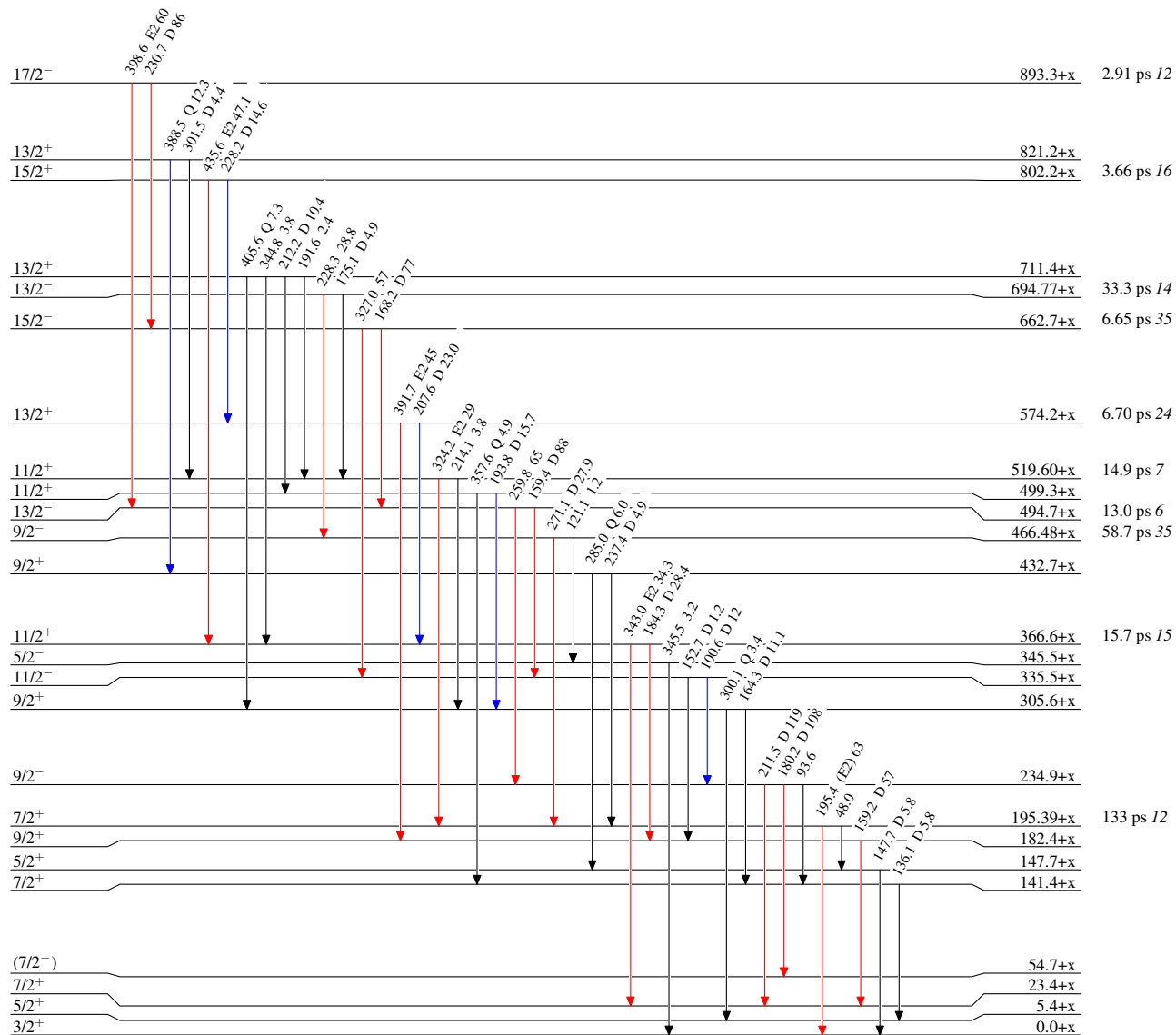
$^{139}\text{La}(^{30}\text{Si},4n\gamma)$  2004Sc14,2003Sc02,2005An04

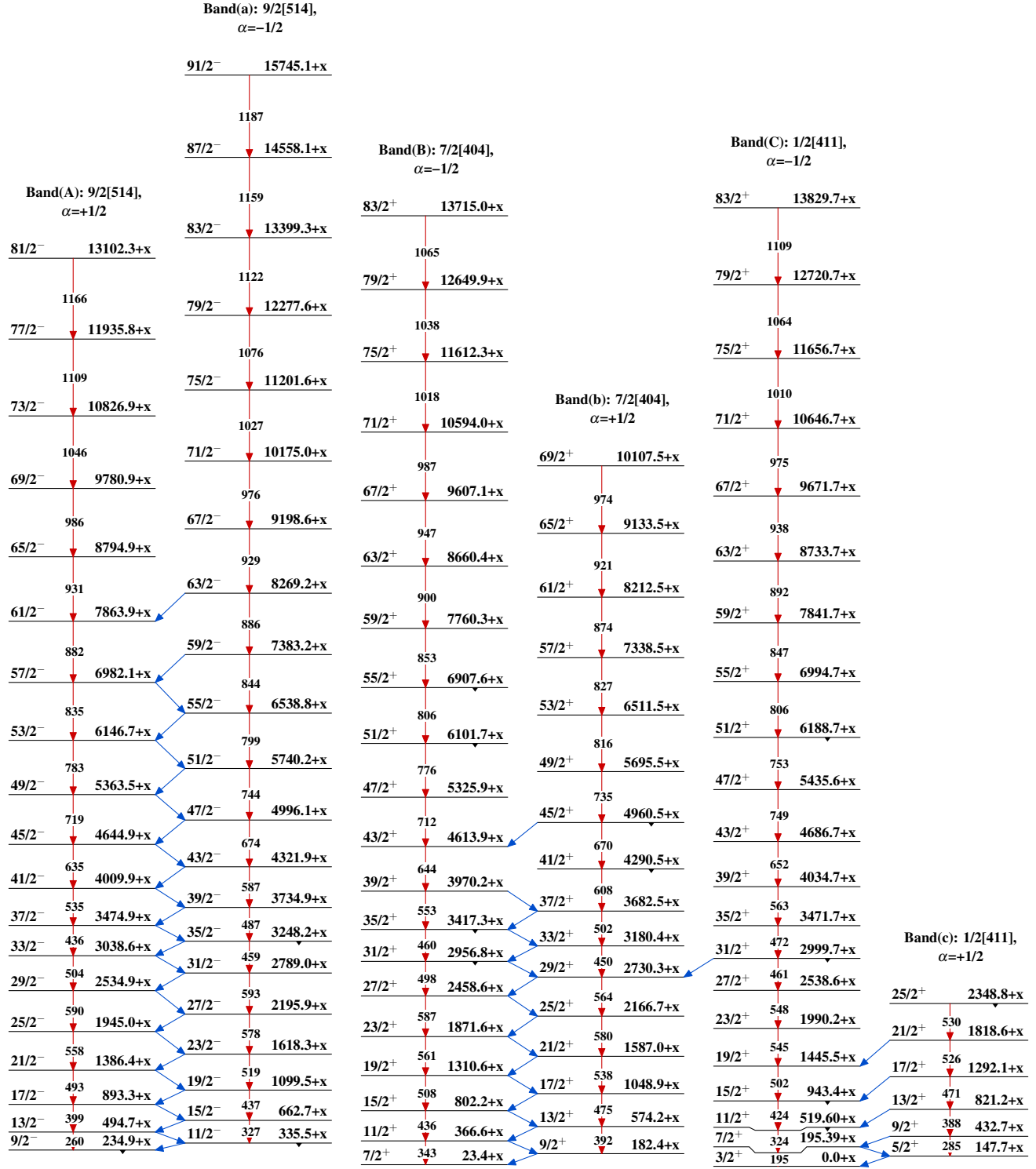
## Level Scheme (continued)

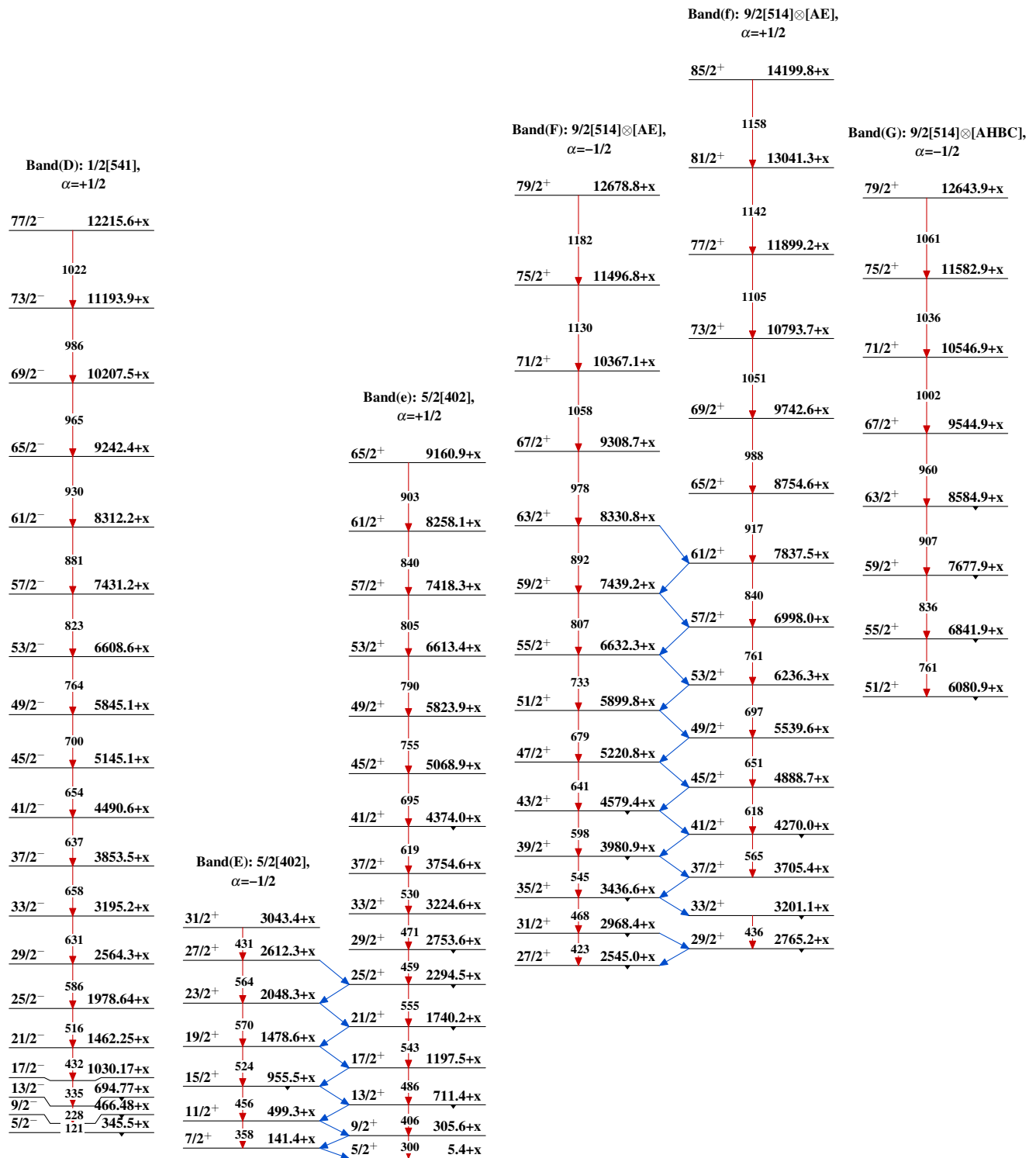
Intensities: Relative  $I_\gamma$ 

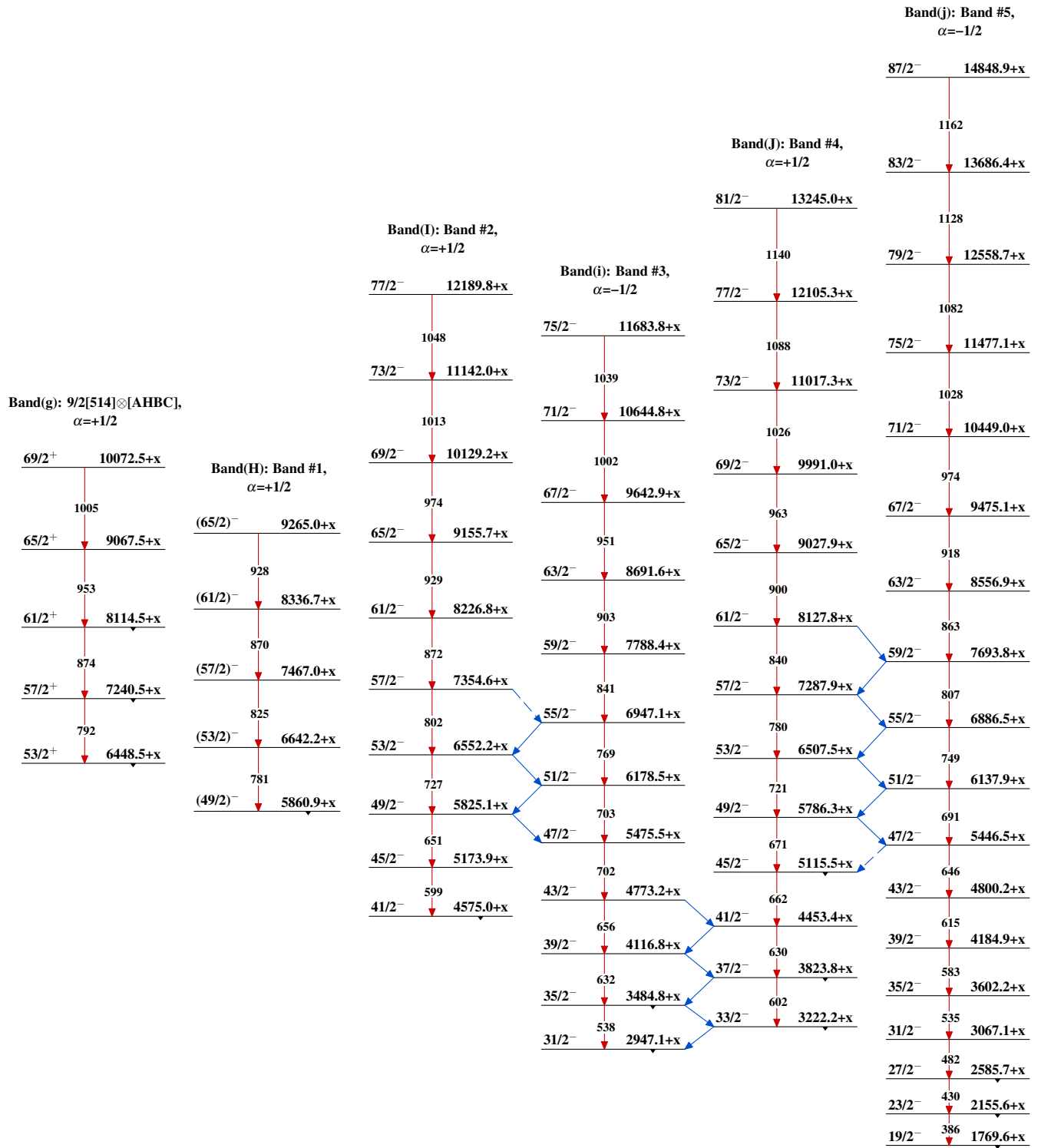
Legend

- $\longrightarrow$   $I_\gamma < 2\% \times I_\gamma^{\max}$   
 $\longrightarrow$   $I_\gamma < 10\% \times I_\gamma^{\max}$   
 $\longrightarrow$   $I_\gamma > 10\% \times I_\gamma^{\max}$

 $^{165}_{71}\text{Lu}_{94}$

$^{139}\text{La}(^{30}\text{Si},4n\gamma)$  2004Sc14,2003Sc02,2005An04

$^{139}\text{La}(^{30}\text{Si},4n\gamma)$  2004Sc14,2003Sc02,2005An04 (continued)

$^{139}\text{La}(^{30}\text{Si},4n\gamma)$  2004Sc14,2003Sc02,2005An04 (continued)

$^{139}\text{La}(^{30}\text{Si},4n\gamma)$  2004Sc14,2003Sc02,2005An04 (continued)

Band(K): Zero-phonon wobbling-mode (Triaxial) SD-1 band (2004Sc14, 2003Sc02,1995Sc39)		Band(L): One-phonon wobbling mode (Triaxial) SD-2 band (2004Sc14, 2003Sc02)		Band(M): Two-phonon wobbling mode (Triaxial) SD-3 band (2004Sc14, 2003Sc02)		Band(N): Triaxial SD-4 band (2004Sc14)		Band(O): Triaxial SD-5 band (2004Sc14)	
89/2 <sup>+</sup>	15624+x	87/2 <sup>+</sup>	1254 15209+x	81/2 <sup>+</sup>	13592.5+x	J+16	6631.2+y	J1+14	6206.3+z
85/2 <sup>+</sup>	1239 14384.9+x	83/2 <sup>+</sup>	1200 14009.0+x	77/2 <sup>+</sup>	1107 12485.0+x	J+14	1037 5594.2+y	J1+12	1063 5143.3+z
81/2 <sup>+</sup>	1189 13195.6+x	79/2 <sup>+</sup>	1151 12858.0+x	73/2 <sup>+</sup>	1059 11425.9+x	J+12	975 4618.9+y	J1+10	1002 4140.8+z
77/2 <sup>+</sup>	1133 12062.1+x	75/2 <sup>+</sup>	1090 11768.4+x	69/2 <sup>+</sup>	1011 10414.8+x	J+10	916 3703.3+y	J1+8	944 3197.1+z
73/2 <sup>+</sup>	1076 10985.9+x	71/2 <sup>+</sup>	1035 10733.3+x	65/2 <sup>+</sup>	958 9457.3+x	J+8	856 2847.3+y	J1+6	886 2311.3+z
69/2 <sup>+</sup>	1019 9966.5+x	67/2 <sup>+</sup>	981 9752.2+x	61/2 <sup>+</sup>	905 8552.6+x	J+6	798 2049.0+y	J1+4	829 1482.4+z
65/2 <sup>+</sup>	963 9003.5+x	63/2 <sup>+</sup>	927 8825.6+x	57/2 <sup>+</sup>	850 7703.0+x	J+4	741 1308.3+y	J1+2	770 712.2+z
61/2 <sup>+</sup>	909 8094.7+x	59/2 <sup>+</sup>	872 7953.5+x	53/2 <sup>+</sup>	799 6904.3+x	J+2	684 624.5+y	J1	712 z
57/2 <sup>+</sup>	856 7239.0+x	55/2 <sup>+</sup>	820 7133.6+x	49/2 <sup>+</sup>	749 6155.5+x	J	624 y		
53/2 <sup>+</sup>	803 6435.7+x	51/2 <sup>+</sup>	766 6367.9+x	45/2 <sup>+</sup>	706 5449.5+x				
49/2 <sup>+</sup>	750 5685.4+x	47/2 <sup>+</sup>	711 5656.5+x	41/2 <sup>+</sup>	661 4788.2+x				
45/2 <sup>+</sup>	697 4988.6+x	43/2 <sup>+</sup>	655 5001.4+x						
41/2 <sup>+</sup>	641 4347.3+x	39/2 <sup>+</sup>	598 4403.4+x						
37/2 <sup>+</sup>	582 3765.2+x	35/2 <sup>+</sup>	539 3864.5+x						
33/2 <sup>+</sup>	525 3240.1+x								
29/2 <sup>+</sup>	446 2794.1+x								
25/2 <sup>+</sup>	385 2409.3+x								

$^{150}\text{Sm}(^{19}\text{F},4n\gamma)$  1995Sc39

Type	Author	History	Citation	Literature Cutoff Date
Full Evaluation	Ashok K. Jain and Anwesha Ghosh, Balraj Singh		NDS 107, 1075 (2006)	15-Apr-2006

1995Sc39:  $^{150}\text{Sm}(^{19}\text{F},4n\gamma)$  E=95 MeV. Measured  $E\gamma$ ,  $I\gamma$ ,  $\gamma\gamma$  coin. Deduced a superdeformed structure and other normal-deformed bands. The authors also report data from  $^{138}\text{Ba}(^{31}\text{P},4n\gamma)$  reaction.

Other: 1983RoZW.

Theory for SD band: 1999Xi02.

 $^{165}\text{Lu}$  Levels

E(level) <sup>†</sup>	J <sup>π</sup> <sup>‡</sup>	E(level) <sup>†</sup>	J <sup>π</sup> <sup>‡</sup>	E(level) <sup>†</sup>	J <sup>π</sup> <sup>‡</sup>	E(level) <sup>†</sup>	J <sup>π</sup> <sup>‡</sup>
0.0+x <sup>@</sup>	3/2 <sup>+</sup>	1291.99+x <sup>&amp;</sup> 19	17/2 <sup>+</sup>	2730.16+x <sup>d</sup> 24	29/2 <sup>+</sup>	5325.7+x <sup>e</sup> 16	47/2 <sup>+</sup>
5.4+x <sup>b</sup> 2	5/2 <sup>+</sup>	1310.5+x <sup>e</sup> 3	19/2 <sup>+</sup>	2753.44+x <sup>b</sup> 24	29/2 <sup>+</sup>	5539.4+x <sup>f</sup> 4	49/2 <sup>+</sup>
23.2+x <sup>e</sup> 3	7/2 <sup>+</sup>	1445.39+x <sup>a</sup> 20	19/2 <sup>+</sup>	2956.62+x <sup>e</sup> 24	31/2 <sup>+</sup>	5899.6+x <sup>g</sup> 4	51/2 <sup>+</sup>
141.44+x <sup>c</sup> 20	7/2 <sup>+</sup>	1478.39+x <sup>c</sup> 21	19/2 <sup>+</sup>	3180.3+x <sup>d</sup> 3	33/2 <sup>+</sup>	5904.0+x <sup>h</sup> 6	(49/2 <sup>+</sup> )
147.70+x <sup>&amp;</sup> 13	5/2 <sup>+</sup>	1587.0+x <sup>d</sup> 3	21/2 <sup>+</sup>	3200.9+x <sup>f</sup> 3	33/2 <sup>+</sup>	6101.5+x <sup>e</sup> 19	51/2 <sup>+</sup>
182.2+x <sup>d</sup> 3	9/2 <sup>+</sup>	1740.01+x <sup>b</sup> 21	21/2 <sup>+</sup>	3233.5+x <sup>h</sup> 4	(33/2 <sup>+</sup> )	6236.0+x <sup>f</sup> 4	53/2 <sup>+</sup>
195.39+x <sup>a</sup> 11	7/2 <sup>+</sup>	1818.51+x <sup>&amp;</sup> 22	21/2 <sup>+</sup>	3417.2+x <sup>e</sup> 3	35/2 <sup>+</sup>	6632.0+x <sup>g</sup> 4	55/2 <sup>+</sup>
305.56+x <sup>b</sup> 19	9/2 <sup>+</sup>	1871.5+x <sup>e</sup> 3	23/2 <sup>+</sup>	3436.5+x <sup>g</sup> 3	35/2 <sup>+</sup>	6707.5+x <sup>h</sup> 6	(53/2 <sup>+</sup> )
366.4+x <sup>e</sup> 3	11/2 <sup>+</sup>	1879.2+x <sup>#</sup> 7	(21/2 <sup>+</sup> )	3682.4+x <sup>d</sup> 3	37/2 <sup>+</sup>	6997.6+x <sup>f</sup> 4	57/2 <sup>+</sup>
432.70+x <sup>b</sup> 14	9/2 <sup>+</sup>	1990.11+x <sup>a</sup> 23	23/2 <sup>+</sup>	3705.2+x <sup>f</sup> 4	37/2 <sup>+</sup>	7439.0+x <sup>g</sup> 4	59/2 <sup>+</sup>
499.21+x <sup>c</sup> 19	11/2 <sup>+</sup>	2048.1+x <sup>c</sup> 3	23/2 <sup>+</sup>	3815.9+x <sup>h</sup> 4	(37/2 <sup>+</sup> )	7562.8+x <sup>h</sup> 7	(57/2 <sup>+</sup> )
519.58+x <sup>a</sup> 15	11/2 <sup>+</sup>	2166.7+x <sup>d</sup> 3	25/2 <sup>+</sup>	3970.0+x <sup>e</sup> 6	39/2 <sup>+</sup>	7837.4+x <sup>f</sup> 4	61/2 <sup>+</sup>
573.9+x <sup>d</sup> 3	13/2 <sup>+</sup>	2222.7+x <sup>#</sup> 6	25/2 <sup>+</sup>	3981.0+x <sup>g</sup> 3	39/2 <sup>+</sup>	8330.7+x <sup>g</sup> 5	63/2 <sup>+</sup>
711.21+x <sup>b</sup> 19	13/2 <sup>+</sup>	2263.8+x <sup>h</sup> 4	(25/2 <sup>+</sup> )	4269.8+x <sup>f</sup> 3	41/2 <sup>+</sup>	8470.3+x <sup>h</sup> 8	(61/2 <sup>+</sup> )
802.0+x <sup>e</sup> 3	15/2 <sup>+</sup>	2294.36+x <sup>b</sup> 22	25/2 <sup>+</sup>	4457.2+x <sup>h</sup> 5	(41/2 <sup>+</sup> )	8755.1+x <sup>f</sup> 5	65/2 <sup>+</sup>
821.13+x <sup>&amp;</sup> 18	13/2 <sup>+</sup>	2348.73+x <sup>&amp;</sup> 23	25/2 <sup>+</sup>	4579.2+x <sup>g</sup> 3	43/2 <sup>+</sup>	9305.7+x <sup>g</sup> 6	67/2 <sup>+</sup>
943.32+x <sup>a</sup> 17	15/2 <sup>+</sup>	2458.5+x <sup>e</sup> 3	27/2 <sup>+</sup>	4613.7+x <sup>e</sup> 12	43/2 <sup>+</sup>	9432.6+x <sup>h</sup> 9	(65/2 <sup>+</sup> )
955.32+x <sup>c</sup> 20	15/2 <sup>+</sup>	2538.56+x <sup>a</sup> 24	27/2 <sup>+</sup>	4888.5+x <sup>f</sup> 3	45/2 <sup>+</sup>		
1048.7+x <sup>d</sup> 3	17/2 <sup>+</sup>	2612.2+x <sup>c</sup> 4	27/2 <sup>+</sup>	5153.3+x <sup>h</sup> 5	(45/2 <sup>+</sup> )		
1197.29+x <sup>b</sup> 20	17/2 <sup>+</sup>	2709.1+x <sup>h</sup> 4	(29/2 <sup>+</sup> )	5220.6+x <sup>g</sup> 3	47/2 <sup>+</sup>		

<sup>†</sup> From least-squares fit to  $E\gamma$ 's.

<sup>‡</sup> From 1995Sc39, based on rotational-band assignments and  $\gamma(\theta)$  data in earlier (1988Fr22,1984Jo05) studies. The assignments are consistent with those in 'Adopted Levels', except that all are given in parentheses there due to lack of strong supporting arguments.

<sup>#</sup> Level not supported. In more recent studies (2004Sc14), the transition connected with this level placed elsewhere. IT is omitted in 'Adopted Levels'.

<sup>@</sup> x  $\approx$  20 keV; see 'Adopted Levels' for comments.

<sup>&</sup> Band(A): 1/2[411] band,  $\alpha=+1/2$ .

<sup>a</sup> Band(a): 1/2[411] band,  $\alpha=-1/2$ .

<sup>b</sup> Band(B): 5/2[402] band,  $\alpha=+1/2$ .

<sup>c</sup> Band(b): 5/2[402] band,  $\alpha=-1/2$ .

<sup>d</sup> Band(C): 7/2[404] band,  $\alpha=+1/2$ .

<sup>e</sup> Band(c): 7/2[404] band,  $\alpha=-1/2$ .

<sup>f</sup> Band(D): 3-quasiparticle band,  $\alpha=+1/2$ .

<sup>g</sup> Band(d): 3-quasiparticle band,  $\alpha=-1/2$ .

<sup>h</sup> Band(E): SD (triaxial), 1/2[660] band,  $\alpha=+1/2$ .

$^{150}\text{Sm}(^{19}\text{F},4n\gamma)$  **1995Sc39** (continued) $\gamma(^{165}\text{Lu})$ 

$E_\gamma^\dagger$	$I_\gamma$	$E_i(\text{level})$	$J_i^\pi$	$E_f$	$J_f^\pi$
136.10 12	10.0 10	141.44+x	7/2 <sup>+</sup>	5.4+x	5/2 <sup>+</sup>
147.67 14	10.0 10	147.70+x	5/2 <sup>+</sup>	0.0+x	3/2 <sup>+</sup>
159.18 11	10.0 10	182.2+x	9/2 <sup>+</sup>	23.2+x	7/2 <sup>+</sup>
164.28 12	62.9 17	305.56+x	9/2 <sup>+</sup>	141.44+x	7/2 <sup>+</sup>
184.27 11	124.3 22	366.4+x	11/2 <sup>+</sup>	182.2+x	9/2 <sup>+</sup>
193.80 12	124.3 <sup>‡</sup> 22	499.21+x	11/2 <sup>+</sup>	305.56+x	9/2 <sup>+</sup>
195.41 11	114 4	195.39+x	7/2 <sup>+</sup>	0.0+x	3/2 <sup>+</sup>
207.59 12	92.4 13	573.9+x	13/2 <sup>+</sup>	366.4+x	11/2 <sup>+</sup>
212.17 14	41.3 10	711.21+x	13/2 <sup>+</sup>	499.21+x	11/2 <sup>+</sup>
214.07 16	16.1 5	519.58+x	11/2 <sup>+</sup>	305.56+x	9/2 <sup>+</sup>
214.1 <sup>&amp;</sup> 3	16.2 5	3417.2+x	35/2 <sup>+</sup>	3200.9+x	33/2 <sup>+</sup>
224.33 <sup>@</sup> 16	21.6 5	3180.3+x	33/2 <sup>+</sup>	2956.62+x	31/2 <sup>+</sup>
226.52 14	41.0 8	2956.62+x	31/2 <sup>+</sup>	2730.16+x	29/2 <sup>+</sup>
228.18 14	67.0 10	802.0+x	15/2 <sup>+</sup>	573.9+x	13/2 <sup>+</sup>
231.88 20	19.8 6	943.32+x	15/2 <sup>+</sup>	711.21+x	13/2 <sup>+</sup>
235.60 3	31.1 6	3436.5+x	35/2 <sup>+</sup>	3200.9+x	33/2 <sup>+</sup>
237.23 14	24.7 6	3417.2+x	35/2 <sup>+</sup>	3180.3+x	33/2 <sup>+</sup>
237.39 16	20.4 9	432.70+x	9/2 <sup>+</sup>	195.39+x	7/2 <sup>+</sup>
241.82 15	25.6 6	1197.29+x	17/2 <sup>+</sup>	955.32+x	15/2 <sup>+</sup>
244.11 14	31.0 6	3200.9+x	33/2 <sup>+</sup>	2956.62+x	31/2 <sup>+</sup>
244.33 15	26.0 7	955.32+x	15/2 <sup>+</sup>	711.21+x	13/2 <sup>+</sup>
246.69 13	48.8 7	1048.7+x	17/2 <sup>+</sup>	802.0+x	15/2 <sup>+</sup>
262.00 14	43.3 8	1310.5+x	19/2 <sup>+</sup>	1048.7+x	17/2 <sup>+</sup>
262.05 18	19.3 6	1740.01+x	21/2 <sup>+</sup>	1478.39+x	19/2 <sup>+</sup>
265.33 14	22.5 5	3682.4+x	37/2 <sup>+</sup>	3417.2+x	35/2 <sup>+</sup>
268.63 20	18.0 5	3705.2+x	37/2 <sup>+</sup>	3436.5+x	35/2 <sup>+</sup>
271.40 14	40.0 6	2730.16+x	29/2 <sup>+</sup>	2458.5+x	27/2 <sup>+</sup>
275.2 10	9.1 4	3981.0+x	39/2 <sup>+</sup>	3705.2+x	37/2 <sup>+</sup>
276.52 13	49.0 8	1587.0+x	21/2 <sup>+</sup>	1310.5+x	19/2 <sup>+</sup>
281.10 16	19.2 6	1478.39+x	19/2 <sup>+</sup>	1197.29+x	17/2 <sup>+</sup>
284.49 15	24.7 6	1871.5+x	23/2 <sup>+</sup>	1587.0+x	21/2 <sup>+</sup>
284.96 17	19.5 9	432.70+x	9/2 <sup>+</sup>	147.70+x	5/2 <sup>+</sup>
287.6 10	15.7 6	3970.0+x	39/2 <sup>+</sup>	3682.4+x	37/2 <sup>+</sup>
288.46 15	13.4 5	4269.8+x	41/2 <sup>+</sup>	3981.0+x	39/2 <sup>+</sup>
291.80 14	26.4 6	2458.5+x	27/2 <sup>+</sup>	2166.7+x	25/2 <sup>+</sup>
295.04 14	30.6 <sup>‡</sup> 6	2166.7+x	25/2 <sup>+</sup>	1871.5+x	23/2 <sup>+</sup>
299.9 10	12.4 5	4269.8+x	41/2 <sup>+</sup>	3970.0+x	39/2 <sup>+</sup>
300.12 15	23.6 10	305.56+x	9/2 <sup>+</sup>	5.4+x	5/2 <sup>+</sup>
301.5 10	18.3 6	821.13+x	13/2 <sup>+</sup>	519.58+x	11/2 <sup>+</sup>
309.08 20	18.3 8	4579.2+x	43/2 <sup>+</sup>	4269.8+x	41/2 <sup>+</sup>
309.36 15	28.9 8	4888.5+x	45/2 <sup>+</sup>	4579.2+x	43/2 <sup>+</sup>
318.58 13	21.3 4	5539.4+x	49/2 <sup>+</sup>	5220.6+x	47/2 <sup>+</sup>
324.18 12	111.5 18	519.58+x	11/2 <sup>+</sup>	195.39+x	7/2 <sup>+</sup>
331.86 14	22.6 5	5220.6+x	47/2 <sup>+</sup>	4888.5+x	45/2 <sup>+</sup>
335.99 14	23.8 <sup>‡</sup> 5	6236.0+x	53/2 <sup>+</sup>	5899.6+x	51/2 <sup>+</sup>
343.03 12	146 3	366.4+x	11/2 <sup>+</sup>	23.2+x	7/2 <sup>+</sup>
343.5 3	10.0 10	2222.7+x	25/2 <sup>+</sup>	1879.2+x	(21/2 <sup>+</sup> )
348.32 20	12.3 5	1291.99+x	17/2 <sup>+</sup>	943.32+x	15/2 <sup>+</sup>
357.56 16	29.6 <sup>‡</sup> 9	499.21+x	11/2 <sup>+</sup>	141.44+x	7/2 <sup>+</sup>
360.06 14	13.9 4	5899.6+x	51/2 <sup>+</sup>	5539.4+x	49/2 <sup>+</sup>
365.94 20	6.1 4	6997.6+x	57/2 <sup>+</sup>	6632.0+x	55/2 <sup>+</sup>
388.46 14	36.4 9	821.13+x	13/2 <sup>+</sup>	432.70+x	9/2 <sup>+</sup>
391.71 11	180.9 24	573.9+x	13/2 <sup>+</sup>	182.2+x	9/2 <sup>+</sup>

Continued on next page (footnotes at end of table)

$^{150}\text{Sm}(^{19}\text{F},4\text{n}\gamma)$  **1995Sc39** (continued) $\gamma(^{165}\text{Lu})$  (continued)

$E_\gamma$ †	$I_\gamma$	$E_i(\text{level})$	$J_i^\pi$	$E_f$	$J_f^\pi$
395.84 18	13.7 ‡ 5	6632.0+x	55/2 <sup>+</sup>	6236.0+x	53/2 <sup>+</sup>
398.62 20	11.1 ‡ 5	7837.4+x	61/2 <sup>+</sup>	7439.0+x	59/2 <sup>+</sup>
404.85 20	18.9 8	2753.44+x	29/2 <sup>+</sup>	2348.73+x	25/2 <sup>+</sup>
405.57 16	26.3 9	711.21+x	13/2 <sup>+</sup>	305.56+x	9/2 <sup>+</sup>
418.06 14	20.3 4	2956.62+x	31/2 <sup>+</sup>	2538.56+x	27/2 <sup>+</sup>
423.70 12	88.5 12	943.32+x	15/2 <sup>+</sup>	519.58+x	11/2 <sup>+</sup>
435.61 12	201.7 24	802.0+x	15/2 <sup>+</sup>	366.4+x	11/2 <sup>+</sup>
435.82 16	27.9 7	2730.16+x	29/2 <sup>+</sup>	2294.36+x	25/2 <sup>+</sup>
436.3 4	16.7 8	955.32+x	15/2 <sup>+</sup>	519.58+x	11/2 <sup>+</sup>
442.0 3	5.8 ‡ 4	7439.0+x	59/2 <sup>+</sup>	6997.6+x	57/2 <sup>+</sup>
444.10 15	29.8 8	943.32+x	15/2 <sup>+</sup>	499.21+x	11/2 <sup>+</sup>
445.28 24	15.6 7	2709.1+x	(29/2 <sup>+</sup> )	2263.8+x	(25/2 <sup>+</sup> )
445.4 3	4.5 6	2263.8+x	(25/2 <sup>+</sup> )	1818.51+x	21/2 <sup>+</sup>
448.6 3	5.2 5	1740.01+x	21/2 <sup>+</sup>	1291.99+x	17/2 <sup>+</sup>
450.08 13	44.2 8	3180.3+x	33/2 <sup>+</sup>	2730.16+x	29/2 <sup>+</sup>
455.88 18	27.8 9	955.32+x	15/2 <sup>+</sup>	499.21+x	11/2 <sup>+</sup>
458.97 15	45.3 10	2753.44+x	29/2 <sup>+</sup>	2294.36+x	25/2 <sup>+</sup>
460.51 15	42.3 9	3417.2+x	35/2 <sup>+</sup>	2956.62+x	31/2 <sup>+</sup>
470.65 18	35.6 9	3200.9+x	33/2 <sup>+</sup>	2730.16+x	29/2 <sup>+</sup>
470.89 15	45.2 10	1291.99+x	17/2 <sup>+</sup>	821.13+x	13/2 <sup>+</sup>
474.73 12	194.7 20	1048.7+x	17/2 <sup>+</sup>	573.9+x	13/2 <sup>+</sup>
475.01 # 24	11.3 5	2294.36+x	25/2 <sup>+</sup>	1818.51+x	21/2 <sup>+</sup>
479.83 17	27.5 8	3436.5+x	35/2 <sup>+</sup>	2956.62+x	31/2 <sup>+</sup>
480.0 4	5.7 5	3233.5+x	(33/2 <sup>+</sup> )	2753.44+x	29/2 <sup>+</sup>
486.10 15	46.7 10	1197.29+x	17/2 <sup>+</sup>	711.21+x	13/2 <sup>+</sup>
486.4 4	10.5 7	2709.1+x	(29/2 <sup>+</sup> )	2222.7+x	25/2 <sup>+</sup>
493.2 3	10.0 ‡ 6	8330.7+x	63/2 <sup>+</sup>	7837.4+x	61/2 <sup>+</sup>
498.27 18	28.4 6	2956.62+x	31/2 <sup>+</sup>	2458.5+x	27/2 <sup>+</sup>
502.04 16	36.7 9	3682.4+x	37/2 <sup>+</sup>	3180.3+x	33/2 <sup>+</sup>
502.07 12	111.3 15	1445.39+x	19/2 <sup>+</sup>	943.32+x	15/2 <sup>+</sup>
508.41 12	242.4 20	1310.5+x	19/2 <sup>+</sup>	802.0+x	15/2 <sup>+</sup>
523.49 18	34.8 12	1478.39+x	19/2 <sup>+</sup>	955.32+x	15/2 <sup>+</sup>
523.6 10	7.4 10	2263.8+x	(25/2 <sup>+</sup> )	1740.01+x	21/2 <sup>+</sup>
524.44 20	11.0 9	3233.5+x	(33/2 <sup>+</sup> )	2709.1+x	(29/2 <sup>+</sup> )
526.14 17	45.3 10	1818.51+x	21/2 <sup>+</sup>	1291.99+x	17/2 <sup>+</sup>
530.23 20	24.6 7	2348.73+x	25/2 <sup>+</sup>	1818.51+x	21/2 <sup>+</sup>
538.25 12	204.5 17	1587.0+x	21/2 <sup>+</sup>	1048.7+x	17/2 <sup>+</sup>
542.58 16	43.1 10	1740.01+x	21/2 <sup>+</sup>	1197.29+x	17/2 <sup>+</sup>
544.65 15	37.3 9	3981.0+x	39/2 <sup>+</sup>	3436.5+x	35/2 <sup>+</sup>
544.73 13	102.8 13	1990.11+x	23/2 <sup>+</sup>	1445.39+x	19/2 <sup>+</sup>
548.45 15	45.3 9	2538.56+x	27/2 <sup>+</sup>	1990.11+x	23/2 <sup>+</sup>
552.9 10	33.5 9	3970.0+x	39/2 <sup>+</sup>	3417.2+x	35/2 <sup>+</sup>
554.59 15	39.4 11	2294.36+x	25/2 <sup>+</sup>	1740.01+x	21/2 <sup>+</sup>
561.03 13	161.8 18	1871.5+x	23/2 <sup>+</sup>	1310.5+x	19/2 <sup>+</sup>
562.5 <sup>a</sup> 4	6.0 8	3981.0+x	39/2 <sup>+</sup>	3417.2+x	35/2 <sup>+</sup>
563.56 14	90.6 15	2730.16+x	29/2 <sup>+</sup>	2166.7+x	25/2 <sup>+</sup>
564.0 10	1.8 5	4269.8+x	41/2 <sup>+</sup>	3705.2+x	37/2 <sup>+</sup>
564.03 23	22.5 8	2612.2+x	27/2 <sup>+</sup>	2048.1+x	23/2 <sup>+</sup>
569.75 18	31.6 9	2048.1+x	23/2 <sup>+</sup>	1478.39+x	19/2 <sup>+</sup>
579.74 12	31.6 ‡ 9	2166.7+x	25/2 <sup>+</sup>	1587.0+x	21/2 <sup>+</sup>
582.36 18	25.6 9	3815.9+x	(37/2 <sup>+</sup> )	3233.5+x	(33/2 <sup>+</sup> )
587.02 13	120.7 18	2458.5+x	27/2 <sup>+</sup>	1871.5+x	23/2 <sup>+</sup>
587.46 21	18.1 9	4269.8+x	41/2 <sup>+</sup>	3682.4+x	37/2 <sup>+</sup>
587.7 10	10.6 14	2753.44+x	29/2 <sup>+</sup>	2166.7+x	25/2 <sup>+</sup>

Continued on next page (footnotes at end of table)



$^{150}\text{Sm}(^{19}\text{F},4n\gamma)$  **1995Sc39** (continued) $\gamma(^{165}\text{Lu})$  (continued)

$E_\gamma^\dagger$	$I_\gamma$	$E_i(\text{level})$	$J_i^\pi$	$E_f$	$J_f^\pi$
598.55 15	38.3 9	4579.2+x	43/2 <sup>+</sup>	3981.0+x	39/2 <sup>+</sup>
608.84 20	19.8 8	2348.73+x	25/2 <sup>+</sup>	1740.01+x	21/2 <sup>+</sup>
609.3 10	20.2 7	4579.2+x	43/2 <sup>+</sup>	3970.0+x	39/2 <sup>+</sup>
618.51 15	35.7 7	4888.5+x	45/2 <sup>+</sup>	4269.8+x	41/2 <sup>+</sup>
641.3 <sup>b</sup> 2	20.6 <sup>c</sup> 10	4457.2+x	(41/2 <sup>+</sup> )	3815.9+x	(37/2 <sup>+</sup> )
641.44 17	33.5 9	5220.6+x	47/2 <sup>+</sup>	4579.2+x	43/2 <sup>+</sup>
643.7 10	23.5 9	4613.7+x	43/2 <sup>+</sup>	3970.0+x	39/2 <sup>+</sup>
651.13 15	29.8 8	5539.4+x	49/2 <sup>+</sup>	4888.5+x	45/2 <sup>+</sup>
679.18 18	18.4 6	5899.6+x	51/2 <sup>+</sup>	5220.6+x	47/2 <sup>+</sup>
696.10 20	15.5 7	5153.3+x	(45/2 <sup>+</sup> )	4457.2+x	(41/2 <sup>+</sup> )
696.73 17	20.9 <sup>‡</sup> 7	6236.0+x	53/2 <sup>+</sup>	5539.4+x	49/2 <sup>+</sup>
712.0 10	18.3 7	5325.7+x	47/2 <sup>+</sup>	4613.7+x	43/2 <sup>+</sup>
732.95 20	11.4 <sup>‡</sup> 6	6632.0+x	55/2 <sup>+</sup>	5899.6+x	51/2 <sup>+</sup>
750.73 20	10.8 6	5904.0+x	(49/2 <sup>+</sup> )	5153.3+x	(45/2 <sup>+</sup> )
761.39 18	12.6 6	6997.6+x	57/2 <sup>+</sup>	6236.0+x	53/2 <sup>+</sup>
775.8 10	8.7 6	6101.5+x	51/2 <sup>+</sup>	5325.7+x	47/2 <sup>+</sup>
803.5 3	6.4 5	6707.5+x	(53/2 <sup>+</sup> )	5904.0+x	(49/2 <sup>+</sup> )
806.93 20	9.9 <sup>‡</sup> 5	7439.0+x	59/2 <sup>+</sup>	6632.0+x	55/2 <sup>+</sup>
839.50 22	12.3 <sup>‡</sup> 6	7837.4+x	61/2 <sup>+</sup>	6997.6+x	57/2 <sup>+</sup>
855.31 25	4.9 4	7562.8+x	(57/2 <sup>+</sup> )	6707.5+x	(53/2 <sup>+</sup> )
891.77 25	5.3 <sup>‡</sup> 5	8330.7+x	63/2 <sup>+</sup>	7439.0+x	59/2 <sup>+</sup>
907.5 3	2.6 4	8470.3+x	(61/2 <sup>+</sup> )	7562.8+x	(57/2 <sup>+</sup> )
917.66 24	3.6 5	8755.1+x	65/2 <sup>+</sup>	7837.4+x	61/2 <sup>+</sup>
962.3 4	2.1 3	9432.6+x	(65/2 <sup>+</sup> )	8470.3+x	(61/2 <sup>+</sup> )
975.0 3	2.2 4	9305.7+x	67/2 <sup>+</sup>	8330.7+x	63/2 <sup>+</sup>

<sup>†</sup> From ( $^{19}\text{F},4n\gamma$ ) and ( $^{31}\text{P},4n\gamma$ ) reactions.

<sup>‡</sup> Comparison of branching ratio with that deduced from ( $^{31}\text{P},4n\gamma$ ) shows a large discrepancy. See adopted gammas for details.

# Poor fit; level-energy difference=475.85.

@ Poor fit; level-energy difference=223.71.

& Poor fit; level-energy difference=216.2.

<sup>a</sup> Poor fit; level-energy difference=563.8.

<sup>b</sup> From level-energy difference. This gamma ray is not listed in tabular gamma-ray data of **1995Sc39**. Uncertainty is assigned by the evaluators.

<sup>c</sup> From the average of  $I_\gamma(696\gamma)$  and  $I_\gamma(582\gamma)$ . Intensity is not available from **1995Sc39**.

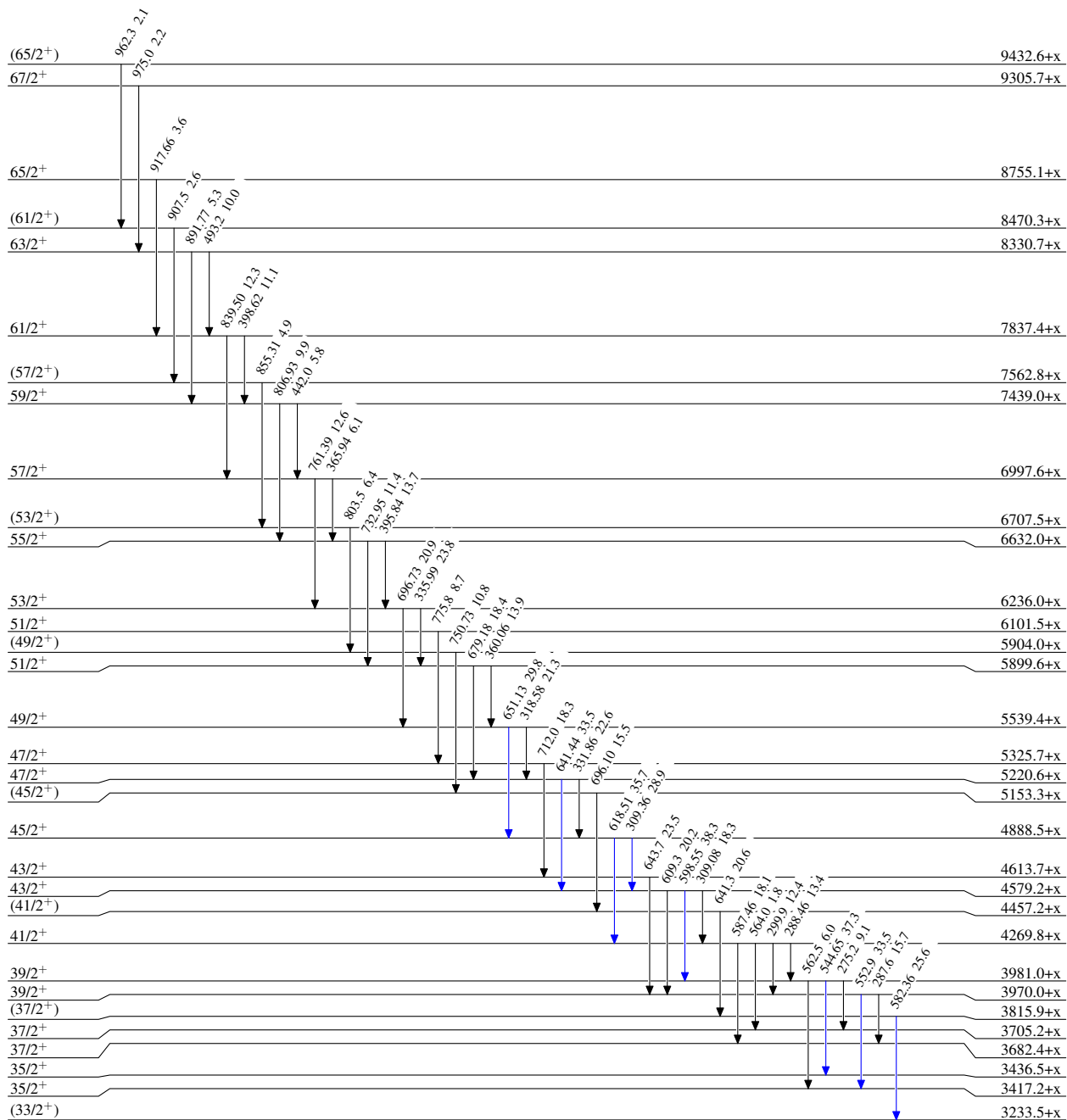
$^{150}\text{Sm}(^{19}\text{F}, 4n\gamma) \quad ^{199}\text{Sc39}$ 

## Level Scheme

Intensities: Relative  $I_\gamma$ 

## Legend

- $\longrightarrow$   $I_\gamma < 2\% \times I_\gamma^{\text{max}}$   
 $\longrightarrow$   $I_\gamma < 10\% \times I_\gamma^{\text{max}}$   
 $\longrightarrow$   $I_\gamma > 10\% \times I_\gamma^{\text{max}}$



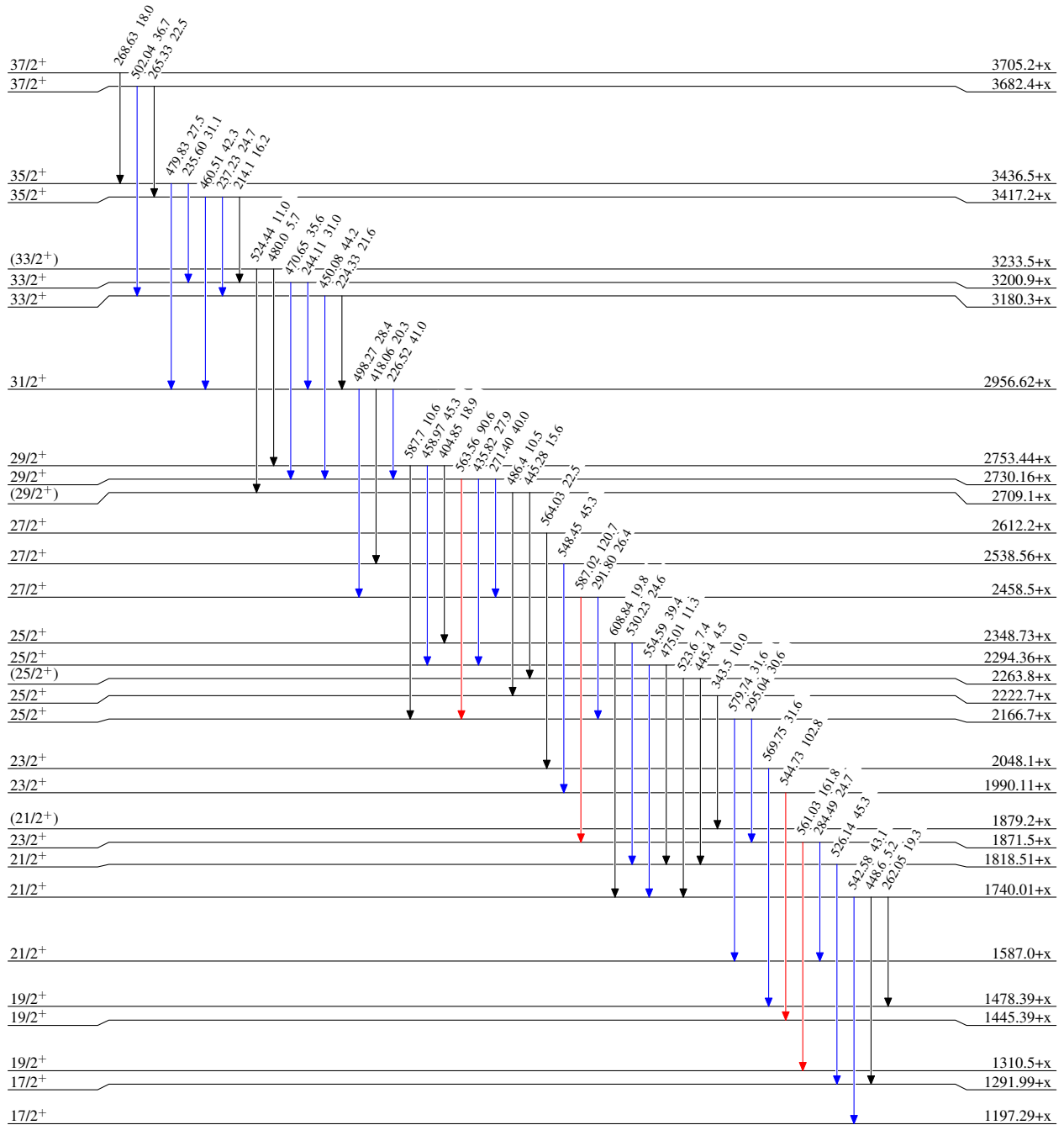
$^{150}\text{Sm}(^{19}\text{F},4n\gamma) \quad ^{1995}\text{Sc39}$ 

## Level Scheme (continued)

Intensities: Relative  $I_\gamma$ 

Legend

- $\longrightarrow$   $I_\gamma < 2\% \times I_\gamma^{\max}$   
 $\longrightarrow$   $I_\gamma < 10\% \times I_\gamma^{\max}$   
 $\longrightarrow$   $I_\gamma > 10\% \times I_\gamma^{\max}$



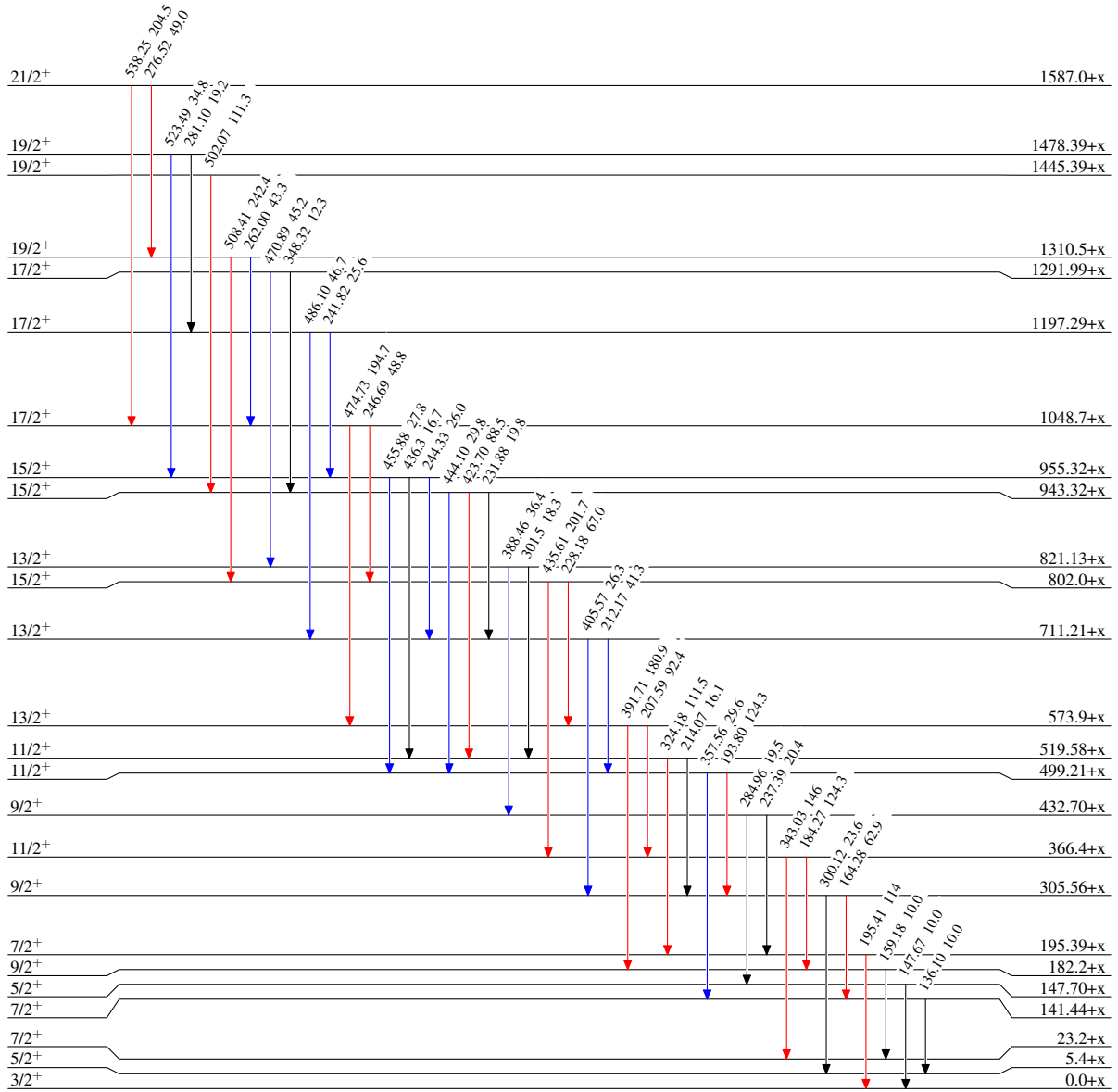
$^{150}\text{Sm}(^{19}\text{F},4n\gamma)$  1995Sc39

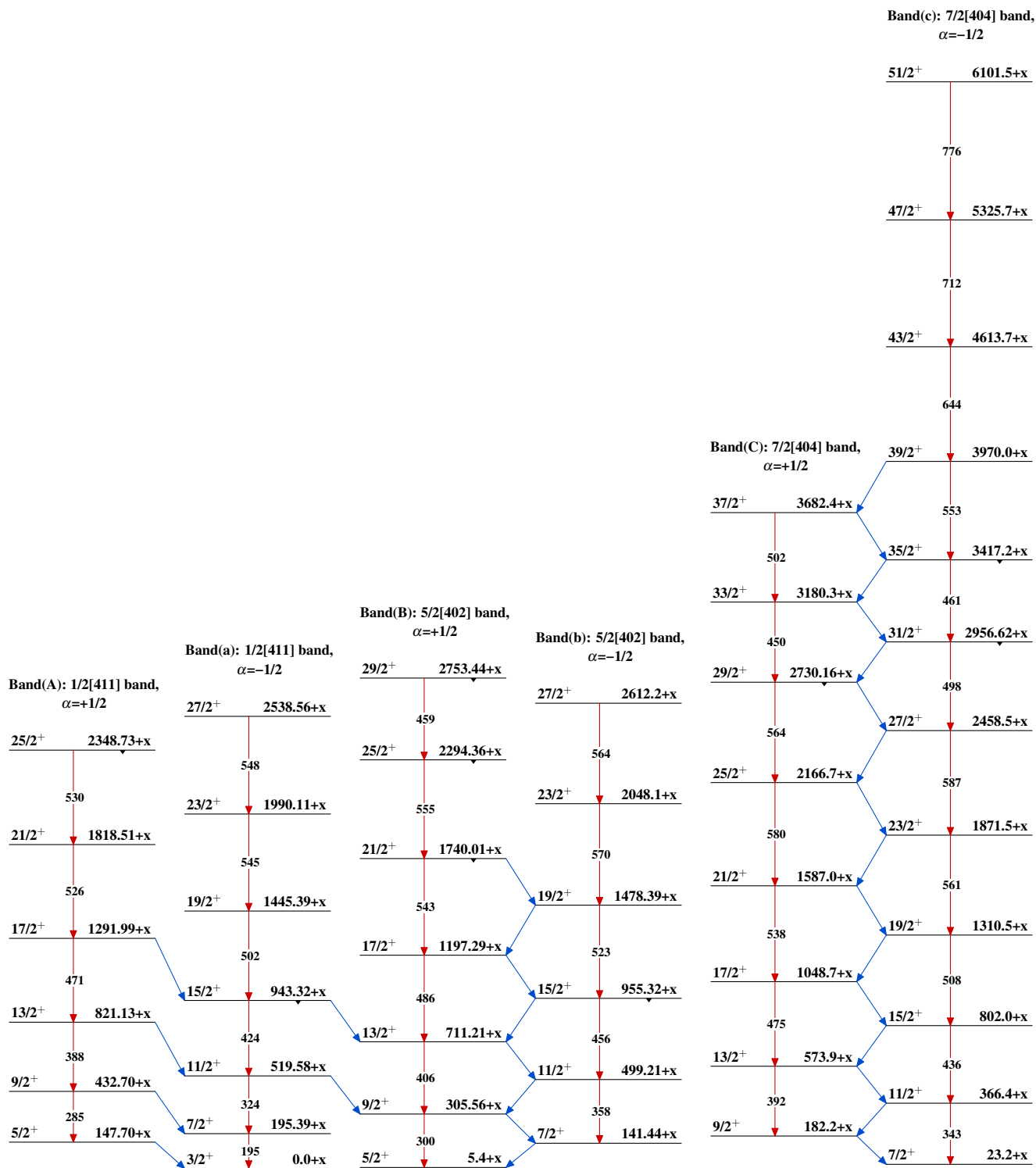
## Level Scheme (continued)

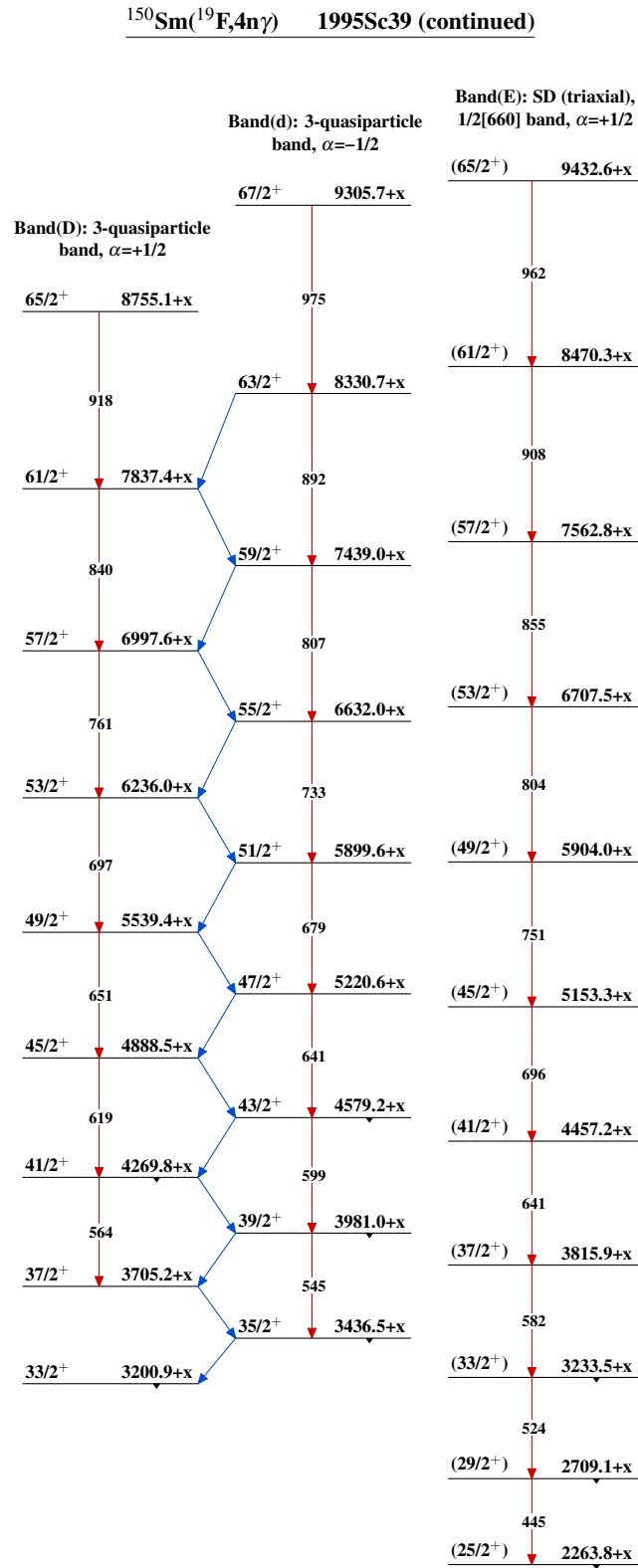
Intensities: Relative  $I_\gamma$ 

Legend

- $\longrightarrow$   $I_\gamma < 2\% \times I_\gamma^{\max}$   
 $\longrightarrow$   $I_\gamma < 10\% \times I_\gamma^{\max}$   
 $\longrightarrow$   $I_\gamma > 10\% \times I_\gamma^{\max}$

 $^{165}_{71}\text{Lu}_{94}$

$^{150}\text{Sm}(^{19}\text{F},4n\gamma)$  1995Sc39 $^{165}_{71}\text{Lu}_{94}$



$^{153}\text{Eu}(^{16}\text{O},4\text{n}\gamma)$  1984Jo05

Type	Author	History	Citation	Literature Cutoff Date
Full Evaluation	Ashok K. Jain and Anwesha Ghosh, Balraj Singh		NDS 107, 1075 (2006)	15-Apr-2006

1984Jo05: E=73-85 MeV. Measured:  $\gamma$ ,  $\gamma\gamma$ ,  $\gamma(\theta)$ ,  $\gamma(t)$ , yield.

The level scheme is from 1984Jo05 with modifications introduced by 1995Sc39. All bands are now interconnected whereas in 1984Jo05 bands 1/2[541], 1/2[411] and 5/2[402] formed one set and the bands 7/2[402] and 9/2[514] formed another set. The value of 0+y in 1984Jo05 is replaced here by 23.2+x, based on 'Adopted Levels'.

 $^{165}\text{Lu}$  Levels

E(level)	$J^{\pi\dagger}$	Comments
0.0+x <sup>#&amp;</sup>	(3/2 <sup>+</sup> )	Additional information 1.
5.5+x <sup>b</sup> 6	(5/2 <sup>+</sup> )	
23.5+x <sup>a</sup> 3	(7/2 <sup>+</sup> )	
54.75+x <sup>@</sup> 21	(7/2 <sup>-</sup> )	Additional information 2.
141.7+x <sup>b</sup> 6	(7/2 <sup>+</sup> )	
147.4+x <sup>&amp;</sup> 4	(5/2 <sup>+</sup> )	
182.6+x <sup>a</sup> 3	(9/2 <sup>+</sup> )	
195.30+x <sup>&amp;</sup> 19	(7/2 <sup>+</sup> )	
234.84+x <sup>d</sup> 20	(9/2 <sup>-</sup> )	
305.9+x <sup>b</sup> 6	(9/2 <sup>+</sup> )	
335.2+x <sup>d</sup> 3	(11/2 <sup>-</sup> )	
345.3+x <sup>c</sup> 4	(5/2 <sup>-</sup> )	
366.8+x <sup>a</sup> 4	(11/2 <sup>+</sup> )	
432.3+x <sup>&amp;</sup> 4	(9/2 <sup>+</sup> )	
466.4+x <sup>c</sup> 3	(9/2 <sup>-</sup> )	
494.5+x <sup>d</sup> 3	(13/2 <sup>-</sup> )	
499.2+x <sup>b</sup> 5	(11/2 <sup>+</sup> )	
519.6+x <sup>&amp;</sup> 3	(11/2 <sup>+</sup> )	
574.6+x <sup>a</sup> 4	(13/2 <sup>+</sup> )	
662.4+x <sup>d</sup> 3	(15/2 <sup>-</sup> )	
694.6+x <sup>c</sup> 3	(13/2 <sup>-</sup> )	
712.0+x <sup>b</sup> 5	(13/2 <sup>+</sup> )	
802.7+x <sup>a</sup> 4	(15/2 <sup>+</sup> )	
821.4+x <sup>&amp;</sup> 4	(13/2 <sup>+</sup> )	
893.2+x <sup>d</sup> 3	(17/2 <sup>-</sup> )	
943.6+x <sup>&amp;</sup> 4	(15/2 <sup>+</sup> )	
956.5+x <sup>b</sup> 5	(15/2 <sup>+</sup> )	
1030.0+x <sup>c</sup> 4	(17/2 <sup>-</sup> )	
1049.8+x <sup>a</sup> 4	(17/2 <sup>+</sup> )	
1099.5+x <sup>d</sup> 3	(19/2 <sup>-</sup> )	
1198.4+x <sup>b</sup> 5	(17/2 <sup>+</sup> )	
1292.9+x <sup>&amp;</sup> 4	(17/2 <sup>+</sup> )	
1311.6+x <sup>a</sup> 4	(19/2 <sup>+</sup> )	
1386.7+x <sup>d</sup> 4	(21/2 <sup>-</sup> )	
1445.9+x <sup>b</sup> 4	(19/2 <sup>+</sup> )	
1462.6+x <sup>c</sup> 5	(21/2 <sup>-</sup> )	
1479.8+x <sup>b</sup> 6	(19/2 <sup>+</sup> )	

Continued on next page (footnotes at end of table)

$^{153}\text{Eu}(^{16}\text{O},4\text{n}\gamma)$  **1984Jo05 (continued)** $^{165}\text{Lu}$  Levels (continued)

E(level)	$J^\pi$ <sup>†</sup>	E(level)	$J^\pi$ <sup>†</sup>	E(level)	$J^\pi$ <sup>†</sup>	E(level)	$J^\pi$ <sup>†</sup>
1588.3+x <sup>a</sup> 4	(21/2 <sup>+</sup> )	2050.0+x <sup>b</sup> 8	(23/2 <sup>+</sup> )	2546.0+x <sup>‡</sup> 7	(27/2 <sup>+</sup> )	3249.6+x <sup>d</sup> 4	(35/2 <sup>-</sup> )
1618.6+x <sup>d</sup> 4	(23/2 <sup>-</sup> )	2168.2+x <sup>a</sup> 5	(25/2 <sup>+</sup> )	2564.3+x <sup>c</sup> 6	(29/2 <sup>-</sup> )	3330.7+x <sup>?‡a</sup> 7	(33/2 <sup>+</sup> )
1740.9+x <sup>b</sup> 6	(21/2 <sup>+</sup> )	2196.6+x <sup>d</sup> 4	(27/2 <sup>-</sup> )	2732.1+x <sup>a</sup> 5	(29/2 <sup>+</sup> )	3476.7+x <sup>d</sup> 5	(37/2 <sup>-</sup> )
1819.4+x <sup>&amp;</sup> 5	(21/2 <sup>+</sup> )	2295.6+x <sup>?b</sup> 9	(25/2 <sup>+</sup> )	2755.6+x <sup>?b</sup> 13	(29/2 <sup>+</sup> )	3736.5+x <sup>d</sup> 5	(39/2 <sup>-</sup> )
1873.2+x <sup>a</sup> 4	(23/2 <sup>+</sup> )	2350.2+x <sup>&amp;</sup> 7	(25/2 <sup>+</sup> )	2790.0+x <sup>d</sup> 4	(31/2 <sup>-</sup> )	3854.8+x <sup>c</sup> 9	(37/2 <sup>-</sup> )
1945.4+x <sup>d</sup> 4	(25/2 <sup>-</sup> )	2460.6+x <sup>a</sup> 5	(27/2 <sup>+</sup> )	3029.6+x <sup>?‡a</sup> 7	(31/2 <sup>+</sup> )	4011.7+x <sup>d</sup> 5	(41/2 <sup>-</sup> )
1979.1+x <sup>c</sup> 5	(25/2 <sup>-</sup> )	2535.8+x <sup>d</sup> 4	(29/2 <sup>-</sup> )	3039.6+x <sup>d</sup> 4	(33/2 <sup>-</sup> )	4324.0+x <sup>d</sup> 6	(43/2 <sup>-</sup> )
1990.9+x <sup>&amp;</sup> 5	(23/2 <sup>+</sup> )	2539.3+x 5	(27/2 <sup>+</sup> )	3195.8+x <sup>c</sup> 8	(33/2 <sup>-</sup> )	4483.9+x <sup>c</sup> 11	(41/2 <sup>-</sup> )

<sup>†</sup> From 'Adopted Levels'.<sup>‡</sup> This level is probably non-existent in view of the more recent work of [1995Sc39](#), where it is absent.# x  $\approx$  20 keV; see 'Adopted Levels' for comments.

@ From 'Adopted Levels'.

&amp; Band(A): 1/2[411] band.

<sup>a</sup> Band(B): 7/2[404] band.<sup>b</sup> Band(C): 5/2[402] band.<sup>c</sup> Band(D): 1/2[541] band.<sup>d</sup> Band(E): 9/2[514] band. $\gamma(^{165}\text{Lu})$ 

$E_\gamma$ <sup>&amp;</sup>	$I_\gamma$ <sup>†</sup>	$E_i$ (level)	$J^\pi_i$	$E_f$	$J^\pi_f$	Mult. <sup>‡</sup>	$\delta$ <sup>‡</sup>	Comments
100.4 2	28 3	335.2+x	(11/2 <sup>-</sup> )	234.84+x	(9/2 <sup>-</sup> )	D+Q		$A_2=+0.04$ 3, $A_4=-0.04$ 3.
121.1 5	5.3 18	466.4+x	(9/2 <sup>-</sup> )	345.3+x	(5/2 <sup>-</sup> )	D+Q		
136.2 2	21.3 21	141.7+x	(7/2 <sup>+</sup> )	5.5+x	(5/2 <sup>+</sup> )	D+Q		$A_2=-0.04$ 3, $A_4=+0.04$ 3.
147.4 5	12 4	147.4+x	(5/2 <sup>+</sup> )	0.0+x	(3/2 <sup>+</sup> )	D		$A_2=-0.21$ 7, $A_4=-0.05$ 7.
152.6 6	6.0 20	335.2+x	(11/2 <sup>-</sup> )	182.6+x	(9/2 <sup>+</sup> )	D		$A_2=-0.21$ 7, $A_4=-0.05$ 7.
159.1 2	56 5	182.6+x	(9/2 <sup>+</sup> )	23.5+x	(7/2 <sup>+</sup> )	D+Q		$A_2=+0.18$ 2, $A_4=-0.01$ 2 for 159.1 $\gamma$ +159.3 $\gamma$ .
159.3 2	77 7	494.5+x	(13/2 <sup>-</sup> )	335.2+x	(11/2 <sup>-</sup> )	D+Q		$A_2=+0.18$ 2, $A_4=-0.01$ 2 for 159.3 $\gamma$ +159.1 $\gamma$ .
164.2 2	16.0 16	305.9+x	(9/2 <sup>+</sup> )	141.7+x	(7/2 <sup>+</sup> )	D+Q		$A_2=-0.06$ 4, $A_4=-0.01$ 4.
167.9 2	65 7	662.4+x	(15/2 <sup>-</sup> )	494.5+x	(13/2 <sup>-</sup> )	D+Q	+0.15 5	$A_2=-0.01$ 2, $A_4=-0.01$ 2.
175.0 5	5.5 18	694.6+x	(13/2 <sup>-</sup> )	519.6+x	(11/2 <sup>+</sup> )	D		$A_2=-0.32$ 11, $A_4=+0.06$ 12.
180.1 2	100	234.84+x	(9/2 <sup>-</sup> )	54.75+x	(7/2 <sup>-</sup> )	D		$A_2=+0.16$ 2, $A_4=-0.02$ 2.
184.2 2	37 3	366.8+x	(11/2 <sup>+</sup> )	182.6+x	(9/2 <sup>+</sup> )	D+Q	+0.47 7	$A_2=+0.32$ 3, $A_4=-0.01$ 3.
193.3 5	8.6 25	499.2+x	(11/2 <sup>+</sup> )	305.9+x	(9/2 <sup>+</sup> )	Q		
195.3 2	93 9	195.30+x	(7/2 <sup>+</sup> )	0.0+x	(3/2 <sup>+</sup> )	Q		$A_2=+0.29$ 2, $A_4=-0.07$ 2.
206.3 2	53 5	1099.5+x	(19/2 <sup>-</sup> )	893.2+x	(17/2 <sup>-</sup> )	D+Q	+0.15 3	$A_2=+0.01$ 2, $A_4=-0.01$ 2.
207.8 2	15.3 15	574.6+x	(13/2 <sup>+</sup> )	366.8+x	(11/2 <sup>+</sup> )	D+Q	+0.57 10	$A_2=+0.38$ 6, $A_4=-0.01$ 5.
210.0 2	22.2 22	3249.6+x	(35/2 <sup>-</sup> )	3039.6+x	(33/2 <sup>-</sup> )	D+Q	+0.05 3	$A_2=-0.13$ 3, $A_4=0.00$ 3.
211.3 2	99	234.84+x	(9/2 <sup>-</sup> )	23.5+x	(7/2 <sup>+</sup> )	D		$A_2=-0.27$ 2, $A_4=0.00$ 2.
212.8 5	6.0 20	712.0+x	(13/2 <sup>+</sup> )	499.2+x	(11/2 <sup>+</sup> )	D+Q	+0.25 6	$A_2=+0.12$ 15, $A_4=+0.04$ 15.
227.1 5		3476.7+x	(37/2 <sup>-</sup> )	3249.6+x	(35/2 <sup>-</sup> )			
228.1 5	13 4	802.7+x	(15/2 <sup>+</sup> )	574.6+x	(13/2 <sup>+</sup> )			$A_2=+0.18$ 2, $A_4=-0.07$ 2 for 228.1 $\gamma$ +228.2 $\gamma$ .
228.2 2	58 6	694.6+x	(13/2 <sup>-</sup> )	466.4+x	(9/2 <sup>-</sup> )	Q		$A_2=+0.18$ 2, $A_4=-0.07$ 2 for 228.2 $\gamma$ +228.1 $\gamma$ .
230.8 2	56 5	893.2+x	(17/2 <sup>-</sup> )	662.4+x	(15/2 <sup>-</sup> )	D+Q	+0.22 4	$A_2=+0.10$ 2, $A_4=-0.01$ 2.

Continued on next page (footnotes at end of table)



$^{153}\text{Eu}(^{16}\text{O},4n\gamma)$  **1984Jo05 (continued)** $\gamma(^{165}\text{Lu})$  (continued)

$E_\gamma$ &	$I_\gamma^\dagger$	$E_i(\text{level})$	$J_i^\pi$	$E_f$	$J_f^\pi$	Mult. $^\ddagger$	$\delta^\S$	Comments
231.9 2	26 3	1618.6+x	(23/2 <sup>-</sup> )	1386.7+x	(21/2 <sup>-</sup> )	D+Q	+0.11 3	$A_2=-0.04$ 3, $A_4=+0.02$ 3.
237.0 5	9 3	432.3+x	(9/2 <sup>+</sup> )	195.30+x	(7/2 <sup>+</sup> )	D		$A_2=-0.41$ 11, $A_4=0.00$ 12.
241.9 5		1198.4+x	(17/2 <sup>+</sup> )	956.5+x	(15/2 <sup>+</sup> )			
244.5 5		956.5+x	(15/2 <sup>+</sup> )	712.0+x	(13/2 <sup>+</sup> )			
247.1 5	9 3	1049.8+x	(17/2 <sup>+</sup> )	802.7+x	(15/2 <sup>+</sup> )	D+Q	+0.38 13	$A_2=+0.29$ 11, $A_4=-0.08$ 11.
249.6 2	15.9	3039.6+x	(33/2 <sup>-</sup> )	2790.0+x	(31/2 <sup>-</sup> )	D(+Q)	+0.04 4	$A_2=-0.14$ 7, $A_4=-0.01$ 7.
251.2 3	11.8 25	2196.6+x	(27/2 <sup>-</sup> )	1945.4+x	(25/2 <sup>-</sup> )	D(+Q)	+0.07 7	$A_2=-0.11$ 9, $A_4=+0.05$ 10.
254.2 5	12 2	2790.0+x	(31/2 <sup>-</sup> )	2535.8+x	(29/2 <sup>-</sup> )	D		$A_2=-0.25$ 9, $A_4=+0.07$ 9.
259.7 2	<31	494.5+x	(13/2 <sup>-</sup> )	234.84+x	(9/2 <sup>-</sup> )	Q		$I_\gamma$ : $I(259.7\gamma+259.8\gamma)=309$ 30. $A_2=+0.20$ 5, $A_4=-0.09$ 5 for 259.8 $\gamma$ +259.7 $\gamma$ .
259.8 2	<31	3736.5+x	(39/2 <sup>-</sup> )	3476.7+x	(37/2 <sup>-</sup> )			$I_\gamma$ : 309 31 for 259.8+259.7. $A_2=+0.20$ 5, $A_4=-0.09$ 5 for 259.8 $\gamma$ +259.7 $\gamma$ .
261.1 5		1740.9+x	(21/2 <sup>+</sup> )	1479.8+x	(19/2 <sup>+</sup> )			
261.8 5	10 3	1311.6+x	(19/2 <sup>+</sup> )	1049.8+x	(17/2 <sup>+</sup> )			
271.1 2	56 6	466.4+x	(9/2 <sup>-</sup> )	195.30+x	(7/2 <sup>+</sup> )	D		$A_2=-0.19$ 3, $A_4=+0.00$ 3.
271.5	#	2732.1+x	(29/2 <sup>+</sup> )	2460.6+x	(27/2 <sup>+</sup> )			$A_2=-0.19$ 3, $A_4=0.00$ 3 for 271.5 $\gamma$ +271.1 $\gamma$ .
275.2 3	14 4	4011.7+x	(41/2 <sup>-</sup> )	3736.5+x	(39/2 <sup>-</sup> )	D(+Q)	+0.04 4	$A_2=-0.12$ 8, $A_4=+0.01$ 8.
276.7 3	12 2	1588.3+x	(21/2 <sup>+</sup> )	1311.6+x	(19/2 <sup>+</sup> )	D+Q	+0.26 7	$A_2=+0.15$ 9, $A_4=-0.07$ 9.
281.4 5		1479.8+x	(19/2 <sup>+</sup> )	1198.4+x	(17/2 <sup>+</sup> )			
284.9 5	12 4	432.3+x	(9/2 <sup>+</sup> )	147.4+x	(5/2 <sup>+</sup> )			$A_2=+0.17$ 7, $A_4=+0.01$ 8 for 284.9 $\gamma$ +284.9 $\gamma$ .
284.9 5	6.6 20	1873.2+x	(23/2 <sup>+</sup> )	1588.3+x	(21/2 <sup>+</sup> )			$A_2=+0.17$ 7, $A_4=+0.01$ 8 for 284.9 $\gamma$ +284.9 $\gamma$ .
287.2 2	44 4	1386.7+x	(21/2 <sup>-</sup> )	1099.5+x	(19/2 <sup>-</sup> )	D+Q	+0.21 4	$A_2=+0.07$ 4, $A_4=-0.02$ 4.
292.4 5	5.6 18	2460.6+x	(27/2 <sup>+</sup> )	2168.2+x	(25/2 <sup>+</sup> )	D+Q	+0.44 12	$A_2=+0.34$ 10, $A_4=-0.12$ 10.
295.0 5	6.5 20	2168.2+x	(25/2 <sup>+</sup> )	1873.2+x	(23/2 <sup>+</sup> )	D+Q	+0.40 12	$A_2=+0.34$ 9, $A_4=-0.04$ 8.
300.4 5	6.4 20	305.9+x	(9/2 <sup>+</sup> )	5.5+x	(5/2 <sup>+</sup> )	Q		$A_2=+0.38$ 9, $A_4=-0.14$ 8.
301.8 5	4.1 14	821.4+x	(13/2 <sup>+</sup> )	519.6+x	(11/2 <sup>+</sup> )	D(+Q)	+0.07 7	$A_2=-0.08$ 14, $A_4=-0.12$ 16.
312.3 5	8.1 25	4324.0+x	(43/2 <sup>-</sup> )	4011.7+x	(41/2 <sup>-</sup> )	D+Q	+0.18 7	$A_2=+0.06$ 9, $A_4=+0.07$ 9.
324.3 2	33 3	519.6+x	(11/2 <sup>+</sup> )	195.30+x	(7/2 <sup>+</sup> )	Q		$A_2=+0.27$ 6, $A_4=-0.10$ 6.
326.8 2	29 3	1945.4+x	(25/2 <sup>-</sup> )	1618.6+x	(23/2 <sup>-</sup> )			$A_2=+0.20$ 3, $A_4=-0.03$ 3 for 326.8 $\gamma$ +327.2 $\gamma$ .
327.2 2	37 4	662.4+x	(15/2 <sup>-</sup> )	335.2+x	(11/2 <sup>-</sup> )	Q		$A_2=+0.20$ 3, $A_4=-0.03$ 3 for 327.2 $\gamma$ +326.8 $\gamma$ .
335.4 2	45 5	1030.0+x	(17/2 <sup>-</sup> )	694.6+x	(13/2 <sup>-</sup> )	Q		$A_2=+0.24$ 3, $A_4=-0.08$ 3.
339.2 2	19.6 20	2535.8+x	(29/2 <sup>-</sup> )	2196.6+x	(27/2 <sup>-</sup> )	D+Q	+0.16 4	$A_2=+0.01$ 4, $A_4=+0.03$ 4.
343.3 2	34 3	366.8+x	(11/2 <sup>+</sup> )	23.5+x	(7/2 <sup>+</sup> )	Q		$A_2=+0.26$ 4, $A_4=-0.07$ 4.
345.3 5	#	345.3+x	(5/2 <sup>-</sup> )	0.0+x	(3/2 <sup>+</sup> )			
349.3 5	5.3 18	1292.9+x	(17/2 <sup>+</sup> )	943.6+x	(15/2 <sup>+</sup> )	D(+Q)	+0.06 6	$A_2=-0.01$ 11, $A_4=+0.10$ 12.
357.5 5	4.9 16	499.2+x	(11/2 <sup>+</sup> )	141.7+x	(7/2 <sup>+</sup> )			
389.1 3	12 4	821.4+x	(13/2 <sup>+</sup> )	432.3+x	(9/2 <sup>+</sup> )	Q		$A_2=+0.27$ 8, $A_4=-0.10$ 8.
392.0 2	50 5	574.6+x	(13/2 <sup>+</sup> )	182.6+x	(9/2 <sup>+</sup> )	Q		$A_2=+0.25$ 3, $A_4=-0.09$ 3.
398.7 2	51 5	893.2+x	(17/2 <sup>-</sup> )	494.5+x	(13/2 <sup>-</sup> )	Q		$A_2=+0.31$ 3, $A_4=-0.11$ 3.
406.1 5	10 4	712.0+x	(13/2 <sup>+</sup> )	305.9+x	(9/2 <sup>+</sup> )	Q		$A_2=+0.30$ 5, $A_4=-0.13$ 5.
424.0 2	23.9 24	943.6+x	(15/2 <sup>+</sup> )	519.6+x	(11/2 <sup>+</sup> )	Q		$A_2=+0.28$ 3, $A_4=-0.15$ 3.
432.6 2	30 3	1462.6+x	(21/2 <sup>-</sup> )	1030.0+x	(17/2 <sup>-</sup> )	Q		$A_2=+0.29$ 7, $A_4=-0.08$ 7.
435.9 2	36 4	802.7+x	(15/2 <sup>+</sup> )	366.8+x	(11/2 <sup>+</sup> )	Q		$A_2=+0.19$ 2, $A_4=-0.03$ 2 for 435.9 $\gamma$ +436.9 $\gamma$ +437.1 $\gamma$ +437.1 $\gamma$ .
436.9 5	7.2 24	956.5+x	(15/2 <sup>+</sup> )	519.6+x	(11/2 <sup>+</sup> )	Q		$A_2=+0.19$ 2, $A_4=-0.03$ 2 for 436.9 $\gamma$ +435.9 $\gamma$ +437.1 $\gamma$ .
437.1 2	74 7	1099.5+x	(19/2 <sup>-</sup> )	662.4+x	(15/2 <sup>-</sup> )	Q		$A_2=+0.19$ 2, $A_4=-0.03$ 2 for 437.1 $\gamma$ +436.9 $\gamma$ +435.9 $\gamma$ .

Continued on next page (footnotes at end of table)

$^{153}\text{Eu}(^{16}\text{O},4n\gamma)$  **1984Jo05 (continued)** $\gamma(^{165}\text{Lu})$  (continued)

$E_\gamma$ &	$I_\gamma^\dagger$	$E_i(\text{level})$	$J_i^\pi$	$E_f$	$J_f^\pi$	Mult. $^\ddagger$	Comments
437.1 2	16.7 17	3476.7+x	(37/2 <sup>-</sup> )	3039.6+x	(33/2 <sup>-</sup> )	(Q)	$A_2=+0.19$ 2, $A_4=-0.03$ 2 for 437.1 $\gamma$ +436.9 $\gamma$ +435.9 $\gamma$ .
444.4 5	11 4	943.6+x	(15/2 <sup>+</sup> )	499.2+x	(11/2 <sup>+</sup> )	Q	$A_2=+0.41$ 6, $A_4=-0.15$ 6.
457.3 5	5.9 20	956.5+x	(15/2 <sup>+</sup> )	499.2+x	(11/2 <sup>+</sup> )	Q	$A_2=+0.54$ 15, $A_4=+0.15$ 14.
459.6 2	20.6 21	3249.6+x	(35/2 <sup>-</sup> )	2790.0+x	(31/2 <sup>-</sup> )	Q	$A_2=+0.26$ 4, $A_4=-0.05$ 4.
460 <sup>a</sup>	#	2755.6+x?	(29/2 <sup>+</sup> )	2295.6+x?	(25/2 <sup>+</sup> )		
471.5 2	16.3 16	1292.9+x	(17/2 <sup>+</sup> )	821.4+x	(13/2 <sup>+</sup> )	(Q)	$A_2=+0.33$ 11, $A_4=+0.01$ 11.
475.2 2	49 5	1049.8+x	(17/2 <sup>+</sup> )	574.6+x	(13/2 <sup>+</sup> )	Q	$A_2=+0.28$ 2, $A_4=-0.08$ 2.
476 <sup>a</sup>	#	2295.6+x?	(25/2 <sup>+</sup> )	1819.4+x	(21/2 <sup>+</sup> )		
486.4 2	16.5 17	1198.4+x	(17/2 <sup>+</sup> )	712.0+x	(13/2 <sup>+</sup> )	Q	$A_2=+0.22$ 3, $A_4=-0.07$ 3 for 486.4 $\gamma$ +486.9 $\gamma$ .
486.9 3	14.4 20	3736.5+x	(39/2 <sup>-</sup> )	3249.6+x	(35/2 <sup>-</sup> )	(Q)	$A_2=+0.22$ 3, $A_4=-0.07$ 3 for 486.9 $\gamma$ +486.4 $\gamma$ .
493.5 2	56 6	1386.7+x	(21/2 <sup>-</sup> )	893.2+x	(17/2 <sup>-</sup> )	Q	$A_2=+0.24$ 2, $A_4=-0.08$ 2.
502.3 2	36 4	1445.9+x	(19/2 <sup>+</sup> )	943.6+x	(15/2 <sup>+</sup> )	Q	$A_2=+0.24$ 4, $A_4=-0.08$ 4.
503.8 2	18.6 19	3039.6+x	(33/2 <sup>-</sup> )	2535.8+x	(29/2 <sup>-</sup> )	(Q)	$A_2=+0.23$ 6, $A_4=-0.05$ 6.
508.9 2	37 4	1311.6+x	(19/2 <sup>+</sup> )	802.7+x	(15/2 <sup>+</sup> )		
516.5 2	23.5 24	1979.1+x	(25/2 <sup>-</sup> )	1462.6+x	(21/2 <sup>-</sup> )	Q	$A_2=+0.18$ 6, $A_4=-0.13$ 6.
519.1 2	80 8	1618.6+x	(23/2 <sup>-</sup> )	1099.5+x	(19/2 <sup>-</sup> )	Q	$A_2=+0.21$ 2, $A_4=-0.09$ 2.
523.3 5		1479.8+x	(19/2 <sup>+</sup> )	956.5+x	(15/2 <sup>+</sup> )		
526.5 3	14.1 20	1819.4+x	(21/2 <sup>+</sup> )	1292.9+x	(17/2 <sup>+</sup> )	Q	$A_2=+0.24$ 8, $A_4=-0.10$ 8.
530.8 5	7.6 25	2350.2+x	(25/2 <sup>+</sup> )	1819.4+x	(21/2 <sup>+</sup> )	Q	$A_2=+0.19$ 13, $A_4=-0.14$ 13.
535.0 5		4011.7+x	(41/2 <sup>-</sup> )	3476.7+x	(37/2 <sup>-</sup> )		
538.5 2	48 5	1588.3+x	(21/2 <sup>+</sup> )	1049.8+x	(17/2 <sup>+</sup> )	Q	$A_2=+0.30$ 3, $A_4=-0.09$ 3.
542.5 2	15.5 16	1740.9+x	(21/2 <sup>+</sup> )	1198.4+x	(17/2 <sup>+</sup> )	Q	$A_2=+0.28$ 6, $A_4=-0.12$ 6.
545.0 2	34 3	1990.9+x	(23/2 <sup>+</sup> )	1445.9+x	(19/2 <sup>+</sup> )	Q	$A_2=+0.27$ 3, $A_4=-0.10$ 3.
548.4 2	16.5 17	2539.3+x	(27/2 <sup>+</sup> )	1990.9+x	(23/2 <sup>+</sup> )	Q	$A_2=+0.22$ 7, $A_4=-0.11$ 7.
555 <sup>a</sup>	#	2295.6+x?	(25/2 <sup>+</sup> )	1740.9+x	(21/2 <sup>+</sup> )		
555.1 @ <sup>a</sup> 5	10 3	2546.0+x	(27/2 <sup>+</sup> )	1990.9+x	(23/2 <sup>+</sup> )	(Q)	$A_2=+0.18$ 7, $A_4=-0.08$ 8.
558.7 2	39 4	1945.4+x	(25/2 <sup>-</sup> )	1386.7+x	(21/2 <sup>-</sup> )	Q	$A_2=+0.27$ 4, $A_4=-0.09$ 4.
561.6 2	43 4	1873.2+x	(23/2 <sup>+</sup> )	1311.6+x	(19/2 <sup>+</sup> )	Q	$A_2=+0.31$ 3, $A_4=-0.12$ 3.
563.9 2	37 4	2732.1+x	(29/2 <sup>+</sup> )	2168.2+x	(25/2 <sup>+</sup> )	Q	$A_2=+0.41$ 4, $A_4=-0.12$ 4.
569.0 @ <sup>a</sup> 5		3029.6+x?	(31/2 <sup>+</sup> )	2460.6+x	(27/2 <sup>+</sup> )		
570.2 5		2050.0+x	(23/2 <sup>+</sup> )	1479.8+x	(19/2 <sup>+</sup> )		
578.0 2	64 6	2196.6+x	(27/2 <sup>-</sup> )	1618.6+x	(23/2 <sup>-</sup> )	Q	$A_2=+0.24$ 3, $A_4=-0.11$ 3.
579.9 2	37 4	2168.2+x	(25/2 <sup>+</sup> )	1588.3+x	(21/2 <sup>+</sup> )	Q	$A_2=+0.28$ 4, $A_4=-0.10$ 4.
585.2 3	14.0 20	2564.3+x	(29/2 <sup>-</sup> )	1979.1+x	(25/2 <sup>-</sup> )		
587.4 2	24.7 25	2460.6+x	(27/2 <sup>+</sup> )	1873.2+x	(23/2 <sup>+</sup> )	Q	$A_2=+0.24$ 5, $A_4=-0.07$ 5.
587.5 5	12 2	4324.0+x	(43/2 <sup>-</sup> )	3736.5+x	(39/2 <sup>-</sup> )	Q	$A_2=+0.24$ 5, $A_4=-0.07$ 5.
590.4 2	31 3	2535.8+x	(29/2 <sup>-</sup> )	1945.4+x	(25/2 <sup>-</sup> )	Q	$A_2=+0.34$ 5, $A_4=-0.13$ 5.
593.4 2	31 3	2790.0+x	(31/2 <sup>-</sup> )	2196.6+x	(27/2 <sup>-</sup> )	Q	$A_2=+0.24$ 6, $A_4=-0.12$ 6.
598.6 @ <sup>a</sup> 5		3330.7+x?	(33/2 <sup>+</sup> )	2732.1+x	(29/2 <sup>+</sup> )		
629.1 5	4.1 14	4483.9+x	(41/2 <sup>-</sup> )	3854.8+x	(37/2 <sup>-</sup> )		
631.5 5	7.4 25	3195.8+x	(33/2 <sup>-</sup> )	2564.3+x	(29/2 <sup>-</sup> )		
659.0 5	6.2 20	3854.8+x	(37/2 <sup>-</sup> )	3195.8+x	(33/2 <sup>-</sup> )		

<sup>†</sup> At  $E(^{16}\text{O})=84$  MeV.<sup>‡</sup> From  $\gamma(\theta)$  data.

# Weak gamma ray.

@ This gamma ray is absent in the more recent work of 1995Sc39.

& From least-squares fit to  $E_\gamma$ 's. The energy of 54.75+x is held fixed in this procedure.<sup>a</sup> Placement of transition in the level scheme is uncertain.

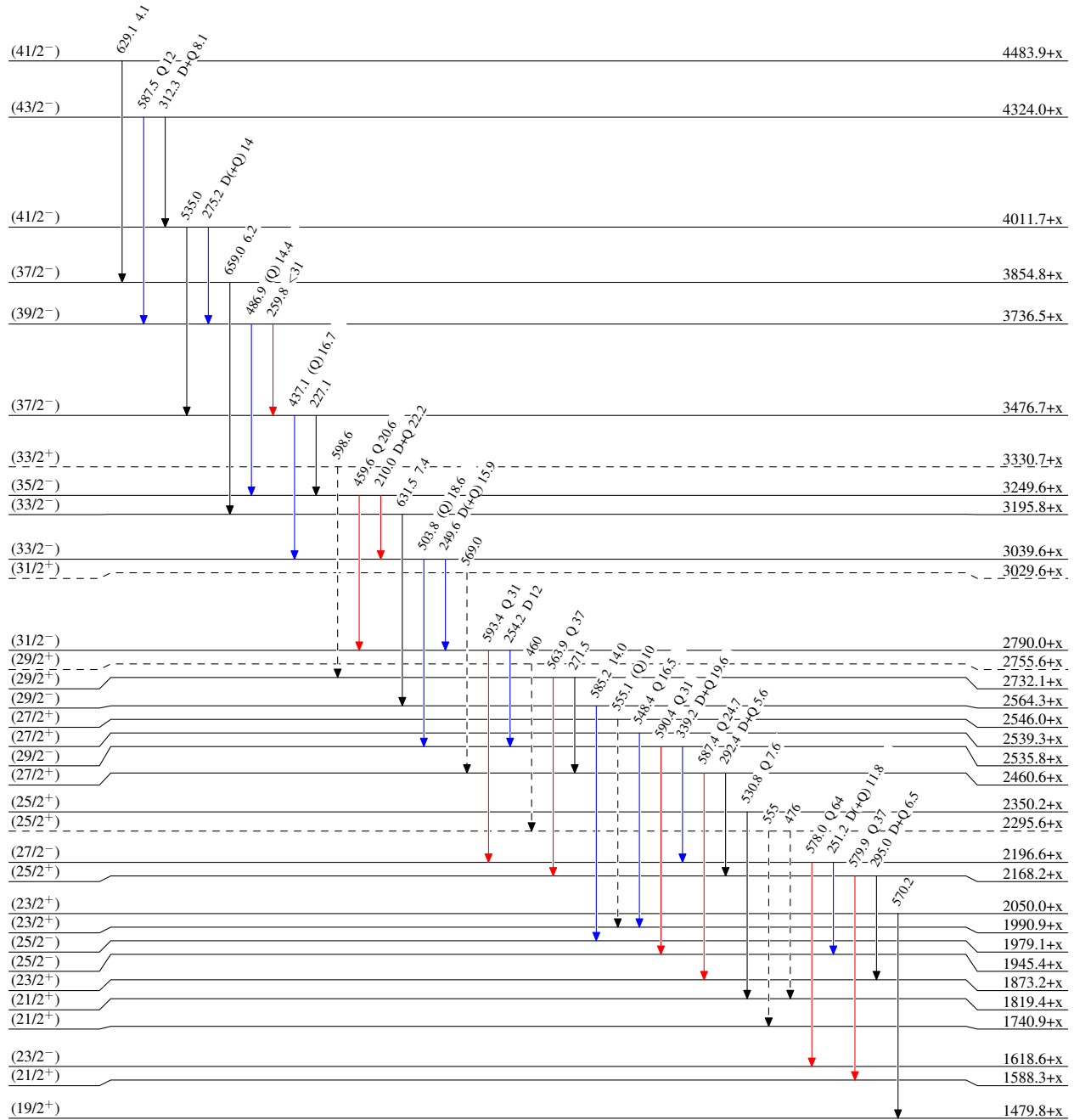
$^{153}\text{Eu}(^{16}\text{O},4n\gamma)$  1984Jo05

## Legend

## Level Scheme

Intensities: Relative  $I_\gamma$ 

- $\longrightarrow$   $I_\gamma < 2\% \times I_\gamma^{\max}$   
 $\longrightarrow$   $I_\gamma < 10\% \times I_\gamma^{\max}$   
 $\longrightarrow$   $I_\gamma > 10\% \times I_\gamma^{\max}$   
 $\longrightarrow$   $\gamma$  Decay (Uncertain)



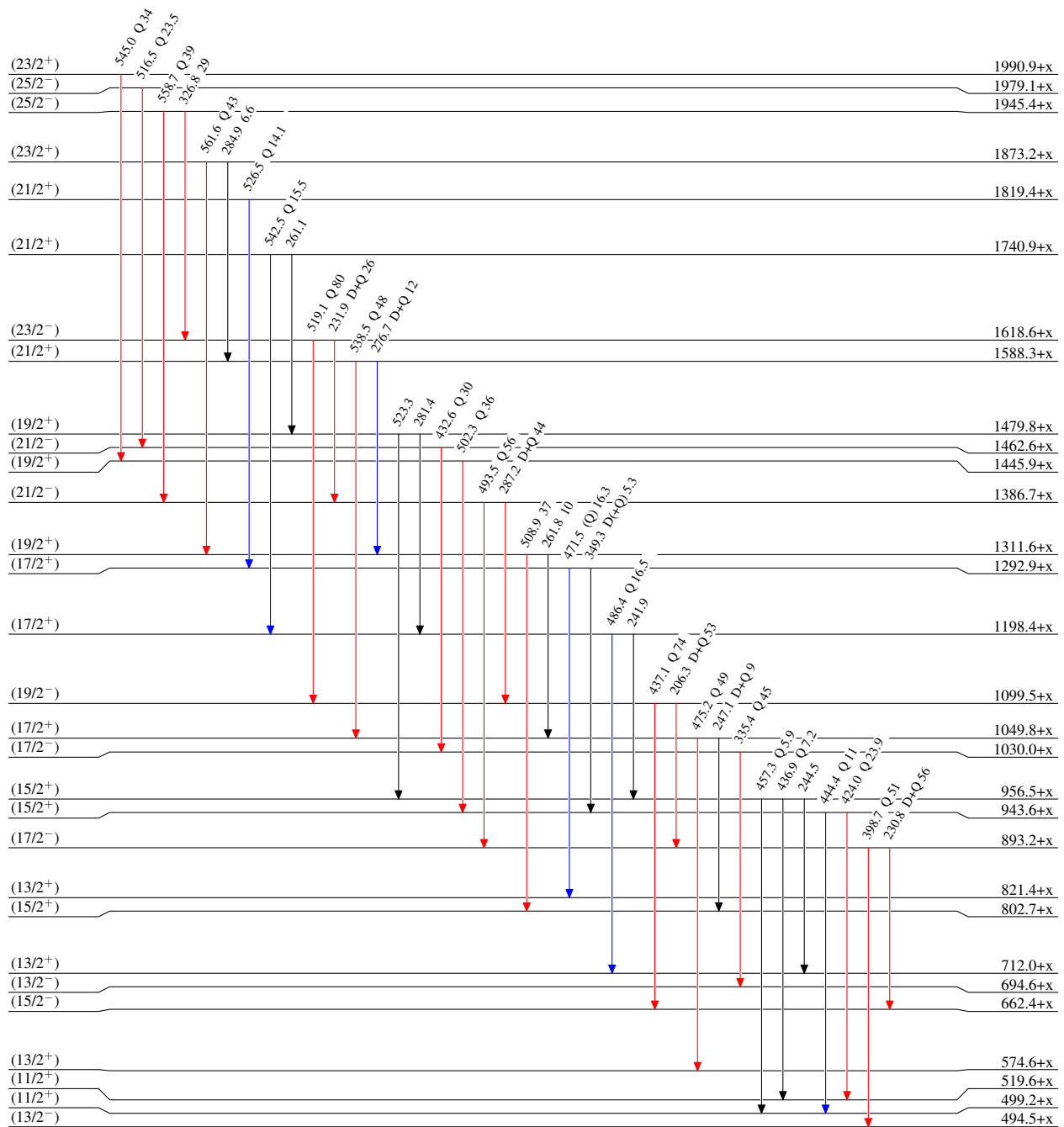
$^{153}\text{Eu}(^{16}\text{O},4n\gamma)$  1984Jo05

## Level Scheme (continued)

Intensities: Relative  $I_\gamma$ 

Legend

- $\longrightarrow$   $I_\gamma < 2\% \times I_\gamma^{\max}$   
 $\longrightarrow$   $I_\gamma < 10\% \times I_\gamma^{\max}$   
 $\longrightarrow$   $I_\gamma > 10\% \times I_\gamma^{\max}$



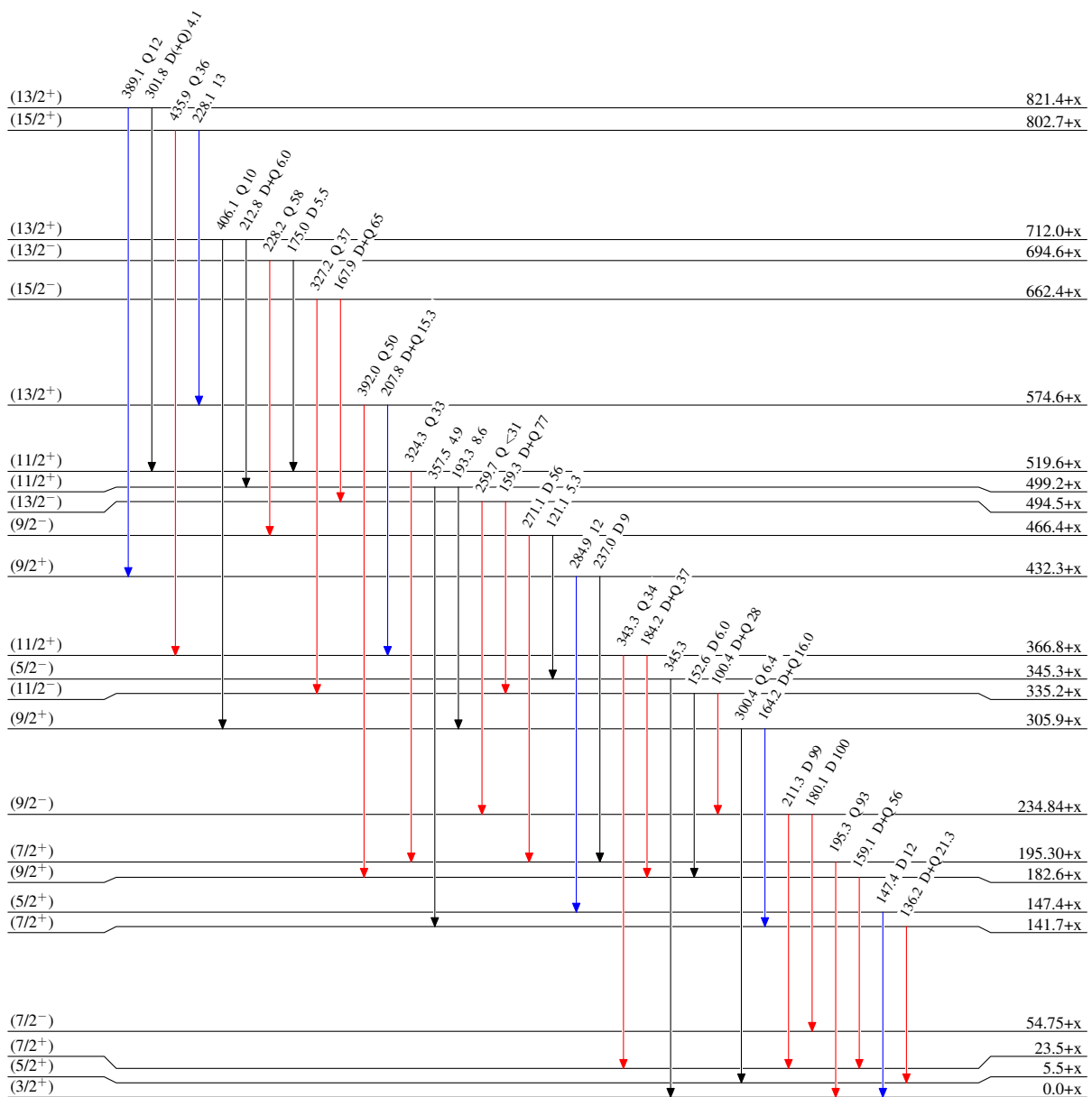
$^{153}\text{Eu}(^{16}\text{O},4n\gamma)$  1984Jo05

## Level Scheme (continued)

Intensities: Relative  $I_\gamma$ 

Legend

- $\longrightarrow$   $I_\gamma < 2\% \times I_\gamma^{\max}$   
 $\longrightarrow$   $I_\gamma < 10\% \times I_\gamma^{\max}$   
 $\longrightarrow$   $I_\gamma > 10\% \times I_\gamma^{\max}$

 $^{165}_{71}\text{Lu}_{94}$

$^{153}\text{Eu}(^{16}\text{O},4\text{n}\gamma)$  1984Jo05